

**CONTRIBUȚII LA
IMPLEMENTAREA, EVALUAREA ȘI
ÎMBUNĂTĂȚIREA
PERFORMANȚELOR TEHNICILOR
DE CĂUTARE ASINCRONE ÎN
CADRUL PROGRAMĂRII BAZATE
PE CONSTRÂNGERI DISTRIBUITE**

Teză destinată obținerii
titlului științific de doctor inginer
la
Universitatea "Politehnica" din Timișoara
în domeniul ȘTIINȚA CALCULATOARELOR
de către

Ionel Muscalagiu

Conducător științific: prof.univ.dr.ing. Vladimir Crețu
Referenți științifici: prof.univ.dr.ing. Mircea Petrescu
prof.univ.dr.ing. Valentin Cristea
prof.univ.dr.ing. Horia Ciocarlie

Ziua susținerii tezei: 01.02.2008

Seriile Teze de doctorat ale UPT sunt:

- | | |
|------------------------|---|
| 1. Automatică | 7. Inginerie Electronică și Telecomunicații |
| 2. Chimie | 8. Inginerie Industrială |
| 3. Energetică | 9. Inginerie Mecanică |
| 4. Ingineria Chimică | 10. Știința Calculatoarelor |
| 5. Inginerie Civilă | 11. Știința și Ingineria Materialelor |
| 6. Inginerie Electrică | |

Universitatea „Politehnica” din Timișoara a inițiat seriile de mai sus în scopul diseminării expertizei, cunoștințelor și rezultatelor cercetărilor întreprinse în cadrul școlii doctorale a universității. Seriile conțin, potrivit H.B.Ex.S Nr. 14 / 14.07.2006, tezele de doctorat susținute în universitate începând cu 1 octombrie 2006.

Copyright © Editura Politehnica – Timișoara, 2008

Această publicație este supusă prevederilor legii dreptului de autor. Multiplicarea acestei publicații, în mod integral sau în parte, traducerea, tipărirea, reutilizarea ilustrațiilor, expunerea, radiodifuzarea, reproducerea pe microfilme sau în orice altă formă este permisă numai cu respectarea prevederilor Legii române a dreptului de autor în vigoare și permisiunea pentru utilizare obținută în scris din partea Universității „Politehnica” din Timișoara. Toate încălcările acestor drepturi vor fi penalizate potrivit Legii române a drepturilor de autor.

România, 300159 Timișoara, Bd. Republicii 9,
tel. 0256 403823, fax. 0256 403221
e-mail: editura@edipol.upt.ro

Cuvânt înainte

Teza de doctorat a fost elaborată pe parcursul activității mele în cadrul Departamentului de Calculatoare al Universității „Politehnica” din Timișoara.

Teza de față abordează problematica sistemelor multi-agent bazate pe tehnicile de căutare asincrone existente în cadrul programării cu constrângeri distribuite. Principalele idei pe care se bazează teza sunt utilizarea mediului NetLogo ca un simulator de bază în studiul tehnicilor de căutare asincrone, utilizarea completă și eficientă a informațiilor oferite de listele de tip nogood, limitarea fluxului de mesaje, introducerea sincronizării execuției agenților. Cercetările efectuate în cadrul tezei au urmărit conceperea și dezvoltarea unui model pentru implementarea tehnicilor de căutare asincrone și conceperea unei metodologii unitare de implementare și evaluare a tehnicilor de căutare asincrone în NetLogo. Această metodologie a permis construirea unor sisteme multi-agent pentru studiul detaliat al comportamentului tehnicilor de căutare asincrone în diverse situații, identificând și propunând mai multe îmbunătățiri ale performanțelor acestora.

Mulțumesc domnului prof. dr. ing. Vladimir Crețu, conducătorul științific de doctorat, pentru ajutorul și îndrumarea continuă și plină de răbdare, acordate pe parcursul acestei perioade de doctorat. Activitatea mea de cercetare la doctorat a beneficiat de sprijinul mai multor colegi din cadrul Facultății de Inginerie Hunedoara. Pentru încurajările și sfaturile primite pe parcursul redactării lucrării aduc cele mai sincere mulțumiri domnului conf. dr. ing. Pănoiu Caius. Menționez, de asemenea, colaborarea prețioasă și sprijinul colegilor conf. dr. ing. Pănoiu Manuela, sef lucrări dr. Osaci Mihaela, conf.dr. ing. Rusu Nicolae, lector univ. Popa Horia Emil.

Programul de colaborare cu laboratorul de sisteme multi-agent existent în cadrul Departamentului de Știința și Ingineria Calculatoarelor, Universitatea din Carolina de Sud (SUA), coordonat de prof. Jose VIDAL, a reprezentat un pilon important pe care s-a sprijinit activitatea mea de doctorat. Mulțumesc pe această cale profesorului Jose Vidal, pentru încrederea și sprijinul acordat.

Îmi exprim întreaga considerație față membrii comisiei de doctorat, domnul președinte al comisiei prof. univ. dr. ing. Proștean decanul Facultății de Automatică și Calculatoare din Timișoara și domniile prof.univ.dr. Mircea PETRESCU de la Universitatea Politehnică din București, prof. univ. dr. ing. Valentin CRISTEA de la Universitatea Politehnică din București și prof. univ. dr. ing. Horia CIOCÂRLIE de la Facultatea de Automatică și Calculatoare din Timișoara, care au răspuns solicitării de a face parte din comisia de analiză a tezei, pentru observațiile făcute și pentru timpul acordat lucrării.

Contribuția cea mai importantă la această teză o are soția mea, Diana, care m-a înconjurat în toți acești ani cu dragoste, răbdare și devotament. Îi mulțumesc că m-a înțeles și m-a ajutat. Mulțumesc familiei mele, în special fiicei mele, Andreea pentru ajutorul acordat în anumite momente ale redactării tezei. Le datorez adâncă mea recunoștință părinților mei, Aurelia și Dumitru, mai ales pentru că prin sacrificiile lor am devenit ceea ce sunt astăzi.

Nu în ultimul rând, mulțumesc bunului Dumnezeu pentru că mi-a dat putere să lupt până la capăt și norocul de a mă bucura de toate lucrurile minunate cu care El mă înconjoară.

Timișoara, decembrie 2007

Ionel Muscalagiu

Familiei mele

Muscalagiu, Ionel

Contribuții la implementarea, evaluarea și îmbunătățirea performanțelor tehnicilor de căutare asincrone în cadrul programării bazate pe constrângeri distribuite

Teze de doctorat ale UPT, Seria10, Nr. 2, Editura Politehnica, 2008, 234 pagini, 104 figuri, 14 tabele.

ISSN: 1842-7707

ISBN: 978-973-625-592-2

Cuvinte cheie:

programare cu constrângeri, tehnici de căutare asincrone, mesaje, sisteme multi-agent, Netlogo, mesaje *nogood*.

Rezumat:

Programarea bazată pe constrângeri reprezintă un model al tehnologiilor software, folosit pentru descrierea și rezolvarea unor clase largi de probleme cum ar fi problemele de căutare, problemele combinatoriale, problemele de planificare, etc. Rețelele cu constrângeri centralizate sau distribuite și-au dovedit succesul în modelarea problemelor reale cum ar fi cele de planificare, configurare, diagnoză, teoria grafurilor, design-ul circuitelor, planificare genetică, design-ul mașinilor, înțelegerea limbajelor. Cele mai multe dintre problemele abordate de programarea cu constrângeri sunt probleme NP-complete. Programarea cu constrângeri distribuite (folosind tehnici de căutare asincrone) a permis reducerea costurilor ce apar la obținerea soluției pentru astfel de probleme.

Cercetările efectuate în cadrul tezei au urmărit conceperea și dezvoltarea unui model pentru implementarea tehnicilor de căutare asincrone și conceperea unei metodologii unitare de implementare și evaluare a tehnicilor de căutare asincrone pe baza modelului identificat anterior. Această metodologie a permis construirea unor sisteme multi-agent pentru studiul detaliat al comportamentului tehnicilor de căutare asincrone în diverse situații. Plecând de la acest studiu s-au identificat și propus mai multe îmbunătățiri ale performanțelor tehnicilor de căutare asincrone.

CUPRINS

| Capitol | Pag |
|---|-----|
| Cuprins | 5 |
| SECȚIUNEA I. INTRODUCERE | 15 |
| 1. INTRODUCERE | 16 |
| 2. PROBLEME DE SATISFACEREA CONSTRÂNGERILOR. MODELUL CSP | |
| 2.1 Definirea modelului CSP..... | 22 |
| 2.1.1. Definirea problemelor de satisfacere a constrângerilor..... | 22 |
| 2.1.2. Exemple de probleme modelate CSP..... | 25 |
| 2.2 Metode de rezolvare a CSP-urilor. Clasificarea acestor metode..... | 27 |
| 2.2.1. Introducere..... | 27 |
| 2.2.2. Tehnica Backtracking. | 28 |
| 2.2.2.1 Prezentarea tehnicii backtracking..... | 28 |
| 2.2.2.2 Defectele algoritmului. Îmbunătățirea performanțelor.... | 31 |
| 2.2.3. Backjumping și ordinea dinamică a variabilelor..... | 31 |
| 2.2.3.1 Definirea strategiei backjumping..... | 31 |
| 2.2.3.2 Gasching’s backjumping..... | 32 |
| 2.2.3.3 Graph-based backjumping..... | 34 |
| 2.2.3.4 Conflict-directed backjumping..... | 36 |
| 2.2.4 Strategii bazate pe învățare..... | 38 |
| 2.2.4.1 Definirea strategiilor de învățare bazate pe nogood-uri... | 38 |
| 2.2.4.2 Învățarea bazată pe graful constrângerilor..... | 39 |
| 2.2.4.3 Strategii de învățare în adâncime..... | 40 |
| 2.2.5 Strategii look-ahead..... | 41 |
| 2.2.5.1. Algoritmii bazați pe strategiile look-ahead..... | 42 |
| 2.2.5.2. Forward checking..... | 42 |
| 2.2.5.3 Arc-consistency..... | 45 |
| 2.2.6. Euristici pentru stabilirea ordinii variabilelor..... | 48 |
| 2.3. Concluzii..... | 49 |
| 3. PROBLEME DE SATISFACEREA CONSTRÂNGERILOR DISTRIBUITE. MODELUL DCSP | 51 |
| 3.1 Definirea modelului “Distributed Constraint Satisfaction Problem”-DCSP | 51 |
| 3.1.1 Definirea problemelor de satisfacere a constrângerilor distribuite | 51 |
| 3.1.2 Căutare paralelă și distribuită..... | 53 |
| 3.2 Metode de rezolvare pentru probleme DCSP. Tehnici de căutare asincrone..... | 53 |
| 3.2.1 Backtracking sincron..... | 56 |
| 3.2.2 Principiile căutării asincrone..... | 57 |
| 3.2.3 Tehnica „Asynchronous Backtracking”- ABT..... | 60 |
| 3.2.4 Tehnica „Asynchronous Weak-Commitment Search”- AWCS..... | 63 |
| 3.2.5 Tehnici incomplete de căutare. Tehnica “Distributed BreakOut”.... | 67 |
| 3.2.6 Tehnica “Distributed Backtracking”..... | 71 |

6 Cuprins

| | |
|---|-------------------|
| 3.2.7 Tehnica "Distributed Dynamic Backtracking"- DisDB..... | 74 |
| 3.3 Unificarea cadrului de căutare asincron.Tehnicile din familia ABT | 78 |
| 3.4 Concluzii..... | 83 |
| 4. PROBLEME ACTUALE ÎN ÎMBUNĂȚĂȚIREA PERFORMANȚELOR TEHNICILOR DE CĂUTARE ASINCRONE. | 85 |
| 4.1 Probleme de implementare și evaluare pentru tehnicile de căutare asincrone..... | 85 |
| 4.1.1 Implementarea tehnicilor asincrone..... | 86 |
| 4.1.2. Evaluarea tehnicilor asincrone..... | 86 |
| 4.2. Redundanța mesajelor transmise..... | 89 |
| 4.2.1 Mesaje învechite..... | 89 |
| 4.2.2. Redundanța mesajelor de tip ok sau info..... | 89 |
| 4.3 Explozia valorilor nogood pentru tehnicile asincrone..... | 90 |
| 4.4 Învechirea informațiilor stocate de agenți..... | 92 |
| 4.4.1 Agenți neconectați..... | 92 |
| 4.4.2 Apariția legăturilor temporare în timpul căutării soluției..... | 92 |
| 4.5. Utilizarea completă a informațiilor din valorile nogood..... | 93 |
| 4.5.1 Stocarea valorilor nogood..... | 93 |
| 4.5.2 Construirea unor valori nogood eficiente..... | 94 |
| 4.6. Concluzii | 95 |
| SECȚIUNEA II. CONTRIBUȚII LA IMPLEMENTAREA ȘI EVALUAREA TEHNICILOR DE CĂUTARE ASINCRONE | 96 |
| 5. MODEL DE IMPLEMENTARE ȘI EVALUARE PENTRU TEHNICILE DE CĂUTARE ASINCRONE | 97 |
| 5.1 Mediul Netlogo..... | 98 |
| 5.2 Obiectele NetLogo. Programarea distribuită în NetLogo..... | 99 |
| 5.3 Modelarea și implementarea procesului de execuție a agenților..... | 102 |
| 5.3.1 Simularea și inițializarea agenților..... | 102 |
| 5.3.2 Reprezentarea și manipularea mesajelor..... | 104 |
| 5.3.3 Definierea și reprezentarea interfeței..... | 107 |
| 5.3.4 Detecția terminării tehnicilor de căutare asincrone în cazul modelului de implementare propus..... | 109 |
| 5.3.4.1 Detecția terminării procesului de execuție de către agentul central "Observer"..... | 109 |
| 5.3.4.2 Detecția terminării procesului de execuție de fiecare agent..... | 111 |
| 5.3.5 Evaluarea tehnicilor asincrone..... | 112 |
| 5.3.5.1. Costuri de comunicare..... | 113 |
| 5.3.5.2. Costuri de timp..... | 113 |
| 5.4. Sisteme multi-agent pentru implementarea și evaluarea tehnicilor de căutare asincrone..... | 115 |
| 5.4.1. Sistem multi-agent cu sincronizarea execuției agenților- SIES... 5.4.2. Sistem multi-agent cu operarea asincronă a agenților- SIEAS... 5.4.3. Diferența dintre un sistem cu sincronizare și unul asincron..... | 115 116 117 |
| 5.5 Metodologia de implementare și evaluare pentru tehnicile de căutare asincrone..... | 118 |
| 5.6. Concluzii. | 124 |

| | |
|---|-----|
| 6. STUDIU COMPARATIV AL TEHNICILOR DE CĂUTARE ASINCRONE | 125 |
| 6.1 Condiții experimentale..... | 126 |
| 6.2 Analiza experimentală a tehnicilor din familia ABT..... | 127 |
| 6.3 Analiza experimentală a tehnicilor din familia AWCS..... | 128 |
| 6.4 Analiza experimentală a tehnicii DB..... | 129 |
| 6.5 Introducerea sincronizării în cazul tehnicilor de căutare asincrone..... | 130 |
| 6.5.1 Sincronizarea completă a execuției agenților..... | 130 |
| 6.5.2 Sincronizarea parțială a execuției agenților..... | 132 |
| 6.5.3 Analiza experimentală a efectului sincronizării execuției agenților. | 134 |
| 6.6 Metode de eliminare a mesajelor redundante..... | 137 |
| 6.6.1 Mesaje învechite și redundante de tip ok..... | 137 |
| 6.6.2 Filtrarea mesajelor învechite sau redundante..... | 138 |
| 6.6.3 Managementul mesajelor..... | 139 |
| 6.6.3.1. Managementul mesajelor în cazul tehnicii AWCS..... | 139 |
| 6.6.4. Analiza experimentală a metodelor de reducere a redundanței mesajelor..... | 142 |
| 6.7 Concluzii..... | 143 |
| SECȚIUNEA III. CONTRIBUȚII LA ÎMBUNĂȚĂȚIREA PERFORMANȚELOR TEHNICILOR DE CĂUTARE ASINCRONE | 145 |
| 7. TEHNICI DE CAUTARE ASINCRONE CU FLAGURI. | 146 |
| 7.1 Algoritmul "Asynchronous Backtracking" cu flaguri (ABTWF)..... | 147 |
| 7.2 Îmbunătățirea performanțelor tehnicii „Asynchronous Backtracking” cu flaguri..... | 149 |
| 7.3 Introducerea flagurilor în cazul tehnicilor din familia ABT..... | 149 |
| 7.4.1. Introducerea tehnicii flagurilor în cazul nucleului ABT..... | 150 |
| 7.4.2 "Asynchronous Backtracking" cu flaguri (ABTWFL)..... | 153 |
| 7.4.3 "Distributed Dynamic Backtracking" cu flaguri (DisDBWFL)..... | 153 |
| 7.4 Rezultate experimentale..... | 154 |
| 7.4.1 Analiza rezultatelor experimentale în cazul tehnicii "Asynchronous Backtracking" cu flaguri..... | 154 |
| 7.4.2 Analiza rezultatelor experimentale în cazul tehnicilor din familia ABT cu flaguri..... | 156 |
| 7.5 Concluzii..... | 158 |
| 8 DETERMINAREA NUMĂRULUI OPTIM DE MESAJE TRANSMISE PENTRU LEGĂTURILE TEMPORARE ÎN CAZUL TEHNICILOR ASINCRONE DIN FAMILIA ABT | 160 |
| 8.1 Analiza comportamentului tehnicii ABT cu legături temporare..... | 160 |
| 8.2 Determinarea valorii numărului de mesaje ce trebuie transmise pentru legăturile temporare..... | 161 |
| 8.2.1. Soluții statice pentru determinarea numărului optim de mesaje. | 161 |
| 8.2.2. Soluții dinamice pentru determinarea numărului optim de mesaje..... | 162 |
| 8.2.3. Determinarea numărului maxim de mesaje învechite recepționate de agenți..... | 163 |
| 8.2.4. Adaptarea tehnicii ABT cu legături temporare..... | 164 |
| 8.3 Rezultate experimentale..... | 168 |

| | |
|---|------------|
| 8.4 Concluzii..... | 171 |
| 9 "ASYNCHRONOUS BACKTRACKING" CU LEGATURI TEMPORARE SI PERMANENTE. | 173 |
| 9.1 Eliminarea informațiilor învechite în cazul familiei ABT..... | 173 |
| 9.2 Asynchronous Backtracking cu legături temporare și fixe..... | 174 |
| 9.3 Rezultate experimentale..... | 180 |
| 9.4 Concluzii..... | 183 |
| 10 ANALIZA EXPERIMENTALĂ A IMPACTULUI TEHNICII „NOGOOD PROCESSOR” ASUPRA EFICIENȚEI TEHNICILOR DE CĂUTARE ASINCRONE DIN FAMILIA AWCS | 185 |
| 10.1 Tehnica „nogood processor”..... | 185 |
| 10.2 Adaptarea tehnicii „nogood processor” în cazul tehnicii AWCS..... | 186 |
| 10.2.1. Implementarea tehnicii „nogood processor”..... | 186 |
| 10.2.2. Versiuni de AWCS cu un singur „nogood processor”..... | 189 |
| 10.2.3. Versiuni de AWCS cu mai multe „nogood processor”..... | 190 |
| 10.3 Rezultate experimentale..... | 190 |
| 10.3.1 Condiții experimentale..... | 190 |
| 10.3.2 Analiza rezultatelor experimentale pentru cazul aplicării tehnicii nogood processor..... | 190 |
| 10.3.3 Analiza rezultatelor experimentale în cazul aparițiilor întârzierilor în furnizarea mesajelor..... | 192 |
| 10.3.4 Analiza rezultatelor experimentale în cazul filtrării mesajelor... | 194 |
| 10.4 Concluzii..... | 196 |
| 11 COMBINAREA TEHNICILOR DE "NOGOOD PROCESSOR" ȘI "NOGOOD LEARNING" ÎN CAZUL TEHNICILOR DIN FAMILIA AWCS | 198 |
| 11.1 Introducere..... | 198 |
| 11.2 Tehnici de construire a valorilor nogood („resolvent-based learning") | 199 |
| 11.3 Combinarea tehnicilor de nogood processor si nogood learning..... | 200 |
| 11.4 Rezultate experimentale..... | 202 |
| 11.4.1 Condiții experimentale..... | 202 |
| 11.4.2 Analiza rezultatelor experimentale pentru cazul de bază..... | 202 |
| 11.4.3 Analiza rezultatelor experimentale în cazul filtrării mesajelor... | 204 |
| 11.5 Concluzii..... | 206 |
| SECȚIUNEA IV. CONCLUZII FINALE ȘI PERSPECTIVE | 208 |
| 12. CONCLUZII FINALE ȘI PERSPECTIVE | 209 |
| 12.1 Concluzii..... | 209 |
| 12.2 Rezumat al contribuțiilor..... | 215 |
| 12.3 Concluzii finale..... | 217 |
| 12.4 Perspective de cercetare și dezvoltare..... | 218 |
| 13. BIBLIOGRAFIE | 219 |
| 14. LISTA LUCRĂRILOR PUBLICATE | 226 |

Abrevieri

- AAS** - Asynchronous Search with Aggregations
- ABT** - Asynchronous Backtracking
- ABT_DO** - Asynchronous Backtracking with Dynamic Ordering
- ABT_{temp}** - Asynchronous Backtracking cu legături temporare.
- ABTTPL** - ABT cu legături temporare și permanente.
- ABTWFL** - Asynchronous Backtracking cu flaguri
- AC** - Arc consistency
- AI** - Artificial Intelligence
- AWCS** - Asynchronous Weak -Commitment Search.
- ConcBT** - Concurrent Backtracking
- CSP** - Constraint Satisfaction Problems
- DAC** - Distributed arc-consistency
- DB** - Distributed Breakout
- DCSP** - Distributed Constraint Satisfaction Problem
- DIBT** - Distributed Backtracking
- DisDBWFL** - Distributed Dynamic Backtracking cu flaguri
- DIFC** - Distributed Forward Checking
- DisDB** - Distributed Dynamic Backtracking
- SIES**- Sistem de implementare și evaluare cu sincronizarea execuției agenților.
- SIEAS**- Sistem de implementare și evaluare cu operarea asincronă a agenților.

Lista figurilor

| Figura | Titlu | Pag |
|---------------|---|------------|
| 2.1 | Graful constrângerilor și relațiile dintre constrângeri pentru problema planificării lucrărilor | 26 |
| 2.2 | Algoritmul Backtracking | 29 |
| 2.3 | Problema colorării unui graf cu 7 noduri | 30 |
| 2.4 | Arborele de căutare (parțial) obținut în urma aplicării tehnicii backtracking | 30 |
| 2.5 | Algoritmul Gashnig's Backjumping | 34 |
| 2.6 | Graful constrângerilor și graful indus de mulțimea părinților | 35 |
| 2.7 | Algoritmul graph-based Backjumping | 36 |
| 2.8 | Algoritmul conflict -directed Backjumping | 38 |
| 2.9 | Algoritmul graph-based Backjumping-learning | 40 |
| 2.10 | Algoritmul conflict-directed Backjumping-Learning | 41 |
| 2.11 | Procedura pentru consistența constrângerilor | 42 |
| 2.12 | Algoritmul forward checking | 44 |
| 2.13 | Arborele de căutare (parțial) parcurs de algoritmul forward checking | 44 |
| 2.14 | Algoritmul AC-1 pentru consistența arcelor | 46 |
| 2.15 | Algoritmul AC-3 pentru consistența arcelor | 46 |
| 2.16 | Algoritmul arc-consistency look ahead | 47 |
| 3.1 | Un exemplu de comportament pentru tehnicile de căutare asincrone | 59 |
| 3.2 | Tehnica "Asynchronous Backtracking" și subrutinele folosite la recepționarea mesajelor | 61 |
| 3.3 | Exemplu din execuția algoritmului ABT | 62 |
| 3.4 | Algoritmul AWCS și subrutinele folosite pentru recepționarea mesajelor | 65 |
| 3.5 | Algoritmul distribuit breakout - modul wait_ok? | 69 |
| 3.6 | Algoritmul distribuit breakout - modul wait_improve | 70 |
| 3.7 | Algoritmul de determinare a ordinii variabilelor | 72 |
| 3.8 | Ordinea variabilelor distribuite | 72 |
| 3.9 | Algoritmul backtracking distribuit - DIBT | 74 |
| 3.10 | Algoritmul backtracking dinamic distribuit -DisDB | 77 |

| | | |
|------|---|-----|
| 3.11 | O problemă DCSP cu patru agenți | 77 |
| 3.12 | Tehnica ABT kernel pentru căutarea asincronă | 80 |
| 3.13 | Fluxul mesajelor în cadrul algoritmului ABT kernel | 82 |
| 5.1 | Crearea și execuția calculelor agenților prin intermediul comenzii ask | 99 |
| 5.2 | Crearea agenților DCSP prin intermediul obiectelor de tip breeds | 100 |
| 5.3 | Alinierea comenzilor executate de agenți. | 100 |
| 5.4 | Sincronizarea comenzilor executate de agenți | 100 |
| 5.5 | Manipularea mesajelor de către agenți. | 101 |
| 5.6 | Execuția unor calcule fără întrerupere | 101 |
| 5.7 | Definirea agenților în cazul tehnicilor asincrone de căutare | 103 |
| 5.8 | Agenții NetLogo în cazul problemei celor n -regine | 103 |
| 5.9 | Agenții NetLogo în cazul problemei colorării grafurilor | 103 |
| 5.10 | Procedura de inițializare a fiecărui agent- setup | 104 |
| 5.11 | Procedura NetLogo update | 105 |
| 5.12 | Procedura de tratare a mesajelor | 106 |
| 5.13 | Procedurile de tratare a mesajelor de tip ok și nogood | 107 |
| 5.14 | Procedura de inițializare a suprafeței de lucru a fiecărui agent | 107 |
| 5.15 | Procedura de setare a aplicației NetLogo | 108 |
| 5.16 | Evoluția fluxului de mesaje nogood pentru tehnicile ABT și AWCS în cazul problemei celor n regine (n=8 agenți) | 108 |
| 5.17 | Procedura update – 1 | 110 |
| 5.18 | Procedura update - 2 | 111 |
| 5.19 | Procedură handle-message – 2 | 112 |
| 5.20 | Determinarea valorii maxime/minime recepționate de fiecare agent | 115 |
| 5.21 | Arhitectura unui sistem multi-agent cu sincronizarea execuției-SIES | 116 |
| 5.22 | Arhitectura unui sistem multi-agent cu operarea asincronă a agenților-SEIAS | 117 |
| 5.23 | Identificarea obiectelor aplicației DCSP | 118 |
| 5.24 | Exemple de reprezentare a agenților pe suprafața NetLogo | 119 |
| 5.25 | Structurile necesare manipulării mesajelor | 119 |
| 5.26 | Manipularea mesajelor. | 120 |
| 5.27 | Inițializarea aplicației DCSP | 121 |
| 5.28 | Procedura de rulare a aplicației DCSP pentru sistemul SEIS | 121 |
| 5.29 | Procedura de rulare a aplicației DCSP pentru sistemul SIEAS. | 122 |
| 5.30 | Monitorizarea parametrilor de evaluare pentru cele două sisteme multi-agent | 123 |

12 Lista figurilor

| | | |
|------|--|-----|
| 5.31 | Sistemul multi-agent SIEAS utilizat la implementarea tehnicii AWCS | 123 |
| 6.1 | Procedură update -3 | 131 |
| 6.2 | Procedură handle-message – 3 | 132 |
| 6.3 | Procedura update-4 | 133 |
| 6.4 | Procedură handle-message-4 | 133 |
| 6.5 | Funcția de verificare a stării de sincronizare | 134 |
| 6.6 | Filtrarea mesajelor | 138 |
| 6.7 | Procedura de tratare secvențială a mesajelor pentru tehnica AWCS | 140 |
| 6.8 | Procedura de management a mesajelor pentru tehnica AWCS | 141 |
| 7.1 | Algoritmul ABT kernel cu flaguri aplicabil pentru căutarea asincronă. | 152 |
| 7.2 | Rezultate comparative pentru versiunile ABT(Bessiere) în raport cu numărul de mesaje de tip nogood stocate | 157 |
| 7.3 | Rezultatele experimentale pentru versiunile DisDB (Distributed n-Graph-Coloring Problem). | 158 |
| 8.1 | Efortul de calcul pentru diverse valori ale numărului de mesaje, în cazul tehnicii ABT cu legături temporare | 161 |
| 8.2 | Determinarea numărului maxim de mesaje învechite recepționate de agenți-1 | 163 |
| 8.3 | Algoritmul ABT cu legături temporare. | 165 |
| 8.4 | Fluxul mesajelor în cadrul algoritmului ABT cu legături temporare | 167 |
| 8.5 | Rezultate comparative pentru versiunile ABT în raport cu numărul de constrângeri concurente verificate | 170 |
| 8.6 | Rezultate comparative pentru versiunile ABT în raport cu numărul de constrângeri verificate | 170 |
| 8.7 | Rezultate comparative pentru versiunile ABT în raport cu numărul de mesaje schimbate | 171 |
| 9.1 | Determinarea numărului maxim de mesaje învechite recepționate de un agent-2 | 175 |
| 9.2 | Algoritmul ABT cu legături temporare și permanente. | 177 |
| 9.3 | Fluxul mesajelor în cadrul algoritmului ABT cu legături fixe și temporare | 179 |
| 9.4 | Implementarea NetLogo pentru algoritmului ABT cu legături fixe și temporare | 180 |
| 9.5 | Rezultate comparative pentru versiunile ABT în raport cu numărul de constrângeri verificate | 182 |
| 9.6 | Rezultate comparative pentru versiunile ABT în raport cu numărul de constrângeri concurente verificate | 182 |

| | | |
|-------|--|-----|
| 9.7 | Rezultate comparative pentru versiunile ABT în raport cu numărul de mesaje schimbate | 183 |
| 10.1 | Algoritmul AWCS cu nogood processor (procedurile de tratarea mesajelor) | 187 |
| 10.2 | Rutina de verificare a valorilor nogood, apelată în cadrul algoritmului AWCS | 188 |
| 10.3 | Studiu comparativ pentru versiunile de AWCS - ciclul | 191 |
| 10.4 | Studiu comparativ pentru versiunile de AWCS - constrângeri. | 191 |
| 10.5 | Studiu comparativ pentru versiunile de AWCS - mesaje nogood and ok | 192 |
| 10.6 | Studiu comparativ pentru versiunile de AWCS cu întârzieri aleatoare - ciclul | 193 |
| 10.7 | Studiu comparativ pentru versiunile de AWCS cu întârzieri aleatoare -constrângeri. | 193 |
| 10.8 | Studiu comparativ pentru versiunile de AWCS cu întârzieri aleatoare - mesaje. | 194 |
| 10.9 | Studiu comparativ pentru versiunile de AWCS cu filtrarea mesajelor - ciclul | 195 |
| 10.10 | Studiu comparativ pentru versiunile de AWCS cu filtrarea mesajelor - mesaje nogood și ok | 195 |
| 10.11 | Studiu comparativ pentru versiunile de AWCS cu filtrarea mesajelor - constrângeri verificate | 196 |
| 11.1 | Algoritmul asynchronous weak-commitment search cu nogood learning și nogood processor (procedurile pentru recepționarea mesajelor) | 201 |
| 11.2 | Rutina de verificare a valorilor nogood | 202 |
| 11.3 | Studiu comparativ pentru versiunile de AWCS - ciclul. | 203 |
| 11.4 | Studiu comparativ pentru versiunile de AWCS - constrângeri verificate | 203 |
| 11.5 | Studiu comparativ pentru versiunile de AWCS - mesaje nogood și ok. | 204 |
| 11.6 | Studiu comparativ pentru versiunile de AWCS cu filtrarea mesajelor- ciclul. | 205 |
| 11.7 | Studiu comparativ pentru versiunile de AWCS cu filtrarea mesajelor - mesaje nogood și ok. | 205 |
| 11.8 | Studiu comparativ pentru versiunile AWCS cu filtrarea mesajelor- constrângeri | 206 |

Lista tabelelor

| Tabel | Titlu | Pag |
|--------------|--|------------|
| 6.1 | Rezultatele experimentale pentru versiunile ABT și DisDB | 128 |
| 6.2 | Rezultatele experimentale pentru versiunile AWCS | 129 |
| 6.3 | Rezultatele experimentale pentru versiunile DB | 129 |
| 6.4 | Rezultatele experimentale pentru versiunile AWCS în cazul introducerii sincronizării parțiale și complete a agenților. | 135 |
| 6.5 | Rezultatele obținute pentru versiunile ABT în cazul introducerii sincronizării parțiale și complete a agenților. | 136 |
| 6.6 | Rezultatele obținute pentru versiunile DisDB în cazul introducerii sincronizării parțiale și complete a agenților. | 137 |
| 6.7 | Rezultatele obținute pentru versiunile AWCS în cazul introducerii managementului mesajelor | 143 |
| 6.8 | Sintetizarea comportamentului tehnicilor de căutare asincrone | 144 |
| 7.1 | Rezultatele experimentale pentru versiunile de Asynchronous Backtracking (versiunea de bază -Yokoo) în cazul introducerii flagurilor | 155 |
| 7.2 | Rezultatele experimentale pentru versiunile de Asynchronous Backtracking (versiune Yokoo) cu filtrarea mesajelor. | 156 |
| 7.3 | Rezultatele experimentale pentru versiunile ABT- (Bessiere) în cazul introducerii flagurilor. | 156 |
| 7.4 | Rezultatele experimentale pentru versiunile DisDB în cazul introducerii flagurilor. | 157 |
| 8.1 | Rezultatele experimentale pentru versiunile ABT în cazul limitării fluxului de mesaje pentru legăturile temporare | 169 |
| 9.1 | Rezultatele experimentale pentru versiunile ABT în cazul variantelor cu legături temporare și permanente | 181 |

SECȚIUNEA I.

INTRODUCERE

Secțiunea de față prezintă capitolele introductive ale lucrării, în care se prezintă tema și principalele domenii abordate.

Capitolele 2 și 3 prezintă o trecere în revistă a principalelor concepte actuale în domeniul programării cu constrângeri centralizate și distribuite și în domeniul dezvoltării sistemelor multi-agent.

În capitolul 4 sunt prezentate o serie de probleme actuale din domeniul programării bazate pe constrângeri distribuite. Preocupările din cadrul cercetărilor de doctorat, prezentate în acest material, se axează pe studierea și soluționarea acestor probleme.

1. INTRODUCERE

Teza de față prezintă contribuții proprii, rezultate din activitatea de cercetare-dezvoltare cuprinsă în programul de doctorat cu tema „Contribuții la implementarea, evaluarea și îmbunătățirea performanțelor tehnicilor de căutare asincrone în cadrul programării bazate pe constrângeri distribuite”, sub coordonarea științifică a prof. dr. ing. Vladimir CREȚU.

Societatea actuală a devenit astăzi mult mai dens interconectată prin intermediul rețelelor de calculatoare. Lucrul în colaborare, ce a început cu poșta electronică și cu grupurile de știri s-a mutat în fluxul de date, în aplicații multimedia și în construirea de medii distribuite. Surse de informații heterogene și separate fizic au început să lucreze împreună. Sarcinile au fost împărțite în cadrul rețelelor între ceea ce se cheamă „agenți”.

Un sistem distribuit este constituit dintr-o mulțime de procese autonome, care lucrează împreună într-o rețea, procese ce nu se execută în mod necesar pe același sistem de calcul. Aceste sisteme sunt fundamental diferite de sistemele cu un singur proces. În primul rând, aceste sisteme sunt inerent concurente și nondeterministe. Nu există informații globale și nici un timp global. Întârzierile de comunicații între procese sunt imprevizibile. În al doilea rând, sistemul este partajat, astfel că datele utilizatorilor trebuie să fie protejate de accesul altor utilizatori și de agenții lor de calcul. Scrierea aplicațiilor distribuite este mult mai dificilă decât programarea clasică pentru că implică manipularea mai multor concepte diferite, incluzând funcționalitatea aplicațiilor, structuri distribuite, toleranța la erori, securitate, sisteme deschise și altele.

Programarea bazată pe constrângeri (CSP) reprezintă un model al tehnologiilor software, folosit pentru descrierea și rezolvarea unor clase largi de probleme cum ar fi problemele de căutare, problemele combinatoriale, problemele de planificare, etc. O mare varietate de probleme din domeniul AI și din alte domenii ale științei calculatoarelor, pot fi văzute ca un caz special de programare cu constrângeri. Este un model recent dezvoltat, aflat la confluența mai multor domenii ale științei calculatoarelor, incluzând AI, teoria algoritmilor, limbaje de programare distribuite, calcul simbolic, teoria grafurilor, programare logică [DF99], [Fro97], [JL94], [Nad89], [Tsa93], [YDIK98], [Yok01].

În ultimii ani comunitatea AI a arătat un interes crescut pentru problemele distribuite rezolvabile cu ajutorul modelării cu constrângeri distribuite. Ideea de a împărți diferite părți ale problemei între agenți care acționează independent și care colaborează între ei folosind mesaje, în scopul obținerii soluției, s-a dovedit viabilă, obținându-se un nou tip de modelare numit Distributed Constraint Satisfaction Problem (DCSP) [YDIK92], [SGM96], [YDIK98], [Yok01]. De fapt, plecând de la modelarea bazată pe constrângeri, în cadrul modelării concurente/paralele, prin distribuirea variabilelor și a constrângerilor între diverși agenți s-a obținut acest nou tip de modelare numit DCSP, modelare identificată și sub denumirea de rețea cu constrângeri distribuite.

Rețelele cu constrângeri centralizate sau distribuite și-au dovedit succesul în modelarea problemelor reale. Multe probleme reale, cum ar fi cele de planificare, configurare, diagnoză, teoria grafurilor, design-ul circuitelor, planificare genetică,

design-ul mașinilor, înțelegerea limbajelor, etc. pot fi văzute ca și categorii de probleme de satisfacere a constrângerilor. Cele mai multe dintre problemele abordate de programarea cu constrângeri sunt probleme NP-complete. Programarea cu constrângeri distribuite a permis reducerea costurilor ce apar la obținerea soluției pentru astfel de probleme.

În cadrul modelării cu constrângeri distribuite au fost propuse mai multe metode de rezolvare a problemelor reale, metode numite tehnici de căutare asincronă. Ele se disting prin felul în care înregistrează combinațiile de valori ce nu pot fi părți ale soluției, combinații numite *nogood*, și prin metodele prin care construiesc și stochează aceste valori *nogood*.

Mai multe lucrări au fost publicate în legătură cu formalizarea modelării DCSP și a tehnicilor de rezolvare [AD97], [BMM01], [BM05], [BM03], [HBQ98], [SHF00], [Sil02], [SGM96], [YDIK98], [Yok01], [ZM04]. Toate aceste studii relative la modelarea cu agenți și constrângeri sunt motivate de existența problemelor distribuite în mod natural, mare parte dintre ele fiind probleme NP-complete. Este dificil sau imposibil de a reuni datele problemei într-un singur loc și de a aplica un algoritm centralizat. Motivele cel mai des întâlnite sunt timpul de transmitere și costul translatarea datelor într-un format comun. De asemenea, furnizarea datelor unei probleme pentru un singur agent nu poate fi realizată și din motive de securitate sau confidențialitate.

Primele tehnici de căutare asincronă, a căror completitudine a fost demonstrată, se datorează lui Yokoo, dintre acestea remarcându-se tehnica Asynchronous Backtracking (ABT) și tehnica Asynchronous Weak-Commitment Search (AWCS) [YDIK98], [Yok01]. Alte studii se datorează lui Hamadi [HBQ98] care propune o altă tehnică numită Distributed Backtracking (DIBT), tehnică ce se bazează pe o ordine dinamică în graful constrângerilor. Trebuie menționate rezultatele lui Silaghi din [SHF00], care au dus la crearea unei alte tehnici de căutare de complexitate polinomială, tehnică numită Asynchronous Search with Aggregations (AAS). Algoritmii se bazează pe schimbul ansamblurilor (agregatelor) ce includ soluții parțiale într-un model distribuit și orientat spre variabile. Alte studii, datorate lui Bessiere, au dat naștere unei alte tehnici asincrone ce combină ideile din ABT cu DIBT, tehnică numită backtracking dinamic distribuit (DisDB - Distributed Dynamic Backtracking), publicată în [BMM01], interesantă din mai multe puncte de vedere (completitudine, eficiență, spațiu polinomial). De asemenea, în [BM05], se propune unificarea cadrului ABT, prin construirea unui nucleu general ABT, din care se pot deriva tehnici cunoscute ca ABT, DIBT, DisDB, obținându-se familia ABT.

În prezent există o cantitate covârșitoare de informații ce tratează domeniul programării bazate cu constrângeri centralizate și o cantitate mult mai mică de informații ce tratează domeniul distribuit (DCSP). Majoritatea documentației necesare activității de cercetare a fost colecționată începând cu anul 2000, având acces la o serie de resurse importante, recunoscute la nivel mondial în cadrul comunității academice: societăți științifice IEEE, ACM, publicații cotate ISI, site-uri WEB ale unor instituții academice. Trebuie menționat faptul că în România domeniul sistemelor multi-agent bazate pe constrângeri nu a fost abordat, din cunoștințele noastre neexistând nici o referință. Informația colectată a fost procesată până în 2003, dar și după aceea. Din materialele studiate a rezultat faptul că problematica sistemelor multi-agent bazate pe constrângeri distribuite nu este rezolvată complet, iar o parte a soluțiilor existente nu asigură o eficiență satisfăcătoare. Astfel au fost identificate mai multe probleme, după cum urmează:

- Inexistența unor modele standard de implementare și evaluare a tehnicilor de căutare asincrone. De asemenea, inexistența unei metodologii unitare de implementare și evaluare a tehnicilor de căutare asincrone pe baza unor modele.
- Inexistența unor sisteme multi-agent publice bazate pe constrângeri, accesibile mediului academic, care să permită studiul tehnicilor de căutare asincrone.
- Existența unei varietăți de tehnici de căutare asincrone, nici una nefiind acceptată integral ca tehnica cea mai potrivită în rezolvarea problemelor modelate DCSP. Principala problemă constă în inexistența unor studii complete relative la comportamentul agenților în diverse situații practice, studii care să identifice tehnica cea mai performantă și eficientă unei clase de probleme.

Activitatea de cercetare, sintetizată în lucrarea de față, își propune să aducă o serie de contribuții și soluții pentru rezolvarea problemelor de mai sus.

Principalele obiective propuse în cadrul acestui program de cercetare-dezvoltare sunt legate de ideile cheie enunțate anterior:

- (1) Conceperea și dezvoltarea unui model pentru implementarea tehnicilor de căutare asincrone.
- (2) Conceperea unei metodologii unitare de implementare și evaluare a tehnicilor de căutare asincrone pe baza modelului identificat anterior. Această metodologie va permite construirea unor sisteme multi-agent pentru studiul tehnicilor de căutare asincrone.
- (3) Studiul detaliat al comportamentului anumitor tehnici de căutare asincrone în diverse situații cum ar fi apariția întârzierilor în furnizarea mesajelor, existența unui graf al constrângerilor foarte dens, memorie de lucru disponibilă limitată.
- (4) Identificarea și propunerea unor posibile îmbunătățiri ale performanțelor tehnicilor de căutare asincrone.

Abordarea din lucrare se axează pe următoarele idei principale:

- Utilizarea mediului NetLOGO ca un simulator de bază în studiul tehnicilor de căutare asincrone existente în cadrul programării bazate pe constrângeri distribuite.
- Utilizarea completă și eficientă a informațiilor oferite de listele de tip *nogood*, inclusiv renunțarea la stocarea acestora în anumite cazuri identificate în lucrarea de față.
- Limitarea fluxului de mesaje pentru legăturile temporare.
- Introducerea managementului mesajelor pe baza analizei cozilor de mesaje împreună cu sincronizarea execuției agenților.
- Problemele modelate cu constrângeri fiind în general probleme NP-complete, presupun analize într-o fază de preprocesare care să identifice tehnica de căutare potrivită, versiunea de implementare și condițiile de rulare.

Rezultatele obținute în cadrul activității de doctorat sunt sintetizate în teza de față, cele mai multe dintre ele fiind publicate, după cum urmează:

- analiza mediului NetLogo a permis construirea unui model general de implementare și evaluare pentru tehnicile de căutare asincrone astfel încât să se poată utiliza mediul NetLogo ca un simulator de bază în studiul tehnicilor asincrone. Acest model a fost publicat în [MusBP05] și [MJP06].

- analiza comportamentului tehnicilor din familia ABT și a celor din familia AWCS a permis introducerea managementului mesajelor în cazul tehnicilor din familia AWCS și definirea unui protocol de tratare completă a mesajelor din canalele de comunicație pentru familia AWCS. Aceste rezultate au fost publicate în [MusCP06]. De asemenea, aceasta analiză a permis introducerea sincronizării în cazul familiei AWCS, rezultate publicate în [MusVCP07].
- analiza listelor nogood arată că nu este necesară stocarea acestor valori, o soluție de eliminare a exploziei valorilor nogood fiind aceea de etichetare a valorilor din domeniul fiecărei variabile cu flaguri, soluție propusă în această teză. Această tehnică a fost publicată în [Mus05] și [MusB05].
- analiza comportamentului tehnicii ABT cu legături temporare a permis identificarea și obținerea mai multor soluții originale de determinare a numărului de mesaje schimbate de agenții cu legături temporare, număr. Apoi, o soluție de combinarea a legăturilor temporare și permanente a fost propusă și publicată. Aceste soluții au fost publicate în [MusPP05a] și [MusPP06].
- Analiza comportamentului tehnicii AWCS a permis aplicarea tehnicii nogood processor la această tehnică și combinarea ei cu tehnicile de învățare. Aceste soluții ce au permis reducerea costurilor, au fost publicate în [MCP06] și [MusC06].

Datorită volumului mare de informații prezentate, teza este structurată în secțiuni.

Prima secțiune conține capitolele introductive ale lucrării, în care se prezintă tema și principalele domenii abordate. Astfel, capitolele 2 și 3 prezintă o trecere în revistă a principalelor concepte actuale în domeniul programării cu constrângeri centralizate și distribuite și în domeniul dezvoltării sistemelor multi-agent.

În capitolul 2 se definesc formal problemele de satisfacere a constrângerilor, cazul centralizat și sunt trecuți în revistă algoritmi standard existenți în literatura de specialitate, pentru rezolvarea problemelor CSP, începând cu algoritmul backtracking. Sunt prezentate versiuni de algoritmi care încearcă să îmbunătățească backtrackingul prin modul de alegere a variabilelor, algoritmi bazați pe strategia backjumping, apoi algoritmi care combină căutarea de tip backtracking cu aplicarea unor consistențe ale constrângerilor la variabilele neinstantiate. O altă categorie importantă de algoritmi prezentați sunt algoritmi ce învață, algoritmi ce păstrează înregistrări adiționale cu constrângeri în timpul căutării. Acest model va fi modelul de plecare ce va fi extins la modelul distribuit, iar tehnicile centralizate vor fi extinse la cadrul distribuit având ca țintă rezolvarea unor probleme de căutare prin folosirea puterii mai multor agenți.

În capitolul 3 este descris cadrul de lucru al problemelor de satisfacere a constrângerilor distribuite și se prezintă cele mai importante tehnici de rezolvare a problemelor DCSP. Acest cadru va fi suportul de studiu al tezei de față. Pentru fiecare din aceste tehnici se prezintă principalele rutine de tratare a mesajelor împreună cu mecanismul de funcționare. În acest capitol sunt prezentate cele mai importante tehnici de căutare asincrone, punându-se accentul pe acei algoritmi pentru care se vor propune îmbunătățiri: tehnica „asynchronous backtracking”, tehnica „asynchronous weak-commitment search”, familia ABT, tehnica „asynchronous search with aggregations” și tehnica „distributed dynamic backtracking”.

Cu toate că domeniul programării bazate pe constrângeri a beneficiat de o atenție deosebită din partea comunității academice și industriale, domeniul programării bazate pe constrângeri distribuite la agenți este mai puțin cunoscut și dezvoltat, existând o serie de probleme nerezolvate, câteva fiind amintite în paragrafele anterioare. Astfel în capitolul 4 sunt prezentate o serie de probleme actuale din domeniul programării bazate pe constrângeri distribuite. În acest capitol sunt analizate condițiile actuale în care se face implementarea și evaluarea diverselor tehnici de căutare asincrone. Sunt identificate diverse defecte și dezavantaje ale tehnicilor de căutare asincrone, plecând de la situațiile reale ce pot apărea în practică. Sunt analizate redundanța mesajelor, explozia valorilor de tip nogood, învechirea informațiilor stocate de fiecare, respectiv modul de utilizare a informațiilor stocate în mesajele de tip nogood în cazul tehnicilor de căutare asincrone. Preocupările din cadrul cercetărilor de doctorat, prezentate în acest material, se axează pe studierea și soluționarea acestor probleme.

Secțiunea a II-a prezintă contribuții aduse în domeniul dezvoltării sistemelor multi-agent bazate pe tehnicile de căutare asincrone. Secțiunea prezintă un model de implementare și evaluare pentru tehnicile de căutare asincrone. Folosirea acestui model permite construirea a două sisteme multi-agent pentru implementarea tehnicilor de căutare asincrone. Cele două sisteme multi-agent sunt utilizate ca suport în studiul comportamentului agenților și identificarea unor îmbunătățiri în secțiunile următoare.

În capitolul 5 este analizat mediul NetLogo cu scopul construirii unui model general de implementare și evaluare pentru tehnicile asincrone astfel încât să se poată utiliza mediul NetLogo ca un simulator de bază în studiul tehnicilor de căutare asincrone. În acest capitol sunt propuse două metode de detecție a terminării algoritmilor, împreună cu arhitecturile celor două sisteme multi-agent obținute. În final, este prezentată o metodologie de implementare a tehnicilor de căutare asincrone, pe baza modelului propus.

În capitolul 6 sunt analizate cele mai importante tehnici de căutare asincrone, pe baza unui studiu experimental ce utilizează modelele de implementare și evaluare prezentate anterior. Scopul principal al acestui studiu este de a vedea comportamentul agenților în cele două situații de implementare: cu sincronizarea execuției agenților și execuție asincronă. Sunt propuse mai multe soluții de îmbunătățire a performanțelor pe baza studiului comparativ, cum ar fi sincronizarea execuției agenților în cazul anumitor tehnici, introducerea managementului mesajelor, filtrarea mesajelor.

Secțiunea a III-a conține contribuții aduse în domeniul îmbunătățirii performanțelor tehnicilor de căutare asincrone. Secțiunea prezintă mai multe soluții legate de eliminarea efectului exploziei valorilor nogood, limitarea fluxului de mesaje pentru legăturile temporare și utilizarea eficientă a listelor nogood.

În capitolul 7 este propusă o soluție originală de aplicare a tehnicii cu flaguri în cazul familiei ABT. Este înlocuită stocarea valorilor nogood cu etichetarea valorilor din domeniu prin două tipuri de flaguri. Spațiul de memorie necesar se reduce considerabil în cazul aplicării tehnicii cu flaguri. Această soluție este aplicată pentru nucleul ABT obținându-se o variantă originală numită *ABT kernel cu flaguri*. Plecând de la acest nucleu se poate ajunge la două tehnici cunoscute: Asynchronous Backtracking și Distributed Dynamic Backtracking (Bessiere) în variantele cu flaguri. În felul acesta se obține o generalizare a tehnicii cu flaguri pentru cazul familiei ABT, soluție originală propusă în acest capitol. În acest capitol, se investighează eficiența noilor tehnici din familia ABT, în raport cu fluxul de mesaje schimbate de agenți,

numărul de cicli consumați pentru găsirea soluției și constrângerile verificate, comparativ cu tehnicile de bază derivate din nucleul ABT.

În capitolul 8 este investigat comportamentul tehnicii ABT_{temp} pentru diferite valori ale numărului de mesaje transmise pentru legăturile temporare. Pe baza acestei analize, în acest capitol sunt identificate și prezentate mai multe soluții originale de determinare a numărului de mesaje schimbate de agenții cu legături temporare, număr optim de mesaje pentru care trebuie păstrată o legătură temporară. Este propusă o soluție dinamică de determinare a numărului de mesaje necesare pentru păstrarea unei legături, experimentele arătând o reducere a costurilor relativ la varianta de bază ABT.

În capitolul 9 se propune un nou membru hibrid pentru familia ABT, membru derivat din nucleul ABT prin eliminarea informațiilor învechite dintre agenți, combinând două metode de eliminare a informațiilor învechite dintre agenți: adăugarea de legături permanente între agenți, respectiv adăugarea de legături temporare. Noul membru se obține prin identificarea și transformarea anumitor legături temporare în legături permanente. Pentru aceasta se propune o metodă de identificare a legăturilor temporare bazată pe informațiile relative la fluxul de mesaje învechite recepționate de fiecare agent. Capitolul 9 continuă studiul legăturilor temporare cu scopul de a găsi soluții de îmbunătățire a performanțelor tehnicilor de căutare asincrone, studiul având ca punct de plecare soluțiile dinamice propuse în capitolul 8.

În capitolele 10 și 11 sunt propuse soluții de adaptare a tehnicii „nogood processor” pentru tehnica AWCS și de combinare a acestei tehnici cu tehnicile de construire a unor nogooduri eficiente, obținându-se o variantă hibridă cu costuri mai mici în obținerea soluției.

În capitolul 10 se propune o soluție de adaptare a tehnicii „nogood processor” introdusă de Armstrong, pentru tehnica AWCS [AD97]. Această tehnică constă în stocarea valorilor nogood și folosirea ulterioară a informațiilor din nogood-uri în procesul de selectare a unei noi valori pentru variabilele asociate agenților. Sunt analizate situațiile în care se folosește un „nogood processor” centralizat și situațiile în care se distribuie nogood-urile la mai multe „nogood processor” ce sunt mânuite de anumiți agenți. Se propune o soluție de distribuire a procesoarelor de nogood-uri către agenți, în funcție de ordinea agenților, cu scopul de a reduce costurile de căutare și de stocare.

Plecând de la rezultatele din capitolul 10, în capitolul 11 se încearcă combinarea variantelor de nogood processor cu tehnicile de învățare, cu scopul de a găsi o soluție de îmbunătățire a performanțelor tehnicii AWCS. Plecând de la aceste tehnici, sunt propuse în acest capitol anumite modificări pentru cele două tehnici cunoscute, obținând două tehnici derivate. Scopul combinării celor două tehnici (tehnici ce se concentrează pe minimizarea și selecția valorilor nogood.) a fost de îmbunătățire a eficienței algoritmului AWCS.

Secțiunea a IV-a prezintă concluziile desprinse pe parcursul tratării subiectelor propuse în lucrare, rezumatul contribuțiilor, precum și perspectivele de continuare a cercetării. În capitolul 12 se face o trecere în revistă a obiectivele propuse în această teză. O prezentare detaliată a modului în care au fost tratate și atinse aceste obiective se regăsește în acest capitol. De asemenea, un rezumat al contribuțiilor este prezentat în capitolul 12, menționându-se și publicațiile în care au fost prezentate rezultatele.

Întreaga activitate de cercetare-dezvoltare din cadrul programului de doctorat a fost realizată în laboratoarele de calculatoare ale Facultății de Inginerie Hunedoara și în cele existente în cadrul Departamentului de Calculatoare al

22 Secțiunea I - Introducere

Universității „Politehnica” din Timișoara, laboratoare coordonate de autor și de către prof. dr. ing. Vladimir CREȚU. Diverse elemente și rezultate au fost obținute în colaborare cu laboratorul de sisteme multi-agent existent în cadrul Departamentului de Știința și Ingineria Calculatoarelor, Universitatea din Carolina de Sud (SUA), coordonat de prof. Jose VIDAL ([MASNet-a]).

2. PROBLEME DE SATISFACEREA CONSTRÂNGERILOR. MODELUL CSP

Problemele de satisfacere a constrângerilor reprezintă un cadru nou, general, de modelare și formalizare pentru foarte multe aplicații. Rețelele cu constrângeri și-au dovedit succesul în modelarea problemelor reale. Multe probleme reale, cum ar fi cele de planificare, configurare, diagnoză, teoria grafurilor, proiectarea circuitelor, biologie moleculară, design-ul mașinilor, înțelegerea limbajelor, inginerie electrică (localizarea erorilor), etc. pot fi văzute ca și categorii de probleme de satisfacere a constrângerilor.

În acest capitol este descris modelul CSP și sunt trecuți în revistă algoritmi standard existenți în literatura de specialitate, pentru rezolvarea problemelor CSP.

În partea de început a capitolului se definesc formal problemele de satisfacere a constrângerilor, prezentându-se câteva exemple de probleme reale modelate cu constrângeri. Apoi, se prezintă primul algoritm de rezolvare CSP bazat pe căutare, algoritm cunoscut sub numele de backtracking. Cea mai mare parte a capitolului se concentrează pe prezentarea unor algoritmi care caută să elimine defectele backtrackingului. Sunt prezentate versiuni de algoritmi care îmbunătățesc backtrackingul prin modul de alegere a variabilelor, algoritmi bazați pe strategia backjumping, apoi algoritmi care combină căutarea de tip backtracking cu aplicarea unor consistențe ale constrângerilor la variabilele neinstantiate. Sunt prezentate câteva euristici existente în literatura de specialitate, euristici ce încearcă îmbunătățirea backtrackingului prin modificarea statică sau dinamică a ordinii variabilelor. O altă categorie de algoritmi bazați pe backtracking sunt algoritmi ce învață prin păstrarea unor înregistrări adiționale cu constrângeri în timpul căutării.

Acest model va fi modelul de plecare ce va fi extins la modelul distribuit, iar tehnicile centralizate vor fi extinse la cadrul distribuit având ca țintă rezolvarea unor probleme de căutare prin folosirea mai multor agenți.

2.1. Definirea modelului Problemelor de Satisfacere a Constrângerilor.

În acest paragraf sunt definite noțiunile de bază necesare construirii modelului CSP. Acest model se bazează pe mai multe noțiuni de valoare, domeniu, asociere, constrângere și consistență [DF99], [Tsa93].

2.1.1. Definirea problemelor de satisfacere a constrângerilor.

Definiția 2.1.1 (Valoare). O *valoare* este un element ce poate fi atribuit unei variabile. Dacă variabila este notată cu x_i atunci notația $x_i=v_i$ semnifică atribuirea valorii v_i la variabila x_i .

În funcție de tipul acestor valori ce pot fi atribuite variabilelor se obțin diverse tipuri de probleme. Valorile pot fi numerice (întregi, raționale, reale, etc.) sau booleene (true sau false). În general, pentru problemele de satisfacere a

constrângerilor se consideră valoarea v_i ce poate fi atribuită variabilelor x_i de tip întreg.

Definiția 2.1.2 (Domeniul unei variabile). Domeniul unei variabile este o mulțime de valori pe care le poate lua acea variabilă. Dacă variabila este x_i , se va nota cu D_i domeniul acestei variabile.

Definiția 2.1.3 (Asociere). Se numește *asociere* pentru variabila x_i o pereche (x_i, v) , unde v este o valoare din domeniul lui x_i . Dacă variabilei x_i i s-a atribuit o valoare v_i din domeniul său se spune că este *instanțiată*, în caz contrar *neinstanțiată*.

Variabilele cu care se operează sunt date de obicei într-o anumită ordine. Prin urmare, noțiunea de instanțiere poate fi extinsă la un grup ordonat de variabile.

Definiția 2.1.4 (Instanțiere parțială). Se numește *instanțiere parțială* \rightarrow pentru un grup de variabile ordonate (x_1, x_2, \dots, x_k) , notată \mathcal{A}_k o mulțime de asocieri realizată în ordinea dată: $((x_1, a_1), (x_2, a_2), \dots, (x_k, a_k))$.

Definiția 2.1.5 (Constrângere). O *constrângere* pentru o mulțime de variabile este un ansamblu de asocieri ce validează acele variabile. O constrângere va fi notată prin C_X , unde X este mulțimea de variabile validate.

Pentru domenii finite de valori, o constrângere poate fi reprezentată ca o submulțime a produsului cartezian al domeniilor variabilelor implicate.

În practică, o constrângere este o simplă relație logică între mai multe variabile ce pot lua valori dintr-un domeniu dat. O constrângere limitează valorile posibile pe care le pot lua variabilele. Constrângerile pot fi reprezentate în diverse moduri: matrici, funcții, inegalități, mulțimi de valori interzise. De exemplu, dacă se consideră trei variabile x_1, x_2, x_3 fiecare luând valori din intervalul $[1, 10]$, o constrângere poate fi o relație algebrică $x_1 + x_2 + x_3 > 17$, dar se poate reprezenta și prin mulțimea de valori care sunt permise.

O constrângere ce implică k -variabile se mai numește de aritate k . Dacă constrângerea implică una sau maxim două variabile ea se numește constrângere binară. O constrângere binară va fi notată cu C_{ij} , unde cele două variabile implicate sunt x_i și x_j . Orice constrângere de aritate k poate fi transformată într-o constrângere binară. În această lucrare se va considera cazul constrângerilor binare.

O constrângere se precizează prin submulțimea de variabile și combinațiile de valori asociate care sunt permise. De fapt, o constrângere poate fi definită ca un predicat, notat $p_i(x_{i1}, \dots, x_{ij})$, definit pe produsul cartezian $D_{i1} \times D_{i2} \times \dots \times D_{ij}$. Predicatul este adevărat dacă toate asocierile de valori la aceste variabile satisfac constrângerea.

Definiția 2.1.6 (Instanțiere parțială consistentă). O instanță parțială a unui grup ordonat de variabile \mathcal{A}_k este *consistentă* dacă toate constrângerile ce implică variabilele din instanță sunt îndeplinite pentru asocierile din aceea instanță.

Definiția 2.1.7 (Variabilă eșec). O variabilă x_i se numește *variabilă eșec* dacă nu există nici o valoare în domeniul său care să fie consistentă cu instanța

parțială consistentă a_{i-1} . Cu alte cuvinte, variabila x_i nu are nici o valoare în domeniul său a.i. să fie consistentă cu variabilele anterioare x_k , $i=1, i-1$.

Definiția 2.1.8 (Modelul CSP). Modelul bazat pe constrângeri Constraint Satisfaction Problems-CSP, existent pentru arhitecturi centralizate este un triplet $P=\{X, D, C\}$, unde:

- X este un ansamblu finit de n variabile x_1, x_2, \dots, x_n , ce pot lua valori finite, din mai multe domenii discrete finite D_1, D_2, \dots, D_n ce formează mulțimea D .
- C este o mulțime de constrângeri între aceste variabile.

Definiția 2.1.9 (Rezolvarea unei probleme CSP).

Rezolvarea unei probleme de satisfacerea constrângerilor $P=\{X, D, C\}$ constă în construirea unei asocieri de valori din domeniul D pentru toate variabilele din X astfel încât toate constrângerile din C să fie îndeplinite.

Remarca 2.1.1. Îndeplinirea constrângerilor este, în general, o problemă NP-completă.

O problemă care are o soluție se mai numește *rezolvabilă* sau *consistentă*, în caz contrar i se spune *nerezolvabilă* sau *inconsistentă*. În anumite probleme se dorește găsirea tuturor soluțiilor, în alte cazuri este suficientă găsirea unei singure soluții sau un răspuns legat de existența acesteia.

Exemplu. Se consideră mulțimile $P=\{X, D, C\}$:

- $X = \{x_1, x_2, x_3\}$.
- $D = \{D_1, D_2, D_3\}$ cu $D_1=D_2=D_3=\{1, 2, 3\}$.
- $C = \{C_{123}=\{(v_1, v_2, v_3) \in D_1 \times D_2 \times D_3, \text{ unde } v_1 + v_2 = v_3\}, C_{12}=\{(v_1, v_2) \in D_1 \times D_2, \text{ unde } v_1 \neq v_2\}\}$.

Se observă că această problemă are două soluții $\{x_1=1, x_2=2, x_3=3\}$ și $\{x_1=2, x_2=1, x_3=3\}$.

Definiția 2.1.10 (Constrângere de aritate k). O constrângere este de aritate k (constrângere k -ara) dacă ea implică cel mult k variabile. O constrângere se numește *unară* dacă se referă la o singură variabilă. În schimb, o constrângere *binară* corespunde la două variabile.

Definiția 2.1.11 (Problemă de satisfacere a constrângerilor binare).

O problemă CSP se numește binară, dacă toate constrângerile sunt unare sau binare.

Definiția 2.1.12 (Graful constrângerilor). Fiecare problemă de satisfacere a constrângerilor poate fi reprezentată printr-un graf al constrângerilor, în care nodurile sunt reprezentate de variabile iar arcele conectează fiecare pereche de variabile conținute în constrângerile binare.

Remarca 2.1.1 O problemă de satisfacerea constrângerilor se mai numește și *rețea cu constrângeri*.

2.1.2. Exemple de probleme reale modelate CSP.

În acest paragraf sunt prezentate mai multe exemple clasice de probleme CSP, probleme ce vor putea fi extinse și pentru modelarea cu constrângeri distribuite.

Exemplul 2.1.1-problema celor n regine.

Problema constă în plasarea a n regine pe tabla de șah astfel încât să nu atace reciproc. Problema poate fi formalizată ca o problemă CSP astfel:

- variabilele corespund celor n regine, variabila x_i va memora coloana de pe linia i în care se va așeza regina i (se observă cu fiecare regină trebuie așezată pe o linie separată, altfel problema nu se poate rezolva).
- domeniul variabilelor este $\{1, 2, \dots, n\}$, adică cele n coloane ale tablei de șah.
- constrângerile se referă la faptul că reginele nu trebuie să se atace reciproc, acest lucru putând fi formalizat prin predicate. De exemplu, o constrângere între două variabile x_i și x_j poate fi reprezentată astfel: $x_i \neq x_j$ (nu sunt pe aceeași coloană) $\wedge |x_i - x_j| \neq |i - j|$ (nu sunt pe aceeași diagonală).

Găsirea unei soluții constă în asocierea de valori la fiecare variabilă (regină) astfel încât constrângerile să fie îndeplinite.

În cazul acestei probleme constrângerile sunt binare (sunt definite între două variabile). Scopul oricărui algoritm CSP este de a asocia valori din domeniu (aici din cele n coloane) și de a verifica constrângerile existente. Graful constrângerilor în cazul problemei celor n regine este un graf complet, oricare 2 regine apar într-o constrângere

Exemplul 2.1.2- problema satisfacerii formulelor propoziționale (SAT)

Un alt exemplu de problemă clasică de satisfacerea constrângerilor este problema satisfacerii formulelor propoziționale (SAT). Scopul problemei este de a determina când o formulă booleană este îndeplinită, adică dacă există asocieri de valori pentru care formula să aibă valoarea true. O formulă booleană este compusă din variabile booleene, care pot lua două valori : true sau false, variabile legate prin operatori logici cum ar fi \wedge (și) \vee (sau) \neg (negația) și $()$ parantezele de grupare. O clauză este o disjuncție de literale, unde prin literal se înțelege valoarea atașată unei variabile.

Dându-se o mulțime de clauze C_1, C_2, \dots, C_m și variabilele x_1, x_2, \dots, x_n , problema SAT constă determinarea condițiilor în care formula $C_1 \wedge C_2 \wedge \dots \wedge C_m$ este îndeplinită. În particular, dacă numărul de literale din fiecare clauză este limitat la 3, problema se mai numește 3-SAT . Se observă faptul că aici domeniile variabilelor sunt formate doar din două valori.

Exemplul 2.1.3- problema colorării unui graf.

Un alt exemplu de problemă clasică (nu numai) de satisfacerea constrângerilor este problema colorării unui graf (sau problema colorării hărților). Scopul acestei probleme este de a colora fiecare nod cu o culoare astfel încât două noduri vecine (legate printr-un arc) să nu aibă aceeași culoare. Fiecare nod poate fi colorat cu un număr finit de culori. Problema se poate descrie cu ajutorul modelului CSP:

- $\mathbf{X} = \{x_1, x_2, \dots, x_n\}$ – cele n variabile asociate celor n noduri.
- $\mathbf{D} = \{D_1, D_2, \dots, D_n\}$ cu $D_1 = D_2 = \dots = D_n = \{1, 2, \dots, m\}$ cu m numărul de culori utilizate.
- $\mathbf{C} = \{C_{ij} = \{(v_i, v_j) \in D_i \times D_j, \text{ unde dacă } a[i, j] = 1 \text{ atunci } v_i \neq v_j \text{ (adică dacă nodurile } i \text{ și } j \text{ sunt vecine, culorile lor să fie diferite)}\}$

Practic culoarea fiecărui nod va fi stocată într-o variabilă, iar culorile disponibile unui nod vor forma domeniul acelei variabile. Constrângerile se referă la

faptul că două noduri vecine, să nu aibă aceeași culoare. De exemplu, dacă se cunoaște matricea de adiacența a grafului, putem scrie aceste constrângeri astfel: dacă $a[i,j]=1$ atunci $x[i] \neq x[j]$ (dacă i și j sunt vecine, culorile lor să fie diferite).

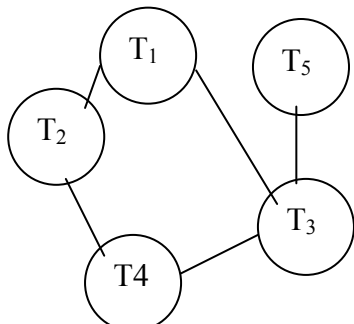
Exemplul 2.1.4- problema planificării lucrărilor.

O altă clasă de probleme, în care se poate folosi pentru formalizare și rezolvare cadrul CSP, este cea a problemelor de planificare a lucrărilor. Problema poate fi văzută ca o problemă CSP astfel:

- $\mathbf{X} = \{ x_1, x_2, \dots, x_n \}$ – cele n variabile asociate celor n lucrări.
- $\mathbf{D} = \{ D_1, D_2, \dots, D_n \}$ cu $D_1=D_2 = \dots = D_n$ – intervalele de timp la care pot începe lucrările.
- $\mathbf{C} = \{ C_{ij} = \{ (v_i, v_j) \in D_i \times D_j \}$, unde există anumite restricții între v_i și v_j .

De exemplu, pentru o problemă de planificare a 5 lucrări, notate cu T_1, T_2, T_3, T_4 și T_5 , fiecare necesitând o oră pentru executarea lor. Lucrările pot începe la 1:00, 2:00 sau 3:00. În orice moment se pot executa mai multe lucrări simultan, planificarea lor fiind totuși restricționată de următoarele restricții: T_1 trebuie să pornească după T_2 și T_3 , dar înainte de T_4 și după T_5 . De asemenea, T_2 nu se poate executa în același timp cu T_1 sau T_4 și T_4 nu poate porni la ora 2:00 .

Cu cele cinci lucrări și cele trei intervale de timp, se poate modela această problemă de planificare prin crearea a 5 variabile, câte una pentru fiecare lucrare. Variabilele pot lua valori din domeniul $\{1:00, 2:00, 3:00\}$. Constrângerile sunt cele prezentate mai sus (de asemenea, ele sunt prezentate sub o altă formă în figura 2.1). Pentru această modelare, în figura 2.1 este prezentat graful constrângerilor și relațiile dintre constrângeri. În acest exemplu constrângerile sunt binare.



Constrângeri unare: $T_4 \neq 2:00$

Constrângeri binare:

$T_1, T_2 : \{ (1:00, 2:00), (1:00, 3:00), (2:00, 1:00), (2:00, 3:00), (3:00, 1:00), (3:00, 2:00) \}$

$T_1, T_3 : \{ (2:00, 1:00), (3:00, 1:00), (3:00, 2:00) \}$

$T_2, T_4 : \{ (1:00, 2:00), (1:00, 3:00), (2:00, 1:00), (2:00, 3:00), (3:00, 1:00), (3:00, 1:00), (3:00, 2:00) \}$

$T_3, T_4 : \{ (1:00, 2:00), (1:00, 3:00), (2:00, 3:00) \}$

$T_3, T_5 : \{ (2:00, 1:00), (3:00, 1:00), (3:00, 2:00) \}$

Figura 2.1. Graful constrângerilor și relațiile dintre constrângeri pentru problema planificării lucrărilor

O altă formalizare de tip CSP constă în a crea trei variabile, fiecare corespunzând la cele trei momente de timp, domeniul fiind format din cele cinci lucrări $\{T_1, T_2, \dots, T_5\}$.

Alte exemple de probleme CSP sunt cele de planificare și programare ([KS92]), raționamentul diagnosticilor, problema frecvenței asocierilor (numită și problema asocierii canalelor) [Box78] .

Trebuie remarcat faptul că, deși formalizarea CSP este foarte simplă, această formalizare poate acoperi o varietate mare de probleme. De exemplu, problema etichetării scenelor dintr-o imagine de pe computer a fost prima aplicație modelată cu CSP. După ce o imagine este preluată și stocată în computer folosind o cameră video, liniile pot fi recunoscute și se pot reface scenele imaginii.

2.2 Metode de rezolvare pentru clasa de probleme CSP.

2.2.1. Introducere

Orice problemă modelată ca o problemă CSP poate fi rezolvată cu ajutorul metodelor generale oferite de algoritmi cu constrângeri, existenți pentru arhitecturi centralizate. Modelarea CSP (numită și rețea cu constrângeri) este specifică arhitecturilor centralizate.

Metodele de rezolvare a problemelor cu constrângeri pot fi împărțite în două mari grupe de algoritmi [DF99], [Ku92], [Fro97], [Tsa93]:

- **algoritmi pentru consistența constrângerilor.** Aceștia sunt algoritmi de preprocesare ce se aplică înaintea algoritmilor de căutare, în scopul reducerii mai târziu a efortului de căutare.
- **algoritmi de căutare.** Algoritmii de căutare sunt algoritmi propriu-ziși de găsire a soluțiilor prin căutare.

Termenul de **căutare** este utilizat pentru a desemna o categorie largă de algoritmi care rezolvă problemele prin definirea operațiilor ce vor fi făcute, posibil cu ajutorul unor euristici. O bună ghicire a ordinii de căutare poate duce la o apropiere de soluție. În schimb, dacă operațiile alese nu conduc spre soluție, ele pot fi abandonate și se pot încerca altele.

Pentru modelarea CSP, căutarea este exemplificată de algoritmi de tip *backtracking* [DF99], [Tsa93], [Ku92]. Backtrackingul are la bază asocierea de valori la variabile astfel încât o soluție parțială este extinsă prin atribuirea unei noi valori la o nouă variabilă. Dacă nu se găsește nici o valoare acceptabilă, se revine la asocierea precedentă și se încearcă o altă asociere (de aici denumirea de *backtracking*). Acest tip de căutare, în cazul cel mai nefavorabil, necesită un timp exponențial după numărul de variabile pentru găsirea unei soluții.

Rezolvarea unei probleme prin deducere se aplică cu scopul de a transforma problema inițială într-una echivalentă având o formă mai simplă (în sensul rezolvării mai ușoare). Cele mai cunoscute aplicări ale principiului deducerii sunt cunoscute sub numele de *propagarea constrângerilor* sau *consistența constrângerilor*. Aceste metode constau în transformarea grafului constrângerilor într-unul echivalent, de obicei prin *deducerea* unor noi constrângeri prin gruparea vechilor constrângeri și anularea valorilor corespunzătoare din domeniul lor. Sunt întâlnite rețele de constrângeri numite 1-consistente în care valorile din domeniul fiecărei variabile satisfac graful constrângerilor unare (în care avem constrângeri legate de o singură variabilă). O foarte mare varietate de algoritmi au fost dezvoltati pentru introducerea consistențelor locale [MF85], [Coo90], [VHDT92].

Algoritmii bazați pe consistențe locale se aplică în faza de preprocesare a problemei înainte de aplicarea algoritmilor de căutare. În marea majoritate a cazurilor, metodele de căutare sistematică cum ar fi *backtracking*-ul, vor lucra mai eficient pe reprezentări având la bază constrângeri consistente. Nivele variate privind consistența constrângerilor intercalate în procesul de căutare dau naștere unor tehnici primare de consistență ce sunt încorporate în limbajele de programare cu constrângeri [JL94].

În plus față de căutarea bazată pe *backtracking* și *propagarea constrângerilor*, alte metode de rezolvare includ *căutare locală stohastică* și algoritmi *structure-driven*. Metodele stohastice caută soluția executând salturi în spațiul complet al instanțelor [MJPL90]. Interesul pentru soluțiile stohastice s-a mărit după succesul algoritmilor GSAT [SLM92].

2.2.2 Tehnica Backtracking.

2.2.2.1. Prezentarea metodei backtracking.

Un algoritm simplu pentru rezolvarea problemelor de satisfacere a constrângerilor este backtracking, algoritm bazat pe traversarea arborelui de căutare în maniera căutării în adâncime [DF99], [Tsa93], [Ku92].

Tehnica backtracking pleacă de la o mulțime inițial vidă, de variabile ce vor trebui instanțiate. Tehnica încearcă extinderea mulțimii de variabile cu o nouă variabilă și o nouă valoare asociată pentru această variabilă. Dacă valoarea asociată este bună, procesul se repetă până când toate variabilele sunt incluse. În caz de insucces, o altă valoare este considerată pentru aceea variabilă (o valoare neîncercată anterior) până se găsește una acceptabilă. Dacă nu există nici o valoare se revine la variabila anterioară și se repetă procesul. Revenirea la variabila anterioară poartă denumirea de backtrack. Se observă că algoritmul backtracking extinde o soluție parțială, ce denotă starea din spațiul de căutare, prin adăugarea unei noi variabile (și a valorii respective). Un lucru foarte important este legat de ordinea în care se introduc variabilele în soluția parțială. Ordinea poate fi fixată de la început sau determinată în timpul rulării.

Backtracking-ul parcurge trei etape [DF99], [Tsa93]:

- etapa *forward* (înainte) în care variabila următoare, conform ordinii existente, este selectată.
- etapa *extinderii* în care soluția parțială este extinsă prin asocierea unei valori consistente (din cele nealese), dacă există, pentru variabila curentă.
- etapa *backward* (de revenire) în care se revine la variabila anterioară, dacă nici o valoare consistentă nu s-a găsit pentru variabila curentă.

În figura 2.2 este descris algoritmul de bază al backtracking-ului [DF99]. Algoritmul din figura 2.2. returnează cel mult o soluție, dar se poate adapta ușor încât să returneze toate soluțiile sau soluțiile care verifică anumite criterii (de exemplu soluțiile optime).

Procedura **Backtracking**

Intrări: : Rețeaua de constrângeri cu variabilele $\{x_1, x_2, \dots, x_n\}$ și domeniile $\{D_1, D_2, \dots, D_n\}$

Ieșiri: O soluție formată din valorile asociate, sau un mesaj că rețeaua de constrângeri este inconsistentă (adică nu există soluții).

$i \leftarrow 1$ {Se inițializează variabila ce contorizează variabilele }

$D'_i \leftarrow D_i$ {Se copiază domeniul}

while $i \leq n$

 instanțiază $x_i \leftarrow \text{SelectareValoare}$ {Etapa extinderii }

 if x_i este nul then {Nici o valoare nu s-a găsit pentru x_i }

$i \leftarrow i - 1$ {Etapa backtrack}

 else

$i \leftarrow i + 1$ {Etapa forward }

$D'_i \leftarrow D_i$

end while

if $i = 0$ then

```

        return "inconsistent"
    else
        return valorile atribuite lui {x1, x2, ..., xn}
end procedure

Procedura SelectareValoare
while Di' nu este vid do
    Selectează un element arbitrar a ∈ Di'
    Di' ← Di' - {a}
    if (xi, a) este consistentă cu celelalte valori din soluția parțială
        return a
    end while
return nul {Nu s-a găsit nici o valoare consistentă}
end procedure

```

Figura. 2.2. Algoritmul Backtracking.

Algoritmul lucrează cu o serie de valori din domeniul D_i . De obicei, nu este necesar să se lucreze direct cu aceste valori ci se lucrează cu o mulțime de întregi mapate peste valorile din domeniu. Valorile sunt alese de o subrutină separată numită *SelectareValoare*. Subrutina *SelectareValoare* a fost separată de rutina principală pentru o mai bună claritate. Ea are ca scop selectarea unei valori pentru variabila x_i și verificarea consistenței constrângerilor existente în probleme. Această parte de algoritm se mai numește și *verificarea consistențelor* și reprezintă un domeniu de studiu intens de îmbunătățire a performanțelor algoritmilor CSP. De ea depinde foarte mult care este efortul de calcul necesar pentru rezolvarea problemei. Prin urmare, numărul de consistențe verificate reprezintă o unitate de măsură foarte des folosită pentru evaluarea efortului de calcul.

Costul (măsurat în timpii de lucru ai procesorului) consistențelor căutate depinde și de reprezentarea internă a constrângerilor. Dacă constrângerile sunt păstrate sub forma unei liste de tuple compatibile, va fi nevoie de căutarea unei anumite tuple. În astfel de cazuri tehnicile de sortare și indexare reduc timpul mediu de acces. În schimb, când constrângerile sunt slabe, mai eficient este să fie păstrate cele incompatibile într-o listă. O altă tehnică care permite verificarea constrângerilor este aceea de a reprezenta constrângerile sub forma unui tablou cu valori booleene cu mai multe dimensiuni ce depind de numărul de variabile aflate în constrângere. O altă posibilitate este de a reprezenta o constrângere printr-o subrutină de test. Dacă constrângerile sunt de exemplu egalități între valorile variabilelor, metoda poate fi eficientă.

Un caz des întâlnit este cel în care se lucrează cu constrângeri binare. Pentru cazul constrângerilor binare (în care fiecare constrângere este între două variabile) complexitatea subrutinei *SelectareValoare* este de tipul $O(n)$. Dacă se folosește o listă pentru păstrarea constrângerilor consistente, căutarea necesită $O(\log c)$ unde c este numărul de constrângeri. În schimb, dacă se folosesc proceduri pentru păstrarea constrângerilor, complexitatea procedurii *SelecteazăValoare* depinde de complexitatea procedurilor care verifică constrângerile.

Activitatea de căutare a algoritmului backtracking poate fi descrisă printr-un arbore de căutare, arbore parcurs în adâncime. În figura 2.3. este prezentat un

exemplu simplu de problemă a colorării unui graf. Pentru această problemă în figura 2.4 este prezentat arborele de căutare parcurs de tehnica backtracking. Exemplul din figura 2.4 prezintă un caz particular al problemei CSP – colorarea grafurilor, pentru 7 noduri.

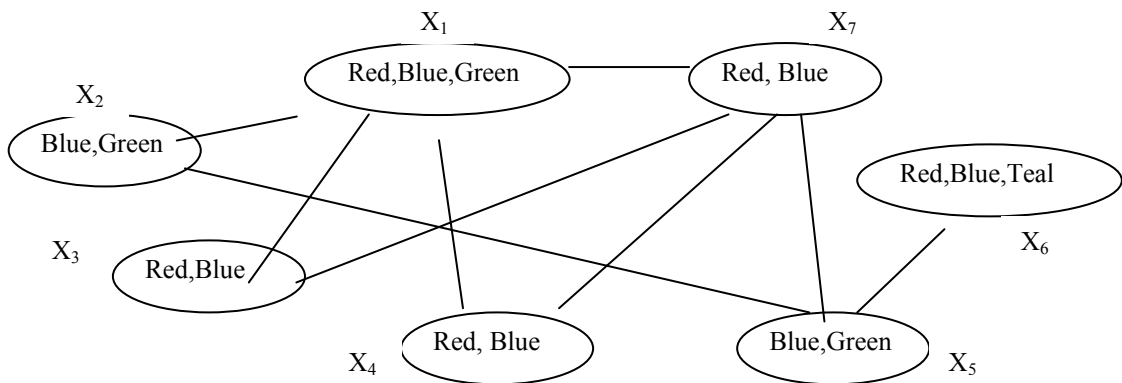


Fig. 2.3. Problema colorării unui graf cu 7 noduri.

Domeniul fiecărei variabile este scris în interiorul elipsei asociate nodului. Se observă că nu toate nodurile au domenii diferite. Pentru această problemă, considerând ordinea X_1, X_2, \dots, X_n , tehnica backtracking parcurge următorul arbore de căutare, prezentat în figura 2.4 (de fapt, în figura 2.4 apare o parte a acestui arbore).

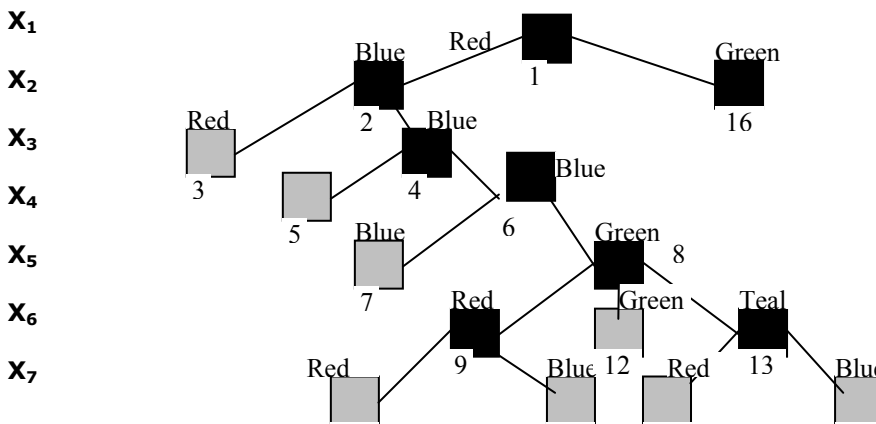


Figura 2.4. Arborele de căutare (parțial) obținut în urma aplicării tehnicii backtracking

Nodurile hașurate cu negru sunt noduri din care căutarea mai poate continua (pentru valorile asociate), în schimb nodurile hașurate cu gri sunt noduri ale căror valori sunt incompatibile cu valorile anterioare. Nodurile au fost numerotate în ordinea construirii lor de către backtracking.

2.2.2.2 Defectele algoritmului backtracking. Îmbunătățirea performanțelor.

O intensă muncă de cercetare s-a depus în ultima decadă pentru îmbunătățirea performanțelor căutării prin backtracking. Backtracking-ul obișnuit suferă de ceea ce se cheamă *trashing* adică algoritmul redescoperă în timpul căutării aceleași inconsistențe și soluții parțiale, fără a ține cont de acest lucru.

Performanțele backtracking-ului pot fi îmbunătățite prin reducerea mărimii spațiului de căutare expandat (care este determinat de spațiul de căutare al problemei inițiale și de strategia tehnicii de căutare). Mărimea spațiului de bază al problemei depinde de modul în care sunt reprezentate constrângerile, de ordinea de instanțiere a variabilelor și, când o soluție este suficientă, ordinea în care valorile sunt asociate la fiecare variabilă. Ținându-se cont de aceste trei elemente, cercetătorii au dezvoltat două tipuri de strategii ce ar trebui urmate pentru reducerea spațiului de căutare: preprocesarea spațiului de căutare, înainte de a trece la căutarea soluției și reducerea dinamică în timpul căutării a spațiului de căutare prin luarea de decizii de nevizitarea a anumitor porțiuni. Cele mai cunoscute sunt tehnicile de preprocesare numite arc și path-consistency (din primul tip de strategii) [Mac77], [Nad89] și tehnici euristice pentru determinarea ordinii variabilelor [BR75], [DM94], [DP89], [MJPL90], [FQ85], [Pur83].

Tehnicile de îmbunătățire a backtrackingului prin micșorarea în mod dinamic (în timpul rulării) a spațiului de căutare se pot grupa și ele în două mari scheme: *tehnici de căutare înainte* [HE80], [Walt75] (numite scheme *look-ahead*) și *tehnici de căutare înapoi* (numite scheme *look-back*) conform cu cele două etape principale ale backtracking-ului. Tehnica de căutare înainte se poate folosi atunci când algoritmul se află la pasul forward și se dorește asocierea unei valori la următoarea variabilă. În schimb, schema de căutare înapoi se aplică la pasul de back al backtrackingului [Gas79], [Dec90], [Pros93a], [Pros93b]. Aceste tehnici sunt prezentate mai departe în paragrafele care vor urma. Aceste tehnici sunt aplicate și pentru cazul distribuit.

2.2.3. Tehnica Backjumping

2.2.3.1. Definirea strategiei backjumping.

Un alt algoritm primar (folosit și la cadrul distribuit) ce încearcă să îmbunătățească randamentul metodei backtracking, este backjumping-ul [Gas79], [Dec90], [Pros93b], [DF99]. Spre deosebire de tehnica backtracking care redescoperă aceleași eșecuri, algoritmul backjumping încearcă să reducă fenomenul de redescoperire a eșecurilor.

Un eșec apare atunci când pentru o variabilă x_i nu s-a găsit nici o valoare consistentă, algoritmul trebuind să revină la variabila x_{i-1} , conform definiției 2.1.7, x_i este denumită variabilă eșec. Considerând că există o nouă valoare pentru x_{i-1} , dar că nu există nici o constrângere între x_i și x_{i-1} , același eșec va fi reîntâlnit de x_i , încă o dată și încă o dată, până când toate valorile lui x_i vor fi parcurse. De exemplu, pentru problema din figura 2.4 (exemplu particular al problemei colorării unui graf) se întâlnește un eșec la x_7 pentru următoarea asociere: x_1 =red, x_2 =blue, x_3 =blue, x_4 =blue, x_5 =green, x_6 =red. În această situație, backtracking-ul va reveni la variabila x_6 , va atribui o nouă valoare lui x_6 și va reîntâlni același eșec pentru x_7 . În schimb, algoritmul backjumping va identifica variabila "vinovată" de producerea

eșecului, va realiza un salt la aceasta și va trece la reinițializarea acesteia (în loc să continue cu instanțierea cronologică a variabilelor).

Identificarea variabilelor vinovate se bazează pe noțiunea de *mulțime conflictuală*. Starea de eșec la nivelul i indică faptul că instanțierea curentă parțială $\vec{a}_i = (a_1, \dots, a_i)$ intră în conflict cu x_{i+1} (numită variabilă eșec). Dar și subtuplul $\vec{a}_{i-1} = (a_1, \dots, a_{i-1})$ poate să intre în conflict cu x_{i+1} și, prin urmare, algoritmul backtracking revine la x_i pentru a-i schimba aceea valoare fără ca această valoare să rezolve întotdeauna eșecul lui x_{i+1} . În general, orice tuplu \vec{a}_i ce a ajuns la eșec la nivelul i poate să conțină mai multe subtuple ce sunt în conflict cu x_{i+1} . Orice asemenea instanță parțială nu va putea să fie parte a unei soluții. Strategia backtracking este greșită pentru că revine la subtuplul \vec{a}_i fără a rezolva aceste mulțimi de conflicte. Prin urmare, eșecul lui x_{i+1} va mai apărea.

Definiția 2.2.1 (Mulțime conflictuală). Fie instanța consistentă $\vec{a}_i = (a_1, \dots, a_i)$ și y o variabilă neinstanțiată. Dacă nu există nicio valoare din domeniul variabilei y care să fie consistentă cu instanța \vec{a}_i atunci \vec{a}_i se numește *mulțime conflictuală*. În plus, dacă \vec{a}_i nu conține o submulțime care să fie în conflict cu y , atunci \vec{a}_i se numește *mulțime conflictuală minimală*.

Definiția 2.2.2 (Nogood). Orice instanță parțială ce nu apare într-o soluție a problemei CSP se numește *nogood*.

Se remarcă faptul că orice mulțime conflict este nogood, dar există valori nogood care nu sunt mulțimi conflictuale cu orice variabilă.

Strategia algoritmului backjumping este diferită față de strategia backtracking. Strategia precizează că nu trebuie făcut un salt la variabila anterioară, ci la cea mai recentă variabilă x_k pentru care instanțierea $\vec{a}_{k-1} = (a_1, \dots, a_{k-1})$ nu conține nici o mulțime conflictuală cu variabila eșec x_{i+1} .

În funcție de modul de detectare a *variabilei vinovate*, există mai multe variante de backjumping. În continuare, sunt prezentate 3 variante de backjumping. Primul algoritm, numit *Gaschnig's backjumping* se bazează pe ideea de revenire la variabila vinovată de producerea eșecului. Al doilea algoritm, numit *graph-based backjumping* (backjumping bazat pe graful constrângerilor), extrage informații din graful constrângerilor, informații despre punctele de revenire nerelevante. Al treilea algoritm, numit *conflict-directed backjumping* combină cele două idei anterioare.

2.2.3.2 Tehnica Gaschnig's backjumping

Primul algoritm ce încearcă reducerea *thrashing-ului* a fost propus de Gaschnig în [Gas79]. Acest algoritm este capabil să revină de la variabila eșec la cea

mai apropiată variabilă care, instanțiată, este cauza directă a producerii eșecului. O astfel de variabilă este identificată atunci când variabila împreună cu zero sau mai multe variabile care o preced (conform ordinii fixate), este instanțiată în asemenea mod că constrângerile resping orice valoare a variabilei eșec.

Algoritmul *Gaschnig's backjumping* este prezentat în figura 2.5 [Gas79], [DF99].

```

Procedură GashnigBackjumping
Intrări. : O rețea de constrângeri cu variabilele  $\{x_1, x_2, \dots, x_n\}$  și domeniile  $\{D_1, D_2, \dots, D_n\}$ 
Ieșiri: O soluție formată din valorile asociate, sau un mesaj că rețeaua de constrângeri este inconsistentă (adică nu există soluții).
 $i \leftarrow 1$            {Se inițializează variabila ce contorizează variabilele }
 $High_i \leftarrow 0$       {Se inițializează pointerul la variabila vinovată de eșec }
 $D'_i \leftarrow D_i$       {Se copiază domeniul}
while  $i \leq n$ 
    instanțiază  $x_i \leftarrow$  SelectareValoareGBJ {Etapă extinderii }
    if  $x_i$  este nul then {Nici o valoare nu s-a găsit pentru  $x_i$  }
         $i \leftarrow High_i$            {Se face backjump}
    else
         $i \leftarrow i + 1$            {Etapă forward }
         $D'_i \leftarrow D_i$ 
         $High_i \leftarrow 0$ 
    end while
    if  $i = 0$  then
        return "inconsistent"
    else
        return valorile atribuite lui  $\{x_1, x_2, \dots, x_n\}$ 
end procedure

Procedură SelectareValoareGBJ
while  $D'_i$  nu este gol do
    Selectează un element arbitrar  $a \in D'_i$ 
     $D'_i \leftarrow D'_i - \{a\}$ 
    consistent  $\leftarrow$  true
     $k \leftarrow 1$ 
    while  $k < i$  and consistent
        if  $k > High_i$ 
             $High_i \leftarrow k$ 
            →
            if  $a_k$  este în conflict cu  $(x_i, a)$ 
                consistent  $\leftarrow$  false
        else
             $k \leftarrow k + 1$ 
    end while
    if consistent
        return a

```

| | |
|--|---|
| end while return nul end procedure | {Nu s-a găsit nici o valoare consistentă} |
|--|---|

Fig. 2.5. Algoritmul Gashnig's Backjumping

Remarca 2.2.1. În cazul tehnicii backjumping etapa de backtrack existentă la tehnicile backtracking este înlocuită cu etapa de backjumping.

Pentru localizarea variabilei care a produs eșecul, algoritmul folosește un tablou, numit $High_i$, $i=1,n$. În acest tablou se memorează, în timpul generării lui

a_i (adică în etapa extinderii), anumite informații folosite apoi la identificarea variabilei vinovate de eșec. De fapt, $High_i$ va reține ultima variabilă conform ordinii, care a fost testată pentru consistența cu x_i . De obicei, dacă x_i nu este variabilă eșec, atunci $High_i$ va conține $i-1$.

De exemplu, pentru problema din figura. 2.3 (problema colorării unui graf) se întâlnește un eșec la x_7 pentru următoarea asociere: $x_1=red$, $x_2=blue$, $x_3=blue$, $x_4=blue$, $x_5=green$, $x_6=red$. În această situație, $High_7$ este 3 deoarece $x_7=red$ a fost exclus de $x_1=red$, valoarea blue pentru x_7 este exclusă de $x_3=blue$ și nici o altă variabilă nu a mai fost examinată. În schimb, alte valori pentru x_6 nu sunt necesare a mai fi explorate. În această situație algoritmul revine la variabila x_3 , unde nu mai are nici o valoare de încercat ($D_3'=\emptyset$). Cum $High_3=2$, următoarea variabilă examinată va fi x_2 .

Acest comportament permite algoritmul Gashnig's backjumping să nu mai exploreze o parte a arborelui de căutare (parcurs de tehnica backtracking). În felul acesta se reduc costurile necesare obținerii soluției.

2.2.3.3. Tehnica Graph-based backjumping

În algoritmul Gashnig's backjumping un salt era făcut în momentul întâlnirii unui eșec. Acest algoritm este capabil să revină de la variabila eșec la cea mai apropiată variabilă care, instanțiată, este cauza directă a producerii eșecului. O astfel de variabilă era o frunză în arborele de căutare. Totuși, un eșec poate să apară și în interiorul unui nod al arborelui de căutare. Dacă toți copiii unui nod interior în arborele de căutare conduc la un eșec, atunci se spune că nodul respectiv este un eșec interior. Când apare un eșec interior, cel puțin o valoare a variabilelor este compatibilă cu variabilele anterioare, dar aceste valori compatibile nu conduc la o soluție.

Graph-based backjumping este la bază un backtracking publicată în [Dec90], ce poate sări peste variabilele responsabile de eșec. Spre deosebire de algoritmul Gashnig's backjumping, backjumping-ul bazat pe graful constrângerilor poate sări peste eșecurile interioare. De asemenea, acest algoritm extrage informații despre posibilele mulțimi de conflicte exclusiv din graful constrângerilor.

Când apare un eșec și o soluție nu poate fi extinsă la următoarea variabilă x , algoritmul graph-based backjumping sare la cea mai recentă variabilă y conectată la x în graful constrângerilor. Dacă y nu mai are alte valori, algoritmul face un salt înapoi încă odată la următoarea variabilă conectată la x , ș.a.m.d. Pentru a realiza aceste salturi, algoritmul consultă o listă de informații preprocesate anterior, listă numită *mulțimea părinților* sau *strămoșilor* unei variabile eșec x_i .

Definitia 2.2.3 (strămoși, părinte). Dându-se graful constrângerilor și ordinea variabilelor d , mulțimea strămoșilor variabilei x_i , notată cu $anc(x_i)$, este mulțimea variabilelor care preced pe x_i conform ordinii d și sunt conectate cu aceasta. Părintele lui x_i , notat cu $p(x_i)$ este cea mai recentă variabilă din $anc(x_i)$.

Această mulțime va fi notată în algoritmul din figura 2.7 cu $anc(x_i)$ este formată din variabilele care sunt conectate la x_i în graful constrângerilor și preced variabila x_i (conform ordinii existente).

Definitia 2.2.4 (strămoși induși, părinte indus). Dându-se variabila x_i și submulțimea de variabile Y ce succed pe x_i în ordinea dată, mulțimea de strămoși induși a lui x_i relativ la mulțimea Y , notată cu $Ind_i(Y)$, este formată din toate nodurile x_k , cu $k < i$ a.i. există un drum de lungime cel puțin 1 de la x_i la x_k ce trece prin nodurile din Y . În mod similar, se numește părinte indus, notat cu $P_i(Y)$, cea mai recentă variabilă din $Ind_i(Y)$.

În figura 2.6 este prezentat graful constrângerilor (a) împreună cu graful indus de mulțimea părinților (b). De exemplu, pentru variabila x_6 , $anc(x_6) = \{x_2\}$ iar $p(x_6) = x_2$. În schimb, pentru x_7 , $anc(x_7) = \{x_1, x_3, x_4, x_5\}$, iar $p(x_7) = x_5$.

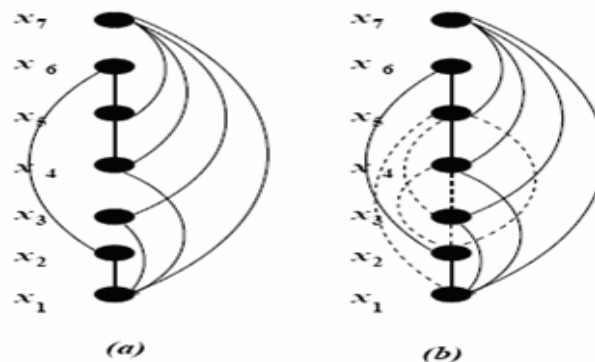


Figura 2.6. Graful constrângerilor (a) și graful indus de mulțimea părinților (b)

Remarca 2.2.2. Graful indus se obține din graful constrângerilor prin adăugarea unor legături între fiecare nod și părinții induși.

După ce apare un eșec la variabila x_i , algoritmul revine la o anumită variabilă bazându-se pe informațiile din mulțimea strămoșilor. Pot apărea două situații:

- dacă variabila eșec x_i este o frunză, atunci se revine la părintele lui x_i .
- dacă x_i este un eșec interior se construiește o nouă mulțime prin reunirea mulțimii strămoșilor lui x_i cu toate acele variabile eșec care au fost găsite în arborele de căutare mai jos de x_i . Apoi, se revine la cea mai recentă variabilă din această mulțime, care în algoritm apare sub numele de I_i .

În comparație cu algoritmul anterior, această variantă are avantajul de nu avea nevoie să se mai actualizeze acel tablou $High_i$ după fiecare inconsistență găsită. În schimb, la acest algoritm este nevoie de o operație de preprocesare, necesară pentru a determina mulțimile strămoș $anc(x_i)$.

Algoritmul graph-based backjumping este prezentat în figura 2.7 [Dec90], [DF99].


```

Procedure Graph-Based-Backjumping
  Intrări: O rețea de constrângeri cu variabilele  $\{x_1, x_2, \dots, x_n\}$  și domeniile  $\{D_1, D_2, \dots, D_n\}$ 
  Ieșiri: O soluție formată din valorile asociate, sau un mesaj că rețeaua de constrângeri este inconsistentă (adică nu există soluții).
  Construiește anc( $x_i$ ) pentru fiecare  $x_i$  {se construiește lista strămoșilor pt. fiecare  $x_i$  }
   $i \leftarrow 1$  {Se inițializează variabila ce contorizează variabilele }
   $D'_i \leftarrow D_i$  {Se copiază domeniul}
   $I_i \leftarrow \text{anc}(x_i)$  {Se copiază lista strămoșilor pentru a o putea modifica }
  while  $i \leq n$ 
    instanțiază  $x_i \leftarrow \text{SelectareValoare}$  {Etapa extinderii }
    if  $x_i$  este nul then {Nici o valoare nu s-a găsit pentru  $x_i$  }
       $i\text{-prev} \leftarrow i$ 
       $i \leftarrow$  cea mai recentă din  $I_i$  {Se face backjump}
       $I_i \leftarrow I_i \cup I_{i\text{-prev}} - \{x_i\}$ 
    else
       $i \leftarrow i+1$  {Etapa forward }
       $D'_i \leftarrow D_i$ 
       $I_i \leftarrow \text{anc}(x_i)$ 
    end while
  if  $i=0$  then
    return "inconsistent"
  else
    return valorile atribuite lui  $\{x_1, x_2, \dots, x_n\}$ 
  end procedure

Procedure SelectareValoare { identică cu cea de la backtracking }
  ...
end procedure

```

Figura 2.7. Algoritmul graph-based Backjumping

Un dezavantaj al folosirii mulțimilor de strămoși bazate pe graful constrângerilor, comparativ cu strategia de descoperire a conflictelor în momentul căutării consistențelor, este că se folosesc prea puține informații "rafinată" despre cauza eșecului. Astfel, o variabilă poate fi conectată la o variabilă eșec, dar nu poate fi cauza directă a eșecului. În astfel de cazuri, algoritmul de backjumping bazat pe graful constrângerilor, nu va sări prea departe, și astfel, puține eșecuri se vor evita.

2.2.3.4 Tehnica Conflict-directed backjumping.

O altă variantă de backjumping este cea numită *conflict-directed backjumping*. Tehnica este descrisă în [Pros93b]. Această tehnică combină două idei legate de locul în care se face saltul: revenire la variabila care, instanțiată, este în conflict cu variabila eșec curentă și revenire la variabilele care produc un eșec interioare. Când o submulțime de variabile sunt instanțiate, ele și alte constrângeri

care nu sunt relevante pot fi temporar șterse din graful constrângerilor, creându-se un nou graf numit graf condițional.

Algoritmul de conflict-directed backjumping folosește schema schițată de algoritmul de backjumping bazat pe graful constrângerilor, folosind informațiile din graf, exploatând informațiile acumulate în timpul căutării. Pentru fiecare variabilă, algoritmul păstrează o mulțime (notată în algoritm cu J_i) numită mulțime de revenire. Această mulțime înlocuiește mulțimea strămoșilor de la algoritmul precedent. Spre deosebire de algoritmul anterior, unde mulțimea $\text{anc}(x)$ se calcula înainte, la acest nou algoritm, mulțimea de revenire se recalculează de fiecare dată când x_i este instanțiată și nu mai conține variabile precedente care instanțiate intrau în conflict cu câteva valori ale lui x_i . În felul acesta se poate reduce substanțial spațiul de căutare comparativ cu algoritmul anterior, pentru că aceste mulțimi J_i sunt mai mici decât $\text{anc}(x)$.

Algoritmul este prezentat în figura 2.8 [Pros93b].

Procedură **Conflict-Directed –Backjumping**

Intrări: O rețea de constrângeri cu variabilele $\{x_1, x_2, \dots, x_n\}$ și domeniile $\{D_1, D_2, \dots, D_n\}$

Ieșiri: O soluție formată din valorile asociate, sau un mesaj că rețeaua de constrângeri este inconsistentă (adică nu există soluții).

$i \leftarrow 1$ {Se inițializează variabila ce contorizează variabilele }

$D'_i \leftarrow D_i$ {Se copiază domeniul }

$J_i \leftarrow \emptyset$ {Se inițializează mulțimile conflict }

while $i \leq n$

instanțiază $x_i \leftarrow \text{SelectareValoare}$ {Etapa extinderii }

if x_i este nul then {Nici o valoare nu s-a găsit pentru x_i }

$i\text{-prev} \leftarrow i$

$i \leftarrow$ cea mai recentă din J_i {Se face backjump }

$J_i \leftarrow J_i \cup J_{i\text{-prev}} - \{x_i\}$

else

$i \leftarrow i+1$

{Etapa forward }

$D'_i \leftarrow D_i$

$J_i \leftarrow \emptyset$

end while

if $i=0$ then

return "inconsistent"

else

return valorile atribuite lui $\{x_1, x_2, \dots, x_n\}$

end procedure

Procedură **SelectareValoare**

while D'_i nu este gol do

Selectează un element arbitrar $a \in D'_i$

$D'_i \leftarrow D'_i - \{a\}$

consistent \leftarrow true

$k \leftarrow 1$

while $k < i$ and consistent

```

    →
    if  $a_k$  este în conflict cu  $(x_i, a)$ 
        adaugă  $x_k$  la  $J_i$ 
        consistent ← false
    else
        k ← k+1
    end while
    if consistent
        return a
    end while
    return nul {Nu s-a găsit nici o valoare consistentă}
end procedure

```

Fig. 2.8. Algoritm conflict –directed Backjumping

Trebuie amintit faptul că mai există o variantă de backjumping numită *dependency-directed backtracking*, algoritm propus de Stallman și Sussman în contextul analizei circuitelor [SS77]. Ideea de bază a algoritmului este de a înregistra cauzele eșecului într-o bază de date a constrângerilor, astfel permițând algoritmului să facă revenirea direct la variabila care era parte a eșecului.

În încheiere, mai trebuie spus, că termenul de backtracking inteligent este de asemenea folosit pentru algoritmii de tip backjumping în programarea logică. De asemenea, acești algoritmi de backjumping au avut un rol foarte important în construirea tehnicilor de căutare asincrone cum ar fi *DIBT*.

2.2.4 Strategii bazate pe învățare.

2.2.4.1. Definirea strategiilor de învățare bazate pe nogood-uri.

Conform definiției 2.2.2 un nogood este o instanță parțială ce nu poate fi parte a unei soluții. Totuși, un nogood oferă foarte multe informații ce pot fi folosite în procesul de căutare a soluției. Algoritmii bazați pe învățare folosesc informațiile din nogoodurile ce apar în timpul căutării. Cu alte cuvinte, la un anumit pas al algoritmului se poate învăța din greșeli astfel încât situația conflictuală identificată de un nogood să nu se mai repete.

În cazul algoritmului *conflict-directed-Backjumping* se întâlnește noțiunea de *mulțime minimă de conflict*. Această mulțime este de fapt un nogood ce poate să apară de mai multe ori în timpul căutării (în mod inutil). Strategiile bazate pe învățare folosesc acest lucru pentru a curăți spațiul de căutare. O altă idee este de a introduce noul nogood ca o constrângere suplimentară astfel încât să nu se mai permită selectarea acelor valori. În literatura CSP și DCSP se folosește foarte des termenul de *learning* și cu sensul de a înregistra potențiale informații ce pot deveni utile în timpul procesului de căutare. Informațiile pot fi deduse din informațiile primite la intrare, dar în timpul căutării. De exemplu, apariția unui eșec în cazul

backtrackingului înseamnă că instanța a_i este în conflict cu variabila x_{i+1} . O astfel de combinație poate fi înregistrată pentru mai târziu ca o constrângere astfel încât un astfel de eșec să nu se mai repete. Trebuie remarcat că înregistrarea sub această formă nu are nici o valoare pentru că strategia backtrackingului nu va atinge

această situație. Totuși, când o instanță \vec{a}_i conține una sau mai multe mulțimi în conflict cu x_{i+1} , se înregistrează cea mai mică dintre mulțimile aflate în conflict ca o constrângere. Astfel, în timpul căutării, se va putea exclude o combinație mai mare de valori ce conține și acel nogood.

Plecând de la modul în care se identifică mulțimea conflict minimală, strategiile de învățare pot fi în *adâncime* („deep”) sau la suprafață („shallow”). Prima strategie de tip *deep* înregistrează numai mulțimile conflict minimale. În schimb, a doua strategie *shallow* înregistrează mulțimile conflict neminimale. Acești algoritmi pot înregistra un singur nogood pentru un eșec sau mai multe nogooduri și în felul acesta permit învățarea la nivel de eșec de tip frunză sau la nivel interior în arborele de căutare. În acest paragraf sunt trecuți în revistă trei algoritmi de învățare: învățarea bazată pe graful asociat problemei (graph-based learning), învățarea de tip deep (deep learning) și învățarea de tip jumpback (jumpback learning).

2.2.4.2. Învățarea bazată pe graful constrângerilor

Acest algoritm se obține din algoritmul graph-based backjumping. El utilizează aceeași metodă ca și algoritmul graph-based backjumping în identificarea nogoodurilor. Practic, informațiile despre conflicte sunt deduse din graful constrângerilor. Pentru o instanță eșec \vec{a}_i , acele submulțimi de valori asociate cu strămoșii lui x_{i+1} sunt identificate și incluse în mulțimea conflict.

Algoritmul graph-based backjumping-learning este prezentat în figura 2.9 [Dec90], [DF99].

Procedură **Graph-Based-Backjumping-Learning**

Intrări: : O rețea de constrângeri cu variabilele $\{x_1, x_2, \dots, x_n\}$ și domeniile $\{D_1, D_2, \dots, D_n\}$

Ieșiri: O soluție formată din valorile asociate, sau un mesaj că rețeaua de constrângeri este inconsistentă (adică nu există soluții).

Construiește **anc(x_i)** pentru fiecare x_i {se construiește lista strămoșilor pt. fiecare x_i }

$i \leftarrow 1$ {Se inițializează variabila ce contorizează variabilele }

$D'_i \leftarrow D_i$ {Se copiază domeniul }

$I_i \leftarrow \text{anc}(x_i)$ {Se copiază lista strămoșilor pentru a o putea modifica }

while $i \leq n$

 instanțiază $x_i \leftarrow \text{SelectareValoare}$ {Etapă extinderii }

 if x_i este nul then {Nici o valoare nu s-a găsit pentru x_i }

\vec{a}_i ca un nogood {se înregistrează eșecul }

$i \leftarrow i - 1$

$i \leftarrow$ cea mai recentă din I_i {Se face backjump }

$I_i \leftarrow I_i \cup I_{i-\text{prev}} - \{x_i\}$

 else

$i \leftarrow i + 1$ {Etapă forward }

$D'_i \leftarrow D_i$

```

        Ii ← anc(xi)
    end while
    if i=0 then
        return "inconsistent"
    else
        return valorile atribuite lui {x1, x2, ..., xn}
    end procedure

Procedure SelectareValoare          { identică cu cea de la backtracking }
...
end procedure

```

Figura 2.9. Algoritmul graph-based Backjumping-learning

2.2.4.3 Strategii de învățare în adâncime.

Identificarea și înregistrarea numai a mulțimilor minimale conflictuale poartă denumirea de strategie de învățare în adâncime. Spre deosebire de strategia de învățare anterioară, care înregistrează mulțimile conflictuale neminimale, ea descoperă toate mulțimile conflictuale minimale și în felul acesta stochează toate informațiile despre eșec.

Descoperirea tuturor mulțimilor conflictuale minimale poate fi făcută astfel:

- se recunosc toate mulțimile conflict pentru un element;
- apoi se recunosc mulțimile de conflict pentru două elemente, s.a.m.d.;
- în general, dacă s-au recunoscut toate mulțimile conflictuale de dimensiune $1, \dots, i-1$ se construiesc mulțimile conflictuale de dimensiune i care nu conțin nici o mulțime conflictuală de dimensiune mai mică.

Pentru a elimina explozia de timp și spațiu ce apare în cazul învățării de tip deep, se poate identifica doar mulțimea conflictuală minimală relativă la prefixul mulțimii conflict. Ceea ce se obține este o *mulțime de salt* la pasul de backtracking ce apare în cazul algoritmului conflict-directed backjumping.

Algoritmul este prezentat în figura 2.10 [FD94].

```

Procedure Conflict-Directed - Backjumping-Learning
Intrări: O rețea de constrângeri cu variabilele {x1, x2, ..., xn} și domeniile {D1, D2, ..., Dn}
Ieșiri: O soluție formată din valorile asociate, sau un mesaj că rețeaua de constrângeri este inconsistentă (adică nu există soluții).
i ← 1           {Se inițializează variabila ce contorizează variabilele }
D'i ← Di      {Se copiază domeniul}
Ji ← ∅         {Se inițializează mulțimile conflict }
while i ≤ n
    instanțiază xi ← SelectareValoare {Etapa extinderii }
    if xi este nul then {Nici o valoare nu s-a găsit pentru xi }
        record Ji și valorile corespunzătoare ca un nogood
        i-prev ← i
        i ← cea mai recentă din Ji           {Se face backjump}
        Ji ← Ji ∪ Ji-prev - {xi}
    else
        i ← i+1                               {Etapa forward}

```

```

         $D_i' \leftarrow D_i$ 
         $J_i \leftarrow \emptyset$ 
    end while
    if  $i=0$  then
        return "inconsistent"
    else
        return valorile atribuite lui  $\{x_1, x_2, \dots, x_n\}$ 
    end procedure

    Procedure SelectareValoare {identică cu conflict-directed Backjumping}
    ...
    end procedure

```

Figura 2.10. Algoritmul conflict-directed Backjumping-Learning

Ca o concluzie, prima metodă de învățare bazată pe grafurile constrângerilor înregistrează constrângeri de dimensiune mare (ea este mai performantă), în schimb cele de tip deep pe cele mai scurte. Explozia valorilor nogood va putea fi redusă sau eliminată prin diverse metode ce vor fi prezentate într-un capitol următor.

2.2.5 Strategii look-ahead.

Algoritmii de căutare specifici clasei CSP pot combina backtracking-ul și propagarea locală a constrângerilor, prin aplicarea unor proceduri de consistență a constrângerilor la variabilele neinstanțiate. Această combinație este cunoscută sub numele de "look-ahead". Extinderea unei instanțe parțiale poate influența constrângerile variabilelor rămase și aplicând aceste constrângeri consistente se poate reduce dimensiunea spațiului de căutare.

Pentru a putea exemplifica strategiile "look-ahead", se reconsideră exemplul inițial prezentat în figura 2.3, exemplu relativ la problema colorării grafului, unde inițial x_1 are asociată valoarea red. Conform acestei strategii *look-ahead*, valoarea red în domeniile variabilelor x_3 , x_4 și x_7 (care urmează a fi instanțiate) este incompatibilă cu instanțierea parțială (aici formată doar din x_1) și ar trebui ștersă provizoriu. Mai mult, analizând grafurile constrângerilor se poate observa că x_3 și x_7 sunt conectate în grafurile constrângerilor și valorile rămase în domeniu sunt incompatibile, fiecare variabilă având în domeniu doar valoarea {blue} și, astfel, problema cu $x_1 = \text{red}$ nu are nici un arc consistent. O astfel de instanțiere a lui x_1 cu red, va conduce în mod inevitabil la un eșec și, prin urmare, această asociere trebuie eliminată.

În mod sigur, strategiile look-ahead implică un cost suplimentar după fiecare instanțiere, totuși ele oferă câteva beneficii. Ștergând din domeniul viitoarelor variabile toate valorile inconsistente cu soluția parțială, se elimină necesitatea de a testa valorile variabile curente (în sensul consistenței) cu variabilele anterioare. Ca un corolar există situația în care toate valorile unei variabile neinstanțiate (vezi situația variabilei x_7) sunt inconsistente și strategia *look-ahead* le șterge din domeniul acelei variabile, atunci instanțierea parțială nu poate fi parte a unei soluții și, prin urmare, algoritmul poate reveni la o variabilă anterioară. În felul acesta se va reduce spațiul de căutare.

În general, folosirea unor nivele puternice de propagare a constrângerilor (adică constrângeri puternice) combinată cu strategia look-ahead, are ca efecte

explorarea unui spațiu de căutare mult mai mic dar și costuri suplimentare legate de strategia look-ahead.

2.2.5.1 Algoritmii bazați pe strategiile look-ahead

Strategiile look-ahead ce folosesc proceduri de consistență pentru constrângeri necesită, în cazul cel mai nefavorabil, același timp exponențial ca și backtracking-ul. Dacă procedurile sunt bazate pe consistența arcelor sau pe o formă de slăbire a consistențelor, atunci spațiul necesar nu este mai mare ca și mulțimea principală D' . Se vor prezenta mai departe cele mai importante strategii *look-ahead*. Aceste strategii folosesc o subrutină pentru obținerea unor constrângeri consistente între două variabile, subrutină prezentată în figura 2.11 și publicată pentru prima dată în [Mac77].

```

Procedură Revise(m,n)
  Intrări.: O rețea de constrângeri cu variabilele  $\{x_1, x_2, \dots, x_n\}$  și domeniile  $\{D_1, D_2, \dots, D_n\}$  și o instanță parțială  $\vec{a}_i$  și indicii celor două variabile m și n
  Ieșiri: Domeniul  $D'_m$  modificat pentru fiecare valoare  $a$  din  $D'_m$ 
  if nu există nici o valoare  $b \in D'_n$  a.î instanțierea  $(\vec{a}_i, x_m=a, x_n=b)$  este consistentă
    Șterge  $a$  din  $D'_m$ 
  endif
end procedură
    
```

Figura 2.11. Procedura pentru consistența constrângerilor

Cele trei strategii au dat naștere la trei algoritmi, după cum urmează:

- *Forward checking* [HE80]- este o formă limitată de propagarea constrângerilor. Forward checking ține cont de efectul valorii selectate la variabilele viitoare.
- *Arc-consistency look ahead* - include backtracking-ul bazat pe algoritmi care aplică consistența arcelor la variabilele neinstanțiate după fiecare asociere a unei valori la variabila curentă. Este de fapt o combinație de strategii *look ahead* și consistența arcelor .
- *Directional arc-consistency look-ahead; Partial looking ahead* [HE80]- reprezintă soluții bazate pe forward-checking și arc consistency.

Lista de mai sus nu este completă. Există alte tehnici performante, bazate pe aplicarea consistenței arcelor și a strategiilor look ahead, cum ar fi variantele lui Waltz [Walt75]. Cercetările recente au început să pună în balanță costurile algoritmilor de tip look ahead și cei care se ocupă de curățarea spațiului de căutare, mai ales pentru probleme dificile și cu dimensiuni mari.

2.2.5.2. Tehnica Forward checking.

Algoritmul *forward checking*, descris în [HE80], este utilizat ca o variantă de backtracking. În contrast însă cu tehnicile backtracking și backjumping, ce se bazează pe ștergerea valorilor din domeniul variabilei curente prin căutarea unor valori bune

în variabilele anterioare, algoritmul *forward checking* atribuie o valoare variabilei curente și șterge temporar valorile aflate în conflict din domeniul tuturor variabilelor viitoare (care sunt neinstantțiate). Valorile sunt șterse temporar din domeniul respectiv.

Ca și backtracking-ul și backjumping-ul, în algoritmul se folosesc mulțimile D'_i pentru a păstra domeniul efectiv de căutare. Anularea temporară a unor valori din mulțimile D'_i , mai este cunoscută și sub denumirea de "filtrare". În literatura de specialitate, algoritmi care filtrează domeniul variabilelor neinstantțiate sunt adesea numiți algoritmi "look-ahead".

Algoritmul forward checking din [HE80] este descris în figura 2.12.

Procedură **Forward-Checking**

Intrări: O rețea de constrângeri cu variabilele $\{x_1, x_2, \dots, x_n\}$ și domeniile $\{D_1, D_2, \dots, D_n\}$

Ieșiri: O soluție formată din valorile asociate, sau un mesaj că rețeaua de constrângeri este inconsistentă (adică nu există soluții).

```

 $D'_i \leftarrow D_i$     pentru  $i=1, n$     {Se copiază domeniul}
 $i \leftarrow 1$       {Se inițializează variabila ce contorizează variabilele }
while  $i \leq n$ 
    instanțiază  $x_i \leftarrow$  SelectareValoareFC {Etapa extinderii }
    if  $x_i$  este nul then    {Nici o valoare nu s-a găsit pentru  $x_i$  }
        resetează fiecare mulțime  $D'_k$  la valorile avute înainte de ultima instanțiere a lui  $x_i$ 
         $i \leftarrow i-1$     {Etapa backtrack}
    else
         $i \leftarrow i+1$     {Etapa forward }
end while
if  $i=0$  then
    return "inconsistent"
else
    return valorile atribuite lui  $\{x_1, x_2, \dots, x_n\}$ 
end procedure

```

Procedură **SelectareValoareFC**

```

while  $D'_i$  nu este gol do
    Selectează un element arbitrar  $a \in D'_i$ 
     $D'_i \leftarrow D'_i - \{a\}$ 
    Empty-Domain  $\leftarrow$  false
    Pentru toți  $k, i < k \leq n$ 
        Revizuiți( $k, i$ )
        if  $D'_k$  este gol    {Adică atribuirea  $x_i=a$  conduce la un eșec}
            Empty-Domain  $\leftarrow$  true
    if Empty-Domain    {Nu se selectează valoarea  $a$ }
        resetează fiecare mulțime  $D'_k$  la valorile avute înainte de a selecta valoarea  $a$ 

```



```

else return a
end while
return nul           {Nu s-a găsit nici o valoare consistentă}
end procedure
    
```

Figura 2.12. Algoritmul forward checking

Algoritmul forward checking, descris în figura 2.12, diferă față de backtracking în mai multe moduri. În primul rând, selectarea unei valori pentru extinderea instanței parțiale presupune căutarea unei valori care să fie compatibilă cu cel puțin o valoare pentru fiecare variabilă din cele viitoare. O altă diferență este legată de faptul că nu este nevoie să se compare valoarea curentă cu valorile precedente. Algoritmul forward checking tinde în a face să apară eșecul cât mai repede în timpul căutării, ceea ce este opus ca și comportare față de algoritmi de backjumping prezentați anterior.

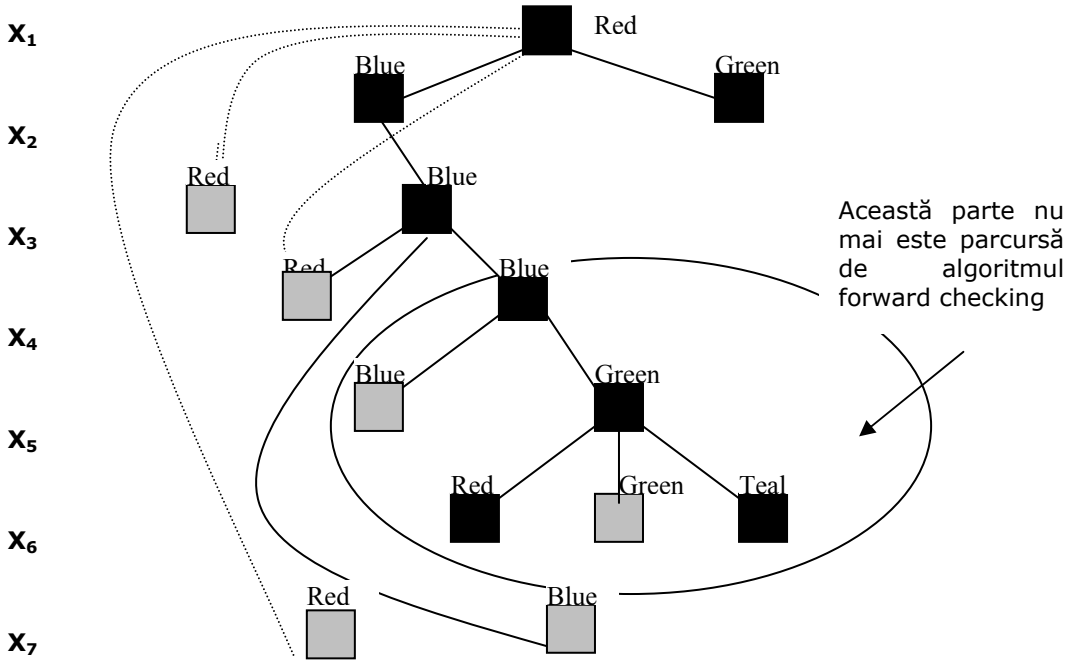


Figura 2.13. Arborele de căutare (parțial) parcurs de algoritmul forward checking

Comportamentul tehnicii forward checking se observă în figura 2.13, pentru exemplul referitor la problema colorării grafului. Se observă că instanțierea lui x_1 cu *red* va reduce domeniile lui x_3 , x_4 și x_7 . În schimb, instanțierea lui x_2 cu *blue* nu va afecta nici un domeniu viitor. Variabila x_3 are numai valoarea *blue* în domeniu și selectarea acelei valori va conduce la golirea domeniului lui x_7 , așa încât $x_3=blue$ este respinsă.

În figura 2.13 se observă că o parte din valori sunt conectate cu linie întreruptă. Acele valori vor fi filtrate de algoritm (de exemplu $x_7=red$).

2.2.5.3 Arc-consistency. Combinarea algoritmilor de consistența arcelor cu strategiile look ahead.

O altă clasă de algoritmi pentru procesarea problemelor CSP sunt algoritmi care aplică consistența arcelor sau propagarea constrângerilor.

Așa cum s-a prezentat în paragraful §2.1.2, fiecare problemă de satisfacere a constrângerilor poate fi reprezentată printr-un graf al constrângerilor, în care nodurile sunt reprezentate de variabile iar arcele conectează fiecare pereche de variabile conținute în constrângeri (o astfel de problemă se mai numește și rețea de constrângeri). O astfel de rețea de constrângeri poate avea mai multe grade de consistență.

Definiția 2.2.5 (rețea 1-consistentă). O rețea de constrângeri este *1-consistentă* sau *nod-consistentă* dacă valorile din domeniul fiecărei variabile satisfac rețeaua unară de constrângeri.

Definiția 2.2.6 (rețea arc-consistentă). O rețea de constrângeri este *2-consistentă* sau *arc-consistentă*, dacă fiecare valoare din domeniul fiecărei variabile este consistentă cu cel puțin o valoare din domeniul oricărei alte variabile.

Definiția 2.2.5 (rețea k-consistentă). O rețea de constrângeri este *k-consistentă*, $k \geq 2$, dacă dându-se orice instanță parțială consistentă a oricăror $k-1$ variabile distincte, ea poate fi extinsă la o altă instanță consistentă de k variabile, prin adăugarea de noi variabile.

Remarca 2.2.4. O rețea 3-consistentă se mai numește și *path-consistency*. Dacă graful constrângerilor este 2-consistent se spune că problema CSP este *arc-consistentă*. În schimb, dacă rețeaua de constrângeri este k -consistentă pentru toții k , se spune că problema este consistentă *global*.

Algoritmi *arc-consistency* sunt algoritmi care se execută înainte de începerea căutării. Ideea de bază este aceea de a șterge anumite valori din domeniul anumitor variabile astfel încât fiecare valoare din domeniul fiecărei variabile să fie consistentă cu cel puțin o valoare din domeniul fiecărei alte variabile.

În figura 2.11 a fost prezentată o rutină (numită *Revise*) având ca scop examinarea valorilor a două variabile x_m și x_n pentru a determina când fiecare valoare y din D'_m are cel puțin o valoare compatibilă în domeniul lui x_n . Dacă nici o valoare nu există, atunci $x_m=y$ nu putea fi parte a unei soluții și, astfel, y era șters din D'_m . Acesta rutină este folosită în construirea algoritmilor de consistența arcelor și în algoritmul final ce combina strategiile de *arc consistent* și *look ahead*.

Există o lungă istorie a algoritmilor de consistența arcelor. Primul algoritm, foarte simplu, a fost prezentat de Mackworth în [Mac77] și se numește *AC-1*. Pentru a face ca fiecare arc să fie consistent, nu este suficient să se execute procedura *Revise* doar o dată. Aplicând rutina *Revise* numai o dată, se reduce domeniul unei anumite variabile x_m , iar fiecare din arcele revizuite anterior nu este revizuit încă odată. Acest lucru este necesar deoarece reducând domeniul variabilei x_m este posibil ca un arc, care inițial era consistent, să nu mai fie consistent. Aceasta este ideea de bază a algoritmului. Algoritmul *AC-1* încearcă obținerea de arce consistente pentru toate constrângerile grafului. În figura 2.14. este prezentat acest prim algoritm de consistența arcelor- *AC-1*.

```

Procedure AC-1
Q ← {(xi,xj) / unde (xi,xj) ∈ arcelor grafului de constrângeri, i≠j}
repeat
  Change ← false
  pentru fiecare arc (xi,xj) din Q execută
    Revise(i, j)
    if Revise(i, j) a șters valori din domeniul variabilei xi atunci
      Change ← True
until Not Change
end procedure

```

Figura 2.14. Algoritm AC-1 pentru consistența arcelor

Se observă faptul că dacă procedura Revise a șters o valoare, acest lucru are efect asupra domeniului altor variabile. Prin urmare, procedura Revise este apelată până când nici o valoare nu mai este ștearsă. În felul acesta problema CSP va fi arc-consistent.

Acest algoritm suferă de un anumit defect, faptul că dacă o singură valoare din domeniul variabilelor este ștearsă, bucla din repeat este apelată încă odată, fără a fi nevoie pentru anumite variabile. În cazul cel mai nefavorabil, complexitatea algoritmului AC-1 este de tipul $O(d^3 ne)$ unde d este mărimea domeniului, n este numărul de variabile și e este numărul de constrângeri.

O prima variantă îmbunătățită a acestui algoritm a fost numită AC-3 și a fost propusă în [Mac77]. Această variantă încearcă să elimine defectul algoritmului AC-1, prin apelarea procedurii Revise doar pentru acele arce care ar putea să fi afectate de apelul anterior al lui Revise. Este prezentat în figura 2.15, algoritmul AC-3.

```

Procedure AC-3
Q ← {(xi,xj) / unde (xi,xj) ∈ arcelor grafului de constrângeri, i≠j}
while Q not empty
  Selectează și șterge orice arc (xk,xm) din Q
  Revise(k, m)
  if Revise(k, m) a șters valori din domeniul variabilei xk atunci
    Q ← Q ∪ {(xi,xk) / unde (xi,xk) ∈ arcelor grafului de constrângeri, i≠k i≠m }
  endif
endwhile
end procedure

```

Figura 2.15. Algoritm AC-3 pentru consistența arcelor

Și acest algoritm are defectele sale. Când algoritmul AC-3 revizuieste a doua oară un arc, el retestează multe perechi de valori care erau cunoscute (de la iterațiile anterioare) a fi consistente și care nu afectează reducerea domeniului. Acest lucru este o sursă potențială de ineficiență a algoritmului AC-3, prin urmare un alt algoritm AC-4 a introdus rafinarea arcelor.

Algoritmii AC-3 și AC-4 sunt algoritmi cei mai utilizați pentru obținerea consistenței arcelor. Trebuie precizat că mai există și alți algoritmi notați cu AC-5, AC-6, AC-7, dar ei sunt mai puțin folosiți în literatura de specialitate.

Combinarea algoritmilor de consistență a arcelor cu strategiile *look-ahead* conduc la un nou algoritm de căutare a unei soluții, algoritm numit *arc-consistency look-ahead*. Acest algoritm este asemănător cu forward checking, dar folosește algoritmi de consistență a arcelor pentru procesarea spațiului variabilelor

neinstantțiate. Acest lucru permite o mai bună curățire a spațiului variabilelor următoare.

În figura 2.16. este prezentat algoritmul *arc-consistency look-ahead*.

```

Procedură Arc-Consistency-Look-Ahead
Intrări : O rețea de constrângeri cu variabilele  $\{x_1, x_2, \dots, x_n\}$  și domeniile  $\{D_1, D_2, \dots, D_n\}$ 
Ieșiri: O soluție formată din valorile asociate, sau un mesaj că rețeaua de constrângeri este inconsistentă (adică nu există soluții).
 $i \leftarrow 1$  {Se inițializează variabila ce contorizează variabilele }
 $D'_i \leftarrow D_i$  pentru  $i=1, n$  {Se copiază domeniul}
while  $i \leq n$ 
    instanțiază  $x_i \leftarrow$  SelectareValoareAC {Etapa extinderii }
    if  $x_i$  este nul then {Nici o valoare nu s-a găsit pentru  $x_i$  }
        resetează fiecare mulțime  $D'_i$  la valorile avute înainte de ultima instanțiere a lui  $x_i$ 
         $i \leftarrow i-1$  {Etapa backtrack}
    else
         $i \leftarrow i+1$  {Etapa forward}
    end while
if  $i=0$  then
    return "inconsistent"
else
    return valorile atribuite lui  $\{x_1, x_2, \dots, x_n\}$ 
end procedure

Procedură SelectareValoareAC
while  $D'_i$  nu este gol do
    Selectează un element arbitrar  $a \in D'_i$ 
     $D'_i \leftarrow D'_i - \{a\}$ 
    Aplică un algoritm de consistența arcelor {Se aplică AC-3 sau AC-4 }
    la toate variabilele neinstantțiate
    if toate domeniile viitoare sunt goale {Nu se selectează valoarea a }
        resetează fiecare mulțime  $D'_k$  la valorile avute înainte de a selecta valoarea a
    else
        return a
    end while
return nul {Nu s-a găsit nici o valoare consistentă}
end procedure

```

Figura 2.16. Algoritmul arc-consistency look ahead

Se observă aplicarea unui algoritm de consistența arcelor la variabilele viitoare și identificarea situației în care spațiul viitor nu are nici un arc consistent.

În [Nad89] sunt propuși o serie de algoritmi parțiali de consistența arcelor, numiți $AC \frac{1}{2}$, $AC \frac{1}{3}$, $AC \frac{1}{4}$ și $AC \frac{1}{5}$, algoritmi destinați a fi folosiți în combinație cu backtracking-ul. Sufixul fracțional indică aproximativ proporția în

care lucrează algoritmi față de algoritmi anteriori de consistența arcelor. De exemplu, forward checking corespunde combinării metodei backtracking cu algoritmul de consistență $AC \frac{1}{4}$.

2.2.6. Euristici pentru stabilirea ordinii variabilelor

În algoritmi prezentați anterior, s-a considerat că ordinea variabilelor este statică, astfel ea nu putea fi schimbată de rutinele acestor algoritmi. Cercetările experimentale au arătat că ordinea în care sunt instanțiate variabilele poate avea un impact substanțial asupra căutării, în cazul problemelor CSP rezolvate cu metodele de tip backtracking. Câteva euristici au fost propuse și analizate pentru alegerea ordinii variabilelor.

În [Walt75] se propune o euristică pentru ordinea variabilelor, având ca scop eliminarea a cât mai multor apariții timpurii ale backtrack-ului.

O euristică puternică, dezvoltată de Bitner și Reingold în [BR75], este adesea folosită împreună cu algoritmul de forward checking. Conform acestei metode, variabilele cu cele mai puține alternative rămase sunt selectate pentru instanțiere. O astfel de ordine de instanțiere a variabilelor este determinată dinamic, ea fiind numită *metodă de căutare prin rearanjare*. Această euristică a mai fost studiată extensiv în [Pur83]. Purdom și Brown arată că pentru o clasă importantă de probleme, euristica căutării prin rearanjare furnizează o îmbunătățire consistentă pentru căutarea bazată pe backtracking.

O altă euristică dezvoltată este aceea de a instanția prima dată acele variabile care participă la cât mai multe constrângeri. Aceasta încearcă să elimine cât mai timpuriu ramurile din arbore care produc insucces [FQ85]. Pentru aceasta sunt introduse mulțimile stabile. O mulțime formată din variabile care nu au constrângeri directe între orice pereche de variabile se numește *mulțime stabilă de variabile*. În această euristică, algoritmul backtracking instanțiază la final toți membrii mulțimii stabile. Instanțierea acestor variabile are ca efect principal faptul că spațiul de căutare nu se mai multiplică ca de obicei ci crește mult mai încet.

O altă euristică de selectare a ordinii variabilelor, numită *cardinalitatea maximă*, a fost dezvoltată de Dechter în [DM94]. Această euristică selectează prima variabilă arbitrar, apoi selectează fiecare variabilă prin alegerea acelei variabile ce este conectată cu cel mai mare număr de variabile alese anterior. O variație a acestei euristici este de a alege ca prima variabilă să fie una din cele care participă în majoritatea constrângerilor.

Trebuie precizat faptul că utilizarea euristiciilor pentru ordinea variabilelor nu schimbă complexitatea algoritmilor de tip backtracking, în cazul cel mai nefavorabil. În [DM94] sunt realizate mai multe experimente ce compară performanțele mai multor euristici. Aceste experimente arată că anumite euristici aduc îmbunătățiri semnificative, dar esența este aceeași.

Odată ce o decizie a fost luată în legătură cu instanțierea unei variabile, vor fi disponibile doar anumite valori de instanțiere pentru celelalte. Ordinea în care aceste valori sunt considerate poate avea un impact substanțial asupra timpului de găsimă a primei soluții. O altă euristică s-a dezvoltat pe ideea de a prefera acele valori care maximizează numărul de opțiuni pentru atribuirile viitoare [HE80]. Acolo se arată, folosind metode de analiză probabilistică, că alegerea unei variabile cu cel mai mic număr de valori rămase micșorează șansele de a avea variabile instanțiate consistent.

Minton, Johnston, Philips și Laird construiesc în [MJPL90] o altă euristică numită *min-conflict heuristic*. Ideea lor este de a pleca inițial cu anumite valori asociate variabilelor și să se încerce apoi repararea valorilor variabilelor până când o soluție corectă este obținută. Conform acestei scheme, backtracking-ul pleacă cu o bună asociere de valori la variabile (adică valori ce nu îndeplinesc numai câteva constrângeri) ce se poate obține printr-o metodă Greedy. Apoi, valorile variabilelor ce sunt în conflict cu alte variabile, sunt schimbate sistematic în algoritmul lor (principiul lor mai era numit *hill climbing*). Această euristică este folosită în cazul tehnicii AWCS.

O altă euristică este să se aleagă acea valoare (din cele disponibile) care conduce cel mai ușor la rezolvarea CSP. În [DP88], discută un mod de estimare a dificultății rezolvării CSP. Conform acestei metode, problema CSP este convertită la un arbore structurat CSP, prin ștergerea unui număr minim de arce și obținerea unei CSP ce păstrează toate soluțiile. Numărul de soluții găsite în arborele structurat CSP este luat ca unitate de măsură a dificultății de rezolvare a CSP.

2.3 Concluzii

O mare varietate de probleme din domeniul AI și din alte domenii ale științei calculatoarelor, pot fi văzute ca și cazuri speciale de CSP. Modelul CSP este un model recent dezvoltat, aflat la confluența mai multor domenii ale științei calculatoarelor, incluzând inteligența artificială, teoria algoritmilor, limbaje de programare, calcul simbolic, teoria grafurilor, programare logică, programare distribuită. De aici, interesul crescut din ultimul deceniu pentru studiul metodelor de rezolvare CSP.

În consecință, au fost dezvoltate un număr mare de soluții pentru rezolvarea acestor probleme, cele mai importante fiind descrise în acest capitol. Cele mai cunoscute sunt cele bazate pe utilizarea backtrackingului, ca și metodă de căutare pentru posibile soluții, și propagarea constrângerilor.

S-au făcut multe cercetări în scopul îmbunătățirii tehnicilor de căutare de tip backtracking și reducerii costurilor necesare găsirii soluțiilor. Drept urmare, s-au descoperit multe tehnici derivate, cele mai importante fiind prezentate în cadrul capitolului: tehnicile backjumping, strategii look-ahead, algoritmi de tip forward-checking, etc. O altă categorie importantă de algoritmi, derivați din cei de tip backtracking, sunt algoritmi ce învață, algoritmi ce păstrează înregistrări adiționale cu constrângeri în timpul căutării. Ideile acestor tehnici au fost aplicate, apoi, în cadrul distribuit pentru a obține metode similare de rezolvare pentru modelul distribuit DCSP.

Un alt domeniu în care s-au făcut cercetări și s-au obținut rezultate a fost cel al propagării constrângerilor, unde s-au descoperit foarte mulți algoritmi de preprocesare a problemelor, înainte de a aplica metodele de căutare.

S-au realizat multe studii comparative privind eficiența acestor metode și s-au propus tehnici standard de evaluare a eficienței acestor algoritmi. Foarte multe metode CSP au fost adaptate la clase particulare de probleme și dezvoltate mai departe doar pentru acele clase de probleme. Amintim de categoria problemelor combinatoriale, de problemele de planificare și programare, de alocarea resurselor. Modelarea CSP se aplică astăzi, în industrie, ea oferind soluții foarte bune pentru multe probleme.

S-au pus la punct medii de programare ce implementează modelul CSP și folosesc tehnicile de rezolvare CSP, dintre ele amintim categoria de limbaje CLP (Constraint Logic Programming).

Multe din aceste tehnici au fost extinse la cadrul distribuit, ideile prezentate aici fiind folosite la construirea unor tehnici eficiente în cadrul distribuit. De exemplu, strategia tehnicii graph-based backjumping a fost introdusă în cadrul distribuit obținând o tehnică eficientă.

Scopul acestui capitol a fost acela de a descrie cadrul de lucru pentru tehnicile centralizate. Acest cadru de lucru va fi extins la modelul distribuit, iar tehnicile centralizate vor fi extinse la cadrul distribuit având ca țintă rezolvarea unor probleme de căutare prin folosirea mai multor agenți. În capitolul următor va fi prezentat modelul DCSP și tehnicile de căutare asincrone, multe dintre tehnici folosind ideile tehnicilor centralizate.

3. PROBLEME DE SATISFACEREA CONSTRÂNGERILOR DISTRIBUITE. MODELUL DCSP

În acest capitol este descris cadrul de lucru al problemelor de satisfacerea constrângerilor distribuite și se prezintă cele mai importante tehnici de rezolvare a acestor tipuri de probleme. Acest cadru va fi suportul de studiu al tezei de față. Pentru fiecare din aceste tehnici se prezintă principalele rutine de tratare a mesajelor împreună cu mecanismul de funcționare.

Acest cadru de modelare a problemele CSP se bazează pe împărțirea diferitelor părți ale problemei între *agenți* care acționează independent și care colaborează în scopul obținerii soluției. Acest nou tip de modelare numit **Distributed Constraint Satisfaction Problem**, pe scurt DCSP, s-a dovedit viabil, oferind posibilitatea reducerii costurilor obținerii soluției, comparativ cu tehnicile CSP.

Modelul DCSP se obține prin extensia modelării bazate pe constrângeri la cadrul de programare concurent și distribuit, prin distribuirea variabilelor și a constrângerilor între diverși agenți. Acest tip de modelare distribuită a apărut în mod natural deoarece la anumite probleme era imposibil de a aduna toate informațiile la un singur agent astfel încât să se aplice algoritmi centralizati, neparaleli, cum sunt cei prezentați în capitolul 2. Mai mult, în cazul anumitor probleme, costul colectării informațiilor la un singur agent poate fi foarte mare din cauza costurilor de comunicare, dar și a costurilor necesare translatării informațiilor într-un format comun.

3.1. Definierea modelului Problemelor de Satisfacere a Constrângerilor distribuite.

În acest paragraf sunt definite noțiunile de bază necesare construirii modelului DCSP. Acesta este modelul care stă la baza cercetării abordate în teza de față [SGM96], [YDIK98], [BMM01], [Yok00], [Yok01].

3.1.1 Definierea problemelor de satisfacere a constrângerilor distribuite.

Definiția 3.1.1 (Modelul DCSP). Modelul bazat pe constrângeri distribuite Distributed Constraint Satisfaction Problems-DCSP (Distributed CSP) este un CSP, în care variabilele și constrângerile sunt distribuite între agenți autonomi ce comunică și colaborează în scopul obținerii soluției pe baza unui model de comunicație. Formal, modelul DCSP se definește ca fiind un 5-tuplu $P = \{X, D, C, A, \phi\}$, unde:

- X este un ansamblu finit de n variabile x_1, x_2, \dots, x_n , ce pot lua valori finite, din mai multe domenii discrete finite D_1, D_2, \dots, D_n ce formează mulțimea D .
- C este o mulțime de constrângeri între aceste variabile.
- A este o mulțime de p agenți autonomi.
- $\phi: X \rightarrow A$ este o funcție ce asociază fiecare variabilă la un anumit agent (fiecare variabilă este legată doar de un singur agent).

Distribuirea variabilelor la agenți duce la împărțirea mulțimii constrângerilor în două submulțimi: $C_{intra} = \{c_{ij}, \text{ unde } \phi(x_i) = \phi(x_j)\}$ - mulțimea constrângerilor asociate unui singur agent și $C_{inter} = \{c_{ij}, \text{ unde } \phi(x_i) \neq \phi(x_j)\}$ - mulțimea constrângerilor dintre agenți.

Definiția 3.1.2 (Model de comunicație pentru agenți). Agenții comunică pe baza următorului model de comunicație :

- agenții comunică diversele informații prin transmiterea de mesaje;
- un agent poate transmite mesaje la alți agenți dacă agentul cunoaște adresa sau identificatorul acelor agenți;
- există o întârziere în furnizarea (transmiterea) mesajelor, întârziere care se consideră finită, dar aleatoare;
- pentru transmiterea de mesaje între orice pereche de agenți, mesajele sunt recepționate în ordinea în care au fost transmise.

Fiecare agent are "în grijă" câteva variabile și încearcă să determine valorile corecte pentru acestea. Formal, se vor nota cei p agenți prin A_1, A_2, \dots, A_p , iar fiecare variabilă x_j va fi în „grija” unui agent A_i . Constrângerile sunt, de asemenea, distribuite între agenți.

Fără a pierde din generalitate, în ceea mai mare parte a tezei se va considera că fiecare agent are în grijă doar o singură variabilă (agentul va fi identificat prin indicele variabilei) și toate constrângerile sunt binare (adică implică două variabile). De asemenea, fiecare agent cunoaște care sunt constrângerile legate de variabila sa.

Definiția 3.1.3 (Rezolvarea unei probleme DCSP).

Ca și în cazul centralizat, rezolvarea unei probleme modelate DCSP, $P = \{X, D, C, A, \phi\}$, presupune găsirea unei asocieri de valori la toate variabilele astfel încât fiecare constrângere să fie îndeplinită.

În mod obișnuit agenții asociază valori la variabilele asociate, valori ce sunt consistente local, comunicând aceste valori la agenții cu care sunt conectați datorită existenței constrângerilor. Prin urmare, agenții trebuie să coopereze în scopul găsirii acelei asocieri pentru fiecare variabilă astfel încât constrângerile să fie îndeplinite. Fie exemplul 2.1.1, modelat ca și problemă CSP-problema celor n regine. Transformarea problemei celor n regine în varianta distribuită presupune asocierea unui agent la fiecare regină, agent ce va încerca să găsească o poziție corectă pentru aceea regină astfel încât să nu se atace cu celelalte regine. Pentru această problemă, constrângerile existente între doi agenți (pentru două variabile x_i și x_j , $x_i \neq x_j \wedge |x_i - x_j| \neq |i - j|$) se distribuie doar la unul din agenți, care devine agent evaluator. În acest mod se obține o varianta distribuită ce va fi identificată ca problema distribuită a celor n - regine.

3.1.2 Căutare paralelă și distribuită.

Trebuie făcută distincție între modelele de programare paralele și cele distribuite. În algoritmi de backtracking paraleli, mai multe procesoare execută fiecare câte un algoritm de backtracking local astfel încât arborele de căutare este împărțit în mai multe părți disjuncte. Implementările și abordările distribuite de căutare, ce sunt descrise în această teză sunt diferite de cele paralele. Un agent (care poate fi un procesor) nu implementează un backtracking local. Agentul participă interdependent la căutare, algoritmul de căutare fiind obținut ca rezultatul cooperării tuturor agenților. Cu alte cuvinte, modelarea prezentată mai departe se referă la cooperarea agenților în obținerea soluției finale prin aplicarea unui singur algoritm de căutare.

Se va putea observa faptul că algoritmi pentru rezolvarea problemelor distribuite pot fi similari cu cei pentru procesele paralele sau distribuite, dar motivația este fundamental diferită. Preocuparea principală a algoritmilor care procesează paralel este eficiența și se caută folosirea de arhitecturi paralele sau distribuite care să ofere o soluție eficientă. În schimb, în varianta distribuită CSP, există situații în care cunoștințele despre problemă (adică variabile și constrângeri) sunt distribuite automat între agenți. De exemplu, pot exista situații în care mai mulți agenți au cunoștințe diferite și parțiale despre problema globală pentru a o rezolva. Prin urmare, într-o astfel de situație scopul principal este de a afla cum se ajunge la o soluție. Și în cazul tehnicilor de rezolvare DCSP se va pune problema eficienței, dar aceste tehnici și această modelare sunt de preferat mai ales pentru aceste situații.

O altă problemă este legată de existența unor situații în care nu se poate aplica modelul CSP. Dacă toate cunoștințele despre problemă pot fi stocate la un agent, acest agent poate rezolva problema singur utilizând algoritmi centralizați existenți pentru CSP. Totuși, colectarea tuturor informațiilor despre problemă la acel agent necesită mai multe costuri legate de comunicarea acestor informații și de translatarea lor într-un format comun. Acest cost al centralizării tuturor cunoștințelor la un singur agent poate fi prohibitiv. De asemenea, există probleme în care păstrarea tuturor informațiilor la un agent este indezirabilă sau imposibilă din motive de securitate sau personale. În aceste cazuri, mai mulți agenți pot rezolva problema fără a centraliza toate informațiile. Pe lângă aceste probleme, principala motivație a modelării DCSP, rămâne rezolvarea eficientă a acestor probleme, prin reducerea costurilor de căutare și folosirea în comun a mediilor distribuite existente astăzi.

3.2 Metode de rezolvare a problemelor DCSP. Tehnici de căutare asincrone

În ultimii ani, s-au descoperit și formalizat o serie de algoritmi pentru rezolvarea problemelor DCSP. În general, algoritmi cunoscuți din cadrul modelării CSP, au fost extinși în cadrul modelării distribuite, așa cum se va vedea mai departe în acest paragraf, dar s-a exploatat și cadrul nou al modelării paralele și distribuite. Aceste metode de rezolvare se mai numesc și *tehnici de căutare asincrone*.

Acești algoritmi sunt clasificați de Yokoo în [Yok00],[Yok01] în două mari clase:

- algoritmi de bază (variantele de backtracking, variante de backtracking îmbunătățit, algoritmi de consistență, etc.);
- algoritmi particulari pentru anumite clase de probleme (algoritmi DCSP cu o singură variabilă locală, cu variabile locale multiple și CSP parțial distribuite).

Tehnicile de căutare asincrone se caracterizează prin diverse proprietăți. Ele sunt o mixtură de tehnici de căutare, tehnici de consistență, tehnici de reordonare pentru agenți, tehnici de backjumping sau tehnici de învățare. O altă clasificare a acestor tehnici este realizată de Silaghi în [Sil02]. Această clasificare, actualizată, este prezentată mai jos:

- a. Variante derivate direct din tehnica *ABT-Asynchronous Backtracking*:
 - *ABT* cu euristica min-conflict pentru ordinea valorilor variabilelor-Yokoo [Yok00], [Yok01].
 - *ABT_{pr}*, obținut prin aplicarea tehnicii etichetării asocierilor-Silaghi [Sil02].
 - *ABT_{rr}*, obținut prin aplicarea tehnicii retransmisiei mesajelor-Silaghi [Sil02].
 - *ABT_{kernel}*, obținut prin unificarea tehnicilor asincrone-Bessiere [BMM02]
 - *ABT₀* obținut plecând de la nucleul *ABT_{kernel}* și adăugând legături înainte de începerea căutării-Bessiere [BM05]. Este asemănătoare cu tehnica DIBT.
 - *ABT₁* obținut plecând de la nucleul *ABT_{kernel}* și adăugând legături în timpul căutării -Bessiere [BM05].
 - *ABTR* obținut prin aplicarea reordonării-Silaghi [Sil02].
 - *ABT cu ordine dinamică*- *ABT_DO* se obține din *ABT* prin aplicarea unor ordine dinamice determinate cu ajutorul unor euristici- Zivan [ZM05].
- b. Tehnica *AWCS - Asynchronous Weak -Commitment Search*:
 - tehnica *AWCS* împreună cu strategia selectivă de learning ce limitează numărul de nogood-uri, algoritmul este incomplet-Yokoo [YDIK98].
 - tehnica *AWCS cu rezolventul bazat pe învățare*. Se obține plecând de la *AWCS* la care se aplică un algoritm de învățare numit *rezolvent bazat pe învățare*-Hirayama [HY00].
 - tehnica *AWCS cu minim conflict*. Se obține plecând de la *AWCS* la care se aplică o metodă de învățare bazată pe mulțimea de conflict minim [ML98], [HY00].
 - tehnica *AWCS cu nogood caching*. Se obține plecând de la *AWCS* la care se aplică o metodă de învățare de tipul nogood caching publicată de Havens în [Hav97].
- c. Tehnica *DB - Distributed Breakout*:
 - Tehnica *HCC- hill-climbing coalition* este o altă mixtură ce folosește ideile din tehnica *DB*, dar are la bază strategia hill-climbing folosită în *DB* combinată cu strategia „coalițiilor” (dacă o coaliție se mărește incluzând peste cinci agenți ea este adusă la starea de start cu noi valori inițiale) –Hirayama și Toyoda [HT95].
 - Tehnica *DB-BC*, numită *distributed breakout with broadcasting*, ce diferă de varianta *DB* prin aceea că mesajele care nu sunt de la

vecini sunt utilizate pentru starea de local-minim –Yokoo [Yok00], [Yok01].

- d.** Tehnica *AAS - Asynchronous Search with Aggregations*:
- *AAS-2*: se bazează pe înregistrarea completă a listelor *nogood*, în mod similar cu algoritmul de backtracking asincron al lui Yokoo (ABT).
 - *AAS-1*: procedează similar cu varianta de backtracking dinamic din [Gin93]. Sunt șterse *nogood*-urile depinzând de instanțierile variabilelor modificate [SHF00].
 - *AAS-0*: este o variantă modificată a lui *AAS-1* cu cele mai puține înregistrări *nogood*. Fiecare agent păstrează o singură listă *nogood* explicită care integrează fiecare noua listă *nogood* care sosește la agent, folosind regulile de relaxare [SHF00].
 - *AASe*: se obține din *AAS* prin extinderea înregistrării valorilor *nogood* [SHF00].
- e.** Tehnica *DisDB - Distributed Dynamic Backtracking*:
- Tehnica *DisDB* - Distributed Dynamic Backtracking varianta de bază - [BMM01].
 - *ABT₂* obținut plecând de la nucleul *ABT_{kernel}* prin eliminarea legăturilor-Bessiere [BM05]. Este asemănătoare cu tehnica *DisDB*.
- f.** Tehnica *DIBT - Distributed Backtracking*:
- Tehnica *DIBT* [HBQ98] la care se aplică patch-ul din [BMM01] pentru eliminarea situației de incompletitudine găsită de Yokoo.
- g.** Tehnica *DIFC - Distributed Forward Checking*:
- Tehnica *DIFC - Distributed Forward Checking*, obținută plecând de la varianta *DIBT* prin aplicarea tehnicilor de căutare înainte-[MJ00].
 - Tehnica *DIFC - Distributed Forward Checking*, obținută plecând de la varianta *ABT₀* prin aplicarea tehnicilor de căutare înainte-[BM03].
- h.** Tehnica *ConcBT-Concurrent Backtracking* [ZM04]: este o tehnică nouă în care un număr dinamic de procese independente explorează concurrent și asincron părți disjuncte ale spațiului de căutare DCSP.

În acest paragraf vor fi prezentate cele mai importante tehnici de căutare asincrone, punându-se accentul pe acei algoritmi pentru care se vor propune îmbunătățiri. Primul algoritm prezentat va fi algoritmul *backtracking distribuit sincron* pentru DCSP. Acest prim algoritm distribuit, foarte simplu, se obține prin extensia algoritmului clasic de căutare sistematică – backtracking, la modelarea distribuită.

Al doilea algoritm ce va fi prezentat este algoritmul de bază *backtracking asincron*. Algoritmul backtracking distribuit asincron este o extensie directă a algoritmului distribuit sincron prin eliminarea defectelor algoritmului sincron. Principalul defect al variantei sincrone consta în nerularea sa în mod concurrent și asincron. În varianta asincronă, agenții pot rula concurrent și asincron (nu se așteaptă, ca în cazul sincron, ca un agent să termine instanțierea sa). El este considerat algoritmul clasic de backtracking pentru DCSP, tehnica de bază la care se raportează celelalte tehnici.

Următorul algoritm, numit algoritm *backtracking distribuit asincron îmbunătățit* (termenul original din [YDIK98], este de *asynchronous weak-*

commitment search). Acesta este obținut prin extinderea algoritmului backtracking distribuit asincron, în ideea de a obține un algoritm mai eficient.

Următorii 2 algoritmi reprezintă algoritmi de căutare asincronă, similari cu algoritmul asincron al lui Yokoo, fiecare bazându-se pe idei diferite. Este vorba de *backtracking distribuit*, varianta Hamadi [HBQ98] și de *căutare asincronă cu agregate*, având ca autor pe Silaghi [SHF00]. Algoritmul backtracking distribuit (DIBT -Distributed Backtracking) este diferit de variantele de backtracking asincron distribuit și asincron distribuit îmbunătățit. El are la bază execuția în graful de bază a unor salturi peste mulțimea agenților cu probleme. Algoritmul se bazează pe existența unei ordini totale între agenți. În graful cu constrângeri, constrângerile sunt orientate (dând naștere unui graf aciclic) de la care ierarhia agentului este construită folosind diverse criterii euristice. Celălalt algoritm de căutare asincronă cu agregate se bazează pe noțiunile de constrângeri private și agregate.

Un alt algoritm descoperit, numit *backtracking distribuit dinamic*, publicat în [BMM00], se bazează pe salturi dinamice peste setul de agenți aflați în conflict, fiind o adaptare a algoritmilor de backjumping (numiți și algoritmi de backtracking dinamic) în cadrul DCSP. Acest algoritm, spre deosebire de alți algoritmi distribuiți de căutare, nu se bazează pe existența de legături suplimentare între agenți.

În finalul acestui capitol este prezentat un cadru unificator pentru câteva din tehnicile de căutare asincrone, cadru ce formează familia ABT. Acest cadru are ca punct de plecare un nucleu de bază pentru tehnicile ABT, nucleu numit ABT kernel. Plecând de la acest cadru unificator, se poate ajunge la tehnici cunoscute sau la variante apropiate de acestea: asynchronous backtracking (ABT), Distributed Dynamic Backtracking (DisDB) sau tehnica Distributed Backtracking (DIBT).

3.2.1 Backtracking sincron pentru DCSP.

Algoritmul backtracking distribuit sincron este o extensie directă a algoritmilor de tip backtracking existenți la varianta centralizată din cadrul CSP, la cadrul DCSP [YDIK98], [Yok00], [Yok01]. Aceștia sunt la bază algoritmi de căutare sistematică pentru rezolvarea CSP. Așa cum a fost prezentat în capitolul 2, ei asociază pe rând valori la variabile, din domeniile finite, construindu-se soluția parțială. Inițial, soluția parțială este vidă. Apoi, ea este expandată prin adăugarea de variabile (fiecare variabilă primind valori) până când se obține soluția completă. Asocierea unei valori la o variabilă și adăugarea ei în soluția parțială presupune și verificarea subsetului parțial de constrângeri (nu se adaugă variabila respectivă în soluție până când nu se verifică aceste constrângeri). În situația în care pentru o variabilă nu se poate asocia o valoare astfel încât să fie satisfăcute constrângerile parțiale, se revine la variabila anterioară și se încearcă modificarea valorii anterioare.

Cel mai trivial algoritm pentru rezolvarea DCSP constă în alegerea unui *agent lider* dintre ceilalți agenți și, foarte important, stocarea tuturor informațiilor despre variabile, despre domeniile lor și despre constrângerile lor la acest agent lider. Agentul lider va rezolva problema ca și o problemă CSP (ca oricare algoritm centralizat cunoscut în cadrul modelării CSP). Din păcate, costul colectării tuturor informațiilor despre problemă poate fi prohibitiv de mare. Mai mult, în anumite tipuri de aplicații, stocarea informațiilor la un singur agent este imposibilă (este posibil să nu fie permisă din motive de securitate). Din acest motiv, această soluție este total ineficientă și neinteresantă.

Algoritmul backtracking sincron pentru DCSP se obține din algoritmul standard backtracking, existent pentru CSP. Se consideră că agenții agreează o

ordine de inițializare pentru variabile (cum ar fi ordinea lexicografică, x_1 se va inițializa primul, apoi x_2 , s.a.m.d.). Fiecare agent recepționează soluția parțială (adică valorile cu care au fost instanțiate variabilele anterioare) de la agentul anterior și încearcă instanțierea variabilei sale cu o valoare astfel încât să se satisfacă constrângerile legate de aceste variabile. Dacă se găsește o astfel de valoare, ea este adăugată la soluția parțială și transmisă la următorul agent (conform ordinii stabilite). Dacă nu există nici o valoare consistentă pentru variabila curentă, atunci se va transmite mesajul *backtracking* la agentul anterior.

Trebuie observat faptul că algoritmul de backtracking sincron nu necesită costuri mari pentru comunicarea de informații ca în cazul algoritmului centralizat. Totuși, determinarea unei ordini de instanțiere a variabilelor necesită costuri. O altă problemă a acestui algoritm simplu, este aceea că el nu beneficiază deloc de pe urma avantajelor paralelismului, din cauză că, la un moment dat, doar un singur agent primește soluția parțială, ceilalți agenți fiind în așteptare. Cu alte cuvinte, algoritmul rezolvă secvențial problema, chiar dacă modelarea ar permite și o abordare paralelă.

Algoritmul a fost evaluat în [YDIK98], [Yok00], [Yok01]. El necesită costuri mici doar pentru probleme de dimensiune mică, pentru probleme de dimensiune mare costurile devenind prohibitive. Lipsa paralelismului în varianta sincronă duce la creșterea costurilor spre deosebire de variantele asincrone ce vor fi prezentate mai departe, variante ce exploatează avantajele paralelismului. Există și o altă variantă îmbunătățită a acestui algoritm, prezentată în [CDK91], variantă numită *protocol pentru consistența rețelei*. În acest algoritm, agenții construiesc un arbore de căutare în adâncime. Agenții acționează sincron pe baza unor privilegii, dar agenții care au același părinte în arborele de căutare pot acționa concurent, îmbunătățind astfel performanțele algoritmului.

3.2.2. Principiile căutării asincrone

În acest paragraf sunt prezentate mecanismele de bază după care funcționează tehnicile de căutare asincrone pentru care se vor propune îmbunătățiri în această teză. Principiile căutării asincrone au fost introduse în [YDIK98], [Yok00], [Yok01], [Sil02].

Agenții sunt ordonați în ordinea priorităților. În această teză se va considera că agenții sunt ordonați conform ordinii lexicografice, excepție făcând tehnicile din familia AWCS care folosesc o ordine dinamică. Astfel, dacă $i < j$ atunci agentul A_i are prioritatea mai mare decât A_j . Fiecare constrângere este aplicată de agentul care are prioritatea cea mai mică dintre cei care implicați în constrângere.

Definiția 3.2.1. - agenți conectați (vecini). Între doi agenți se consideră ca există o conexiune dacă există o constrângere ce implică variabilele lor. Această conexiune va fi folosită pentru transmiterea mesajelor.

Definiția 3.2.2.- lista agent_view (agent_view). Lista agent_view a unui agent A_i este mulțimea celor mai noi asocieri recepționate de agentul A_i pentru variabilele agenților cu care este conectat.

Definiția 3.2.3.– lista nogood (*nogood*). Lista nogood este o mulțime de asocieri pentru variabile distincte pentru care s-a găsit o inconsistență (o constrângere neîndeplinită).

Lista *agent_view* împreună cu valorile nogood stocate formează contextul de lucru al fiecărui agent, în funcție de care agentul ia decizii. Lista *agent_view* este considerată ca o vedere a agentului asupra unor părți din problemă.

Definiția 3.2.4.– lista agenților părinte. Lista agenților părinte pentru un agent A_i este formată din agenții conectați cu el, aflați înainte în ordinea priorităților (având prioritate superioară).

Definiția 3.2.5.– lista nogood consistentă. O listă nogood recepționată de agentul A_i este consistentă pentru acel agent, dacă ea conține aceleași asocieri pentru variabilele sale ca și vederea agentului A_k (*agent_view*), pentru toate variabilele agenților părinte A_k conectați cu A_i și conține o asociere (x_i, d_i) unde d_k este aceeași cu valoarea curentă a agentului A_i .

Definiția 3.2.6.– mesaj nogood învechit. Un mesaj nogood este învechit dacă conține o listă nogood care nu este consistentă cu contextul agentului receptor.

Cu alte cuvinte, un agent acceptă un mesaj nogood ca fiind consistent dacă mesajul nogood conține aceleași asocieri pentru variabilele agenților conectați cu el și valoarea sa curentă coincide cu cea din lista nogood. În caz contrar, un astfel de mesaj nogood este învechit și nu va fi acceptat și prelucrat.

Pentru a pune în evidență principiile căutării asincrone (căutare asincronă ce stă la baza celor mai importanți algoritmi distribuiți existenți în cadrul DCSP), se consideră exemplul 3.2.1. Fără a pierde din caracteristicile fundamentale ale căutării asincrone, se considera că fiecare agent are în grijă o variabilă și, prin urmare, este responsabil pentru asocierea valorilor acelei variabile.

Exemplul 3.2.1. Fie o problemă DCSP cu 4 agenți A_1, A_2, A_3 și A_4 , ce controlează patru variabile x_1, x_2, x_3 și x_4 , cu domenii identice $D_1=D_2=D_3=D_4=\{0, 1, 2, 3\}$. Între aceste variabile există constrângerile din figura 3.1. Există mai multe constrângeri binare între agenți. Agentul A_3 trebuie să verifice dacă $3x_1+1 > x_3$ și $x_1 > x_3-2$, agentul A_2 verifică dacă $x_1 > x_2-2$, iar A_4 verifică constrângerea $x_2+x_3-x_4 > 3$. Se remarcă faptul că fiecare constrângere este verificată doar de agentul cu prioritatea mai mică dintre cei implicați. Fiecare agent pornește prin asocierea unei valori aleatoare pentru variabila sa, valoarea aleasă din domeniul său (pentru exemplul de față se asociază valoarea 0).

Spațiul de căutare local pentru fiecare agent se determină prin constrângerile locale ale sale și prin restricțiile impuse de alți agenți prin trimiterea a două tipuri de mesaje: mesaje *ok?* și mesaje *nogood*. Aceste două mesaje sunt folosite de agenți pentru a comunica informații despre soluția parțială ce se construiește și despre situațiile conflictuale identificate. Când un agent asociază o valoare la variabila sa, el trimite un mesaj de tipul *ok?(var=valoare)* la toți agenții de prioritate mai mică cu care este conectat. Scopul acestui mesaj este de a informa agenții de asocierea acestei valori și de a întreba dacă ea poate fi acceptată. Acești agenți evaluează constrângerile lor în contextul valorii recepționate. Dacă aceste constrângeri sunt îndeplinite de noua asociere, agenții trec în așteptare. În caz contrar, fiecare agent încearcă o nouă asociere de valori pentru variabila sa. Dacă nici o valoare nu mai este disponibilă pentru aceea variabilă agentul în cauză

generează un mesaj *nogood* ce este transmis la primul agent cu prioritatea mai mică decât cel curent. Agentul ce recepționează mesajul *nogood* reține aceste informații din mesajul *nogood* în spațiul său local de căutare. Apoi el încearcă să schimbe asocierea sa greșită. Dacă reușește informează agenții cu care este conectat, în caz contrar generând un nou mesaj *nogood*. Se remarcă faptul că fiecare constrângere este evaluată întotdeauna de agentul cu prioritatea cea mai mică, iar mesajele *ok* sunt trimise de agenții cu prioritatea mai mare. Acestea sunt principiile de căutare asincronă ce sunt aplicate de tehnicile din familia ABT sau AWCS.

În figura 3.1 se observă mesajele schimbate pentru exemplul cu 4 agenți, pentru cazul majoritatea tehnicilor de căutare asincrone, în special cele derivate din tehnica ABT.

Fiecare agent pornește prin asocierea valorii 0 la variabila sa. Agentul A_1 , trimite apoi mesajul *ok?* la A_2 și A_3 . Agenții A_2 și A_3 trimit fiecare mesajul *ok?* la agentul A_4 . Agenții A_2 și A_3 găsesc că valoarea recepționată de la A_1 este compatibilă cu constrângerile lor. Prin urmare, ei nu mai reacționează. Totuși, constrângerea lui A_4 este neîndeplinită și acest mesaj returnează mesajul *nogood* (în figură este etichetat cu 4) la agentul A_3 .

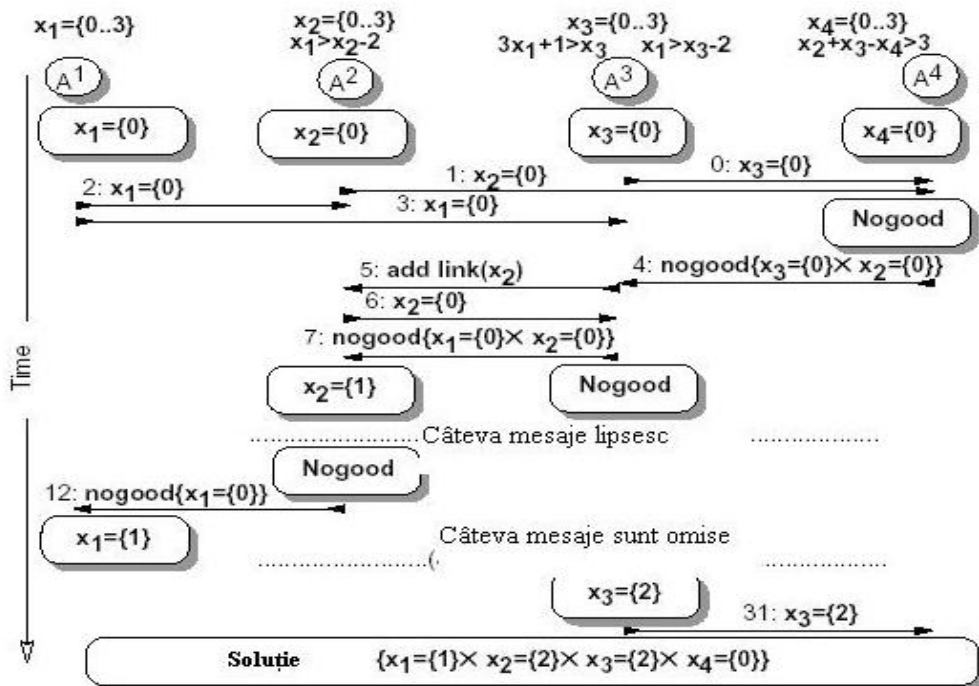


Figura 3.1. Un exemplu de comportament al tehnicilor de căutare asincrone

Aceste principii se vor regăsi în funcționarea tehnicii ABT (prezentată în paragraful care urmează), dar și în cazul tehnicilor din familia ABT sau AWCS.

3.2.3 Tehnica „Asynchronous Backtracking”- ABT

Această tehnică reprezintă prima tehnică de căutare asincronă completă, introdusă pentru prima dată în [YDIK92]. În această teză se vor prezenta și trata variantele îmbunătățite din [YDIK98], [Yok00], [Yok01].

Conform principiilor căutării asincrone, fiecare agent inițializează variabila sa în mod concurent și trimite valoarea la agenții cu care este conectat direct, așteptând apoi să i se răspundă la mesaje. Sunt utilizate canale de comunicație directă care funcționează după principiile FIFO. Există o ordine globală statică între agenți, în care A_j are prioritate mai mică decât A_i , dacă $i < j$. Existența acestui ordin asigură completitudinea tehnicii ABT. De asemenea, algoritmul ABT necesită direcționarea constrângerilor (ce apar între doi agenți). Dintre cei doi agenți implicați într-o constrângere, agentul de prioritate mai mică este cel care va face evaluarea constrângerii.

Algoritmul ABT folosește trei tipuri de mesaje :

- mesajul *ok?*, ce conține o asociere *variabilă-valoare*, este trimis de un agent la agentul evaluator pentru a vedea dacă valoarea este bună. Totdeauna agenții de prioritate mai mare trimit aceste mesaje la agenții de prioritate mică.
- mesajul *nogood* ce conține o listă (notată *nogood*) cu asocierile pentru care s-a găsit o inconsistență, el fiind trimis în cazul în care agentul evaluator a găsit o constrângere neîndeplinită și nu a putut schimba propria valoare.
- mesajul *add-link*, trimis pentru a anunța necesitatea creării unei noi legături directe, datorită apariției unui *nogood* ce conține agenți neconectați cu agentul curent.

În figura 3.2. sunt prezentate rutinele de tratare a mesajelor pentru tehnica ABT pentru varianta ABT din [YDIK98], [Yok00], [Yok01].

Fiecare agent primește o mulțime de valori de la agenții cu care este conectat prin legături, aceste valori formând *agent_view* (linia 1 din figura 3.2.) Dacă se primește mesajul *ok?*, agentul evaluator adaugă variabila și valoarea în lista de valori și verifică dacă noua pereche este consistentă cu celelalte. Verificarea este făcută în rutina *check-agent-view* din figura 3.2. Dacă se găsește o asociere care nu este consistentă, agentul încearcă să schimbe valoarea variabilei sale astfel încât să fie consistentă cu valorile din lista *agent_view*. Este posibil ca acel agent să nu găsească nici o combinație bună pentru anumite perechi din listă (o astfel de submulțime este *nogood*), atunci valorile asociate pentru alți agenți trebuie schimbate. În această situație, se spune că agentul a cauzat un *backtrack* (este nevoie să se revină și să se schimbe anumite valori), agentul trebuind să transmită un mesaj *nogood* la unul din agenți cu care a intrat în conflict (linia 3 din fig. 3.2.).

| |
|--|
| <pre> when received (ok?, (x_j,d_j)) do (1) adaugă(x_j,d_j) la lista <i>agent_view</i>; check_agent_view; end do; </pre> |
| <pre> when received (nogood, x_j, nogood) do (2) adaugă nogood to <i>nogood_list</i>; when (x_k,d_k), unde x_k nu este conectat este conținut în lista <i>nogood_list</i> do agentul x_k cere să se adauge o legătură de la x_k la x_i ; adaugă(x_k,d_k) la lista <i>agent_view</i>; </pre> |

```

end do
  old_value ← current_value
check_agent_view;
when old_value = current_value do
  send (ok?,  $x_j$ , current_value) to  $x_j$ 
end do
end do;

procedure check_agent_view
when agent_view și current_value nu sunt consistente do
  if nici o valoare din  $D_i$  nu este consistentă cu lista agent_view then
    backtrack
  else
    Selectează  $d \in D_i$  unde agent_view și d sunt consistente
    current_value ← d
    send (ok?, ( $x_i$ , d)) to legăturile care pleacă.
  end if
end do
end procedure

Procedură Backtrack
nogoods ← { $V$  /  $V$  = submulțime inconsistentă din agent_view}
when mulțimea vidă este element al mulțimii nogoods do
  transmite la alți agenți că nu există soluție
  oprește algoritmul
end do
for each  $V \in \textit{nogoods}$  do
  selectează ( $x_j, d_j$ ) unde  $x_j$  are cea mai mică prioritate din  $V$ 
  send (nogood,  $x_i, V$ ) la  $x_j$  (3)
  șterge ( $x_j, d_j$ ) din lista agent_view
end do
check_agent_view
end procedure

```

Figura 3.2. Tehnica "Asynchronous Backtracking" și subrutinele folosite la recepționarea mesajelor

În cazul recepționării unui mesaj de tip *nogood* (linia 2 din figura 3.2.) acesta este mai întâi verificat dacă este consistent cu vederea agentului, în caz afirmativ fiind acceptat de agent. Un mesaj *nogood* acceptat este stocat și utilizat ulterior ca o constrângere, pentru ca acel agent să nu mai asocieze această valoare. După recepționarea mesajului agentul verifică dacă acel *nogood* nu conține valori pentru agenți cu care nu este conectat. În caz afirmativ, se transmite mesajul *add-link* ce implică adăugarea unei legături între cei doi agenți.

Este posibil ca un agent să nu găsească nici o combinație bună pentru anumite perechi din listă. Dacă un agent găsește o astfel de submulțime (listă *nogood*), atunci valorile asociate pentru alți agenți pot fi schimbate. În această situație, se spune că agentul a cauzat un *backtrack* (este nevoie să se revină și să se schimbe anumite valori). Din figura 3.2 se remarcă faptul că agentul care a cauzat *backtrack* transmite un mesaj *nogood* la unul din agenții conectați cu el.

Exemplul 3.2.2. Fie o problemă DCSP cu mai mulți agenți din care se consideră doar o parte ce implică 3 agenți A_1, A_2, A_3 ce controlează trei variabile x_1, x_2, x_3 cu domeniile și constrângerile prezentate în figura 3.3

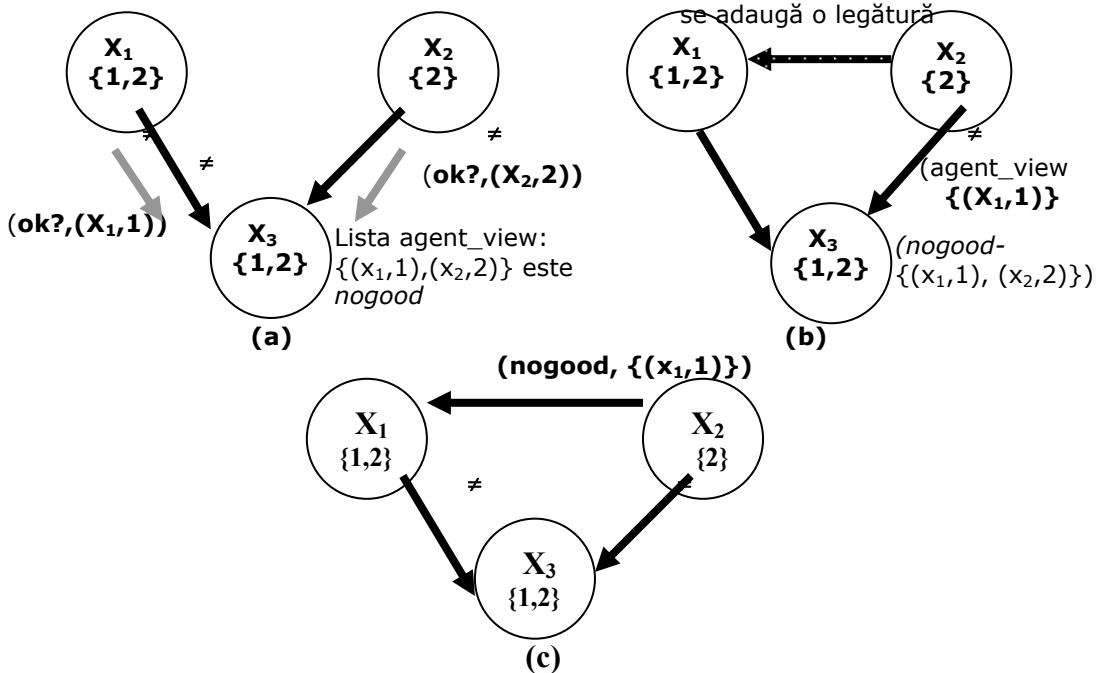


Figura 3.3 Exemplu din execuția algoritmului ABT

În exemplul 3.2.2 în prima fază agenții x_1 și x_2 instanțiază variabilele lor cu 1 sau 2, lista *agent_view* a agentului x_3 va fi formată din $\{(x_1, 1), (x_2, 2)\}$ (figura 3.3(a)). Din faptul că nu există nici o valoare posibilă pentru x_3 care să fie consistentă cu perechile din lista *agent_view*, această listă *agent_view* este *nogood*. Agentul x_3 alege din lista *agent_view* agentul cu cea mai mică prioritate, adică x_2 și trimite mesajul *nogood*. Prin recepționarea acestui mesaj *nogood*, agentul x_2 înregistrează acest *nogood*. Această listă $\{(x_1, 1), (x_2, 2)\}$ (care este *nogood*) conține agentul x_1 , care nu este conectat la x_2 printr-o legătură. Prin urmare, o nouă legătură va fi adăugată între x_1 și x_2 . Agentul x_2 necesită ca x_1 să trimită valoarea sa lui x_2 și adaugă $(x_1, 1)$ la lista *agent_view* (figura 3.3.(b)). Agentul x_2 caută dacă valoarea sa este consistentă cu lista *agent_view*. Din faptul că mesajul *nogood* recepționat de la agentul x_3 este compatibil cu asocierea $(x_2, 2)$ și cu lista sa *agent_view*, asocierea $(x_2, 2)$ este inconsistentă cu *agent_view*. Lista *agent_view* $\{(x_1, 1)\}$ este *nogood* pentru că x_2 nu are nici o valoare posibilă. Prin urmare, există numai un agent în această listă *nogood* (agentul x_1), așa că x_2 trimite mesajul *nogood* la agentul x_1 (fig. 3.3.(c)).

În ceea ce privește completitudinea, în [YDIK92] se propune o soluție de eliminare a ciclurilor într-o rețea cu constrângeri, pe baza unei tehnici bazate pe unic identificator, tehnică folosită la evitarea impasului în sistemele cu baze de date distribuite. Această tehnică constă în a folosi o relație de ordine totală între noduri. Dacă un nod are un unic identificator, se poate defini o ordine de prioritate între agenți prin utilizarea unei ordini alfabetice a acelor identificatori (agentul care

precede în ordine alfabetică un agent are prioritate mai mare). Dacă o legătură este direcționată prin utilizarea acestei ordini de priorități (de la agentul mai prioritar la cel de prioritate inferioară), atunci nici un ciclu nu se va produce în rețea. Aceasta înseamnă că pentru fiecare constrângere agentul de prioritate mai mică va fi evaluator și agentul de prioritate mai mare va transmite mesajul de ok spre evaluator.

Autorii algoritmului demonstrează în [YDIK92] că algoritmul este complet. Ei arată că, dacă există o soluție, algoritmul ajunge într-o stare stabilă unde toate valorile variabilelor satisfac toate constrângerile și toți agenții sunt în așteptarea unor mesaje. De asemenea, dacă nu există soluție, ei arată că algoritmul descoperă această situație și se încheie.

În cazul cel mai nefavorabil, complexitatea algoritmului backtracking distribuit asincron tinde să devină exponențială, după numărul de variabile n . Complexitatea exponențială a algoritmului, în cazul nefavorabil, este determinată de numărul înregistrărilor de mesaje *nogood*.

3.2.4. Tehnica Asynchronous Weak-Commitment Search-AWCS

Tehnica AWCS este o tehnică hibridă obținută prin extinderea tehnicii ABT în ideea de îmbunătățire a performanțelor. Tehnica se bazează pe ideile introduse în algoritmul „weak-commitment search” existent în cadrul modelării CSP [YDIK98].

Principala caracteristică a algoritmului weak-commitment search, folosit pentru arhitecturi centralizate, constă în faptul că agenții revizuiiau o decizie proastă fără a face o căutare exhaustivă, lucru posibil prin schimbarea dinamică a ordinii agenților. În algoritmul asynchronous backtracking, ordinea de prioritate a agenților era determinată, fiecare agent încercând să îndeplinească constrângerile acelor variabile avute în grijă de agenții de prioritate mai mare. Când un agent asociază o anumită valoare variabilei avute în grijă, valoarea este fixată pentru mult timp, ea putând fi schimbată doar printr-o căutare exhaustivă a agenților de prioritate inferioară. Din această cauză, pentru probleme a căror dimensiune este mare, selectarea unei valori proaste are un efect dezastruos (acesta este un defect comun al algoritmilor de tip backtracking). Acest defect se încearcă a fi eliminat în cazul tehnicii AWCS. Astfel, când un agent nu poate găsi o valoare consistentă pentru agenții de prioritate mare, este schimbată ordinea de prioritate astfel încât agentul să aibă o prioritate superioară. Efectul acestei decizii este acela că dacă un agent face o greșeală în selectarea unei valori, prioritatea altui agent devine mai mare. Astfel, agentul care a produs greșeala nu va mai lua o decizie proastă și valoarea selectată va fi schimbată (de aici și denumirea acestei tehnici).

Algoritmul WCS, ce se aplică la modelul CSP, are la bază două idei principale:

- algoritmul utilizează o euristică parțială, numită min-conflict, euristică folosită la stabilirea ordinii valorilor;
- abandonarea soluției parțiale și repornirea procesului de căutare, dacă nu există nici o valoare consistentă pentru soluția parțială.

Aceste două idei sunt aplicate la algoritmul de ABT, obținându-se această tehnică bazată și pe o ordine dinamică a agenților [YDIK98], [Yok00], [Yok01]. Aplicarea primei caracteristici este destul de simplă. Ori de câte ori se selectează o valoare pentru variabile, dacă există valori multiple consistente cu cele din lista *agent_view* (adică acelea care satisfac constrângerile cu variabilele agenților de prioritate maximă), agentul preferă valori care minimizează numărul de constrângeri neîndeplinite cu variabilele agenților având prioritatea cea mai mică. În [YDIK98] și

[Yok00], [Yok01] se arată că acest algoritm poate fi construit prin schimbarea dinamică a ordinii de prioritate. Pentru aceasta, se definește o metodă de stabilire a ordinii de priorități prin introducerea unor *valori de prioritate*, care se pot schimba folosind următoarele reguli:

- pentru fiecare variabilă/agent, o valoare întregă ne-negativă reprezintă ordinea de prioritate a acelei variabile/agent. Acea valoare este numită *valoare de prioritate*.
- ordinea se definește astfel încât orice variabilă/agent având o valoare de prioritate foarte mare să aibă o prioritate cât mai mare.
- dacă valorile de prioritate pentru mai mulți agenți sunt aceleași, ordinea se stabilește alfabetic după identificatorii lor.
- pentru fiecare variabilă/agent, valoarea de prioritate inițială este 0.
- dacă nu există nici o valoare consistentă pentru x_i , valoarea de prioritate a lui x_i este schimbată la $k+1$, unde k este cea mai mare valoare prioritară a agenților asociați.

Cu ajutorul regulilor de mai sus, când apare un backtracking, ordinea de prioritate se va schimba astfel încât agentul ce avea prioritatea cea mai mare înainte de apariția backtrackingului, să satisfacă constrângerile cu agentul care cauzează backtrackingul și are acum prioritatea cea mai mare. Pe deasupra, în algoritmul de backtracking asincron, agenții încearcă să evite situațiile găsite ca "nogood". Totuși, datorită întârzierilor ce apar la transmiterea mesajelor, mulțimea *agent_view* a unui agent poate fi ocazional un superset al valorilor anterioare găsite ca fiind *nogood*. Pentru a evita efectele câtorva din situațiile instabile și cele în care s-au făcut schimbări inutile în valorile de prioritate, fiecare agent înregistrează situațiile de *nogood* care se transmit. Când lista *agent_view* este identică cu lista *nogood* ce a mai fost transmisă, agentul nu va schimba valoarea de prioritate și va aștepta pentru mesajul următor.

În figura 3.4 este descris algoritmul de bază pentru AWCS [YDIK98], [Yok00], [Yok01].

Se observă mai multe deosebiri între procedurile tehnicii ABT și cele din AWCS. În primul rând, la algoritmul ABT fiecare agent transmite valoarea variabilei sale numai la agenții având prioritatea cea mai mică dintre cei cu care este conectat. În schimb, la algoritmul AWCS fiecare agent transmite valoarea variabilei sale la ambele categorii de agenți, la cei de prioritatea mai mică și la cei cu prioritatea mai mare, agenți de care este legat prin constrângeri (acești agenți sunt notați în figura 3.4 cu *neighbors*).

O altă deosebire este legată de faptul că valoarea de prioritate este comunicată prin mesajul *ok?* (în algoritmul din fig. 3.4. linia etichetată cu 1). A treia diferență este dată de faptul că ordinea de prioritate este determinată utilizând valoarea de prioritate comunicată. Dacă valoarea curentă nu este consistentă cu lista *agent_view*, adică câteva constrângeri cu variabilele agenților cu prioritatea cea mai mare nu sunt satisfăcute, agentul schimbă valoarea sa astfel încât să fie consistentă cu lista *agent_view* și să minimizeze numărul de constrângeri în conflict cu variabilele agenților cu prioritatea cea mai mică (în algoritm este notat acest punct cu (2)). Ultima diferență apare atunci când x_i nu poate găsi o valoare consistentă cu lista *agent_view*. În acest caz, x_i transmite mesajul *nogood* la alți agenți și incrementează valoarea de prioritate a sa. Dacă x_i a mai trimis un mesaj identic de tipul *nogood*, x_i nu va mai schimba valoarea de prioritate dar va aștepta următorul mesaj (punctul (3) din algoritm).

```

when received (ok?, (xj,dj, prioritate)) do -(1)
  adaugă(xj,dj, prioritate) la lista agent_view;
  check_agent_view;
end do;

when received (nogood, xj, nogood) do
  adaugă nogood to nogood_list;
  when (xk,dk,prioritate), unde xk nu este în lista neighbors și este conținut în nogood do
    adaugă xk la lista neighbors
    adaugă (xk,dk,prioritate) la lista agent_view;
  end do
  check_agent_view;
end do;

procedure check_agent_view
  when agent_view și curent_value nu sunt consistente do
    if nici o valoare din Di nu este consistentă cu lista agent_view then
      backtrack
    else
      Selectează d ∈ Di unde agent_view și d sunt consistente și d minimizează număr.
      de constrângeri neîndeplinite de agenții de prioritatea cea mai mică -(2)
      current_value ← d
      send (ok?, (xi, d, prioritate_curentă)) la neighbors
    end if
  end do
end procedure

Procedure Backtrack
  nogoods ← {V/ V= submulțime inconsistentă din agent_view} -(3)
  when mulțimea vidă este element al mulțimii nogoods do
    transmite la alți agenți că nu există soluție
    oprește algoritmul
  end do
  when nici un element din mulțimea nogoods nu este inclus lista noogod_sent do
    for each V ∈ nogoods do
      adaugă V la nogood_sent
      for each (xj,dj,pj) din V
        send (nogood, xi, V ) la xj
      end do
    end do
    Pmax ← max(xj,dj,pj) ∈ agent:view (pj)
    current_priority ← 1 + Pmax
    Selectează d ∈ Di unde d minimizează numărul de constrângeri neîndeplinite de
    agenții de prioritatea cea mai mică
    current_value ← d
    send (ok?, (xi, d, prioritate_curentă)) la neighbors
  end do
end procedure

```

Figura 3.4. Algoritmul AWCS și subrutinele folosite pentru recepționarea mesajelor

Pentru o mai bună înțelegere a modului de aplicare a tehnicilor derivate prezentate în capitolele următoare, se prezintă mai multe informații legate de comportamentul unui agent A_i , pentru tehnica AWCS [YDIK98]. Când un agent A_i recepționează un mesaj ok?, el își actualizează lista agent_view și verifică dacă anumite valori nogood sunt neîndeplinite. Agentul A_i testează numai acele valori nogood ce au prioritatea mai mare decât a lui x_i (autorii folosesc termenul de nogood de prioritate maximă pentru aceste valori). De fapt, prioritatea unei valori nogood este definită ca cea mai mică prioritate a variabilelor din nogood, cu excepția lui x_i . Ca o concluzie, un agent generic A_i poate avea următorul comportament:

- dacă nici o valoare de prioritate superioară nu este îndeplinită, el nu face nimic.
- dacă există câteva valori nogood de prioritate superioară ce au valori inconsistente și aceste valori pot fi eliminate prin schimbarea valori lui x_i , agentul va schimba această valoare și va trimite mesajul ok?. Dacă are de ales din mai multe valori, el va selecta aceea valoare ce minimizează inconsistențele în valorile nogood de prioritate inferioară (o valoare nogood de prioritate inferioară este aceea în care prioritatea sa este inferioară priorității lui x_i).
- dacă câteva valori de prioritate superioară sunt inconsistente și nu se poate elimina această inconsistență, agentul creează un nou mesaj nogood în afara listei sale agent_view și trimite un mesaj nogood la fiecare agent ce are variabile în nogood. Apoi, agentul mărește prioritatea lui x_i , schimbând valoarea lui x_i cu o altă valoare ce minimizează numărul de inconsistențe la toate valorile nogood și trimite mesajul ok?. Dacă noul nogood este identic cu valoarea nogood anterioară, atunci agentul nu face nimic. Acest pas este necesar pentru asigurarea completitudinii algoritmului [YDIK98].

Trebuie subliniat un anumit comportament al agentului A_i , specific algoritmului AWCS: când se recepționează un mesaj nogood, agentul adaugă valoarea nogood la mulțimea sa nogood și execută un test de verificare a inconsistențelor pentru nogood. Dacă noul nogood include o variabilă necunoscută, agentul are nevoie să primească de la agentul corespunzător valoarea variabilei avute în grijă. Din păcate, informațiile din nogood nu sunt folosite complet. Este vorba despre cazul atribuirii unei noi valori pentru variabila asociată agentului. Este posibil ca valorile nogood să conțină o referire la această valoare, în sensul că aceea atribuire să mai fi apărut ca și inconsistentă. Utilizarea acestor informații va fi baza construirii tehnicii nogood processor.

Problema completitudinii algoritmului AWCS este rezolvată plecând de la completitudinea algoritmului de bază ABT din care este derivat. În plus față de tehnica ABT, autorii identifică situațiile în care pot apărea situații de blocaj. Prioritatea valorilor se schimbă dacă și numai dacă o combinație ce nu este soluție este găsită. Dar, numărul de combinații nogood este finit (chiar dacă este mare), prioritatea valorilor nu poate fi schimbată la infinit. Prin urmare, după un anumit timp, cu siguranță finit, prioritatea valorilor va fi stabilă. Autorii, în [Yok00], [Yok01] și [YDIK98], arată că situația de mai sus nu poate apărea și în cazul în care prioritatea valorilor este stabilă.

În ceea ce privește performanțele acestui algoritm, satisfacerea constrângerilor este, în general, NP-completă. Prin urmare, în cazul cel mai nefavorabil, și complexitatea algoritmului AWCS crește exponențial după numărul de

variabile n . Acest caz poate apărea în momentul în care algoritmul schimbă ordinea de căutare. Autorii sugerează faptul că se poate restricționa numărul de înregistrări care sunt *nogood*, adică fiecare agent înregistrează numai un număr fix al celor mai recente *nogood* găsite. Acest lucru are un preț și anume nu se mai poate garanta completitudinea algoritmului. Autorii arată că, în practică, o limitare la 10 este suficientă (în cele mai multe cazuri) pentru găsirea soluției.

Rezultatele experimentale din [Yok00], [Yok01] și [YDIK98] arată că acest algoritm, în care agenții pot modifica o decizie proastă fără a face o căutare exhaustivă, este mai performant decât algoritmul ABT. Ideea de a permite agenților să poată modifica o decizie proastă, prin schimbarea dinamică a ordinii de prioritate a agenților s-a dovedit benefică. Conform rezultatelor experimentale, algoritmul AWCS, mai ales pentru probleme de dimensiune mare, s-a dovedit foarte eficient. Mai mult, algoritmul a putut da un răspuns la o anumită instanță într-un timp rezonabil, ceea ce algoritmul de bază (pentru valori mai mari ale problemelor DCSP) nu a reușit. Se poate concluziona că organizarea flexibilă a agenților (adică posibilitatea ca ei să-și schimbe ordinea de prioritate) este mult mai bună ca și varianta statică.

3.2.5 Tehnici incomplete de căutare. Tehnica "Distributed BreakOut".

Un alt algoritm distribuit, inspirat și el dintr-un algoritm existent pentru CSP, în cadrul arhitecturilor centralizate, este algoritmul *distributed breakout* [YDIK98], [Yok00], [Yok01]. Algoritmul din care este inspirat acest nou algoritm este algoritmul breakout al lui Morris [Mor93], acesta fiind la bază un algoritm de îmbunătățire iterativă.

Pentru a descrie noul algoritm distribuit, mai întâi, se vor descrie elementele de bază după care funcționează algoritmul centralizat al lui Morris [Mor93]. Acesta folosește noțiunea de soluție cu defecte (*flawed solution*), care este o soluție ce conține câteva constrângeri neîndeplinite. O astfel de soluție este revizuită prin schimbări locale până când toate constrângerile sunt satisfăcute.

Pentru fiecare pereche de variabile și valori care nu îndeplinesc constrângerile se definește ponderea acelei perechi (care inițial este 1) iar suma ponderilor perechilor care nu îndeplinesc constrângerile este folosită pentru evaluarea unei soluții cu defecte. În prima etapă, suma anterioară este egală cu numărul de constrângeri neîndeplinite. În algoritmul breakout, valorile variabilelor sunt schimbate astfel încât să scadă valoarea acelei sume de evaluare (adică a numărului de constrângeri violate). Dacă valoarea nu poate fi micșorată prin schimbări ale valorilor variabilelor, starea curentă este numită *local-minimum*. Când se ajunge într-o astfel de situație, algoritmul breakout crește ponderea perechilor de constrângeri neîndeplinite în starea curentă, cu o unitate, astfel încât valoarea de evaluare la această stare să devină mai mare decât starea vecinilor; astfel algoritmul poate evada din starea de *local-minimum*.

În continuare sunt prezentate ideile de bază ale algoritmului distribuit, varianta din [YDIK98], [Yok00], [Yok01]. Pentru fiecare agent x_i , autorii definesc o mulțime de agenți ce sunt direct conectați la x_i printr-o legătură, mulțime notată în algoritm prin *neighbors* (mulțimea vecinilor lui x_i identici cu cei din algoritmul AWCS). În algoritm este definită distanța între doi agenți ca fiind numărul de legături ale celui mai scurt drum ce conectează cei doi agenți.

În [YDIK98] se arată că aplicarea algoritmului breakout la cadrul distribuit al DCSP a necesitat mai multe modificări. Astfel, dacă se permite numai unui agent să schimbe valoarea sa în același timp, nu se va profita de avantajele paralelismului. Pe de altă parte, dacă la două mulțimi de agenți vecini li se permite să schimbe valorile lor în același timp, valoarea de evaluare nu mai poate fi îmbunătățită, apărând oscilații în care agenții tot repetă aceleași operații. O altă problemă este legată de cum se va detecta faptul că agenții sunt prinși într-o minimă locală, faptul că agenții trebuie să facă schimb global de informații despre ei. Autorii rezolvă aceste probleme, prin aplicarea următoarelor idei :

- agenții vecini schimbă valorile astfel încât să obțină posibile îmbunătățiri. Pentru aceasta, doar agentului care maximizează îmbunătățirea valorii de evaluare i se dă dreptul de a schimba valoarea sa. De asemenea, doi agenți care nu sunt vecini pot să-și schimbe concurent valorile lor.
- în loc de a detecta faptul că agenții sunt în ansamblu într-un minim-local, fiecare agent detectează faptul că el este într-un semi minim-local, care este o formă mai slabă de minim-local ce poate fi detectată local.

În acest algoritm, două tipuri de mesaje *ok?* și *improve* sunt transmise între vecini [YDIK98], [Yok00], [Yok01]. Mesajul *ok?* este utilizat pentru a schimba valoarea curentă asociată la un agent, iar mesajul *improve* este utilizat pentru a comunica o posibilă îmbunătățire a valorii de evaluare prin schimbarea valorii agentului. Prin schimbarea mesajului *improve* între vecini și oferirea dreptului de schimbare a valorii numai la agentul care poate maximiza îmbunătățirea valorii evaluate, vecinii nu pot schimba valorile lor în mod concurent, în timp ce agenții care nu sunt vecini pot face acest lucru. Autorii definesc faptul că agentul x_i este într-un semi local-minim dacă x_i violează câteva constrângeri și îmbunătățirile posibile ale lui x_i și ale tuturor vecinilor lui sunt 0.

În acest algoritm fiecare agent își determină în mod aleator valoarea inițială și transmite mesajul *ok?* la toți vecinii lui. După recepționarea mesajelor *ok?* de către toți vecinii, se calculează valoarea curentă de evaluare (suma ponderilor perechilor de constrângeri neîndeplinite relative la variabilele lor) și îmbunătățirea posibilă a valorii de evaluare. Apoi se transmite mesajul *improve* la toți vecinii săi.

Procedurile executate de agentul x_i când recepționează mesajele *ok?* și *improve?* sunt descrise în figurile 3.5. și 3.6, ele alcătuind de fapt algoritmul distribuit breakout [YDIK98],[Yok00], [Yok01]. Agenții alternează între modul *wait_ok?* (figura 3.5) și modul *wait_improve* (figura 3.6).

În modul *wait_ok?*, x_i înregistrează valoarea asociată la vecini în *agent_view*. După recepționarea mesajului *ok?* de la vecinii săi, se calculează valoarea curentă de evaluare și îmbunătățirea posibilă, apoi se transmite mesajul *improve* la vecinii săi și se intră în modul *wait_improve*.

Algoritmul DB utilizează următoarele structuri de date:

- *can_move* reține când își poate schimba valoarea variabila x_i . Dacă o posibilă îmbunătățire a vecinilor x_j este mai mare ca și îmbunătățirea lui x_i sau îmbunătățirile sunt egale și x_j precede pe x_i în ordine alfabetică, variabila *can_move* va deveni *false*.
- *quasi_local_minimum* stochează momentul în care x_i este într-un semi minim-local. Dacă îmbunătățirile posibile ale vecinilor lui x_j sunt pozitive, atunci variabila primește valoarea *false*.

- *my_termination_counter*: se folosește pentru a detecta situația în care algoritmul se încheie. Dacă valoarea variabilei este d , fiecare agent a cărui distanță de la x_i este aproape de d satisface toate constrângerile. Se consideră în algoritm că x_i cunoaște distanța maximă la alți agenți (*max_distance*). Dacă valoarea variabilei *my_termination_counter* devine egală cu *max_distance*, x_i poate confirma că toți agenții satisfac constrângerile lor.

După recepționarea mesajului *improve* de la toți agenții, x_i schimbă ponderile constrângerilor neîndeplinite dacă starea variabilei *quasi_local_minimum* este true. De îndată ce fiecare agent independent înregistrează ponderile, agenții vecini nu mai au nevoie să negocieze despre dreptul de a mări ponderile. Dacă variabila *can_move* este true, valoarea variabilei x_i este schimbată, iar în celelalte cazuri ea rămâne neschimbată. Agentul trimite mesajul *ok?* și intră în modul *wait_ok?*.

```

wait_ok? mode
when received (ok?, (xj,dj)) do
  counter ← counter +1
  adaugă(xj,dj) la lista agent_view;
  when counter=numărul de neighbors do
    send_improve
    counter ← 0
    goto wait_improve mode
  end do
  goto wait_ok mode
end do;

procedure send_improve
  current_eval ← valoarea evaluată a lui current_value
  my_improve ← îmbunătățirea maximă posibilă
  if current_eval =0 then
    consistent ← true
  else
    consistent ← false
    my_termination_counter ← 0
  end if
  if my_improve >0 then
    can_move ← true
    quasi_local_minimum ← false
  else
    can_move ← false
    quasi_local_minimum ← true
  end if
  send(improve,xi,my_improve,current_eval,my_termination_counter)la neighbors
end procedure

```

Figura 3.5 Algoritmul distribuit breakout – modul *wait_ok?*

```

wait_improve? mode
when received (improve?, (xj,improve, eval, termation_counter)) do
  counter ← counter +1
  my_termination_counter ← min(termantion_counter, my_termantion_counter)
  when improve >my_improve do
    can_move ← false
    quasi_local_minimum ← false
  end do
  when improve =my_improve și xj precede xi do
    can_move ← false
  end do
  when eval > 0 do
    consistent ← false
  end do
  when counter=numărul de neighbors do
    send_ok
    counter ← 0
    clear agent_view
    goto wait_ok mode
  end do
  goto wait_improve mode
end do;

procedure send_ok
  when consistent=true do
    my_termination_counter ← my_termination_counter +1
    when my_termination_counter =max_distance do
      Transmite vecinilor că o soluție s-a găsit
      Stop algoritm
    end do
  end do
  when quasi_local_minimum = true do
    mărește ponderile constrângerilor neîndeplinite
  end do
  when can_move =true do
    curent_value ← new_value
  end do
  send (ok?, xi, curent_value) la neighbors
end procedure

```

Fig. 3.6 Algoritmul distribuit breakout - modul wait_improve

În [YDIK98], [Yok00], [Yok01] este testată eficiența acestui algoritm, comparativ cu algoritmul AWCS. Experimentele arată că algoritmul este mai performant decât AWCS pentru anumite clase de probleme („critical problems”), dar este depășit de AWCS în cazul altor probleme („sparse problems” și „dense problems”).

În ceea ce privește completitudinea algoritmului, această tehnică eficientă nu o poate garanta. Din păcate, completitudinea acestui algoritm nu poate fi

garantată odată ce el poate intra într-un ciclu infinit, spre deosebire de AWCS a cărui completitudine este garantată.

În concluzie, acest algoritm incomplet în care agenții încearcă să minimizeze numărul de constrângeri neîndeplinite prin schimbarea valorilor curente asociate și a valorii de îmbunătățire între agenții vecini, s-a dovedit mult mai performant decât algoritmul anterior doar pentru o clasă particulară de instanțe de probleme.

3.2.6 Tehnica "Distributed Backtracking" - DIBT

O altă soluție de backtracking distribuit a fost publicată în [HBQ98]. Varianta de backtracking distribuit (DIBT-Distributed Backtracking) are ca bază de plecare algoritmul clasic de backtracking, cazul centralizat. Dacă algoritmul asincron folosește scheme de învățare, acest algoritm elimină schemele de învățare, cum ar fi înregistrarea listei "nogood". De asemenea, acest algoritm folosește câteva tehnici de îmbunătățire a strategiei backtracking în contextul distribuit. De exemplu, informațiile de instanțiere sunt transmise între agenții conectați astfel încât să se beneficieze de topologia rețelei de constrângeri. Plecând de la studiile CSP care arată că mărimea spațiului de căutare depinde în mare măsură de euristica ce stabilește ordinea variabilelor, autorii introduc o metodă generică de determinare a ordinii pentru variabilele statice.

Această tehnică folosește (ca și celelalte variante de tehnici de căutare asincrone) o ordine între agenții, pentru a se asigura completitudinea algoritmului. Practic, se caută o ordine parțială între agenți, care va fi folosită la instanțierea variabilelor și care va fi extinsă la o ordine totală cu scopul de a ghida pașii backtrackingului. Din faptul că nu există restricții în ce privește ordinea ce va fi utilizată, se va putea decide asupra folosirii unei ordini ce se potrivește cel mai bine cu topologia grafului de constrângeri. Acest lucru are ca efect reducerea a spațiului de căutare și a numărului de mesaje pasate.

Trebuie amintit, varianta backtracking asincron ABT folosește ordinea lexicografică pentru agenți pentru a elimina posibilitatea de intrare într-un ciclu infinit. Această ordine lexicografică are dezavantajul de a nu folosi caracteristicile inițiale ale problemei. Prin urmare, în [HBQ98] este definită o metodă de determinare a ordinii variabilelor, metoda ce este folosită împreună cu noul algoritm.

Fiecare agent determină local poziția sa conform cu euristica aleasă. Concret, fiecare agent determină mulțimile Γ^+ și Γ^- , numite mulțimea agenților copii, respectiv părinți, cunoscuți de agentul respectiv, folosind funcția de evaluare f și operatorul de comparare op care definesc total euristica aleasă.. Acest lucru este realizat în liniile 1 și 2 ale algoritmului din figura 3.7, algoritm din [HBQ98], [Ham99]. Se observă faptul că evaluarea funcției f poate implica anumite comunicații între agenți, de aceea se recomandă folosirea unor euristici pentru care funcția asociată f necesită numai comunicații locale între agenții vecini, cum ar fi euristica *max-degree*.

| | |
|---|--|
| | % se execută pentru fiecare agent (self) D.I: f definit pe Γ și op operatorul de comparație D.O: cele două mulțimi Γ^+ și Γ^- , obținuta din mulțimea Γ , Γ^- ordonată. begin |
| 1 | $\Gamma^+ \leftarrow \emptyset; \Gamma^- \leftarrow \emptyset;$ for fiecare $Agent_j \in \Gamma$ do |

```

2   if f(Agentj) op f(self) then  $\Gamma^+ \leftarrow \Gamma^+ \cup \{Agent_j\}$ 
3   else  $\Gamma^- \leftarrow \Gamma^- \cup \{Agent_j\}$ 
3   % se ordonează mulțimea  $\Gamma^-$ 
   max  $\leftarrow 0$ 
   for (i=0; i < | $\Gamma^+$ | ; i++ ) do
       m  $\leftarrow$  getMsg()
       if (m=value:v;from:j) then
           if (max<v) then max  $\leftarrow$  v;
       max++;
       sendMsg( $\Gamma^-$ , "value:max;from:self");
       sendMsg( $\Gamma^+$ , "position:max;from:self");
4   for(i=0;i<| $\Gamma^-$ |;i++) do
       m  $\leftarrow$  getMsg();
       if(m=position:p;from:j) then Level[j]  $\leftarrow$  p;
       Rearrange  $\Gamma^-$  după Level[];
end

```

Figura 3.7 Algoritm de determinare a ordinii variabilelor

După executarea acestor etape, agenții vor cunoaște mulțimile Γ^- și Γ^+ . Aceste informații sunt utilizate în timpul căutării, agenții vor trimite valorile instanțiate la copii și în cazul apariției unui eșec, ei vor reveni la primul agent din Γ^- . Din acest motiv, partea a doua a algoritmului (liniile 3-4) se ocupă cu ordonarea mulțimii Γ^- .

În figura 3.8 este ilustrat procesul distribuit pentru un exemplu, aplicând euristica max-degree pentru ordinea variabilelor. În partea stângă a figurii apare graful constrângerilor. Pentru obținerea euristicii max-degree, algoritmul din figura 3.8 trebuie să fie apelat pentru fiecare agent cu funcția $f(Agent_i) = |\Gamma_i|$, unde Γ_i este mulțimea de cunoștințe a lui $Agent_i$, și comparatorul $<$. Ordinea statică a variabilelor este obținută în partea dreaptă a figurii 3.8. Săgețile arată ordinea relațiilor, care reprezintă ordinea de transmitere a instanțelor în procesul de căutare. Ordinea mulțimilor Γ^- , care va fi utilizată după fiecare eșec, este următoarea:

- $Agent_1, \Gamma^- = \emptyset$.
- $Agent_2, Agent_5, \Gamma^- = \{Agent_1\}$.
- $Agent_3, Agent_4, \Gamma^- = \{Agent_2, Agent_1\}$.
- $Agent_2, \Gamma^- = \{Agent_5, Agent_1\}$.

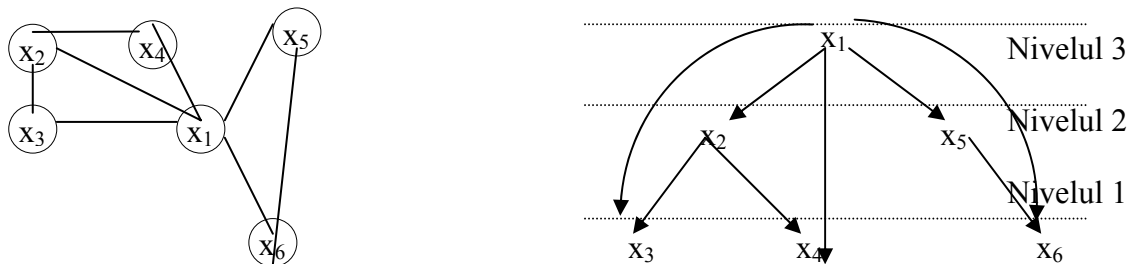


Figura 3.8. Ordinea variabilelor distribuite

Câteva observații se pot face referitor la această nouă tehnică relativă la ordonarea agenților. Dacă funcția de evaluare este bine aleasă, fiecare agent poate

furniza o ordine locală algoritmului, cu un număr constant de mesaje cu fiecare din aceste cunoștințe. Ca un rezultat al ordinii, agenții de pe același nivel sunt independenți. Ei nu împart nici o constrângere astfel încât ei pot să execute calcule în paralel. Acest lucru este foarte important pentru că conduce la un bun paralelism.

Algoritmul din [HBQ98] este prezentat în figura 3.9. Fiecare agent instanțiază variabilele sale cu respectarea constrângerilor părinte. După instanțiere, agenții informează copiii lor de valorile alese (conținutul mesajului startând prin "infoVal"). Dacă nici o valoare nu satisface constrângerile cu agenții din Γ^- , un mesaj backtrack se trimite la părinții apropiați (mesajul startând prin „btSet”). Din faptul că apare backtrack între variabilele conectate, acest algoritm este un backtracking bazat pe graful constrângerilor. La recepționarea unui mesaj de backtrack, în primul rând se caută validarea mesajului prin compararea valorii curente cu cea raportată pentru acest mesaj (linia 6). În cazul în care există o valoare diferită, aceasta înseamnă că transmitătorul încă nu a recepționat informații despre ultimele valori recepționate, așa că backtrack-ul decide că poate fi învechit. Dacă comparația se potrivește și dacă agentul nu poate lua o valoare diferită, apare un backtrack. Este trimis un mesaj de backtrack la agentul cel mai apropiat în ordinea mulțimii lui Γ^- și se transmite mulțimea transmitătorului (linia 9).

Încheierea algoritmului pentru un agent apare când agentul este instanțiat și intră în starea de așteptare sau când agentul sursă găsește un mesaj nogood gol (linia 8). În ultimul caz, este rezolvată situația în care problema nu are soluție. Mesajul *noSolution* este trimis la agentul sistem. Acest agent oprește calculul distribuit prin transmiterea unui mesaj de oprire la toții agenții.

Algoritmul din [HBQ98] este prezentat în figura 3.9.

```

Calculează  $\Gamma^+$ ,  $\Gamma^-$ , ordonează  $\Gamma^-$  folosind algoritmul din fig 3.8
nearest ← first( $\Gamma^-$ );
myValue ← getvalue(info);
sendMsg( $\Gamma^+$ , "infoVal: myValue; from self");
end ← false;
while (not end) do
  m ← getMsg();
  if (m=stop) then
    end ← true;
  if (m=infoVal:a; from j) then
    Value[j] ← a;
    myValue ← getValue(info);
    if (myValue) then
      sendMsg( $\Gamma^+$ , "infoVal: myValue; from: self");
    else
      sendMsg(nearest, "btSet:  $\Gamma^-$ , values: value[ $\Gamma^-$ ]");
  if (m=btSet:set; Values:values) then
    if (values[j]=myValue)
      myValue ← getValue(bt);
      if (myValue) then
        sendMsg( $\Gamma^+$ , "infoVal: myValue; from self");
      else
        if ( $\Gamma^- = \emptyset$  and set= $\emptyset$ ) then
          sendMsg(system, „NoSolution”);
          end ← true;

```

```

else
    followSet ← merge ( $\Gamma^-$ , set);
    follow ← first (followSet) ;
    sendMsg(follow, "btSet:followSet values: value[ $\Gamma^-$ ] ∪
                ∪ values");
if (follow  $\notin \Gamma^-$  )
    myValue ← getValue(info);
end

```

Figura 3.9. Algoritmul backtracking distribuit - DIBT

În algoritmul prezentat în figura 3.9 sunt folosite următoarele structuri și rutine:

- *self* este un agent generic ce execută algoritmul, D_{self} este domeniul său și *myvalue* este valoarea sa curentă;
- *value[]* stochează parinții cunoscând valorile;
- *first(S)* returnează primul element al mulțimii ordonate S;
- *getValue(type)*:
 - dacă *type*="info", metoda returnează prima valoare din D_{self} compatibilă cu agenții din Γ^- , începând cu *myValue*;
 - dacă *type*="bt", metoda returnează prima valoare după *myValue* din D_{self} compatibilă cu agenții din Γ^- ;

În ce privește completitudinea algoritmului, autorii propun o schiță de demonstrație în [HBQ98]. Mai târziu, în [Ham99], pentru a asigura completitudinea algoritmului, autorul extinde mulțimile Γ^+ și Γ^- , numite mulțimea copiilor și părinților. Din păcate, în [Yok00p], Yokoo arată că acest algoritm este incomplet (cu toate aceste extensii). Totuși, de curând, s-a propus un patch la algoritm care să asigure completitudinea algoritmului, patch prezentat împreună cu familia ABT în paragraful 3.4.

3.2.8 Tehnica "Distributed Dynamic Backtracking" - DisDB

Un alt algoritm distribuit, ce funcționează pentru modelul DCSP, în aceleași condiții ca și algoritmi prezentati anterior, a fost publicat în [BMM01] și [BM05]. Acest nou algoritm asincron folosește ce este mai bun de la algoritmi de căutare anteriori ABT și DIBT, încercând să funcționeze cât mai asincron posibil și cu minimul de mesaje pasate între agenți. El se bazează pe algoritmul de backtracking distribuit al lui Ginsberg [Gin93], existent pentru arhitecturi centralizate (algoritm de backtracking dinamic al lui Ginsberg este un algoritm de tip backjumping).

Tehnica DisDB are la bază salturi dinamice peste mulțimile de agenți aflați în conflict. Constrângerile sunt orientate formând un graf aciclic orientat, care este un punct de plecare în stabilirea ordinii agenților (ierarhia agenților poate fi construită utilizând euristici cunoscute și aplicând schema de ierarhizare propusă de Hamadi în [HBQ98], schemă prezentată și aici, în paragraful 3.2.6.1. Dacă nu se folosește nici o euristică, ierarhia se stabilește implicit folosind ordinea lexicografică dintre agenți.

Algoritmul se bazează pe folosirea a două mulțimi, notate cu Γ^+ și Γ^- , mulțimi folosite și în cazul algoritmului de backtracking distribuit, prezentat în paragraful anterior (dar cu o altă semnificație). Considerând un agent generic, notat

cu *self* în algoritm, $\Gamma^-(self)$ este mulțimea agenților care au constrângeri cu *self* și apar la nivele superioare în ierarhie. În schimb, $\Gamma^+(self)$ este mulțimea agenților care au constrângeri cu *self* ce apar la nivele inferioare în ierarhie. Această ierarhie induce o ordine parțială între agenți, care trebuie completată la o formă de ordine totală, pentru a asigura completitudinea algoritmului.

În algoritmul DisDB fiecare agent păstrează un context de lucru format din vederea agentului și lista de valori *nogood*. Vederea agentului *self* este o mulțime de valori ce se crede a fi asociate la agenții care sunt înaintea lui *self* conform ordinii totale definite. Vederea agentului este întotdeauna compatibilă cu listele *nogood* aflate în stoc. Agenții schimbă atribuiri și listele *nogood*. DisDB acceptă întotdeauna noi atribuiri, actualizând vederea agentului în cauză. Când se recepționează un *nogood*, el este acceptat dacă este consistent cu vederea agentului din $\Gamma^-(self) \cup \{self\}$, în caz contrar renunțându-se la el ca fiind învechit. Un *nogood* acceptat este utilizat la actualizarea vederii agent dintre agenții care nu sunt în $\Gamma^-(self)$ și la actualizarea mulțimii de liste *nogood* stocate. Când toate valorile agenților sunt înlăturate datorită câtorva liste *nogood*, mulțimea de liste *nogood* stocate este rezolvată ca în cazul centralizat, generând un nou *nogood* ce este trimis la variabila din partea dreaptă. Aceste variabile, plus toate variabilele aflate în partea stângă a noilor *nogood* ce nu sunt în $\Gamma^-(self)$, sunt neasociate în vederea agent, iar listele *nogood* sunt actualizate în mod corespunzător. Acest proces se termină când se obține o perioadă de „liniște” în transmiterea de mesaje (fie o soluție a fost găsită sau o listă *nogood* goală este generată, înțelegând prin aceasta că problema este nerezolvabilă).

În ceea ce privește mesajele, în algoritm sunt utilizate trei tipuri de mesaje:

- *Stop(system)*. Nu există soluție și agentul recepționează stop. Este folosit un extra agent, numit agent system, care se ocupă cu transmiterea mesajului stop la întreaga rețea.
- *Info(child, valoare)*. Este informat child că agentul *self* a luat acea valoare. El este trimis la agenții din mulțimea $\Gamma^+(self)$.
- *Back(nogood)*. Este un mesaj de backtracking, conținând *nogood* și adresat la agenții din partea dreaptă.

Algoritmul DisDB este descris în figura 3.10 [BMM01]. Mesajele sunt schimbate folosind două primitive *getMsg* și *sendMsg*. Procedura principală DisDB recepționează repetat mesaje ce sunt tratate în funcție de tipul lor. În momentul recepționării mesajului Stop (de la agentul sistem) algoritmul se încheie.

În cazul în care se primește un mesaj info, procedura *GoAhead* este executată. Aceasta actualizează vederea agentului curent (în algoritm este notată prin *myContext*). De asemenea, dacă noile informații dezactivează valoarea curentă, o nouă valoare este încercată. Dacă astfel valori există, $\Gamma^+(self)$ este informat de noile valori ale lui *self* (liniile 5,6 din procedură). Altfel, se apelează o altă procedură numită *ResolveNogoods*.

În cazul în care se primește un mesaj Back, se apelează procedura *ResolveConflict*. Mesajul Back (linia 1 din procedură) este acceptat, dacă el este consistent cu valoarea lui *self* și dacă vederea agentului pentru agenții pentru care *self* are o legătură directă, să cunoască valorile lor printr-un mesaj Info. Altfel, mesajul Back este eliminat ca fiind învechit. După acceptarea unui mesaj Back, se actualizează vederea agent pentru acei agenți care nu sunt în $\Gamma^-(self)$ (linia 2), se stochează în *stocul de nogood* (linia 3) și o nouă valoare pentru *self* este încercată (linia 4). Dacă astfel de valori există, $\Gamma^+(self)$ este informat de noile valori ale lui *self*

(liniile 6,7). În caz contrar, (adică toate valorile lui self sunt eliminate) se apelează procedura *ResolveNogoods* (linia 8).

Procedura *ResolveNogoods* rezolvă toate listele nogood stocate în *myNogoods*, generând un nou nogood numit în algoritm *newNogood* (linia 1 din procedură). Variabilele ce apar în partea dreaptă a lui *newNogood* sunt variabile din *myNogoods* apropiate de *self* în ordinea totală dintre agenți. Dacă un nogood gol este generat, problema nu are soluție și mesajul Stop este trimis (vezi liniile 3 și 4). În caz contrar, *newNogood* este trimis. Apoi, variabilele din partea dreapta a lui *newNogood* sunt neasociate și lista nogood suportată de ele este uitată (liniile 8, 9).

Procedura *ChoseValue*, selectează valorile consistente cu vederea agentului, actualizând stocul de nogood, iar procedura *Update* actualizează vederea agentului și păstrează coerența dintre vederea agentului și mulțimea de liste nogood stocate (procedurile lhs și rhs sunt proceduri auxiliare ce au ca sarcină determinarea părții din stânga, respectiv dreapta, a listei nogood).

```

procedure DisDB()
1 compute  $\Gamma^+(\text{self}), \Gamma^-(\text{self})$ ;
2 GoAhead(null);
3 end  $\leftarrow$  false;
4 while( $\neg$ end) do
5   msg  $\leftarrow$  getMsg ();
6   switch(msg.type)
7     Stop   : end  $\leftarrow$  true;
8     Info   : GoAhead(msg);
9     Back   : ResolveConflict(msg);

procedure GoAhead(msg)
1 if (msg) then Update(myContext, msg.Context);
2 if ( $\neg$ msg or  $\neg$  consistent (myValue, myContext)) then
3   myValue  $\leftarrow$  ChooseValue();
4   if(myValue) then
5     for each child  $\in \Gamma^+(\text{self})$  do
6       sendMsg:Info(child, myValue);
7   else ResolveNogoods();

procedure ResolveConflict(msg)
1 if consistent (myContext, msg.Context in  $\Gamma^-(\text{self}) \cup \{\text{self}\}$ ) then
2   Update(myContext, msg.Context);
3   add(msg.Context =>  $\neg$ myValue, myNogoods);
4   myValue  $\leftarrow$  ChooseValue();
5   if(myValue) then
6     for each child  $\in \Gamma^+(\text{self})$  do
7       sendMsg:Info(child, myValue);
8   else ResolveNogoods();

procedure ResolveNogoods()
1 newNogood  $\leftarrow$  solve(myNogoods);
2 if(newNogood=empty)
3   end  $\leftarrow$  true;
4   sendMsg:Stop(system);

```

```

5 else
6   sendMsg:Back(newNogood);
7   Update(myContext,rhs(newNogood) ←unknown);
8 for each var ∈ lhs(newNogood) \ Γ(self)
9   Update(myContext, var ←unknown);
10 Go Ahead(null);

function ChooseValue()
1 for each v ∈ D0(self) not eliminated by myNogoods do
2   if consistent(v, myContext) then
3     return(v);
4   else /*X:var inconsistent with v*/
5     add(X=valx => ¬v, myNogoods);
6   return(empty);

procedure Update(myContext, newContext)
1 include(newContext,myContext);
2 for each ng ∈ myNogoods
3   if(¬consistent(lhs(ng),newContext)) then
4     myNogoods ← myNogoods\{ng};

```

Figura 3.10. Algoritmul backtracking dinamic distribuit -DisDB

Pentru o mai bună înțelegere a funcționării acestui algoritm, în figura 3.11 este prezentat un exemplu din [BMM01]. În acest exemplu se consideră patru variabile și patru agenți diferiți, ordonați lexicografic, cu domeniile din paranteze și trei constrângeri diferite conectând variabilele x_1 , x_2 și x_3 la x_4 .

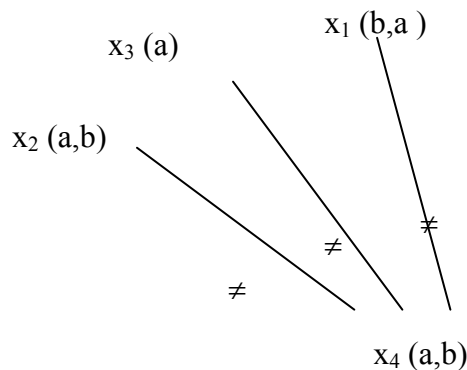


Figura 3.11. O problemă DCSP cu patru agenți

Inițial, cele patru variabile iau valori din domeniul lor și primele trei informează variabila x_4 de valorile lor. Variabila x_4 recepționează mesaje de la x_1 și x_2 , determină două liste nogoods $x_1=b \Rightarrow x_4 \neq b$, $x_2=a \Rightarrow x_4 \neq a$, sunt rezolvate și trimise mesaje backtracking la x_2 . Variabila x_4 uită listele nogoods incluzând x_2 și ia valoarea a .

Mai departe, se recepționează un mesaj de la x_3 care cauzează un nod nogood $x_3=b \Rightarrow x_4 \neq b$, care este rezolvat cu $x_1=b \Rightarrow x_4 \neq b$, producându-se un mesaj

backtracking la x_3 . variabila x_4 uită lista de valori nogood incluzând x_3 și ia valoarea a .

Variabila x_2 recepționează nogood-ul său, dar ea nu mai are nici o valoare disponibilă. Se calculează un nou nogood $\Rightarrow x_1 \neq b$, care este trimis lui x_1 . Variabila x_2 uită lista de nogood-uri incluzând x_1 și ia valoarea a , informând variabila x_4 . Variabila x_3 recepționează nogood-ul său și schimbă valoarea sa cu b , informând x_4 . Variabila x_1 recepționează nogood-ul său și schimbă valoarea sa cu a , informând x_4 .

Variabila x_4 , recepționează mesaje de la x_1, x_2, x_3 (în această ordine) cu valorile noi ale lor. După recepționarea noii valori a pentru x_1 , x_4 uită lista nogood anterioară ($x_1=b \Rightarrow x_4 \neq b$) și se generează o nouă listă nogood $x_1=a \Rightarrow x_4 \neq a$. Prin urmare x_4 ia valoarea b . Nici un nogood nu este generat de la mesajul lui x_2 . Mesajul lui x_2 generează un nogood $x_3=b \Rightarrow x_4 \neq b$, care este rezolvat ca într-unul din cazurile de mai sus, cauzând un mesaj backtracking la x_3 . Variabila x_4 uită lista nogood, incluzând x_3 și primește încă o dată valoarea b .

Variabila x_3 recepționează mesajul său și elimină lista nogood anterioară $x_1=b \Rightarrow x_3 \neq a$ deoarece este învechită: x_1 nu este în $\Gamma^-(x_3)$ și nogood-ul recepționat de la x_1 are o valoare diferită. Variabila x_3 ia valoarea a și informează x_4 , care nu face nimic din cauză că noua valoare este compatibilă cu contextul său și stocată în lista nogood. Execuția se termină cu găsirea unei soluții.

În [BMM01] se demonstrează că algoritmul DisDB este complet și se termină. Ideea de construire a unui algoritm asincron de căutare cu un spațiu polinomial de învățare dar fără legături adiționale, reprezintă o soluție naturală ce este aplicată la acest algoritm, care prin aceste elemente se deosebește de ceilalți algoritmi distribuiți prezentați până acum.

3.3. Tehnicile din familia ABT.

Având ca bază de plecare algoritmul asynchronous backtracking (ABT), în [BM05] a fost propus un cadru unificator, un nucleu de plecare pentru câteva dintre cele mai importante și cunoscute tehnici asincrone. Din acest nucleu au fost derivate mai multe tehnici, tehnici cunoscute sub numele de familia ABT. Ele diferă prin modul în care stochează valorile nogood, dar și prin modul în care adaugă legături între agenții neconectați cu scopul de a detecta și elimina informațiile învechite dintre agenți. În [BM05] se pleacă de la o procedură simplă (numită ABT kernel) care cuprinde principalele caracteristici ale tehnicilor de căutare asincrone. Plecând de la această procedură, care formează cadrul unificator, se poate ajunge la tehnici cunoscute sau la variante apropiate de acestea: asynchronous backtracking (ABT), Distributed Dynamic Backtracking (DisDB) sau tehnica Distributed Backtracking (DIBT).

Algoritmul ABT kernel necesită, ca și tehnica ABT, direcționarea constrângerilor de la agentul care transmite o valoare la agentul care evaluează constrângerile, formând un graf orientat aciclic. În această teză se consideră că agenții sunt ordonați static, după anumite criterii (în mod implicit, dacă nu se precizează, se consideră ordinea lexicografică). Prin urmare, un agent având o prioritate mai mare decât altul, va fi considerat la un nivel superior într-un arbore ce reprezintă ierarhia cu agenți. Se vor considera mai multe notații consacrate: dacă *self* este un agent generic, atunci $\Gamma^-(self)$ este mulțimea agenților care au constrângeri cu *self* și apar la nivele superioare în ierarhie (numită mulțimea părinților) iar cu $\Gamma^+(self)$ este mulțimea agenților care au constrângeri cu *self* ce apar la nivele inferioare în ierarhie (numită mulțimea copiilor) [BM05].

În figura 3.12 sunt prezentate rutinele de tratate a mesajelor pentru algoritmul ABT kernel [BM05].

Fiecare agent are nevoie să înregistreze anumite informații legate de starea globală a căutării (toate tehnicile asincrone au nevoie de aceste informații). Această stare presupune cunoașterea valorilor asociate agenților de pe nivelele superioare (numite de obicei *agent_view*), ele formând *contextul* de lucru local al agenților și a listelor de valori inconsistente (numite *nogood*). Agenții fac schimb de aceste valori alocate de agenți și de nogood-uri. Căutarea se efectuează printr-o buclă simplă până la găsirea unei soluții sau detectarea unui mesaj de oprire. Acest mecanism se întâlnește la majoritatea tehnicilor asincrone.

Bucla principală, ce se aplică la fiecare agent, presupune parcurgerea a patru etape. Prima constă în recepționarea unui mesaj și încheierea execuției dacă s-a primit mesajul *Stop*. A doua etapă se referă la situația în care mesajul este pertinent, caz în care se actualizează contextul de lucru. În a treia etapă se selectează o soluție locală. În ultima etapă, se generează un nou mesaj care informează „copiii” lui *self* în legătură cu noua sa valoare sau se oprește procesul de căutare globală (în caz de eșec).

Nucleul de bază (prezentat în figura 3.12) are la bază procedura ABT_{kernel} , procedură executată de fiecare agent și conținând cele patru etape prezentate anterior [BM05].

În figura 3.13 este prezentat și fluxul de mesaje schimbat de agenți, punându-se în evidență cele două mesaje principale utilizate „*info*” și „*back*”. Cele două mesaje sunt folosite pentru informarea agenților „copiii” de schimbarea unei valori, respectiv de apariția unei situații de eșec. Mesajele de tip *info* corespund mesajelor de tip ok prezentate în paragraful 3.3.3, iar cele de tip *back* mesajelor de tip nogood întâlnite la tehnica ABT sau AWCS..

Procedure ABTkernel()

```

1 myValue←empty; end ← false;
2 CheckAgentView();
3 while (not end) do
4   msg ← getMsg();
5   switch(msg:type)
6     Info : ProcessInfo(msg);
7     Back : ResolveConflict(msg);
8     Stop : end← true;
End
```

procedure CheckAgentView(msg)

```

1 if not consistent(myValue;myAgentView) then
2   myValue ← ChooseValue();
3   if (myValue) then for each child  $\in \Gamma^+$  (self) do
4     sendMsg:Info(child;myValue);
5   else Backtrack();
End
```

procedure ProcessInfo(msg)

```

1 Update(myAgentView; msg.Assig);
2 CheckAgentView();
End
```

```

procedure ResolveConflict(msg)
1  if Coherent(msg.Nogood;  $\Gamma^-(self) \cup \{self\}$ ) then
2      for each assig  $\in$  lhs(msg.Nogood)  $\setminus \Gamma^-(self)$  do
          Update(myAgentView; assig);
3      add(msg.Nogood;myNogoodStore); myValue  $\leftarrow$  empty;
4      CheckAgentView();
5  else if msg.sender  $\in \Gamma^+(self) \wedge$  Coherent(msg.Nogood; self) then
          SendMsg:Info(msg.sender;myValue);
End

procedure Backtrack()
1  newNogood  $\leftarrow$  solve(myNogoodStore);
2  if (newNogood = empty) then
3      end  $\leftarrow$  true; sendMsg:Stop(system);
4  else
5      sendMsg:Back(newNogood);
6      Update(myAgentView;rhs(newNogood) $\leftarrow$  unknown);
7      CheckAgentView();
End

function ChooseValue()
1  for each  $v \in D(self)$  not eliminated by myNogoodStore do
2      if consistent( $v$ ; myAgentView) then return ( $v$ );
3      else add( $x_j = val_j \mid self \neq v$ ;myNogoodStore);
4  return (empty);
End

procedure Update(myAgentView; newAssig)
1  add(newAssig;myAgentView);
2  for each  $ng \in$  myNogoodStore do
3      if not Coherent(lhs( $ng$ );myAgentView) then
remove( $ng$ ;myNogoodStore);
End

function Coherent(nogood; agents)
1  for each  $var \in$  nogood  $\cup$  agents do
2      if nogood[ $var$ ]  $\neq$  myAgentView[ $var$ ] then return false;
3  return true;
end

```

Figura 3.12. Tehnica ABT kernel pentru căutarea asincronă

Procedura *CheckAgentView* are rolul de a verifica dacă mesajele sunt relevante, aceasta însemnând că se acceptă doar acele mesaje care se referă la o nouă valoare (mesaje de tip info) sau mesaje de tip *back* care apar în situația negăsirii de către un agent a unei valori consistente (practic orice valoare este inconsistentă cu *contextul* local).

Mesajele acceptate de către procedura principală ABT_{kernel} sunt folosite la actualizarea unei baze de cunoștințe locale numită contextul local al agentului (în figura 3.16 apare sub numele *myAgentView*). Acest lucru presupune actualizarea valorilor din context și asigurarea coerenței mulțimii de valori nogood cu această

nouă valoare. Dacă valoarea curentă este validă, ciclul se încheie și agentul *self* poate primi un nou mesaj. În caz contrar, agentul caută o nouă valoare care să fie consistentă cu datele actuale (linia 4 din procedura *CheckAgentView*) cu ajutorul funcției *ChooseValue*. Acesta alege o valoare din domeniul lui *self* care nu a fost eliminată de valorile din *nogood* și verifică dacă este consistentă, în caz afirmativ returnând aceea valoare. În caz contrar, se elimină aceea valoare printr-un nou *nogood* (liniile 3-4 din *ChooseValue*). Se observă faptul că valorile *nogood* se referă doar la variabilele din $\Gamma(\text{self})$. Funcția *ChooseValue* are două posibilități, să returneze o valoare compatibilă, caz în care agentul *self* trimite un mesaj de informare a copiilor săi (liniile 5-7 din procedura *CheckAgentView*) sau să ajungă la un domeniu gol pentru agentul *self*, caz în care va semnala eșecul și va apela procedura *Backtrack()*. Această procedură mai întâi rezolvă valorile *nogood*, apoi actualizează datele locale și continuă căutarea unei valori compatibile. Acest comportament se remarcă și în figura 3.13 unde este prezentat fluxul de mesaje.

Trebuie remarcat faptul că în situația apariției unui eșec fără posibilitate de revenire și de căutare a altor valori, incoerența este dovedită și căutarea se poate opri (linia 3 din procedura *Backtrack*). Oprirea se face prin trimiterea mesajului *Stop(System)*, orice agent putând să trimită acest mesaj.

În nucleul din figura 3.12 se remarcă procedura *Backtrack()*, pentru că ea tratează problemele legate de situația de eșec. Conform principiilor de căutare asincronă această procedură este apelată în momentul în care un domeniu devine gol pentru un agent, agentul practic nu poate să facă o asociere pentru variabila sa. În primul rând procedura construiește un nou *nogood* pe baza informațiilor din contextul său. Dacă acest *nogood* este vid, algoritmul se încheie pentru că nu există soluție. În schimb, dacă noul *nogood* nu este vid se identifică agentul cu cea mai mică prioritate dintre agenții aflați în conflict. Noul *nogood* obținut este trimis la acel agent cu prioritatea cea mai mică (A_{inf}) pentru a-i elimina valoarea curentă. Agentul care a expediat mesajul *nogood* schimbă valoarea curentă a agentului A_{inf} și actualizează valorile *nogood*.

Algoritmul ABT kernel este la bază un algoritm ABT, respectând principiile căutării asincrone. Acest lucru se observă și din analiza fluxului de mesaje prezentat în figura 3.13. El se remarcă prin faptul că nu necesită adăugarea de noi legături între agenții neconectați (spre deosebire de ABT care necesită, în timpul rulării, adăugarea de noi legături). Nucleul ABT este corect dar există posibilitatea de a intra în blocaj. Acest lucru se datorează faptului că anumiți agenți pot stoca valori *nogood* ce conțin informații învechite despre agenții neconectați.

În [BM05] au fost propuse mai multe soluții de eliminare a informațiilor învechite dintre agenți, soluții prezentate în continuare.

O prima soluție prezentată în [BM05] de eliminare a informațiilor învechite este de a adăuga noi legături pentru a permite agentului ce a recepționat un mesaj *nogood* să decidă dacă este sau nu învechit. Aceste legături au fost propuse și în algoritmul ABT varianta Yokoo [YDIK98], [Yok00], [Yok01].

O a doua soluție din [BM05] constă în detectarea situației în care un anumit *nogood* este sau nu învechit. Practic, un *nogood* ipotetic învechit și toate valorile recepționate de la agenții cu care nu a fost conectat sunt uitate. Aceste două variante permit obținerea a patru tehnici derivate din nucleul ABT kernel :

- *Adăugarea de noi legături înainte de căutare, în faza de preprocesare.* Varianta aceasta este numită ABT_{all} . Algoritmul adaugă noi legături (care vor deveni permanente) în faza de preprocesare. Această tehnică este apropiată de varianta corectă DIBT.

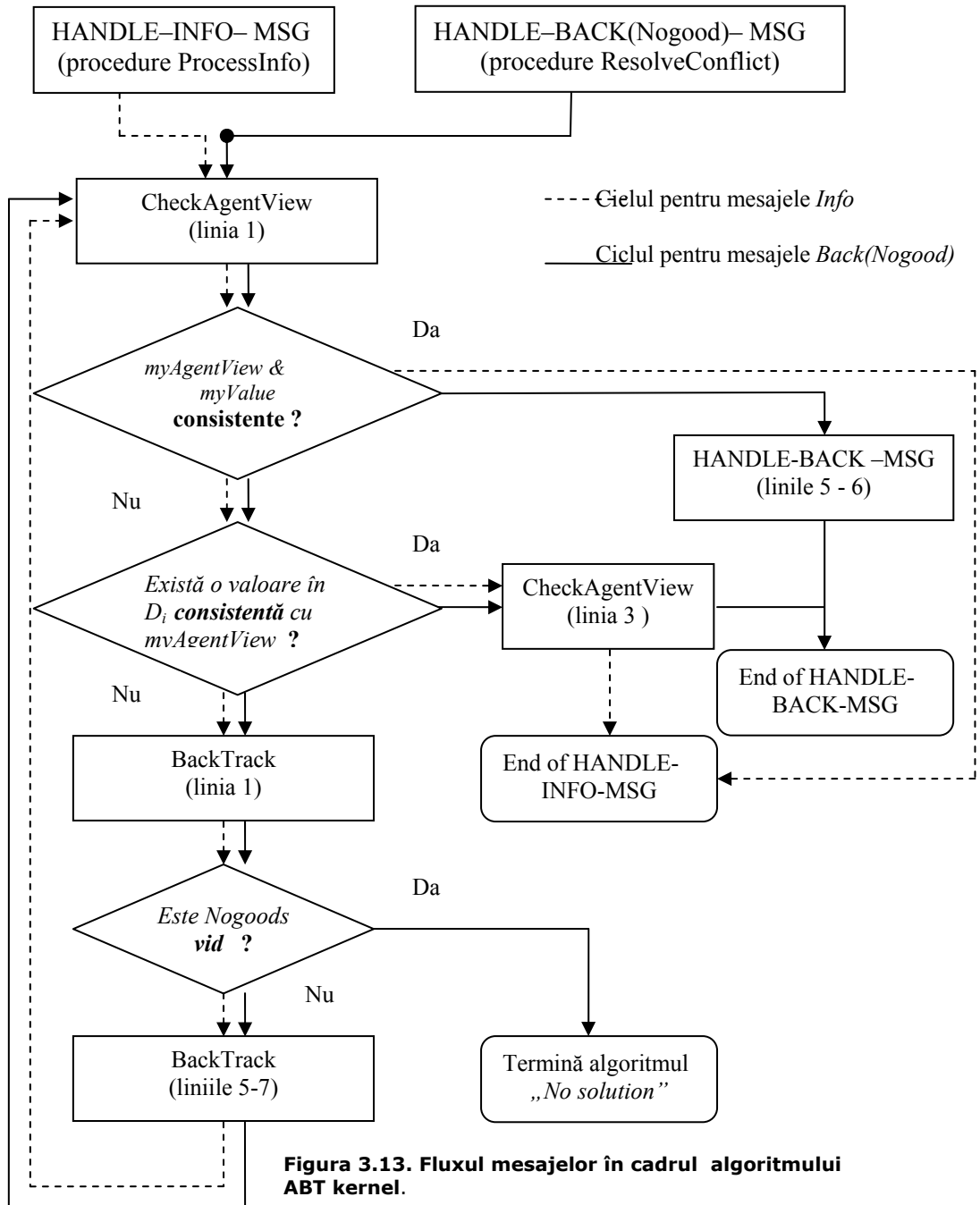


Figura 3.13. Fluxul mesajelor în cadrul algoritmului ABT kernel.

- Adăugarea de legături în timpul căutării prin care se obține varianta de bază ABT (Yokoo). Legăturile se adaugă în timpul căutării în momentul

recepționării unui mesaj nogood (Back) care conține informații relative la un agent neconectat, conform ordinii dintre agenți. Noile legături sunt permanente. .

- *Adăugarea de legături temporare în timpul căutării* prin care se obține varianta ABT_{temp} . Legăturile se adaugă ca și la varianta ABT Yokoo, în timpul căutării în momentul recepționării unui mesaj nogood (Back) care conține informații relative la un agent neconectat. Diferența este că aceste legături sunt temporare, ele rămânând până când un număr de mesaje între acei agenți sunt schimbate. Apoi, ele sunt anulate.
- *Eliminarea legăturilor* prin care se obține varianta ABT_{not} , variantă cunoscută sub numele de Distributed Dynamic Backtracking (DIBT). Această variantă nu necesită legături suplimentare. Practic, informațiile învechite sunt eliminate în timp finit. Pentru aceasta agenții care execută backtrack uită toate nogoodurile ce pot conține ipotetic valori învechite.

3.4. Concluzii.

Cadrul CSP este un cadru de lucru puternic pentru rezolvarea problemelor, în general. Foarte multe probleme se pot modela folosind cadrul CSP și în mod automat folosind și DCSP. Această modelare se aplică astăzi în aplicații ce variază de la proiectarea mașinilor la alocarea resurselor (în [Wall95] se găsesc descrise variate probleme ce se pot modela și rezolva în cadrul CSP și DCSP).

Cercetările din acești ultimi zece ani s-au concentrat, în primul rând, pe găsirea de metode de rezolvare pentru cadrul DCSP, plecând de la metodele similare existente în cadrul CSP. Foarte multe metode, bazate pe căutarea sistematică (backtracking și variante ale sale) au fost adaptate la cadrul DCSP. Adaptările au dus la algoritmi de o complexitate mult mai mare, algoritmi mult mai complicați decât cei similari CSP, datorită faptului că ei trebuie să se folosească de cadrul distribuit și concurrent, pentru a se obține un câștig în ce privește eficiența. Adaptările s-au bazat pe idei diferite, de exemplu de înregistrare a listei de valori care au condus la un eșec (varianta Yokoo) sau salturi în graful constrângerilor (varianta Hamadi), obținându-se mai multe variante de căutare. Drept exemplu stau cele trei metode de căutare asincronă, backtracking asincron (varianta Yokoo), căutarea asincronă cu agregate (Silaghi) sau backtracking distribuit (varianta Hamadi). S-a încercat îmbunătățirea acestor algoritmi, cum ar fi, de exemplu, varianta de asynchronous weak-commitment search, ce reprezintă o varianta mult mai bună de căutare asincronă.

Cea mai mare parte din acești algoritmi au fost demonstrați ca fiind algoritmi compleți, ce pot da un răspuns (afirmativ sau negativ) în ce privește existența soluției. De asemenea, ei au fost evaluați, unii comparativ, folosind diverse metode de simulare și mai puțin în medii de programare reale.

În acest capitol au fost prezentate principalele noțiuni teoretice care stau la baza studiilor din capitolele următoare [BM05], [YDIK98], [Yok00], [Yok01] . A fost prezentat modelul DCSP, urmat de principalele tehnici asincrone pentru care sunt propuse îmbunătățiri: tehnica „asynchronous backtracking”, tehnicile din familia ABT și tehnica „asynchronous weak-commitment search”. Pentru aceste tehnici au fost prezentate principalele rutine de tratare a mesajelor și comportamentul agenților în diverse situații. Majoritatea acestor tehnici se remarcă prin utilizarea mesajelor de tip nogood, ce anunță apariția unei inconsistențe. Plecând de la aceste informații, în

capitolele următoare se va încerca prezentarea unui model de implementare pentru aceste tehnici și identificarea unor posibile îmbunătățiri.

Comportamentul agenților în cazul recepționării mesajelor de tip nogood va fi analizat în capitolele următoare pentru a identifica modalități de îmbunătățire a performanțelor. Sunt studiate legăturile tempoare apărute cu scopul limitării fluxului de mesaje ce apare pe acestea. Apoi, se propun metode de înlocuire a stocării acestor valori nogood cu flaguri. Aceste metode permit în capitolele următoare îmbunătățirea performanțelor tehnicilor asincrone derivate din ABT.

4. PROBLEME ACTUALE ÎN ÎMBUNĂTĂȚIREA PERFORMANȚELOR TEHNICILOR DE CĂUTARE ASINCRONE

Complexitatea tehnicilor asincrone este o temă de studiu foarte importantă pentru cei care realizează cercetări în acest domeniu. Datorită comunicațiilor asincrone, modelul distribuit este unul non-determinist. Un program distribuit poate avea rulări diferite pentru același set de date, în funcție de programarea evenimentelor. Prin urmare, trebuie analizate foarte multe încercări, trebuie verificat cazul cel mai nefavorabil peste toate aceste posibile scheme.

Evaluarea performanțelor acestor tehnici necesită eforturi mari de programare și implementare. Studiul comportamentelor acestor tehnici, în diverse situații, implică multe implementări împreună cu foarte multe rulări. Implementările obișnuite în Java, prin RMI sau Corba, implică eforturi mari și ineficiență în studiul acestor tehnici.

În acest capitol sunt analizate condițiile actuale în care se face implementarea și evaluarea diverselor tehnici de căutare asincrone. Sunt identificate diverse defecte și dezavantaje ale tehnicilor de căutare asincrone, plecând de la situațiile reale ce pot apărea în practică.

Tehnicile de căutare asincrone în cazul aplicării la o problemă modelată DCSP, încearcă să execute o căutare cât mai asincronă astfel încât puterea de procesare a tuturor agenților să fie utilizată cât mai eficient. Ideal ar fi ca toți agenții să lucreze și nici unul să nu fie în așteptare. Din păcate, în cazul majorității tehnicilor (familia ABT sau AWCS) doar câțiva agenți lucrează, cea mai mare parte fiind în așteptare. Acest lucru este cauzat de mecanismul de lucru al acestor tehnici asincrone, mecanism prezentat în paragraful §3.3.2. Practic un agent își schimbă valorile variabilei sale doar când este forțat de alți agenți. Un agent, odată ce a găsit o asociere ce este consistentă cu agenții de ordine superioară, nu mai face nimic și așteaptă ca agenții de prioritate superioară să își schimbe valorile sau un nogood de la un agent de prioritate inferioară să fie recepționat. Această problemă va fi studiată în capitolele următoare.

Acest studiu este baza de plecare pentru identificarea unor soluții de îmbunătățire a performanțelor tehnicilor de căutare asincrone, îmbunătățiri propuse în partea a II-a și în partea a III-a a tezei de față.

4.1. Probleme de implementare și evaluare pentru tehnicile de căutare asincrone.

În acest paragraf sunt identificate diverse probleme, avantaje și dezavantaje referitoare la soluțiile de implementare și evaluare existente pentru tehnicile de căutare asincrone.

4.1.1. Implementarea tehnicilor de căutare asincrone.

Studiile existente în literatura CSP și DCSP se concentrează pe analiza din punct de vedere teoretic a diverselor metode de rezolvare (fie pentru cadrul CSP, fie pentru cadrul DCSP). Multe studii teoretice și experimentale au fost realizate și diverse platforme pentru modelul CSP au fost realizate (Ilog Solver, Chip, Choco, Gecode, etc). Aceste platforme au avantajul că utilizatori își concentrează efortul în modelarea problemelor reale și construirea de tehnici eficiente. Scrierea aplicațiilor distribuite în care se încadrează tehnicile de căutare asincrone specifice modelului DCSP este mult mai dificilă pentru că implică mult mai multe concepte față de cazul centralizat CSP. Este vorba de implementarea constrângerilor, programare concurentă și asincronă pentru agenți, structuri distribuite, etc. Pentru modelul DCSP singurele platforme de implementare și studiu existente sunt *Frodo* [Pet06], ce se referă doar la cazul tehnicilor de optimizare existente pentru modelul DCSP și *Mely* [Gal06].

Nu există foarte multe studii relative la modul în care se pot implementa aceste tehnici de căutare asincrone. Fiecare abordare teoretică necesită și evaluări experimentale pentru aceste variante de tehnici de căutare asincrone. Conform literaturii de specialitate, autorii folosesc medii de tip JAVA pentru implementarea pe un singur sistem de calcul al tehnicilor de căutare asincrone, dar fără a fi prezentat un model general de implementare și evaluare pentru aceste tehnici. Sunt folosite diverse moduri de simulare pentru agenți și pentru implementarea constrângerilor. Mai mult, fiecare dintre autorii tehnicilor asincrone s-au concentrat pe abordarea teoretică, furnizând demonstrații teoretice pentru completitudinea algoritmilor. Detaliile de implementare sunt mai puțin cunoscute, eventuale implementări practice necesitând eforturi mari de lucru.

Studiile comparative pentru mai multe tehnici de căutare asincrone sau pentru versiunile unei tehnici de căutare asincrone, presupun rularea în condiții identice, cum ar fi valori inițiale identice, graful constrângerilor identic, întârzieri fixe în furnizarea mesajelor, etc.

Plecând de la aceste observații, în capitolul următor este propus un model de implementare și evaluare aplicabil în NetLogo. Acest model, prin aplicarea unei metode de detecție a terminării, permite obținerea a două sisteme multi-agent ce permit implementări și evaluări simultane pentru tehnicile de căutare asincrone în aceleași condiții de rulare. De asemenea, în capitolul următor este prezentată și o metodologie de implementare pentru tehnicile de căutare asincrone, metodologie ce furnizează detaliile necesare implementării efective în NetLogo.

4.1.2. Evaluarea tehnicilor asincrone.

Având ca țintă evaluarea efortului depus de agenți și a timpului necesar obținerii soluției, studiile existente în literatura au pus în evidență diferite criterii particulare folosite de anumiți autori la evaluarea performanțelor tehnicilor DCSP. Este vorba de alegerea unor unități de măsură pentru evaluare și a unor probleme suport pentru implementarea tehnicilor de căutare asincrone.

În ceea ce privește unitățile de măsură, acestea trebuie să respecte câteva principii generale în evaluarea oricărei implementări distribuite sau paralele. În primul rând trebuie eliminate detaliile de implementare sau legate de mediul distribuit sub care se face rularea (sistem de operare și mediu de programare). Acest lucru este cât se poate de normal. În primul rând, se evită specificarea

limbajelor de programare și a mediilor de programare ce implementează acele limbaje, pentru că așa cum se cunoaște, fiecare limbaj are avantajele și dezavantajele sale legate de implementarea efectivă și influențează subiectiv evaluarea. În al doilea rând, arhitecturile distribuite existente influențează foarte mult eficiența tehnicilor.

Din analiza diverselor tehnici asincrone și a modului de evaluare folosit de autorii acestora, plecând de la lista din [Sil02] completată cu alți parametri, se remarcă utilizarea unei diversități de parametri, după cum urmează:

- **Numărul total de mesaje**, notat cu *TM*. Este o măsură a încărcării globale a rețelei. Este important de analizat pentru medii distribuite ce folosesc Internetul sau rețele Ethernet. Este folosit în [BMM01] la analiza eficienței algoritmului DisDB și la analiza algoritmului DIFC.
- **Numărul total de constrângeri**, notat cu *TC*. Este o măsură a timpului global consumat de agenții implicați. Dacă se utilizează protocoale între firele de execuție a unei aplicații ce rulează pe un sistem cu un singur procesor, această unitate de măsură este o bună evaluare a eficienței timpului. Este folosit la analiza algoritmului DIFC.
- **Numărul total de octeți transferați**, notat cu *TB*. Reprezintă o formă mai exactă a numărului total de mesaje.
- **Numărul total de valori nogood generate**, notat cu *TNG*. De asemenea, vom contoriza **numărul total de valori nogood stocate**, notat cu *TNGS*. Aceste unități sunt folosite în [HY00] și [Mus05] pentru a vedea eficiența algoritmilor asincroni din punct de vedere al eficienței mesajelor nogood.
- **Cea mai lungă secvență de mesaje**, notată cu *LSM*. Este o măsură pentru durata calculului (numită ceasul logic al lui Lamport, vezi [Lam78]). Oferă o bună estimare a eficienței agenților aflați la distanță. Este folosită în [Sil02] la evaluarea unei variante de ABT, pe care introduce consistența valorilor nogood.
- **Cea mai lungă secvență de constrângeri verificate**, notată cu *LSC*. Permite măsurarea complexității secvențiale a problemei. Pentru computerele paralele, LSC este o bună măsură a eficienței de timp a algoritmilor. Este folosită în [SHF00] la evaluarea algoritmului AAS.
- **Cea mai lungă secvență echivalentă de constrângeri verificate**, notată cu *LES*. Se bazează pe asocierea unui cost φ la fiecare mesaj, măsurat în constrângeri verificate (putem vedea măsura LSM ca un LES ce contorizează local constrângerile ca evenimente cu costul 1). În combinație cu LSM reprezintă o bună unitate de măsură a eficienței de timp. Este folosită în [SHF00] pentru evaluarea algoritmului **AAS**. Acolo sunt prezentate câteva posibile valori pentru φ .
- **Numărul de rotunjiri realizate de simulator**, notat cu *NSR*. Mulți algoritmi au fost evaluați folosind simulatoare. Astfel de simulatoare rotunjesc numărul de mesaje tratate. Parametrul NSR aproximează parametrul LSM.
- **Numărul de constrângeri verificate de simulator**, notat cu *NSC*. Este o aproximație a parametrului LSC.
- **Numărul de constrângeri echivalente verificate de simulator**, notat cu *NEsc*. Pentru algoritmi evaluați cu ajutorul unor simulatoare, se poate estima parametrul LES prin însumarea celei mai lungi mulțimi de constrângeri cu numărul de rotunjiri multiplicat cu φ (adică cu costul). Este folosit împreună cu NSR în evaluarea algoritmului ABT.

Există tentația de a compara complexitatea algoritmilor distribuiți cu complexitatea algoritmilor secvențiali. Când se fac astfel de comparații, timpul secvențial nu trebuie comparat cu timpul distribuit, eventual doar relativ la complexitatea mesajelor schimbate. Așa cum se știe, în cazul secvențial timpul este realmente măsurat ca fiind cantitatea totală de timp necesară rulării aceluia program, lucru datorat faptului că se contorizează efectiv instrucțiunile executate secvențial. În schimb, în modelarea distribuită rularea programului implică manipulări de mesaje (recepționarea lor, extragerea din cozile de mesaje și tratarea lor). Trebuie subliniat faptul că agenții specifici modelării DCSP, necesită transmiterea și recepționarea mesajelor. Cazul cel mai nefavorabil considerat pentru complexitatea de timp apare când toate mesajele sunt schimbate unul după altul și astfel complexitatea de timp este egală cu complexitatea mesajelor.

Un alt factor ce poate influența evaluarea tehnicilor asincrone este dat de tipurile de probleme folosite la evaluare. Fiecare problemă poate fi rezolvată cu o anumită eficiență de o anumită tehnică, în funcție de dificultatea problemei. Pentru modelarea CSP se foloseau anumite tipuri de probleme clasice: problema celor n regine, problema m -colorării unui graf sau problema satisfacerii formulelor propoziționale (SAT). De asemenea, s-au folosit și alte probleme cum ar fi problema frecvenței asocierilor, problema planificării lucrărilor, multe alte probleme de combinatorică. Aceste probleme au fost preluate și pentru analiza tehnicilor DCSP, dar în formularea distribuită în care fiecare variabilele au fost preluate de agenți. Pentru aceste probleme există câțiva parametri ce le definesc. Cei mai importanți sunt *dimensiunea problemei* și *densitatea grafului de constrângeri* asociat problemei DCSP.

Dintre aceste probleme, literatura DCSP utilizează câteva tipuri de probleme la evaluare:

- problema distribuită a celor n regine, caracterizată prin n =numărul de regine (densitate fixă pentru graful constrângerilor egală cu $n*(n-1)/2$).
- problema distribuită a m -colorării unui graf generat aleator, caracterizată prin n =numărul de noduri/agenți, $k=3$ culori și m -numărul de legături între noduri/agenți. În [MJPL92] sunt definite 2 tipuri de grafuri: grafuri cu puține legături (numite *sparse problems*, având $m=n \times 2$ legături) și grafuri cu un număr special de legături, cunoscute ca fiind probleme dificile (numite *dense problems*, având $m=n \times 2.7$ legături).
- problema numită „binary random problems”, caracterizată prin 4-tuple (n, m, p_1, p_2) unde :
 - n este *numărul de variabile*.
 - m este *dimensiunea domeniului variabilelor*.
 - p_1 este o porțiune din graful constrângerilor, generat aleator, p_1 este exprimat ca un procent din acest graf al constrângerilor, problema având $p_1 * n * (n - 1)/2$ constrângeri. p_1 se mai numește *densitatea grafului de constrângeri*.
 - p_2 este o porțiune din mulțimea maximală de perechi de valori ce sunt interzise, exprimată ca un procent din totalul de perechi de valori posibile a exista între toate variabilele, $p_2 * m*m$ perechi în conflict din cele maxim $m*m$ perechi. p_2 se mai numește *etanșeitarea constrângerilor*

Trebuie remarcat faptul că problema colorării unui graf este cea mai potrivită pentru evaluare, pentru că permite diferite densități pentru graful de constrângeri și are foarte multe aplicații directe în practica reală.

Prin urmare, o evaluare corectă presupune selectarea unei clase cât mai variate de probleme, cu cât mai multe dimensiuni, cu cât mai multe seturi de date alese aleator sau alegerea de seturi de date care să permită densității variate pentru graful constrângerilor.

Din nefericire, fiecare rulare asincronă a aceleiași probleme poate da diferite rezultate. Această problemă se rezolvă prin mai multe rulări ale aceleiași probleme, pentru același set de date, selectându-se media aritmetică \overline{M} și dispersia $\sigma(M)$ (M este valoarea totală obținută pentru un parametru de evaluare).

4.2. Redundanța mesajelor transmise.

Analiza cozilor de mesaje, arată existența unui număr mare de mesaje redundante. Aceste mesaje pot fi redundante sau învechite. Aceste mesaje încarcă inutil costurile obținerii soluției. În subparagrafele următoare sunt identificate mai multe tipuri de mesaje redundante, pentru care se vor încerca soluții de reducere sau eliminare în capitolul 6.

4.2.1. Mesaje învechite de tip nogood.

În majoritatea tehnicilor de căutare asincrone, orice mesaj de tip *nogood* sau *back* este trimis de un agent A_k copil la un agent părinte A_i pentru a anunța imposibilitatea selectării unei valori consistente pentru variabila avută în grijă. Recepționarea unui mesaj de tip *nogood* presupune verificarea consistenței acelei liste *nogood*. Conform definiției 3.1.8, lista *nogood* existentă în mesajul *nogood* este consistentă dacă conține aceleași valori cu valorile agentului A_i pentru agenții conectați cu el. În cazul majorității tehnicilor de căutare, agentul A_i acceptă mesajul *nogood* (tratându-l în mod corespunzător) doar dacă este consistent cu vederea sa.

Analiza consistenței mesajelor *nogood* recepționate este necesară deoarece, datorită întârzierilor existente în furnizarea mesajelor, contextul apariției listei *nogood* s-a schimbat pentru agentul A_i . Cu alte cuvinte, informațiile din mesajul *nogood* sunt învechite pentru agentul A_i . Conform definiției 3.1.9, mesajul învechit nu este consistent pentru agentul A_i , prin urmare el poate fi ignorat.

Analiza comportamentelor diverselor tehnici arată existența pentru tehnicile din familia ABT și pentru celelalte tehnici ce au la bază un comportament asemănător al unui număr foarte mare de mesaje învechite descoperite de fiecare agent. Majoritatea tehnicilor ce au la bază principiile căutării asincrone resping mesajele învechite și anunță agentul ce a transmis lista *nogood* printr-un alt mesaj *ok*. Acesta, la rândul lui, va reanaliza contextul său de lucru, fiind posibil să nu mai genereze un nou mesaj *nogood*. Acest comportament duce la un flux suplimentar de mesaje și mai ales la un efort local de calcul inutil.

4.2.2. Mesaje redundante de tip ok sau info.

Agenții folosesc canale de comunicație de tip FIFO pentru transmiterea și recepționarea mesajelor. Fluxul cel mai mare de mesaje transmise de agenți este cel de tip *ok* sau *info*.

Agenții, mai ales în cazul tehnicilor din familia ABT, au un flux de mesaje foarte mare cu anumiți agenți dintre agenții copii. Multe dintre acestea sunt mesaje inutile, ce încarcă costurile de obținere a soluției în mod inutil. Mai departe, sunt

prezentate mai multe definiții pentru identificarea mesajelor acestor mesaje inutile. În capitolul 6 sunt propuse mai multe soluții de eliminare a acestor mesaje inutile.

Definiția 4.2.1.- mesaj ok/info învechit. Un mesaj $ok(A_k, val_{k1})$ recepționat de un agent A_i este *învechit* relativ la vederea agentului A_i dacă mai există în coada de mesaje un alt mesaj $ok(A_k, val_{k2})$, recepționat mai târziu. Cu alte cuvinte mesajul $ok(A_k, val_{k1})$ a fost recepționat înaintea mesajului $ok(A_k, val_{k2})$.

Definiția 4.2.2.- mesaj ok/info redundant. Un mesaj $ok(A_k, val_{k1})$ recepționat de un agent A_i este *redundant* relativ la vederea agentului A_i dacă mai există în coada de mesaje un alt mesaj $ok(A_k, val_{k2})$, recepționat ultima dată de la agentul A_k , unde $val_{k1} = val_{k2}$. Cu alte cuvinte, mesajul $ok(A_k, val_{k1})$ conține aceeași valoare cu cel mai recent mesaj recepționat de la agentul A_k .

Aceste două tipuri de mesaje (învechite și redundante) pot fi ignorate. Un agent A_i transmite mesajul *ok* la agenții copil. Este posibil, la un moment dat, ca un agent A_k să aibă în coada sa de mesaje mai multe mesaje de tip *ok* recepționate în diverse etape. Tratarea secvențială sau în pachete a acestor mesaje și întârzierile datorate efortului local de tratare a mesajelor nu permit tratarea completă a acestor mesaje. Mai mult, la un moment dat pot să existe în coada de mesaje două sau mai multe *ok* de la același agent. Dintre acestea, ultimul mesaj recepționat este cel consistent relativ la contextul de lucru, celelalte mesaje fiind fie învechite fie redundante. Fără discuție, acele mesaje ar trebui ignorate și netratate. Totuși, datorită modului de tratare a cozilor de mesaje, ultimul mesaj recepționat este ultimul tratat, mai întâi fiind tratate cele vechi.

Analiza cozilor de mesaje în cazul tehnicilor din familia AWCS arată existența mesajelor învechite și redundante. În [Yok01] se precizează că în cazul tehnicii AWCS agenții citesc toate mesajele existente în cozile de mesaje. Totuși, acolo nu se prezintă nici o modalitate de tratare, adică un protocol care să definească ordinea în care mesajele sunt tratate. Un astfel de protocol trebuie să precizeze modul de tratare a mesajelor, ordinea lor, momentul și modul de apel pentru rutina de verificare a contextului de lucru, check-agent-view.

În ceea ce privește tehnicile din familia ABT, există două studii recente ce oferă o soluție de management. Astfel, în [BM04] și [JV05] sunt prezentate variante pentru tehnica ABT în care agenții citesc toate mesajele existente în cozile de mesaje și apoi le tratează. Studiile din [BM04] și [JV05] prezintă pentru prima dată o strategie de tratare a mesajelor, strategie care precizează ordinea și modul de tratare a mesajelor pe baza unui protocol, dar pentru familia ABT. Aplicarea acestor strategii duce la reducerea costurilor de obținere a soluțiilor. Analiza acestei strategii este făcută în capitolul 6, folosind cele două sisteme de implementare propuse.

4.3. Explozia valorilor nogood pentru tehnicile asincrone.

Tehnicile existente pentru modelarea DCSP se bazează pe căutarea soluției în rețeaua de constrângeri ce se formează. Acestea sunt tehnici de căutare asincrone, cea mai mare parte complete, ce permit rezolvarea unei probleme modelate DCSP. Ele se remarcă prin diversitatea ideilor aplicate pentru ca agenții să poată lucra asincron și concurrent, asigurându-se o anumită eficiență.

Tehnicile de căutare asincrone se caracterizează prin apariția valorilor „nogood” în timpul căutării soluției. Aceste tehnici se bazează pe trimiterea de mesaje nogood între agenți pentru a executa un backtracking inteligent și a asigura

completitudinea. Tehnica ABT necesită un spațiu a cărui complexitate pentru fiecare agent este exponențială [YDIK98]. Complexitatea exponențială a algoritmului, în cazul nefavorabil, este determinată în primul rând de numărul înregistrărilor de mesaje *nogood*. Tehnica asynchronous backtracking se caracterizează printr-o explozie a valorilor *nogood* pentru probleme cu dimensiuni mari. Stocarea valorilor *nogood*, necesară în cadrul tehnicii asynchronous backtracking, necesită o cantitate mare de spațiu.

De asemenea, și tehnicile din cadrul familie ABT se bazează pe trimiterea de mesaje de tip *nogood* (numite mesaje back) între agenți (conform ordinii dintre agenți), dar suferă de o explozie a valorilor de tip *nogood*. Ca o consecință, timpul de calcul și cerințele pentru resursele hardware cresc mult mai repede decât dimensiunea problemei. Cu siguranță, în aplicațiile practice în care se folosesc medii de comunicații lente, cum ar fi Internet-ul, tehnica devine total ineficientă datorită numărului mare de valori *nogood* dezvoltate și necesității comunicării acestora în timpul căutării. Stocarea acestor valori *nogood* va necesita un spațiu de memorie foarte mare, implicând și un efort de căutare mult mai mare.

Apariția valorilor *nogood* are ca efect introducerea unor noi constrângeri derivate din cele vechi. Deși lista *nogood* indică cauza eșecului și incorporarea ei ca o nouă constrângere va învăța agenții să nu mai repete aceeași greșeală, este de dorit ca în timpul derulării algoritmului, să nu apară astfel de situații sau ele să fie cât mai puține, pentru că ele au ca efect mărirea timpului de execuție al algoritmului (datorită faptului că noi mesaje sunt transmise, noi constrângeri sunt evaluate).

Recent, o tehnică derivată, numită asynchronous backtracking cu flaguri, permite reducerea exploziei valorilor *nogood* pentru tehnica asynchronous backtracking. Această tehnică este propusă în [GWW03] unde se investighează eficiența și cantitatea de valori *nogood* folosind problema celor n regine, varianta distribuită. Totuși, din literatura de specialitate se cunoaște că această problemă nu este potrivită și suficientă pentru a putea face comparații asupra performanțelor unei tehnici asincrone [MJPL92]. Se recomandă folosirea problemei colorării grafurilor, varianta distribuită, problemă ce permite diverse densități pentru graful de constrângeri (spre deosebire de problema celor n regine care acceptă o densitate fixă). În literatura de specialitate nu apar referințe despre studii care să investigheze eficiența acestei tehnici, comparativ cu tehnica de bază, în aceste condiții.

Tehnicile din familia ABT se caracterizează printr-o explozie a valorilor *nogood*, mai ales pentru probleme de dimensiune mare. O altă caracteristică specifică tehnicilor asincrone din familia ABT este aceea că este necesară stocarea valorilor *nogood* pentru ca agenții să nu mai repete aceeași greșeală. Acest lucru conduce la o cantitate de memorie foarte mare necesară stocării acestor valori *nogood*, mai ales pentru probleme cu dimensiune mare.

Complexitatea de stocare se referă la cantitatea de memorie utilizată de un algoritm, contorizată cu diferite unități de măsură. Această unitate de măsură este foarte importantă în analiza anumitor tehnici de căutare, mare parte dintre tehnicile asincrone existente suferind de o explozie a valorilor *nogood*. Este posibil ca aceste costuri legate de cantitatea de memorie folosită să facă inutilizabilă o anumită tehnică, chiar dacă din punct de vedere al calculelor este foarte eficientă.

4.4 Încechirea informațiilor stocate de agenți.

4.4.1. Agenți neconectați.

Agenții comunică mesajele la agenții cu care sunt conectați inițial. Conform ordinii dintre agenți, o parte dintre agenți sunt agenți evaluatori (agenți copii), iar o parte sunt agenți părinți ce trimit mesajele de tip ok. Aceste conexiuni permit construirea unui graf al constrângerilor, graf folosit ca și suport în transmiterea mesajelor.

Mesajele de tip ok informează agenții despre schimbarea valorilor, permițându-le să ia decizii corecte. Totuși, în cazul a doi agenți ce nu sunt inițial conectați, deciziile unuia pot avea efecte asupra contextului de lucru pentru cel de-al doilea. În mod tipic, dacă un agent nu reusește să găsească nici o valoare consistentă, el transmite un mesaj nogood la cel mai apropiat agent aflat înaintea lui în ordinea de prioritate, dintre părinți. Un astfel de mesaj poate conține vederea sa *agent_view* sau o submulțime a acesteia ce conține doar valorile agenților cu care intră în conflict. Mesajul nogood este recepționat de un alt agent, ce nu are aceiași agenți vecini. În mesajul nogood el va găsi valorile unor agenți cu care nu este conectat. Stocarea acelor valori în lista sa *agent_view* nu este suficientă, pentru că acele valori nu vor putea fi actualizate corespunzător datorită inexistenței unor canale de comunicație cu acei agenți. Acest lucru conduce la încechirea informațiilor stocate de agenți.

Efectul stocării unor informații încechite apare la respingerea unor valori nogood ca fiind încechite datorită faptului că un agent a stocat informații vechi despre agenții neconectați. În [YDIK92] se propune pentru prima dată o soluție de adăugare a unor conexiuni suplimentare cu agenții ce apar în mesajele nogood recepționate de un agent. Aceste legături spre noi agenți vor fi folosite pentru transmiterea de mesaje ok de informare a schimbărilor în valorile atașate agenților. Acest lucru permite obținerea unui algoritm complet. În [HBQ98] este propusă o soluție de eliminare a acestor legături, prin fixarea unor legături suplimentare între părinți, dar în faza de preprocesare. Din păcate, în [Yok00] și [BMM01] se arată că acest lucru duce la necompleteținea algoritmului obținut.

4.4.2. Apariția legăturilor temporare în timpul căutării soluției.

În [BM05] este propus un cadru unificator, un nucleu de plecare pentru câteva dintre cele mai importante și cunoscute tehnici asincrone. Acest ABTkernel nu necesită adăugarea de legături suplimentare cu agenții prezentați anterior. În [BM05] se arată că inexistența acelor legături duce la încechirea informațiilor stocate de un anume agent. Acest lucru are ca efect necompleteținea nucleului ABT. Autorii propun mai multe soluții de eliminare a informațiilor încechite dintre agenți. O primă soluție prezentată în [BM05] de eliminare a informațiilor încechite este de a adăuga noi legături pentru a permite agentului ce a recepționat un mesaj nogood să decidă dacă este sau nu încechit. Aceste legături au fost propuse în tehnica ABT, varianta Yokoo [YDIK92], [YDIK98].

Legăturile care se adaugă în timpul rulării pot deveni permanente sau temporare. Aceste două tipuri de legături permit obținerea a două tehnici derivate din nucleul ABT kernel:

- Adăugarea de legături în timpul căutării prin care se obține varianta ABT de bază (Yokoo). Legăturile se adaugă în timpul căutării în momentul

recepționării unui mesaj nogood (Back) care conține informații relative la un agent neconectat, conform ordinii dintre agenți. Noile legături sunt permanente.

- Adăugarea de legături temporare în timpul căutării prin care se obține varianta ABT_{temp} . Legăturile se adaugă ca și la varianta ABT Yokoo, în timpul căutării în momentul recepționării unui mesaj nogood (Back) care conține informații relative la un agent neconectat. Legăturile adăugate nu sunt permanente, ele sunt păstrate pentru ca agenții să schimbe un număr suficient de mesaje, pentru a elimina informațiile învechite. După transmiterea aceluși număr variabil de mesaje, legăturile sunt anulate.

A doua soluție (numită ABT_{temp}) constă în a păstra temporar acele legături între agenții care nu pot determina dacă o informație este sau nu învechită [BM05]. Practic, se vor păstra temporar acele legături între agenții care nu pot determina dacă o informație este sau nu învechită [BM05].

În literatura de specialitate nu apar referințe despre studii care să determine o valoare optimă pentru acel număr de mesaje. În [BM05] se analizează rezultatele versiunii ABT_{temp} pentru $k=10$, valoare dedusă din aproape în aproape pentru cazul particular al problemei cu 16 agenți folosită la evaluare. Problema determinării unei valori optime pentru numărul de mesaje rămâne deschisă.

4.5. Utilizarea completă a informațiilor din valorile nogood.

4.5.1. Stocarea valorilor nogood.

O caracteristică a tehnicilor de căutare asincronă se referă la modul de operare cu valorile de tip nogood, care sunt combinații de valori inconsistente. Este vorba despre modul în care se construiesc aceste valori, despre metodele pe care le pun în aplicare pentru detectarea valorilor nogood și modul în care se stochează aceste combinații de valori.

În cadrul modelării DCSP, algoritmul asynchronous weak-commitment search (AWCS) joacă un rol fundamental și de pionierat între algoritmi de căutare asincronă. Algoritmul se remarcă atât prin faptul că suferă de o explozie a valorilor nogood, cât și prin schimbarea dinamică a ordinii agenților, fiind publicat de Yokoo în [YDIK98]. Algoritmul este considerat un algoritm eficient în ce privește numărul de cicluri, eficiență obținută prin schimbarea dinamică a ordinii agenților. Există mai multe studii având ca scop îmbunătățirea eficienței acestei tehnici, studii ce se concentrează pe minimizarea și selecția valorilor nogood [HY00], [Yok01].

Constrângerile restricționează intern sau extern comportamentul unui agent. Astfel, studiarea constrângerilor poate oferi modalități de creștere a eficienței algoritmilor existenți în cadrul DCSP. Apariția valorilor nogood are ca efect introducerea unor noi constrângeri. Valorile nogood indică cauza eșecului și încorporarea lor ca o nouă constrângere va învăța agenții să nu mai repete aceeași greșeală [YDIK98], [SHF00a], [BMM01].

În [AD97], Armstrong construiește o nouă tehnică asincronă în care rezolvarea problemei este divizată în epoci. Există un agent central care este responsabil pentru pornirea procesului de căutare și un procesor de nogood-uri ce păstrează informații despre nogoodurile apărute. Când un nogood este descoperit, agentul va trimite acea valoare unui nogood processor, care o va salva în lista de valori nogood apărute. Mai târziu când un agent încearcă să atribuie o valoare la

propria sa variabilă, se consultă procesorul de nogooduri pentru a fi siguri ca aceea combinație de valori nu conduce la un nogood.

Tot în [AD97] se arată că aplicarea tehnicii nogood processor aduce beneficii în ceea ce privește reducerea costurilor. În literatură nu apar referințe despre aplicarea acestei tehnici și la alte tehnici de căutare asincrone, având ca țintă reducerea costurilor. Este interesant de văzut dacă această tehnică poate duce la îmbunătățirea performanțelor anumitor tehnici. De asemenea, este interesant de analizat comportamentul tehnicii nogood processor în situația filtrării mesajelor, respectiv în cazul apariției de întârzieri în furnizarea mesajelor.

Nerestricționarea înregistrării valorilor nogood poate deveni în anumite cazuri impracticabilă. Motivul principal este acela că stocarea valorilor nogood consumă excesiv memorie și poate conduce la epuizarea memoriei disponibile. În mod tipic, numărul de valori nogood crește cu numărul de conflicte: în cel mai rău caz această creștere poate fi exponențială în numărul de variabile.

Un alt efect neplăcut al stocării unui număr mare de valori nogood este legat de faptul că verificarea asocierilor curente în lista de valori nogood stocate devine foarte costisitoare, efortul de căutare anulând beneficiile aduse de stocarea valorilor nogood. Aceste probleme sunt probleme deschise ce trebuie analizate pentru a vedea dacă această tehnică nogood processor aduce beneficii asupra eficienței.

4.5.2. Construirea unor valori nogood eficiente

În [HY00], Hirayama și Yokoo introduc termenul de *nogood learning* sau *learning*, termen ce se referă la construirea valorilor nogood. În [HY00], se prezintă și analizează o schemă numită "resolvent-based learning", care, aplicată algoritmului AWCS aduce rezultate foarte bune în ceea ce privește numărul de cicluri necesari pentru a rezolva problema. Tehnica se bazează pe construirea unui nou nogood eficient, doar prin verificarea câtorva valori nogood.

Modelarea CSP oferă mai multe tehnici de rezolvare având la bază căutarea. Aceste tehnici pot fi îmbunătățite prin aplicarea tehnicilor loop-back. Aceste tehnici loop-back se bazează pe folosirea informațiilor despre căutarea realizată. Există mai multe tehnici loop-back, cunoscute din literatura de specialitate, prezentate în [FD94], [Gin93], [RR98], [BM96], [Dec90].

Tehnica nogood learning, introdusă în [HY00], este o nouă metodă de învățare pentru valorile nogood, ce se poate aplica la tehnicile DCSP, metodă bazată pe adaptarea tehnicilor loop-back prezentate în [FD94], [Gin93], [RR98], la cadrul DCSP. Ideea de bază este aceea că pentru fiecare posibilă valoare pentru variabila eșec, se selectează un nogood care interzice acea valoare și apoi se construiește un nou nogood în afara celui obținut prin unirea nogood-urilor selectate. Autorii acestei metode compară acest nou nogood ca fiind asemănător cu noțiunea de resolvent din logica propozițională, de aici și denumirea acestei metode *resolvent bazat pe învățare*.

Conform literaturii de specialitate nu există nici un studiu care să combine cele două metode prezentate aici: folosirea informațiilor din nogoodurile stocate cu construirea unor nogooduri eficiente. Acest lucru va fi studiat în această teză, pentru a utiliza complet informațiile din valorile nogood.

4.6. Concluzii

Analiza din acest capitol a identificat câteva probleme deschise existente la tehnicile de căutare asincrone. Au fost identificate diverse defecte și dezavantaje ale tehnicilor de căutare asincrone, plecând de la situațiile reale ce pot apărea în practică.

Tehnicile de căutare asincrone se caracterizează prin apariția valorilor „nogood” în timpul căutării soluției. Tehnica asynchronous backtracking se caracterizează printr-o explozie a valorilor nogood pentru probleme cu dimensiuni mari. Stocarea valorilor nogood, necesară în cadrul tehnicii asynchronous backtracking, necesită o cantitate mare de spațiu. De asemenea, și tehnicile din cadrul familiei ABT se bazează pe trimiterea de mesaje de tip nogood între agenți, dar suferă de o explozie a valorilor de tip nogood. Ca o consecință, timpul de calcul și cerințele pentru resursele hardware cresc mult mai repede decât dimensiunea problemei. Cu siguranță, în aplicațiile practice în care se folosesc medii de comunicații lente, cum ar fi Internet-ul, tehnica devine total ineficientă datorită numărului mare de valori nogood dezvoltate și necesității comunicării acestora în timpul căutării.

Analiza cozilor de mesaje pentru implementările tehnicilor de căutare asincrone, arată existența unui număr mare de mesaje redundante sau învechite. Aceste mesaje încarcă inutil costurile obținerii soluției. Ele apar din cauza întârzierilor în furnizarea mesajelor către agenți.

Tehnicile derivate din tehnica ABT necesită adăugarea de legături pentru eliminarea informațiilor învechite dintre agenți. Aceste noi legături permit unui agent ce a recepționat un mesaj nogood să decidă dacă este sau nu învechit. Totuși, aceste legături suplimentare vor duce la creșterea fluxului de mesaje, multe dintre acestea fiind inutile. Prin urmare, limitarea fluxului de mesaje pentru legăturile temporare, adăugate în timpul căutării, este o problemă deschisă pentru tehnicile din familia ABT.

Tehnicile din familia AWCS necesită stocarea valorilor nogood pentru a asigura completitudinea algoritmului. Nerestricționarea înregistrării valorilor nogood poate deveni în anumite cazuri impracticabilă. Motivul principal este acela că stocarea valorilor nogood consumă excesiv memorie și poate conduce la epuizarea memoriei disponibile. Această problemă trebuie analizată pentru a vedea dacă informațiile din valorile nogood trebuie stocate și dacă se pot utiliza eficient aceste informații, fie pentru căutarea de noi valori, fie pentru construirea unor noi valori nogood eficiente.

SECȚIUNEA II.

CONTRIBUȚII LA IMPLEMENTAREA ȘI EVALUAREA TEHNICILOR DE CĂUTARE ASINCRONE

Capitolele secțiunii de față conțin contribuții aduse în domeniul implementării tehnicilor de căutare asincrone. Secțiunea prezintă două modele de implementare și evaluare pentru tehnicile de căutare asincrone în NetLogo. Cele două modele sunt utilizate ca suport în studiul comportamentului agenților și identificarea unor îmbunătățiri în secțiunile următoare.

În capitolul 5 este analizat mediul NetLogo cu scopul construirii unui model general de implementare și evaluare pentru tehnicile asincrone astfel încât să se poată utiliza mediul NetLogo ca un simulator de bază în studiul tehnicilor asincrone. În acest capitol sunt propuse cele două modele de implementare și evaluare pentru tehnicile asincrone, împreună cu arhitecturile celor două sisteme distribuite obținute.

În capitolul 6 este prezentat un studiu comparativ pentru cele mai importante tehnici asincrone, studiu experimental bazat pe implementarea și evaluarea tehnicilor de căutare asincrone folosind cele două modele prezentate anterior. Scopul principal al acestui studiu este de a studia comportamentul agenților în cele două situații de implementare: cu sincronizarea execuției agenților și execuție asincronă. Sunt propuse mai multe soluții de îmbunătățire a performanțelor pe baza studiului comparativ.

5. MODEL DE IMPLEMENTARE ȘI EVALUARE PENTRU TEHNICILE DE CĂUTARE ASINCRONE.

În cadrul acestui capitol se propune un model general de implementare și evaluare pentru tehnicile de căutare asincrone. Acest model general permite utilizarea mediului NetLogo ca un simulator de bază pentru studiul tehnicilor asincrone. Pe baza acestui model de implementare a tehnicilor de căutare asincrone se poate studia comportamentul agenților în diverse situații, cum ar fi: ordinea de prioritate a agenților, sincronizarea execuției agenților, valori inițiale diferite pentru variabilele asociate agenților, apariția de întârzieri în furnizarea mesajelor etc. În felul acesta se pot identifica posibile îmbunătățiri pentru performanțele tehnicilor asincrone, îmbunătățiri identificate și prezentate în capitolele următoare.

Tehnicile asincrone de căutare, existente pentru modelarea DCSP, se încadrează în categoria aplicațiilor distribuite. Agenții pot fi procese existente pe un singur sistem de calcul sau pe mai multe sisteme de calcul existente într-o rețea de calculatoare. Implementarea oricărei tehnici de căutare asincrone presupune implementarea agenților și a constrângerilor existente, implementarea legăturilor dintre agenți și a canalelor de comunicație dintre aceștia, practic implementarea procesului de execuție a agenților.

În acest capitol se încearcă identificarea modului în care se pot simula agenții, cum se pot implementa constrângerile, cum se pot simula canalele de mesaje, cum se pot contoriza diversele unități de măsură a performanțelor tehnicilor asincrone. Pentru aceasta este prezentată o soluție de modelare și implementare a procesului de execuție a agenților existenți în cazul tehnicilor de căutare asincrone. Plecând de la modelul de implementare și evaluare propus, în acest capitol se prezintă două metode de detecție a terminării tehnicilor de căutare asincrone, metode care conduc la obținerea a două sisteme multi-agent utilizabile la implementarea și evaluarea tehnicilor asincrone.

Din păcate, nu există un mediu distribuit dedicat modelărilor cu constrângeri distribuite, toate mediile existente sunt medii generale, implementarea agenților și a constrângerilor implicând un anumit efort de calcul, mai mare sau mai mic în funcție de performanțele aceluia mediu.

Capitolul începe cu prezentarea mediului NetLogo, a principalelor obiecte NetLogo ce vor fi utilizate drept suport la implementarea și evaluarea tehnicilor de căutare asincrone. Apoi, este prezentat modelul de implementare a procesului de execuție a agenților și modul în care se poate face evaluarea tehnicilor asincrone. Pentru acest model sunt propuse două metode de detecție a terminării algoritmilor obținându-se două sisteme multi-agent. Pentru cele două sisteme multi-agent sunt propuse două arhitecturi de implementare, arhitecturi utilizate la implementarea și evaluarea versiunilor tehnicilor de căutare asincrone prezentate în capitolele următoare, în anumite condiții experimentale. În final, este prezentată o metodologie de implementare a tehnicilor de căutare asincrone, pe baza modelului propus.

5.1. Mediul NetLogo.

NetLogo este un mediu de modelare programabil ce poate fi folosit pentru simularea unor fenomene naturale sau sociale realizat de Uri Wilensky la Northwestern University (SUA), [Wil99]. În particular, mediul oferă o suită de sisteme complexe de modelare dezvoltate în timp. Modelele utilizează sute de agenți independenți, toți agenții putând opera în paralel.

Netlogo reprezintă următoarea generație de limbaje dintr-o serie de limbaje de modelare cu agenți, ce a început cu *StarLogo*. *NetLogo* este un mediu scris integral în Java, astfel el poate fi instalat și rulat pe cele mai importante platforme (Mac, Windows, Linux), fiind necesară doar instalarea mașinii virtuale Java.

Mediul *NetLogo* conține o bibliotecă de modele de simulare predefinite ce pot fi utilizate și modificate. Aceste modele predefinite acoperă o arie variată din natură sau științe sociale, incluzând biologie și medicină, fizică și chimie, matematică și știința calculatoarelor, economie și psihologie socială [Wil99].

Dintre trăsăturile sale se menționează:

- Sistem:
 - Rulează pe platforme diverse MacOs, Windows, Linux etc.
 - Modelele pot fi salvate și rulate ca și appleturi Java în paginile WEB.
- Limbaj:
 - Limbaj programabil complet.
 - Este o extensie a unui limbaj structurat (Logo) cu suport pentru agenți și programare paralelă.
 - Număr nelimitat de agenți și variabile.
- Mediu de programare:
 - Suport grafic de afișare pentru obiectele *NetLogo*.
 - O interfață grafică ce oferă un constructor grafic pentru aplicații, ce conține o colecție de controale grafice.
 - Un sistem de plotare puternic.
 - Un sistem *HubNet* ce poate fi folosit într-o rețea de calculatoare pentru simulări.
 - Un monitor pentru agenți ce se poate folosi pentru inspectarea și controlul agenților.
 - O colecție de instrumente (numită *BehaviorSpace*) ce se poate utiliza pentru colectarea datelor din multiple rulări ale unui model. Este o unealtă foarte utilă pentru experimente.
 - Funcții de export și import (export de date în anumite formate, salvarea și restaurarea stărilor unui model).

NetLogo este o extensie importantă a limbajului tradițional *Logo*. În primul rând, permite un număr nelimitat de obiecte de tip *turtle*. Pe de altă parte, este o extensie a simulatorului *StarLogo*, dezvoltat la MIT, prin introducerea unor facilități de calcul paralel. În al doilea rând, obiectele de tip *turtles* sunt echipate cu senzori ce permit sesizarea comportamentului fiecărui obiect de tip *turtles* (aceste obiecte pot fi folosite pentru simularea fiecărui agent). Se pot defini reguli de comportament pentru obiectele de tip *turtles* astfel încât să sesizeze interacțiunea agenților cu mediul.

5. 2. Obiectele NetLogo. Programarea distribuită în NetLogo.

“Lumea” NetLogo este alcătuită din agenți. Fiecare agent poate duce la bun sfârșit o anumită activitate, toți agenții rulând simultan și concurent.

Limbajul NetLogo pune la dispoziție trei tipuri de agenți: *turtles*, *patches* și *observatorul*. Obiectele de tip *turtle* sunt agenți ce se pot deplasa în lumea NetLogo. Lumea NetLogo este bidimensională și este împărțită într-un grid de *patch*-uri. Fiecare *patch* este o piesă pătrată ce reprezintă suportul peste care obiectele de tip *turtle* se pot deplasa. *Observatorul* nu are o locație fixă, el poate fi imaginat ca aflându-se deasupra lumii de obiecte *turtles* și *patches*. Observatorul este un agent sistem ce poate iniția diverse operații pentru ceilalți agenți. La lansarea mediului agenții tip *turtle* nu există, aceștia pot fi creați de către observator. De asemenea, fiecare obiect de tip *patch* poate crea noi obiecte de tip *turtles*.

NetLogo utilizează comenzi și raportori pentru a comunica agenților ce să facă (comenzile și raportorii sunt primitive NetLogo). Comenzile sunt acțiuni pentru agenți. În schimb, raportorii returnează anumite valori. Comenzile și raportorii se pot grupa în proceduri utilizator (se folosește construcția *to numeprocedură*). Există o comandă specială (numită *ask*) care permite să se specifice agenților de tip *turtle* și *patch* ce comenzi să execute. În figura 5.1 se prezintă un exemplu de lucru cu comanda *ask*.

```
To setup
  ca      ;; se curata ecranul
  crt 10  ;; se creează 10 noi turtles
end

to go
  ask turtles
  [ fd 1    ;; toate obiectele de tip turtles se mută cu un pas
    rt random 10  ;; ...și se rotesc aleator
    lt random 10 ]
end
```

Figura 5.1. Crearea și execuția calculului agenților prin intermediul comenzii ask

O mulțime de agenți se poate grupa într-un *agentset*. Un *agentset* poate conține oricare din obiectele de tip *turtles* sau *patches*, dar nu ambele. Conceptul de mulțime de agenți a fost introdus pentru a putea aplica comenzi sau proprietăți.

NetLogo permite definirea de diferite “tipuri” de *turtles*, numite *breeds*. Odată ce a fost definit un *breed*, se poate fixa un comportament diferit pentru acesta. Aceste obiecte sunt folosite pentru a simula diversele obiecte existente în problemele DCSP. De exemplu, agenții din problema celor *n*-regine pot fi definiți cu ajutorul obiectelor de tip *breed* (o construcție de tipul *breeds [queens]*). Acest lucru permite fixarea unui comportament special pentru fiecare agent-regină. Când se definesc obiecte de tipul *breed*, în mod automat se creează un *agentset* pentru fiecare *breed*. Pentru a implementa agenții din algoritmul ABT, pentru problema distribuită a celor *n*-regine, se poate folosi o construcție de tipul *breeds [queens]*. Secvența NetLogo corespunzătoare este prezentată în figura 5.2.

Există o colecție de controale grafice (limitate ca număr) ce permit realizarea unei interfețe pentru aplicația DCSP. Dintre controalele grafice existente, se menționează butoanele de comandă ce furnizează cel mai simplu mod de a controla un model. În mod tipic, orice model are cel puțin un buton de tip "setup", buton ce permite inițializarea aplicației, și un buton "go" folosit pentru startarea aplicației. La aceste butoane sunt atașate proceduri de calcul specifice NetLogo care conțin comenzi și apeluri de raportori.

```
breeds [queens]
globals [no-more-messages tmp]
queens-own [message-queue col current-view nogoods messages-
received_ok messages-received_nogood]
;rows și cols primesc valori între [0..num-queens-1]
```

Figura 5.2. Crearea agenților DCSP prin intermediul obiectelor de tip breeds

O problemă foarte importantă este legată de modul de execuție al procedurilor atașate unui agent, agent simulat folosind obiecte de tip *breed*. Aplicațiile DCSP necesită execuția simultană și asincronă a codului atașat fiecărui agent. Acest lucru este posibil în NetLogo pentru că comenzile sunt executate asincron, fiecare obiect de tip "turtle" sau "patches" execută lista sa de comenzi cât poate de repede. Există două moduri de execuție a comenzilor fiecărui agent. Primul mod constă în "alinieră" comenzilor executate de fiecare turtle, prin depunerea lor în blocul unei comenzi *ask*. În acest mod, pașii executați nu vor fi sincronizați. Un astfel de exemplu de cod NetLogo este prezentat în figura 5.3

```
ask turtles
[ fd random 10
  do-calculation
]
```

Figura 5.3. Alinierea comenzilor executate de agenți.

În figura 5.3. obiectele de tip turtle își vor începe execuția comenzii *do-calculation* în momente diferite (nu se face o sincronizare pentru că obiectele de tip turtle se pot muta într-un timp diferit). În schimb, rescriind codul din exemplul anterior apelând la două comenzi *ask* se va obține o sincronizare, fiecare turtle va aștepta până când se vor termina calculele celorlalte obiecte turtle (figura 5.4). Astfel, toate obiectele de tip turtle vor începe simultan execuția comenzii *do-calculation*.

```
ask turtles
[ fd random 10 ]
ask turtles
[ do-calculation ]
```

Figura 5.4. Sincronizarea comenzilor executate de agenți.

În general, tehnicile DCSP sunt tehnici asincrone ca și comportament. Prin urmare, este foarte important ca mediul să permită execuția asincronă a calculelor,

dar să permită și sincronizarea calculelor. Fiecare agent trebuie să manipuleze anumite tipuri de mesaje (ok, info, back, nogood, etc) asincron. Acest lucru se poate implementa în NetLogo, un exemplu de cod fiind prezentat în figura 5.5.

```

to handle-message
  if (empty? message-queue) [stop]
  set msg retrieve-message
  show msg
  ...
  if (first msg = "ok") [
    ok xj dj]
  if (first msg = "nogood") [
    nogood item 1 msg
  ]
end

```

Figura 5.5. Manipularea mesajelor de către agenți.

O problemă ce poate apărea în cazul tehnicilor asincrone este legată de situațiile în care este nevoie de execuția unor comenzi de către un agent, fără a permite celorlalți agenți să-i întrerupă execuția comenzilor. Astfel, ceilalți agenți sunt puși în așteptare până când comenzile din bloc sunt terminate. Acest lucru se poate realiza în NetLogo, un exemplu fiind prezentat în figura 5.6.

```

crt 5
;; se crează 5 obiecte de tip turtles
ask turtles
  [ without-interruption
    [ type 1 fd 1 type 2 ] ]
=> 1212121212
;; fiecare turtle tipărește 1 și mută, apoi scrie 2.
ask turtles
  [ type 1 fd 1 type 2 ]
=> 1111122222
;; fiecare turtle tipărește 1 și mută simultan,
;; apoi scrie 2 simultan.

```

Figura 5.6. Execuția unor calcule fără întrerupere

Această situație apare de foarte multe ori în cazul aplicațiilor DCSP (de exemplu, pentru a putea manipula corect mesajele, conform ordinii de transmitere).

Ultimul element de limbaj prezentat, necesar implementării aplicațiilor DCSP, este legat de existența unor structuri de date care să permită manipularea datelor. NetLogo oferă implicit o structură de tip listă cu elemente de tip numeric sau string. Această listă se folosește pentru reprezentarea mesajelor ok sau mesajelor nogood. Cu ajutorul acestor liste se pot simula structuri de tip coadă (ce permit simularea canalelor de comunicații dintre agenți), în care se vor stoca mesajele recepționate de fiecare agent, în ordinea în care ele sosesc. De asemenea, cu ajutorul „listelor de liste” se va putea reprezenta graful de constrângeri. Acest lucru va permite să se definească diverse ordini pentru agenți.

5.3. Modelarea și implementarea procesului de execuție a agenților

În acest paragraf este prezentată o soluție de modelare și implementare a procesului de execuție a agenților existenți în cazul tehnicilor de căutare asincrone. Această modelare, prin aplicarea unei tehnici de detecție a terminării algoritmilor, permite obținerea a două sisteme multi-agent ce se pot aplica la implementarea și evaluarea celor mai reprezentative tehnici de căutare asincrone. Această modelare poate fi utilizată la implementarea majorității tehnicilor de căutare asincrone, cum sunt cele din familia AWCS [YDIK98], familia ABT [BM05], DisDB [BMM01], AAS [SHF00a]. Modelarea propusă în acest paragraf permite obținerea de implementări pentru versiuni derivate de tehnici de căutare asincrone în care se simulează diverse situații existente în realitate: întârzieri în furnizarea mesajelor, managementul mesajelor etc.

Exemple de implementări realizate de autor pentru aceste tehnici se găsesc pe site-ul NetLogo ([MASNet-b]) și în [MASNet-a,c] .

Orice implementare a tehnicilor de căutare asincrone presupune parcurgerea a 2 etape:

- programarea agenților astfel încât aceștia să ruleze concurrent.
- realizarea interfeței aplicației respective.

Modelarea procesului de execuție a agenților va fi structurată pe două niveluri, corespunzătoare celor două etape de implementare. Definirea modulului în care se vor programa tehnicile asincrone încât agenții să ruleze concurrent și asincron va reprezenta nivelul intern al modelului. Al doilea nivel se referă la modul de reprezentare a aplicației în NetLogo și reprezintă nivelul exterior. Primul aspect va fi tratat și rezolvat folosind obiecte de tip *turtles*. Cel de-al doilea aspect (ce este legat mai mult de problema de rezolvat) se referă la modul de interacțiune cu utilizatorul, la interfața de lucru. În ceea ce privește acest aspect, NetLogo ne oferă obiecte de tip *patches* și controale grafice diverse. În orice caz, obiectele de tip *patches* vor permite simularea suprafeței aplicației.

5.3.1. Simularea și inițializarea agenților

Agenții sunt simulați utilizându-se obiecte de tip *breed* (așa cum s-a prezentat în paragraful anterior aceștia sunt tipuri de *turtles*).

În figura 5.7 este prezentat modul de definire a agenților împreună cu structurile de date globale și proprietăți ale agenților.

```

breeds [agenți]
globals [variabile ce simulează memoria partajată de toți agenții]
agent-own [message-queue current-view nogoods messages-received_ok
messages-received_nogood nr_constraintc, AgentC_Cost]
;message-queue conține mesajele recepționate.
;current-view este o listă indexată după numărul agentului de forma [v0 v1
v2...], vi = -1 dacă nu se cunoaște valoarea aceluia agent.
;current-view poate conține și prioritatea sub forma [[valoare0 prioritate0]
[valoare1 prioritate1] ...] valoare = -1 și prioritate = -1 dacă nu sunt
cunoscute de agent.
;nogoods este lista de valori inconsistente [0 1 1 0 ... ] unde 0 este poziție
bună, iar 1 este inconsistentă.
    
```

```

;messages-received_ok și messages-received_nogood sunt variabile ce
contorizează numărul de mesaje ok și nogood recepționate de un agent.
; constraintc și AgentC_Cost sunt variabile ce permit contorizarea efortului
local depus de agent.

```

Figura 5.7. Definirea agenților în cazul tehnicilor asincrone de căutare

Pentru tipurile de probleme alese pentru evaluarea tehnicilor de căutare asincrone se vor defini agenți folosind construcții de tipul *breeds [queens]* sau *breeds [vertices]*. Acest lucru va permite programarea fiecărui agent DCSP conform tehnicilor de căutare asincrone alese pentru implementate.

Definirea agenților în cazul celor două probleme clasice utilizate la evaluare (problema celor n regine și problema colorării grafurilor) este prezentată în figurile 5.8 și 5.9.

```

breeds [queens]
globals [no-more-messages tmp]
queens-own [message-queue col current-view nogoods messages-
received_ok messages-received_nogood nr_constraintc, AgentC_Cost]
;rows și cols primesc valori între [0..num-queens-1]
;message-queue conține mesajele care intră. Se prelucrează totdeauna
mesajul din fața listei
;col este poziția reginelor pe un anume rând
;current-view este o listă indexată după numărul reginei de forma [col0 col1
col2...], col = -1 dacă este necunoscută.
;nogoods este lista de poziții inconsistente [0 1 1 0 ... ] unde 0 este poziție
bună, iar 1 este inconsistentă.
;messages-received_ok și messages-received_nogood sunt variabile ce
contorizează numărul de mesaje ok și nogood recepționate de un agent
;constraintc și AgentC_Cost sunt variabile ce permit contorizarea efortului
local depus de agent

```

Figura 5.8. Agenții NetLogo în cazul problemei celor n –regine

```

breeds [vertices ]
;muchiile sunt reprezentate ca o lista de liste: un 2D array indexat prin
"who".Valorile sunt 1 (dacă există link), 0 altfel
;domain este lista de culori permise
globals [edges domain no-more-messages done]
vertices-own [message-queue, current-view, nogoods ... nr_constraintc,
AgentC_Cost]
;message-queue conține mesajele care intră. Se prelucrează totdeauna
;mesajul din fața listei.
;current-view is a list indexed by agent number [c0 c1 c2...] color = -1 dacă
este necunoscută.
;nogoods is a list of inconsistent positions [0 1 1 0 ... ] unde 0 este valoare
bună (consistentă), iar 1 este inconsistentă.

```

Figura 5.9. Agenții NetLogo în cazul problemei colorării grafurilor

Se observă construirea agenților cu numele *queens*, respectiv *vertices*. Aceștia vor reprezenta agenții DCSP ce vor executa procedurile de tratare a mesajelor specifice tehnicilor asincrone. Pentru fiecare agent, se pot defini variabile și structuri de date proprietare, care vor fi variabile globale pentru agenți. Posibilitatea de a defini variabile globale sau proprietare permite construirea completă și corectă a agenților ce sunt simulați. Există un lucru foarte interesant, un agent simulat printr-un turtle poate accesa variabilele proprietare pentru alt agent, astfel încât agenții pot coopera și negocia între ei. Acest lucru permite unui posibil simulator inspectarea valorilor agenților de către alți agenți. De asemenea, existența variabilelor globale permite simularea unor situații în care agenții folosesc zone de memorie comună pentru accesarea anumitor date.

Inițializarea agenților presupune construirea agenților și inițializarea structurilor de date necesare operării agenților. Pentru inițializare se propune o procedură de inițializare a fiecărui agent, procedură prezentată în figura 5.10 (procedura se va numi *setup* în toate implementările utilizate în această teză). În mod tipic sunt construiți agenții (în număr de *num-agents*) necesari rulării tehnicii de căutare asincrone și inițializate structurile de date. Aceste structuri de date vor fi definite în paragraful următor.

```

to setup-agenții // se folosesc agenții definiți cu construcția breeds [agenți]
;se creează agenții în număr de num-agents și se inițializează
  create-custom-agenți num-agents [
    set messages-received_ok 0
    set messages-received_nogood 0
    set current-view get-list num-agents -1
    set nogoods get-list num-agents 0
    set message-queue []
    ...
  ]
end
    
```

Figura 5.10 Procedura de inițializare a fiecărui agent-setup

5.3.2. Reprezentarea și manipularea mesajelor.

Orice tehnică de căutare asincronă se bazează pe utilizarea de către agenți a unor mesaje pentru a comunica diverse informații necesare obținerii soluției. Comunicarea între agenți se face conform modelului de comunicație introdus la definirea DCSP. Manipularea mesajelor presupune în primul rând reprezentarea mesajelor. Acest lucru se poate realiza în Netlogo prin utilizarea unor liste indexate. Pentru reprezentarea mesajelor complexe, ce conțin foarte multe informații, Netlogo permite folosirea listelor de liste (elementele listei sunt de asemenea liste). Modul de reprezentare a principalelor mesaje întâlnite la tehnicile de căutare asincrone este prezentat în continuare:

- **set** mesaj (**list** "ok" agent valoare costuri_agent) – mesaje de tip *ok sau info*;
- **set** mesaj (**list** "nogood" agent current-view costuri_agent) - mesaje de tip *nogood sau back*;
- **set** mesaj (**list** "addl" agent₁ agent₂ costuri_agent)
- **set** mesaj (**list** "remove" agent₁ agent₂ costuri_agent)

Se remarcă faptul că definiția unui mesaj conține tipul mesajului, agentul ce a transmis și informațiile corespunzătoare tipului de mesaj.

Modelul de comunicare existent în cadrul DCSP presupune în primul rând existența unor canale de comunicație de tip FIFO în care să se stocheze mesajele recepționate de fiecare agent. Simularea cozilor mesaje pentru fiecare agent se poate face folosind liste Netlogo, pentru care se definesc rutine de tratare corespunzătoare principiilor FIFO. Aceste structuri de date se definesc odată cu definirea agenților. În implementările propuse în această teză această structură se va numi *message-queue*. Această structură proprietară fiecărui agent va conține toate mesajele de tip ok și nogoood recepționate de agentul respectiv (sau orice alt tip de mesaj). Aceste structuri de tip coadă ce au un rol foarte important în funcționarea tehnicilor de căutare asincrone, trebuie să respecte principiile FIFO.

Manipularea acestor canale poate fi gestionată fie de către un agent central (ce în NetLogo se numește *observer*) fie de agenții respectivi. Pentru aceasta se propune construirea unei rutine numite *update* pentru manipularea globală a canalelor de mesaje. Ea va avea rol și în detectarea terminării execuției tehnicilor de căutare asincrone. Această rutină *update* reprezintă un fel de "program principal, un centru de comandă al agenților. Într-o astfel de procedură, ce trebuie să ruleze continuu (până la golirea cozilor de mesaje) se verifică pentru fiecare agent coada de mesaje (pentru a detecta o pauză în transmiterea de mesaje). De asemenea, procedura trebuie să permită operarea cu mesajele ce sunt transmise de agenți. Pentru aceasta ea va apela pentru fiecare agent o altă procedură care să trateze efectiv fiecare mesaj, corespunzător tipului acestuia. Această procedură va fi numită *handle-message*, ea ocupându-se de manipularea mesajelor specifice fiecărei tehnici de căutare asincrone. În figurile 5.11 și 5.12 sunt prezentate cele două proceduri principale de manipulare și tratare a mesajelor, *update* și *handle-message*. Cele două proceduri sunt cele mai importante din punct de vedere al modului de lucru sincron sau asincron cu mesaje (mod de lucru care definește tehnicile asincrone).

```

to update
  set no-more-messages true
  ask agenți [
    if (not empty? message-queue)[
      set no-more-messages false]
  ]
  ;dacă toate cozile sunt goale, nu mai există mesaje, se poate opri algoritmul
  if (no-more-messages) [stop]
  ;se apelează procedura de manipulare a mesajelor din cozile de mesaje, pentru
  fiecare agent.

  ask agenți [handle-message]

  ask agenți [
    create-temporary-plot-pen "q" + who
    plot messages-received_nogood
    ....
  ]
  ;se pot face reprezentări grafice după diverși parametri (nr. de mesaje, etc )
end

```

Figura 5.11. Procedura NetLogo update

În procedura *update* din figura 5.11 se observă apelul "*ask agenți ...*", ce permite execuția calculului pentru fiecare agent, dar cu o sincronizare după fiecare rulare a agenților. Varianta de mai sus se bazează pe folosirea observatorului în manipularea canalelor cu mesaje. Acest comportament al comenzii *ask* permite să se construiască un sistem distribuit sincron, așa cum este definit în [HY00]. În paragraful §5.3.6 se va mai prezenta o variantă pentru *update* ce va permite obținerea unui al doilea sistem multi-agent de implementare și evaluare pentru tehnicile de căutare asincrone.

```

;se manipulează mesajul din coadă și se identifică tipul său (ok sau nogood,
addl sau remove) apelând procedura de tratare.
to handle-message
  locals [msg ... ]

  if (empty? message-queue) [stop]
    set msg retrieve-message

  if (first msg = "ok")
    [
      set messages-received_ok messages-received_ok + 1
      procedure_ok msg
      ;se apelează procedura de tratare a mesajelor de tip ok
    ]

  if (first msg = "nogood")
    [
      set messages-received_nogood messages-received_nogood + 1
      procedure_nogood msg
      ;se apelează procedura de tratare a mesajelor de tip nogood
    ]

  if (first msg = "addl")
    [
      procedure_addlink msg
      ;se apelează procedura de adăugare de noi legături
    ]
  ...
end

```

Figura 5.12. Procedura de tratare a mesajelor

În figura 5.12, unde este prezentată procedura de tratare a mesajelor, se observă faptul că fiecare agent extrage câte un mesaj din coada de mesaje, identifică tipul de mesaj și apelează procedura de tratare a mesajului respectiv. Procedurile de tratare a mesajelor de un anumit tip se pot implementa conform algoritmului în cauză. De exemplu, pentru tehnica ABT, cele două proceduri sunt prezentate în figura 5.13.

```

;Procedura de tratare a mesajelor ok
;Parametrii sunt notați astfel Qj = Xj și Vj = dj
to ok [Qj Vj]
  ;se actualizează contextul de lucru
  set current-view replace-item Qj current-view Vj
  check-agent-view
end

; Procedura de tratare a mesajelor nogood
to nogood [ nogoodmsg ]
  locals [ i j msg]
  ... stocarea și tratarea mesajului nogood
end

```

Figura 5.13. Procedurile de tratare a mesajelor de tip ok și nogood

Un alt aspect analizat este cel relativ la ordinea agenților. În capitolul 3 au fost prezentate mai multe tehnici, cum sunt cele din familia ABT, în care ordinea agenților este statică. Prin urmare, transmiterea mesajelor ok (care informează asupra apariției unei noi valori) se face către anumiți agenți. Există tehnici asincrone care necesită sau pot utiliza o ordine dinamică pentru agenți. În această categorie avem AWCS și de curând o variantă ABT cu ordine dinamică.

O primă problemă este dată de caracteristicile mediului NetLogo. Comenzile agenților sunt executate folosind, în general, comanda ask. Fiecare agent, folosind comanda ask, manipulează mesajele din propria coadă de mesaje. Această comandă este executată pentru obiectele de tip *turtles* sau *breed*. Conform regulilor NetLogo, comanda ask este planificată să execute în ordine crescătoare agenții, conform ordinii date de numărul de ordine. Ordinea de execuție este aleasă determinist și într-un mod reproductibil. Aceste caracteristici existente în NetLogo sunt potrivite pentru cazul ordinilor statice, lexicografice.

În cazul tehnicilor care folosesc ordini dinamice, soluția constă în construirea de liste ce conțin agenții cu care trebuie comunicat. De exemplu, în AWCS se pot păstra vecinii fiecărui agent într-o listă, mesajele fiind trimise spre acei agenți în ordinea indicilor. O astfel de listă poate fi ordonată după criterii date de diverse euristici, astfel încât să se respecte specificul unei anumite tehnici.

5.3.3 Definirea și reprezentarea interfeței

În ceea ce privește partea de interfață, se pot folosi pentru reprezentarea grafică a obiectelor problemei DCSP (regine sau noduri) obiecte de tip *patch*. Este recomandabil să se creeze o procedură de inițializare a suprafeței de afișare a valorilor agenților. O astfel de procedură este prezentată în figura 5.14.

```

to setup-patches
  ask patches with [(abs (pxcor + pycor)) mod 2 = 0 and
    pxcor < num-queens - screen-edge-x and
    pycor > screen-edge-y - num-queens]
  [set pcolor 8]
end

```

Figura 5.14. Procedura de inițializare a suprafeței de lucru a fiecărui agent

În mod similar, pentru cazul problemei colorării grafurilor, se face reprezentarea nodurilor și a legăturilor ([MASNet-a] și în [MASNet-b,c]). Cele două proceduri de inițializare se vor atașa (folosind o procedură setup) la un buton de start al aplicației, ca în secvența din figura 5.15.

```

to setup
  ca
  setup-patches
  setup-queens
  ask queens
    [procedura_inițializare]
  ... alte inițializări
end
    
```

Figura 5.15. Procedura de setare a aplicației NetLogo

Mediul NetLogo permite și afișarea sub formă de grafic a variației numărului de mesaje pentru fiecare agent, lucru foarte util în analiza influenței ordinii agenților asupra fluxului de mesaje sau comportamentului agenților relativ la acea unitate de măsură. Acest lucru se poate realiza folosind obiecte grafice de tip *plot* în care se poate trasa, pentru fiecare agent, numărul de valori manipulate la fiecare pas. De exemplu, în figura 5.16 este captată evoluția numărului de mesaje nogood per agent, la fiecare ciclu pentru tehnicile ABT și AWCS. Analiza variației fluxului de mesaje din figura 5.16 arată comportamente diferite pentru agenții din cele două tehnici. În cazul tehnicii ABT (figura 5.16(a)) agenții de prioritate mică necesită un flux de mesaje mult mai mare. În schimb, în cazul tehnicii AWCS, fluxul de mesaje este asemănător pentru toți agenții, acest lucru datorându-se și ordinii dinamice folosite în această tehnică.

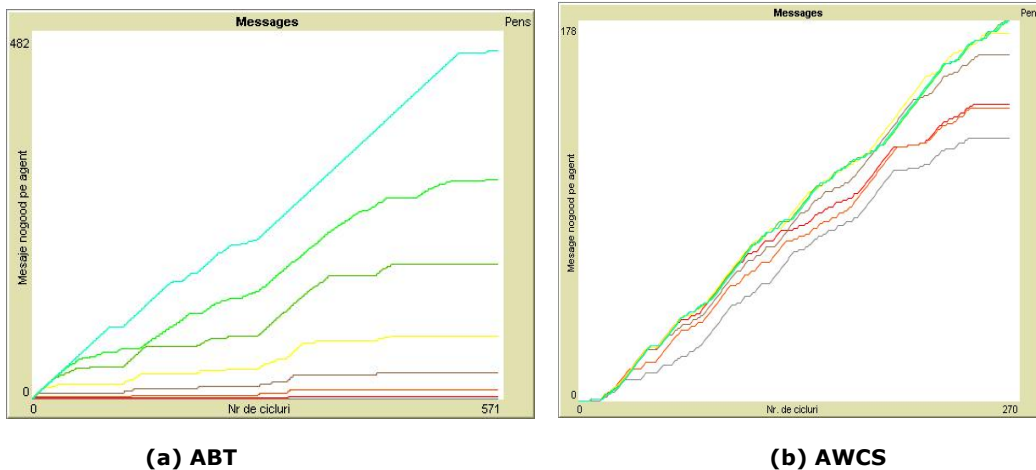


Figura 5.16. Evoluția fluxului de mesaje nogood pentru tehnicile ABT și AWCS în cazul problemei celor n regine (n=8 agenți)

5.3.4. Detecția terminării tehnicilor de căutare asincrone în cazul modelului de implementare propus

Pentru majoritatea tehnicilor asincrone soluția este detectată în general numai după ce apare o perioadă de pauză în transmiterea mesajelor (adică nu se mai transmite nici un fel de mesaj, stare numită *quiescence*). Această stare este uzual recunoscută utilizând mecanisme distribuite generale. Pentru anumite tehnici de căutare asincronă (cum ar fi tehnica AAS), soluțiile pot fi detectate înainte de această pauză. Aceasta înseamnă că terminarea poate fi dedusă mai devreme și că numărul de mesaje necesare pentru obținerea soluției poate fi redus. În această teză se va considera cazul în care soluția este detectată după ce apare o pauză în transmiterea mesajelor.

Mai multe tehnici distribuite CSP detectează liniște (o pauză) în transmiterea de mesaje utilizând tehnicile generale din [CL85]. Acești algoritmi se remarcă prin faptul că verificarea terminării trebuie să fie inițiată de agenții care suspectează apariția unei pauze în transmisia mesajelor. Totuși, trebuie precizat faptul că există și alte tehnici care pot detecta cât mai repede o pauză în transmiterea mesajelor.

Există două situații de analizat: situația în care există soluție și cea în care nu există soluție. Finalizarea construirii soluției, în NetLogo, se bazează pe detectarea unei pauze în transmiterea mesajelor. Această situație poate fi rezolvată prin verificarea cozilor de mesaje, cozi ce trebuie să fie goale.

Pentru detecția terminării tehnicilor de căutare asincrone, implementați după modelul NetLogo prezentat, se propun în acest capitol două metode originale de detecție a terminării execuției tehnicilor asincrone [MusBP05]. Cele două metode se bazează pe soluții diferite pentru detectarea unei pauze în transmiterea mesajelor. Aceste două metode se aplică pentru orice implementare a unor tehnici asincrone, ce folosește modelul de implementare prezentat. Aplicarea celor două modele de detecție a terminării procesului de execuție a agenților conduce la două sisteme multi-agent ce vor fi utilizate în capitolele următoare la analiza tehnicilor de căutare asincrone. Exemple de implementări de tehnici asincrone ce folosesc cele două metode se găsesc pe site-urile [MASNet-a], [MASNet-b,c].

5.3.4.1. Detecția terminării procesului de execuție de către agentul central "Observer"

Prima soluție de detecție a terminării se bazează pe câteva din facilitățile mediului NetLogo: comanda *ask* ce permite execuția calculelor fiecărui agent și existența agentului central *observer*. Manipularea canalelor de comunicație va fi realizată de către acest agent central. Pentru aceasta se propune construirea unei rutine numite *update* pentru manipularea globală a canalelor de mesaje. Într-o astfel de procedură, ce trebuie să ruleze continuu (până la golirea cozilor de mesaje) se verifică de către agentul *observer* dacă s-a detectat o pauză în transmiterea de mesaje. De asemenea, procedura trebuie să permită operarea cu mesajele ce sunt transmise de agenți. Procedura *update* va apela pentru fiecare agent procedura de tratare efectivă a mesajelor. Această procedură va fi numită *handle-message* și va fi apelată în interiorul procedurii *update* folosind comanda *ask*. Astfel, cele două elemente (apelul procedurilor locale de manipulare a mesajelor cu *ask* și detecția de către *observer*) vor conduce la o variantă de implementare în care se face sincronizarea execuției agenților.

Practic, după execuția calculelor, fiecare agent așteaptă finalizarea calculelor de către ceilalți agenți. Comanda *ask* este controlată la rândul ei de către agentul central *observer*. Acesta, după fiecare sincronizare, verifică dacă toate canalele de mesaje sunt goale (în acel moment). Acest lucru permite întreruperea execuției și tipărirea soluției. Această metodă permite obținerea unui sistem multi-agent cu sincronizarea execuției agenților. Acest sistem va fi prezentat în paragraful următor.

Prima metodă de detecție a terminării are în centru agentul sistem „observator”, căruia i se predă această sarcină de verificare a unei pauze în transmiterea mesajelor. Acest lucru se realizează prin asocierea procedurii *update* la „observatorul” NetLogo. Acest observator va apela la comanda *ask*, pentru a manipula mesajele primite de un agent, pentru că NetLogo nu permite rularea unor rutine atașate agenților de către agentul central. „Observatorul” poate fi privit ca un agent sistem ce inițiază procedura de terminare a algoritmului. În figura 5.17 este prezentat codul rutinei *update*, rutină atașată *observatorului*.

Observatorul folosește o variabilă globală (în figura 5.17 numită *no-more-messages*) prin care se sesizează dacă cozile de mesaje sunt goale, semnal că a apărut o pauză în transmiterea mesajelor. Se remarcă faptul că dacă există mesaje în cel puțin o coadă de mesaje, se apelează procedura de manipulare a mesajelor, folosind instrumentul NetLogo *ask*.

```

to update
  set no-more-messages true
  set nr_cycles nr_cycles + 1
  ask agenti [
    if (not empty? message-queue)[
      set no-more-messages false]
  ]

  if (no-more-messages)
  [ ifelse Solution
    [WriteSolution]
    [WriteNoSolution]
    stop
  ]
  ask agenti [handle-message]
  ...
end

```

Figura 5.17. Procedura update – 1

Această primă metodă conduce la o sincronizare a execuției agenților, datorită comportamentului comenzii „*ask*”. Această comandă așteaptă ca fiecare agent să termine de executat comenzile sale. Ca o consecință, se poate obține un sistem cu sincronizare, asemănător cu cel folosit în [HY00] la evaluarea tehnicilor AWCS cu *nogood learning*.

O altă consecință este aceea că se poate contoriza numărul de cicli necesari pentru obținerea soluției. Modul de implementare și de detecție a terminării permite reținerea și a numărului de cicluri printr-o variabilă globală ce se incrementează de fiecare dată când se execută rutina *update* (de către „observator”).

5.3.4.2. Detecția terminării procesului de execuție de către fiecare agent DCSP

Cea de-a doua metodă permite obținerea de implementări cu un comportament complet asincron pentru agenți. Această metodă este mult mai generală permițând evaluarea tehnicilor asincrone în condiții apropiate de funcționarea din aplicațiile practice, în care nu există o sincronizare a execuției agenților. În acest caz, fiecare agent execută asincron și concurrent calculele sale, neexistând nici o sincronizare. Această situație se rezolvă prin introducerea unor indicatoare, care în orice moment păstrează starea canalelor de comunicație pentru fiecare agent (true dacă nu există mesaje și false, în caz contrar). Dacă, la un moment dat, toate indicatoarele sunt true, se poate opri execuția tehnicilor. Trebuie remarcat faptul că acele indicatoare își schimbă valoarea de-a lungul execuției, în funcție de existența și inexistența unor mesaje în cozile de mesaje.

A doua metodă de detecție are ca bază de plecare renunțarea la "observator" pentru a sesiza apariția unei pauze în transmiterea mesajelor și execuția procedurii update de fiecare agent. Detecția va fi făcută de primul agent (de tip turtle-breed) ce sesizează apariția acesteia. Soluția (din NetLogo) este dată de utilizarea unor butoane de tip "turtle forever-buttons", butoane ce nu sunt atașate observatorului. Practic, nu se va mai apela la comanda "ask" pentru a executa rutinele de manipulare a mesajelor. Acestea vor fi executate pentru fiecare agent (turtle) prin intermediul unui buton (atașat la turtle) de tip „forever-button” (așa cum se observă în figura 5.18).

Fiecărui agent i se atașează un indicator care sesizează starea sa locală. Detectarea terminării algoritmului se va face folosind acești indicatori, care vor păstra în orice moment starea canalelor de comunicații pentru fiecare agent (true, dacă nu există mesaj în coada de mesaje și false în caz contrar). Dacă la un moment dat toți indicatorii sunt true, se poate trece la oprirea algoritmului. Acest lucru este realizat de primul agent turtle ce detectează această stare. În figura 5.18 se prezintă codul procedurii update.

```

to update

  handle-message

  ;detectarea terminării execuției este făcută de fiecare turtle
  ;primul care sesizează că toate cozile sunt goale va trece la oprirea
  ;algoritmului
  if (sum (values-from agenti [gt]) = num-agenti)
  [
  ifelse Solution
    [WriteSolution]
    [WriteNoSolution]
  stop
  ]
end

```

Figura 5.18. Procedura update - 2

Folosirea celei de-a doua metode de detecție a terminării necesită adaptarea rutinei de manipulare a mesajelor, obținându-se rutina din figura 5.19.

```

to handle-message
  if not empty? message-queue
  [
    set msg retrieve-message
    set gt 0
    if (first msg = "ok?")[
      handle-ok-message item 1 msg]
    if (first msg = "nogood")[
      handle-nogood-message msg]
  ]
  ... tratarea altor tipuri de mesaje
  if (empty? message-queue)
  [
    set gt 1
    stop
  ]
end
    
```

Figura 5.19. Procedură handle-message – 2

Se observă faptul că dacă coada de mesaje a unui agent nu este goală, indicatorul gt devine 0 (false), în caz contrar el devine 1. Acest lucru este necesar pentru că agenții trimit mesaje asincron și concurrent la alți agenți așa încât în momente diferite de timp cozile de mesaje trec prin diferite stări. Această a doua soluție permite construirea unui alt tip de sistem de evaluare în NetLogo cu agenți, fără sincronizarea execuției agenților. Acest sistem permite studierea comportamentului agenților în condiții mai apropiate de situațiile reale.

În ceea ce privește cazul în care nu există soluție, se propune folosirea unei variabile globale "Solution", care reține starea rezolvării problemei. În primul rând, tehnicile care folosesc o ordine statică, ordine lexicografică și o parte din cele care folosesc ordine dinamică, detecția inexistenței unei soluții (ceea ce tipic se recunoaște prin apariția unui nogood vid) este găsită dacă agentul cu numărul de ordine „0” detectează un nogood. În ceea ce privește anumite tehnici ce folosesc o ordine dinamică pentru agenți, așa cum este tehnica AWCS, detectarea inexistenței soluției se face dacă s-au înregistrat toate nogood-urile posibile sau s-a detectat un mesaj vid. Apariția uneia dintre aceste situații va duce la setarea variabilei "Solution" pe false.

5.3.5. Evaluarea tehnicilor de căutare asincrone pentru modelul propus.

Pentru evaluarea acestor tehnici există mai multe metrice care asigură o anumită independență față de limbajele de programare folosite la implementarea acestora. Aceste metrice permit evaluarea tehnicilor asincrone din mai multe puncte de vedere, cum ar fi efortul local și efortul global depus de agenți, încărcarea rețelei datorată fluxului de mesaje schimbat.

5.3.5.1. Costuri de comunicare.

Primul criteriu, poate cel mai important în analiza algoritmilor distribuiți, este acela al *costurilor datorate comunicării de informații* între diferite părți ale algoritmului. Comportamentul asincron întâlnit la tehnicile de căutare asincrone influențează foarte mult costurile de comunicație. Tehnicile de căutare asincrone sunt caracterizate prin folosirea mesajelor de către agenți în timpul procesului de căutare a soluției. Se utilizează mai multe tipuri de mesaje pentru anunțarea și schimbarea valorilor locale atribuite variabilelor avute în grijă. În această categorie sunt mesajele de tip *ok?* sau *info*, mesaje de tip *nogood* sau *back*, folosite pentru a anunța apariția unei inconsistențe (o combinație de valori inconsistente). Alte tehnici (ce obțin performanțe mai bune) folosesc mesaje speciale în scopul îmbunătățirii soluției. Alte tipuri de mesaje sunt *add-link* sau *remove*, prin care se cere adăugarea de noi legături, respectiv anularea unor legături. De asemenea, se mai utilizează mesaje pentru detecția soluției, cum ar fi mesajele *accepted* sau *stop*.

Contorizarea fluxului de mesaje permite evaluarea încărcării globale a rețelei. Este important de analizat pentru medii distribuite ce folosesc Internetul sau rețelele Ethernet. Prin urmare, modelul prezentat trebuie să permită contorizarea și stocarea costurilor de comunicație.

Modelul prezentat în acest capitol permite contorizarea diverselor tipuri de mesaje utilizate de tehnicile de căutare asincrone. Acest lucru se poate face prin folosirea unor variabile globale atașate agenților. Pentru modelul prezentat se propune folosirea a câte unei variabile proprietare fiecărui agent (*messages-received_nogood* și *messages-received_ok*), variabilă ce trebuie incrementată în momentul recepționării unui mesaj. Această variabilă este incrementată în rutina de manipulare a mesajelor *handle-message*. Se pot contoriza mesajele recepționate și prelucrate, respectiv doar cele transmise.

5.3.5.2. Costuri de timp

Complexitatea de timp este dată de timpul necesar executării calculelor și se exprimă în termenii *celui mai lent mesaj* implicat în calcul. Această complexitate de timp este comparabilă cu complexitatea de timp a algoritmilor în cazul clasic secvențial, dar ea nu este realmente o măsurare a timpului, ci o contorizare a operațiilor consecutive de timp. O altă observație importantă, relativă la modul în care se face calculul complexității de timp este aceea că se ignoră timpul necesar procesării calculelor, acesta fiind considerat neglijabil în comparație cu întârzierile care apar în transmisia mesajelor.

Tehnicile asincrone sunt evaluate de anumiți autori [YDIK98], [Yok01] folosind pentru complexitatea de timp *ciclu-ul*. Un ciclu este format din acele activități necesare ca toți agenții să citească mesajele recepționate, să execute calculele locale și să trimită mesaje la agenții corespunzători. Această unitate de măsură asigură o anumită independență asupra condițiilor locale și a celor existente în mediul distribuit, neputând fi influențată de întârzierile care apar. Este o unitate de măsură foarte bună pentru acele medii care simulează un mediu distribuit real. Pentru modelul prezentat în acest capitol, numărul de cicluri poate fi determinat folosind o variabilă globală *NetLogo* (fără ca ea să fie proprietară agenților). Această variabilă va fi incrementată în rutina *Update*. De fapt, numărul de apeluri pentru procedura *Update* reprezintă numărul de cicluri executate de agenți pentru a obține

soluția, respectiv inexistența soluției. Numărul de ciclii poate fi determinat doar în cazul sistemului multi-agent cu sincronizarea execuției agenților.

Complexitatea de timp este evaluată și folosind numărul total de constrângeri verificate de fiecare agent. Este o măsură a timpului global consumat de agenții implicați. De asemenea, permite evaluarea efortului local depus de fiecare agent. Numărul de constrângeri verificate de fiecare agent se poate contoriza folosind variabilele proprietare fiecărui agent (*nr_constraintc*). Un astfel de contor este incrementat în rutinele *check-agent-view*, la verificarea consistenței vederii agentului. O problemă mai complicată este legată de contorizarea constrângerilor concurente introduse în [MKRZ02]. Acest lucru se realizează pentru modelul prezentat prin introducerea unei variabile proprietare fiecărui agent, variabilă numită *AgentC_Cost*. Variabila *AgentC_Cost* va reține numărul de constrângeri concurente pentru agent, valoarea sa fiind transmisă către agenții cu care este conectat prin intermediul mesajelor. Fiecare agent, la recepționarea unui mesaj ce conține o valoare *SenderC_Cost*, își actualizează propriul contor *AgentC_Cost* cu noua valoare conform algoritmului din [MKRZ02].

Modelul propus în acest capitol permite pentru ca fiecare agent să obțină valoarea maximă obținută de ceilalți agenți în urma unor calcule. În [MusPP05a] și [MusPP06] se propune limitarea numărului de mesaje transmise pentru legăturile temporare folosind o valoare maximă a fluxului de mesaje nogood învechite recepționate de fiecare agent. Practic, această valoare se determină ca fiind cel mai mare număr de mesaje nogood învechite recepționate la un moment dat. Pentru calculul acestei valori este necesară cunoașterea de către fiecare agent a numărului maxim de mesaje învechite recepționate de ceilalți agenți. Acest lucru se poate realiza pentru modelul propus prin transmiterea maximelor fiecărui agent la cei cu care este conectat în momentul transmiterii unui mesaj de tip „info” sau „nogood”. În felul acesta fiecare agent va cunoaște, la un moment dat, maximele celorlalți agenți.

Îmbunătățirea performanțelor tehnicilor de căutare asincrone presupune cunoașterea anumitor informații de către toți agenții. Este cazul tehnicilor de nogood processor sau limitarea numărului de mesaje transmise de fiecare agent. Aceste informații trebuie cunoscute de fiecare agent la un moment dat. Modelul prezentat permite două soluții. O primă soluție posibilă constă în folosirea unor variabile globale, neproprietare, accesibile de toți agenții. O astfel de soluție corespunde existenței unui agent central ce stochează aceste informații. Totuși, o astfel de soluție nu este apropiată de situația practică în care agenții fie nu pot comunica cu un astfel de agent central sau pot comunica, dar cresc costurile obținerii soluției. A doua soluție se bazează pe ideea algoritmului de determinare a numărului de constrângeri concurente. Plecând de la această idee în figura 5.20 se propune un algoritm de determinare a valorilor maxime sau minime cunoscute de fiecare agent, folosind doar mesajele transmise de agenți.

- 1: Fiecare agent inițializează variabilele contor *ContorL* cu 0. De asemenea, se inițializează *MaxContor/MinContor* cu 0.
- 2: Când un agent transmite un mesaj el include și valoarea contorului său *MaxContor/MinContor*.
- 3: Când un agent identifică o valoare de tipul corespunzător pentru un alt agent A_k se actualizează contorul corespunzător din lista *ContorL*.
 Replace-item A_k *ContorL* with item A_k *ContorL* + 1

```

4: if an agent receives a message with a counter SenderMx then
    Set MaxContor = max { ContorL } //      Set MinContor = min { ContorL }
    if MaxContor < SenderMx then //      if MinContor < SenderMx then
        Set MaxContor SenderMx //          Set MinContor SenderMx
    end if //      end if
end if

```

Figura 5.20. Determinarea valorii maxime/minime recepționate de fiecare agent

Fiecare agent folosește o listă de variabile contor în care memorează valorile recepționate de la fiecare agent (de exemplu nogoourile recepționate, numărul de valori schimbate etc). Apoi, fiecare agent calculează într-o variabilă proprietară maximul sau minimul din structura sa de date. La recepționarea unui mesaj, actualizează acest maxim/minim cu valoarea transmisă de alt agent. Din faptul că agenții au legături pe baza constrângerilor, ei vor recepționa maximele/minimele de la agenții vecini, iar aceștia de alți vecini, s.a.m.d.

5.4. Sisteme multi-agent pentru implementarea și evaluarea tehnicilor de căutare asincrone.

Plecând de la modelarea procesului de execuție a agenților propusă în paragraful anterior, prin aplicarea celor metode de detecție a terminării acestui proces se pot obține două sisteme multi-agent utilizabile la implementarea și evaluarea tehnicilor de căutare asincrone. Arhitecturile celor două sisteme distribuite aplicabile pentru tehnicile de căutare asincrone, sunt prezentate în figurile 5.21 și 5.22.

Cele două sisteme sunt caracterizate prin câteva elemente comune. În primul rând simularea agenților este realizată în același mod, fiecare agent fiind simulat prin folosirea obiectelor de tip *breed*. În al doilea rând, agenților li se poate atașa o rutină generală de tratare a mesajelor (în figurile 5.21 și 5.22 *handle-message-1/2*). În al treilea rând, procedurile de tratare a mesajelor (care de obicei diferențiază fiecare tehnică) sunt implementate în același mod pentru cele două sisteme.

Principala diferență dintre cele două sisteme este legată de detecția terminării fiecărei tehnici implementate. Primul sistemul multi-agent folosește agentul sistem *observer*, iar cel de-al doilea sistem agenții simulați prin obiecte de tipul *breed*.

5.4.1. Sistem multi-agent cu sincronizarea execuției agenților-SIES.

Primul sistem multi-agent de implementare și evaluare se obține prin aplicarea primei metode de detecție a terminării tehnicilor de căutare asincrone. Acest sistem va fi numit *sistem de implementare și evaluare cu sincronizare-SIES*. Ideea principală este aceea a utilizării agentului sistem *observer* în identificarea pauzei în transmiterea mesajelor. Acest lucru este realizat prin atașarea rutinei *update* la un buton atașat observatorului.

Al doilea element care diferențiază acest sistem este acela al utilizării comenzii *ask* pentru execuția rutinei *handle-message* a fiecărui agent (în rutina *update*). Această soluție duce la sincronizarea execuției agenților.

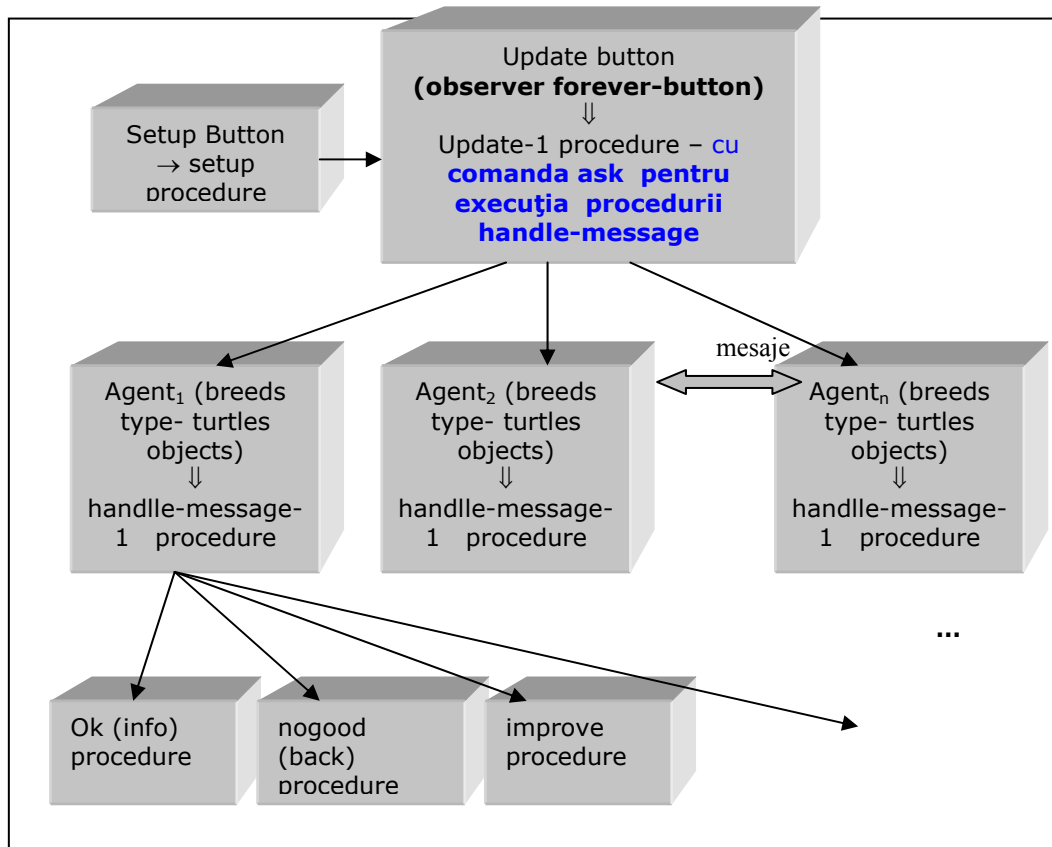


Figura 5.21. Arhitectura unui sistem multi-agent cu sincronizarea execuției- SIES

În figura 5.21 este prezentată arhitectura acestui sistem multi-agent, sistem ce va fi folosit în capitolele următoare la implementarea și evaluarea mai multor variante de tehnici de căutare asincrone.

În arhitectura de mai sus, observatorul este cel ce inițiază procedura de oprire a rulării algoritmului.

5.4.2. Sistem multi-agent cu operarea asincronă a agenților-SIEAS

Al doilea sistem multi-agent se obține prin aplicarea celei de-a doua metode de detecție a terminării execuției agenților la modelul de implementare și evaluare propus anterior. Acest sistem va fi numit *sistem de implementare și evaluare cu operarea asincronă a agenților-SIEAS*. Sistemul multi-agent se remarcă prin renunțarea la observator și atașarea rutinei update fiecărui agent de tip breed. În felul acesta execuția rutinei handle-message nu se mai face prin intermediul comenzii ask, aceasta fiind executată pentru fiecare agent (turtle) de către butonul de tip turtle cu proprietatea „forever-button” setată. Renunțarea la comanda ask are ca efect rularea asincronă a agenților, fiecare agent prelucrând mesajele sale fără a aștepta o sincronizare cu ceilalți agenți.

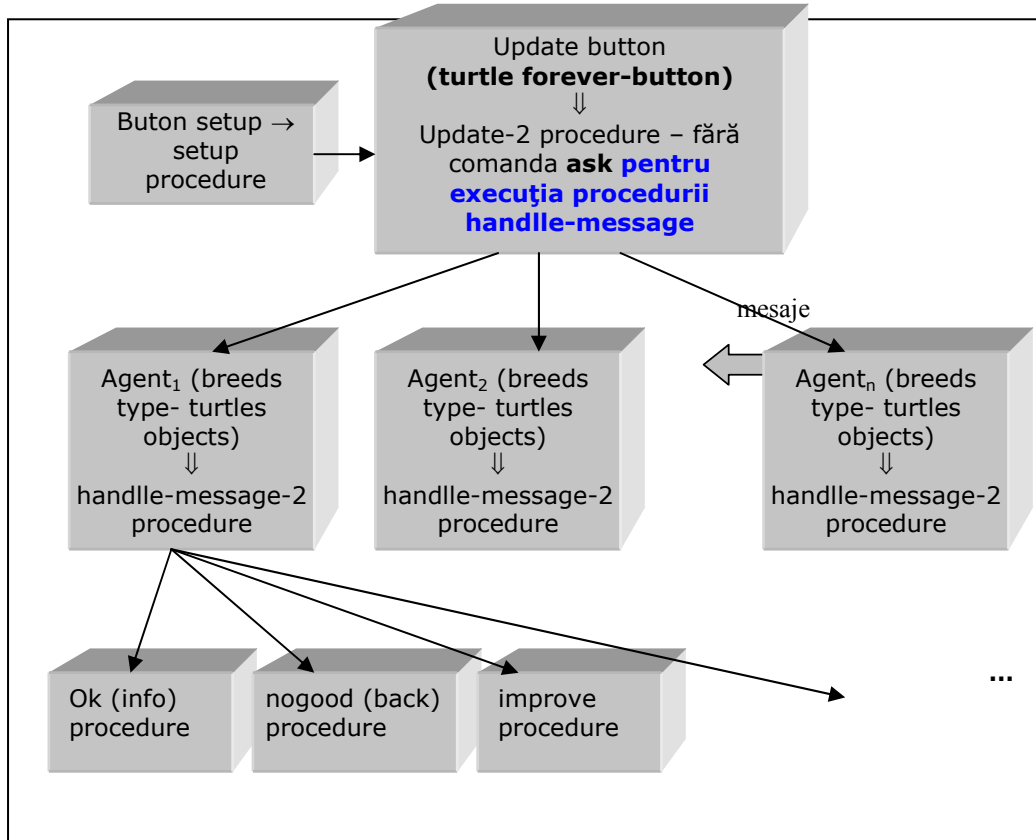


Figura 5.22. Arhitectura unui sistem multi-agent cu operarea asincronă a agenților-SEIAS

5.4.3. Diferența dintre un sistem cu sincronizare și unul complet asincron.

În mod obișnuit, cele mai multe dintre simulatoare rulează mai multe fire de execuție pe același sistem de calcul, câte un fir de execuție pentru fiecare agent. Aplicația rulează în mai multe cicluri, un ciclu constând în aceea perioadă necesară pentru ca fiecare agent să recepționeze mesaje, să execute calculele locale și să trimită mesaje. Practic, după fiecare ciclu are loc o sincronizare a agenților, se așteaptă ca fiecare să termine ciclul său. Un altfel de comportament este definit ca un sistem distribuit sincron în [HY00].

Acest lucru se întâlnește și în NetLogo. Un apel al procedurii principale, numită în această lucrare *update*, corespunde noțiunii de ciclu. Pentru ca această rutină să ruleze până la determinarea soluției sau inexistenței acesteia, ea este atașată la un buton de tip "Observer" cu proprietatea „forever-button” setată. În principiu, ea cere prin intermediul comenzii *ask*, manipularea mesajelor din cozile de mesaje. Fiecare agent, concurent și asincron, extrage, trimite mesaje și execută calculele sale locale, dar comanda *ask*, face la final o sincronizare. Acest mecanism

permite definirea unui comportament de sistem distribuit sincron și este obținut pentru primul sistem multi-agent.

Acest sistem se poate transforma într-un model care să funcționeze cât mai asincron, fără a fi nevoie să se extindă NetLogo prin module Java. Soluția este dată de folosirea celei de-a doua soluții de detectare a terminării algoritmului și de folosirea unor butoane atașate obiectelor de tip turtle, butoane ce nu mai sunt atașate observatorului. În același timp se renunță la folosirea comenzii ask pentru a executa rutina de manipulare a mesajelor, aceasta fiind executată pentru fiecare agent (turtle) de către butonul de tip turtle „forever-button”. Aceste elemente conduc la arhitectura prezentată în figura 5.22.

5.5. Metodologie de implementare și evaluare pentru tehnicile asincrone

În acest paragraf se prezintă o metodologie de implementare a tehnicilor de căutare asincrone în NetLogo, folosind modelul prezentat în paragraful anterior 5.3. Această metodologie presupune identificarea obiectelor aplicației, construirea agenților și a suprafeței de lucru pentru aplicație. De asemenea, sunt construite canalele de comunicație dintre agenți, rutinele de manipulare a mesajelor și programul principal al aplicației. Metodologia conține mai multe elemente specifice NetLogo necesare pentru finalizarea implementării tehnicilor asincrone de căutare. Orice implementare realizată pe baza modelului prezentat, va necesita parcurgerea următorilor pași.

P1. Definirea obiectelor aplicației DCSP.

Plecând de la tipul de problemă ce se implementează se vor defini obiectele aplicației DCSP. În figura 5.23 se prezintă o soluție de modelare a agenților și a suprafeței de lucru a aplicației. Ca și exemple de modelare se propun *breeds [queens]* (pentru modelarea agenților asociați reginelor din problema celor n regine) sau *breeds [vertices]* (pentru modelarea agenților asociați fiecărui nod din problema colorării grafurilor).

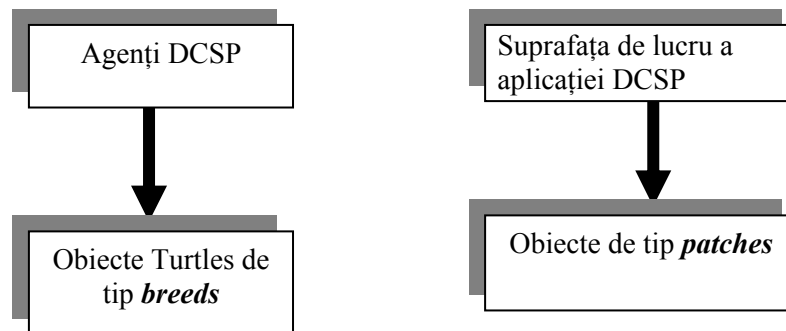


Figura 5.23. Identificarea obiectelor aplicației DCSP

În schimb, pentru modelarea suprafeței aplicației sunt folosite obiecte de tip *patches*. În funcție de ce reprezintă acești agenți ei sunt reprezentați pe suprafața Netlogo. În figura 5.24 sunt prezentate două modalități NetLogo de reprezentare a agenților de tip *regine*, respectiv *noduri*.

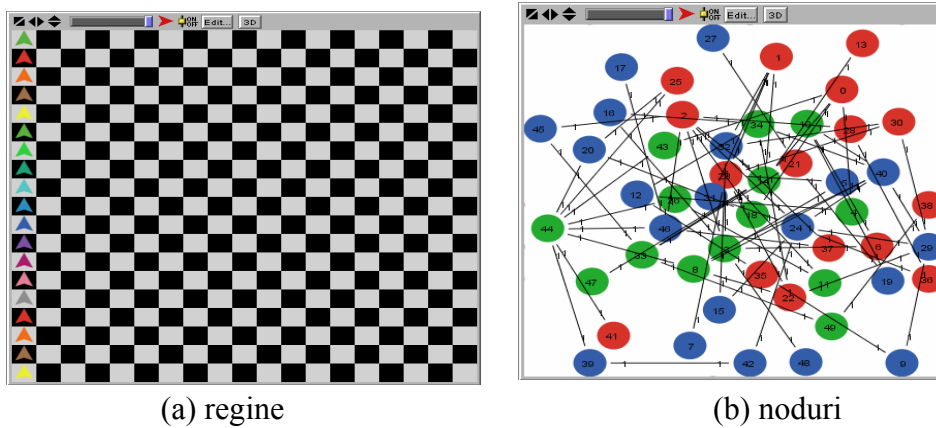


Figura 5.24. Exemple de reprezentare a agenților pe suprafața NetLogo

P2. Manipularea mesajelor. Canalul de tip FIFO pentru mesaje.

Orice agent păstrează contextul de lucru sub forma a cel puțin două structuri proprietare: *current_view* și lista sa *nogood*. Acest context este folosit pentru a lua decizii, inclusiv la construirea mesajelor. Pentru modelul propus, structurile de date ce memorează contextul de lucru al fiecărui agent se pot simula prin intermediul unor liste. O soluție este prezentată în figura 5.25 (a)

Manipularea mesajelor presupune în primul rând reprezentarea acestora. Acest lucru se poate realiza prin utilizarea unor liste indexate. Pentru reprezentarea mesajelor complexe, ce conțin foarte multe informații, Netlogo permite folosirea listelor de liste (elementele listei sunt de asemenea liste). În figura 5.25.(b) este prezentat modul de reprezentare a principalelor mesaje întâlnite la tehnicile asincrone. Simularea cozilor de mesaje pentru fiecare agent se poate face folosind liste Netlogo, pentru care se definesc rutine de tratare corespunzătoare principiilor FIFO (figura 5.25.(c)). Aceste structuri păstrează mesajele recepționate de agent.

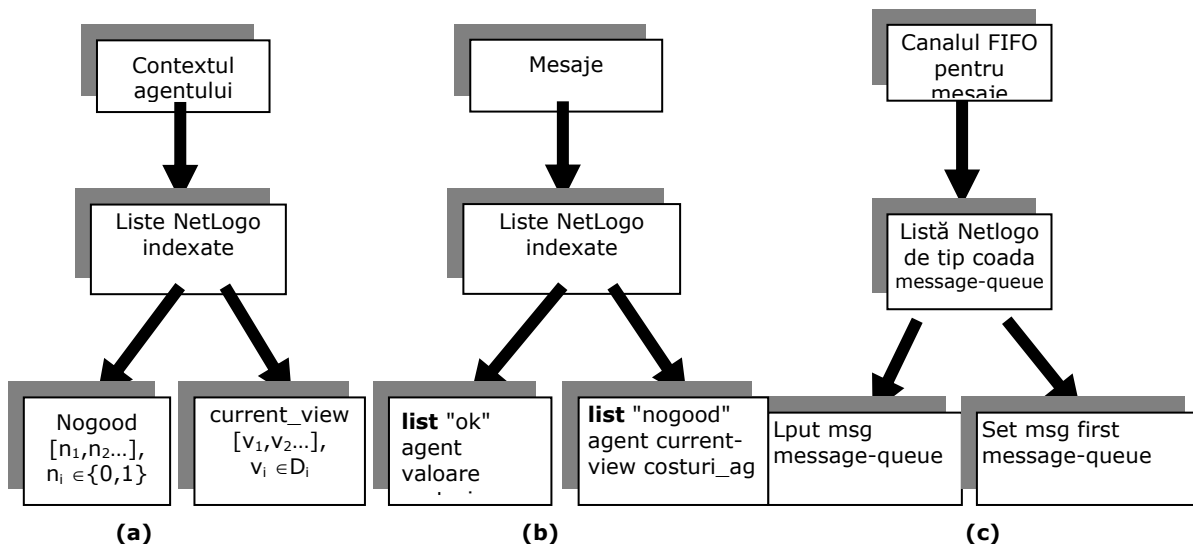


Figura 5.25. Structurile necesare manipulării mesajelor

Plecând de la elementele NetLogo prezentate în figura 5.25, se pot construi trei proceduri de manipulare a mesajelor din coada de mesaje, rutine prezentate în figura 5.26.

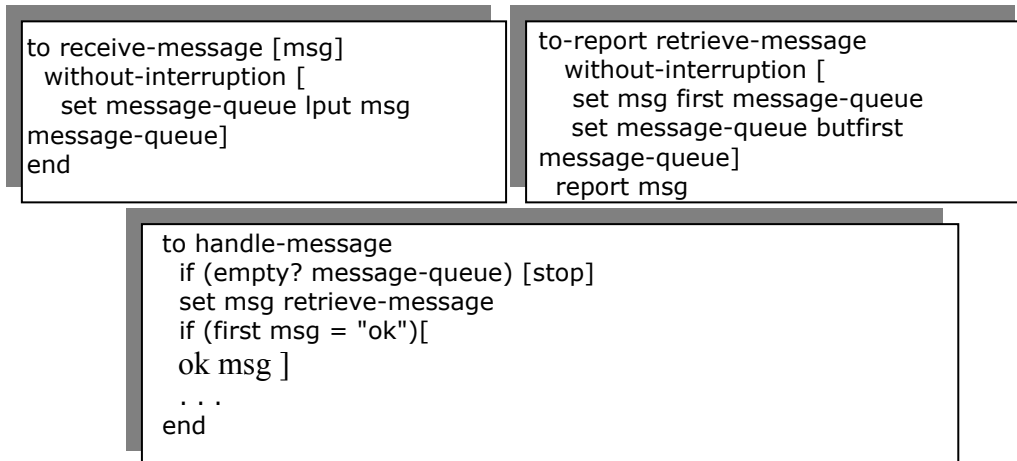


Figure 5.26. Manipularea mesajelor.

Prima rutină *receive-message* (figura 5.26) este utilizată pentru recepționarea unui nou mesaj. A doua rutină *retrieve-message* are ca scop extragerea unui mesaj din coada de așteptare, ea fiind apelată în rutina de tratare a mesajelor. Ultima rutină (prezentată și în paragraful 5.3.) *handle-message* identifică tipul de mesaj, apelând rutina corespunzătoare de tratare a acestuia.

P3. Inițializarea aplicației și a fiecărui agent. "Programul principal" al aplicației.

Inițializarea aplicației presupune construirea agenților și a suprafeței de rulare pentru aceștia. Odată cu construirea agenților se fac și inițializările necesare. În mod obișnuit se inițializează contextul de lucru al agentului (*current-view*), cozile de mesaje, variabile ce contorizează efortul depus de agent.

În figura 5.27 sunt prezentate cele două rutine de inițializare a aplicației și de inițializare a agenților.

Suprafața aplicație trebuie să conțină obiecte NetLogo prin intermediul cărora să se controleze parametrii de definire a fiecărei probleme: numărul de agenți, densitatea grafului constrângerilor, numărul de culori. Pentru aceasta se pot folosi obiecte Netlogo de tip *slider*. Aceste obiecte permit definirea și monitorizarea parametrilor fiecărei probleme.

Pentru rularea aplicației se propune introducerea unui obiect grafic de tip *button* și setarea proprietății *forever*. În felul acesta, codul atașat sub forma unei proceduri NetLogo (ce se aplică la fiecare agent) va rula continuu, până la golirea cozilor de mesaje și întâlnirea comenzii *Stop* (care în NetLogo oprește execuția unui agent). Soluția prezentată în figura 5.28 se bazează pe utilizarea comenzii *ask*. Această comandă NetLogo execută o sincronizare a execuției fiecărui agent.

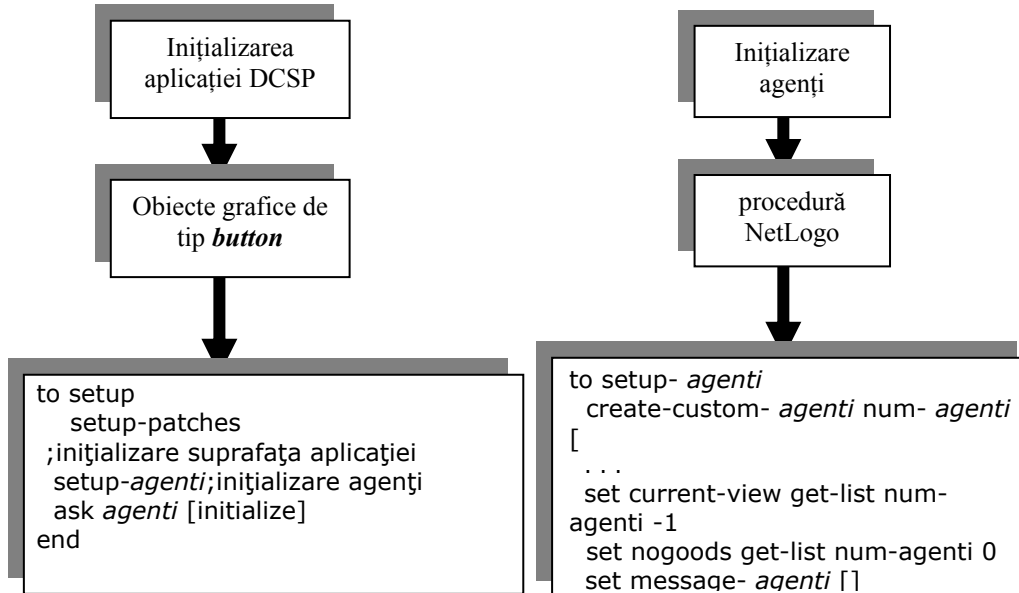


Figura 5.27. Inițializarea aplicației DCSP

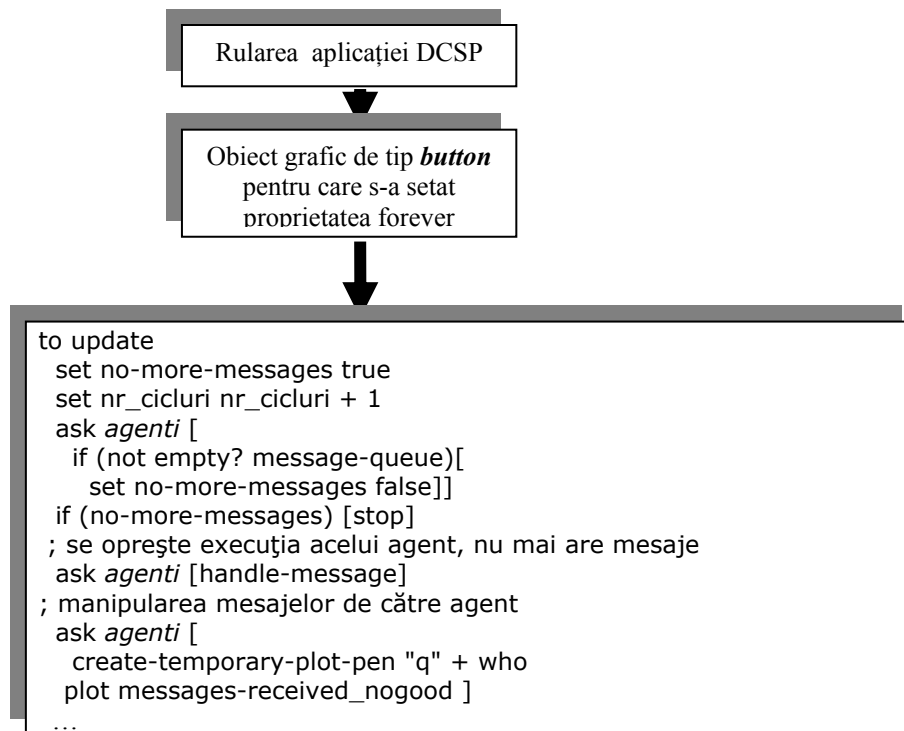


Figura 5.28. Procedura de rulare a aplicației DCSP pentru sistemul SEIS.

O altă observație importantă este legată de atașarea butonului grafic *observatorului* (figura 5.28). Utilizarea acestei soluții permite obținerea unei soluții de implementare cu sincronizarea execuției agenților. În acest caz, *observatorul* va fi cel care va iniția oprirea execuției aplicației DCSP. Acest lucru va fi realizat în momentul în care primește comanda *stop* de la fiecare agent. În figura 5.28 procedura *update* este atașată și manipulată de *observator*. Aceste elemente conduc la sistemul multi-agent cu sincronizarea execuției agenților.

Dacă se dorește obținerea unui sistem cu operarea asincronă se va utiliza cea de-a doua metodă de detecție ce presupune o altă rutină *update*. Această nouă rutină *update* va fi atașată la un obiect grafic de tip *button* ce este atașat și manipulat de agenții de tip *turtle* (agenții simulați erau de tip *breed* ce reprezintă un caz particular de *turtle*). O astfel de soluție este prezentată în figura 5.29.

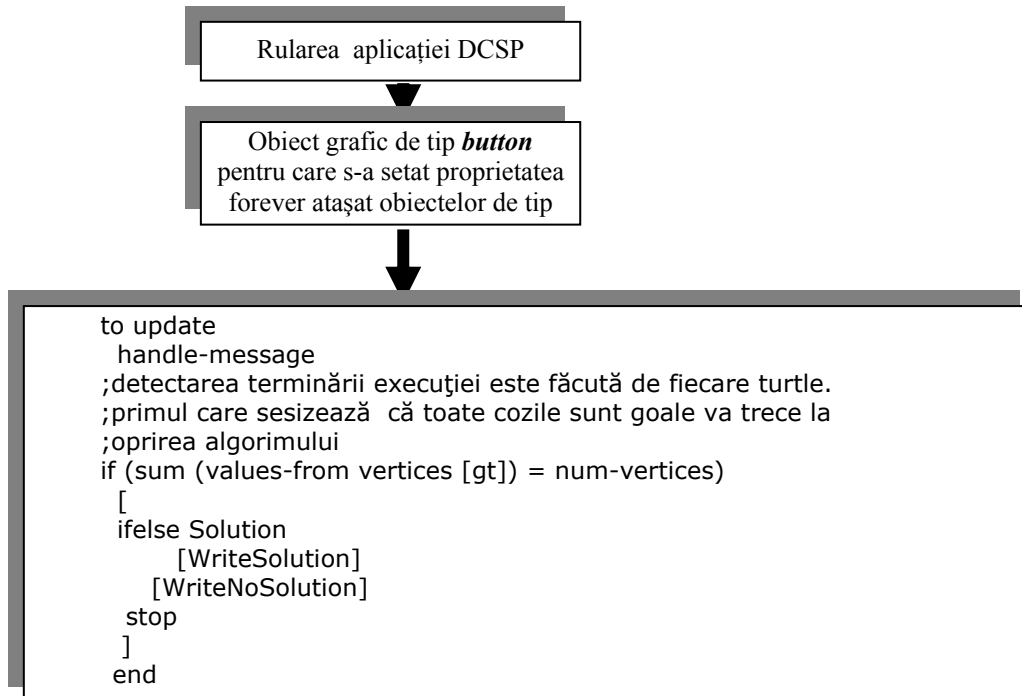


Figura 5.29. Procedura de rulare a aplicației DCSP pentru sistemul SIEAS.

P4. Monitorizarea parametrilor de evaluare .

Modelul prezentat în acest capitol permite contorizarea diverselor costuri pentru obținerea soluției de către tehnicile de căutare asincrone. Acest lucru se poate face prin folosirea unor variabile globale atașate agenților. De exemplu, pentru contorizarea fluxului de mesaje principal se poate folosi câte o variabilă proprietară fiecărui agent (*messages-received_nogood* și *messages-received_ok*), variabilă ce trebuie incrementată în momentul generării și trimiterii unei mesaj. Această variabilă este incrementată în rutina de manipulare a mesajelor *handle-message*. De asemenea, pentru contorizarea efortului de lucru depus de agenți se folosesc două variabile *nr_constraintc* și *c-cks*. Aceste variabile rețin costurile

necesare pentru fiecare agent. Prin urmare, vor trebui totalizate aceste costuri. Un exemplu este prezentat în figura 5.30.

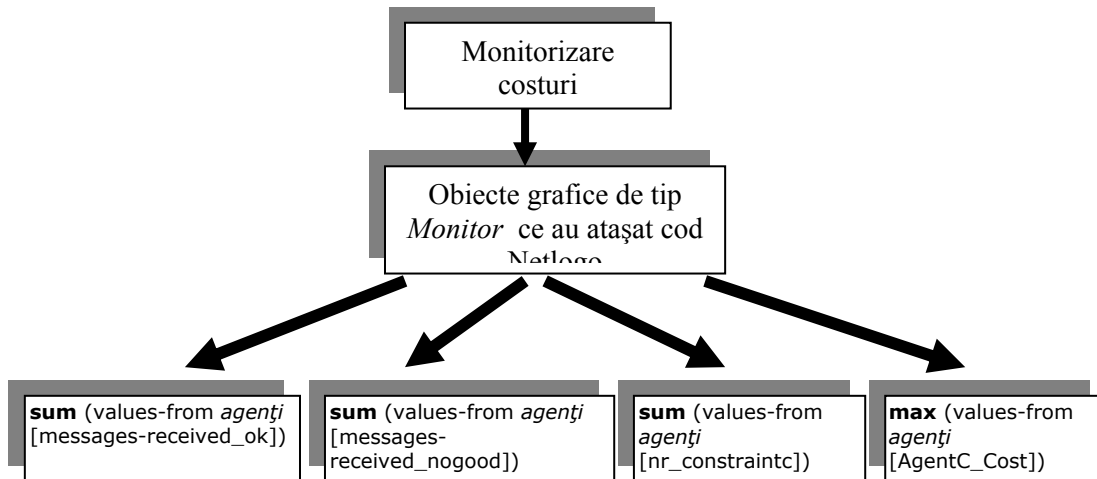


Figura 5.30. Monitorizarea parametrilor de evaluare pentru cele două sisteme

Aplicarea metodologiei prezentate anterior permite implementarea și evaluarea oricărei tehnici de căutare asincrone.

În figura 5.31 este prezentată captura unei implementări pentru tehnica AWCS ce folosește sistemul multi-agent SIEAS.

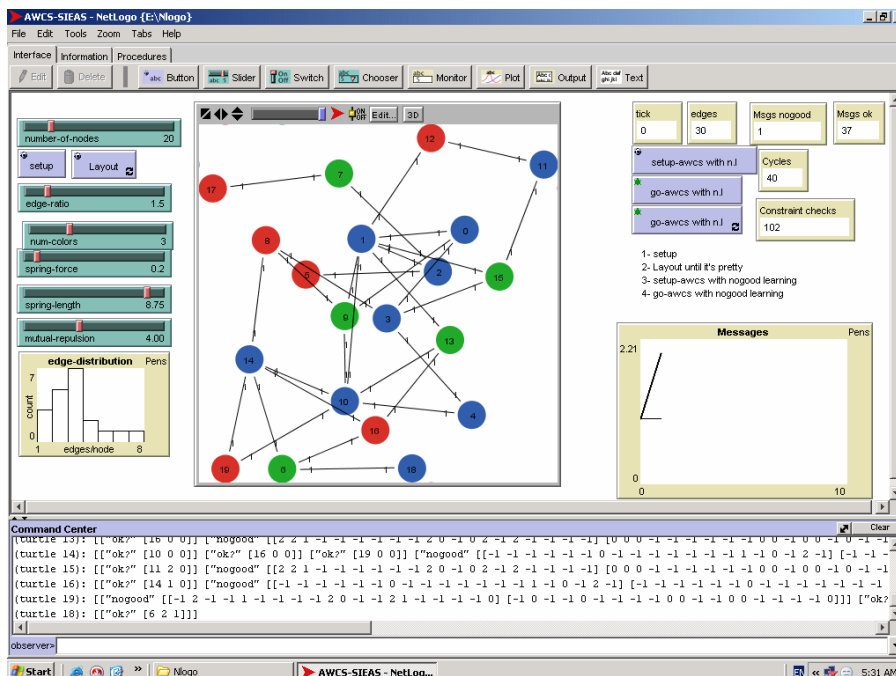


Figura 5.31. Sistemul multi-agent SIEAS utilizat la implementarea tehnicii AWCS

5.7. Concluzii.

În acest capitol, pornind de la facilitățile oferite de mediul NetLogo, se propune construirea unui model general de implementare și evaluare pentru tehnicile asincrone, model care utilizează mediul NetLogo ca suport de simulare în studiul tehnicilor asincrone.

În consecință s-a propus un model general de implementare și evaluare pentru tehnicile asincrone. Modelul propus presupune identificarea obiectelor NetLogo necesare pentru implementarea tehnicilor asincrone (agenți, mesaje, cozi de mesaje, ordinea agenților) și a interfeței de interacțiune cu utilizatorul. S-au propus soluții pentru simularea obiectelor oricărei aplicații DCSP. De asemenea, s-au propus soluții de contorizare a costurilor obținerii unei soluții utilizând diverse metrici. Acest lucru permite evaluarea performanțelor tehnicilor asincrone și a eventualelor îmbunătățiri ale acestora. Se poate considera că modelul propus este primul model în NetLogo care permite implementarea și evaluarea tehnicilor asincrone după mai multe criterii de evaluare. De asemenea, modelul permite studierea comportamentului agenților pentru diverse tehnici, studierea costurilor fiecărui agent.

Sunt propuse două metode de detecție a terminării algoritmilor, metode ce permit construirea a două sisteme multi-agent (SEIS-sistem de implementare și evaluare cu sincronizarea execuției agenților și SEIAS-sistem de implementare și evaluare cu operarea asincronă a agenților) pentru evaluarea corectă a performanțelor tehnicilor asincrone. Este posibil să se facă comparații pentru tehnicile asincrone, pentru a vedea care variantă de implementare este de preferat: sincron sau complet asincron. Se poate studia comportamentul agenților în diverse situații și identificarea unor posibile îmbunătățiri ale performanțelor tehnicilor asincrone.

O altă facilitate foarte importantă, este legată de faptul că sistemul NetLogo, prin intermediul sistemelor multi-agent definite, permite și simularea altor situații din practică, cum ar fi apariția întârzierilor în transmisia mesajelor. Se pot introduce pauze în prelucrarea mesajelor prin intermediul rutinelor handle-message și studia comportamentul agenților în cazul aparițiilor de întârzieri în furnizarea mesajelor. De asemenea, se pot simula situații în care este nevoie de controlul canalelor de comunicații, cum ar fi filtrarea mesajelor (folosită în capitolele următoare).

Aceste două sisteme multi-agent vor fi utilizate în capitolele următoare la implementarea și identificarea unor îmbunătățiri pentru câteva din tehnicile asincrone.

Ca o concluzie generală, se poate afirma că modelul realizat împreună cu cele două sisteme multi-agent pot fi folosite pentru studiul și analiza tehnicilor asincrone.

Elementele evidențiate în cadrul acestui capitol au fost publicate în [MusBP05] și [MusJP06].

6. STUDIU COMPARATIV AL TEHNICILOR DE CĂUTARE ASINCRONE

Complexitatea tehnicilor asincrone este o temă de studiu foarte importantă pentru cei care realizează cercetări în acest domeniu. Datorită comunicațiilor asincrone, modelul distribuit este unul non-determinist. Într-adevăr, un program distribuit poate avea rulări diferite pentru același set de date, în funcție de programarea evenimentelor. Prin urmare, trebuie analizate foarte multe încercări, trebuie verificat cazul cel mai nefavorabil peste toate aceste posibile scheme.

În această capitol este prezentat un studiu comparativ pentru cele mai importante tehnici asincrone, studiu experimental bazat pe implementarea și evaluarea acestor tehnici folosind cele două modele prezentate anterior. Scopul principal al acestui studiu este de a studia comportamentul agenților în cele două situații de implementare: cu sincronizarea execuției agenților și execuția asincronă a agenților. De asemenea, sunt analizate comparativ performanțele tehnicilor din cele două familii identificându-se pentru fiecare clasă modelul potrivit de implementare și evaluare, în funcție de costurile de obținere a soluției. Studiul investighează eficiența tehnicilor asincrone, în raport cu fluxul de mesaje schimbate de agenți, numărul de cicluri consumați pentru găsirea soluției și constrângerile verificate, comparativ pentru cele două modele prezentate anterior.

În literatura de specialitate nu există referințe despre studii care să investigheze comparativ comportamentul tehnicilor asincrone în cele două situații. Prin urmare, este interesant de investigat oportunitatea sincronizării execuției agenților în cazul tehnicilor asincrone. Sunt investigate comportamentele mai multor tehnici asincrone în două cazuri: agenții executa asincron prelucrarea mesajelor recepționate (situația reală din practică) și cazul sincron, în care se face o sincronizarea a execuției agenților. Cu alte cuvinte, în cazul sincron agenții executa un ciclu de calcul în care prelucrează un mesaj din coada de mesaje (dacă există), după care se face o sincronizarea așteptându-se finalizarea de către ceilalți agenți a prelucrării mesajelor lor.

Plecând de la comportamentul acestor tehnici, în acest capitol sunt propuse mai multe soluții de îmbunătățire a performanțelor prin introducerea sincronizării parțiale a execuției agenților și introducerea managementului mesajelor pentru aceste tehnici.

În partea de început a capitolului se definesc condițiile experimentale în care s-au desfășurat experimentele, apoi se prezintă rezultatele experimentale pentru două mari familii asincrone: familia ABT și familia AWCS (pe baza celor două modele). Pe baza acestor experimente, se propune o soluție de introducere a sincronizării execuției agenților, soluție ce permite reducerea costurilor în căutarea soluției. Apoi, este studiată redundanța mesajelor și sunt oferite mai multe soluții de eliminare sau reducere a acesteia.

Acest propuneri permit îmbunătățirea performanțelor pentru câteva din tehnicile de căutare asincrone analizate.

6.1. Condiții experimentale.

În acest paragraf sunt prezentate condițiile experimentale utilizate în această teză la realizarea tuturor experimentelor, pe baza modelului prezentat anterior în capitolul 5. Cele două sisteme multi-agent prezentate în capitolul 5 au permis implementarea tehnicilor asincrone și studiul acestor tehnici în diferite situații. Pe baza acestor studii, ce vor fi prezentate în capitolele următoare, s-au identificat anumite îmbunătățiri.

Evaluarea performanțelor tehnicilor asincrone presupune utilizarea unor unități de măsură care să asigure o anumită independență față de limbajele de programare folosite la implementarea acestora. Aceste unități de măsură permit evaluarea tehnicilor asincrone din mai multe puncte de vedere, cum ar fi efortul local și efortul global depus de agenți, încărcarea rețelei datorată fluxului de mesaje schimbat [MusPO04]. În paragraful 3.3.2. au fost prezentate mai multe unități de măsură ce pot fi folosite la evaluarea tehnicilor asincrone.

Îmbunătățirile propuse în capitolele următoare au fost evaluate folosind anumite unități de măsură dintre cele prezentate în 3.3.2. Pentru a face evaluarea performanțelor tehnicilor asincrone analizate, aceste tehnici au fost implementate în mediul NetLogo 3.0.2, folosind limbajul NetLogo ([Wil99], [MAS Netlogo Models-a,b]) pe baza modelului prezentat în capitolul 5. În cele mai multe situații s-a utilizat sistemul multi-agent SEIS, acesta permițând și contorizarea ciclurilor.

Suportul de calcul a fost dat de o rețea client-server bazată pe Red Hat Linux, formată dintr-un server IBM și 14 stații de lucru. Platforma NetLogo împreună cu cele două sisteme SEIS și SEIAS a fost instalată pe fiecare dintre calculatoarele din rețea. Fiecare calculator a permis rulări pentru anumite tehnici, în anumite condiții, selectate pentru fiecare experiment.

Tehnicile asincrone au fost aplicate pentru problema colorării unui graf în varianta distribuită. Pentru problema colorării grafurilor s-au considerat patru tipuri de probleme definite ca în [MJPL92] în funcție de parametrii n -numărul de noduri/agenți, $k=3$ culori și m - numărul de legături între agenți.

În funcție de densitatea grafului de constrângeri (parametrul m) s-au utilizat 2 clase de probleme:

- grafuri cu puține legături, numite *sparse problems*, având $m=n \times 2$ legături.
- grafuri cu un număr special de legături, numite *difficult problems*, având $m=n \times 2.7$ legături.

Pentru fiecare clasă de problemă s-au generat aleator câte 10 grafuri (având densitățile precizate anterior) cu dimensiunile $n=15$, $n=20$, $n=30$ și $n=40$ noduri. La fiecare generare s-au reținut doar grafurile conexe, în caz contrar generându-se alt graf. Practic, în funcție de dimensiune s-au selectat două categorii de probleme:

- dimensiune mică $n=15$, $n=20$ noduri/agenți.
- dimensiune mare $n=30$, $n=40$ noduri/agenți.

Astfel s-au obținut patru clase de probleme, variind în funcție de dimensiune și densitate.

Pentru fiecare variantă s-au executat un număr de 100 încercări, reținându-se media valorilor măsurate. Cu alte cuvinte, pentru fiecare din cele patru clase probleme, au fost generate aleator 10 grafuri cu densitățile precizate anterior, pentru fiecare graf generându-se aleator 10 valori inițiale. Fiecare dintre versiunile de tehnici obținute au fost evaluate cu aceleași valori inițiale.

Pentru a putea face evaluarea tehnicilor asincrone de căutare (variantele de bază și variantele cu îmbunătățiri), pentru fiecare rulare s-au selectat mai mulți parametrii dintre cei prezentați în paragraful §4.1.2, după cum urmează:

- **Numărul total de mesaje-*TM***. Acest parametru permite evaluarea încărcării rețelei. Contorizarea fluxului de mesaje a constat în numărarea mesajelor de tip ok/info și nogood/back schimbate de agenți. Folosind modelul de implementare propus, la fiecare agent s-a reținut numărul de mesaje schimbate. În final, s-a totalizat cantitatea de mesaje de tip ok/info (*Tok*), respectiv nogood/back(*Tnogood*), reținută la fiecare agent.
- **Numărul total de valori nogood stocate-*TNGS***. Această unitate de măsură permite evaluarea algoritmilor asincroni din punct de vedere al eficienței mesajelor nogood. La fiecare agent s-a reținut numărul de mesaje nogood stocate, în final totalizându-se cantitatea de mesaje de nogood/back, reținută la fiecare agent.
- **Numărul total de constrângeri-*TCcks***. Acest parametru o măsură a timpului global consumat de agenții implicați. Pentru fiecare agent s-a reținut numărul de constrângeri verificate. Practic s-a evaluat pentru fiecare agent efortul local depus de el. În final s-a totalizat această cantitate de constrângeri verificate.
- **Numărul de constrângeri concurente verificate-*TC-cks***. Pentru fiecare agent s-a reținut numărul de constrângeri concurente verificate. Pentru a obține acest număr s-a aplicat celor două sisteme SEIS și SEIAS algoritmul din [MKRZ02]. În final s-a totalizat cantitate de constrângeri concurente verificate.
- **Numărul de cicluri necesari pentru obținerea soluției-*Tciclii***. Pentru cazul utilizării sistemului SEIS s-au numărat cicluri necesari obținerii soluției, practic numărul de apeluri pentru procedura *update*.

6.2. Analiza experimentală a tehnicilor din familia ABT.

În acest paragraf sunt evaluate tehnicile din familia ABT. Cu alte cuvinte, sunt evaluate cele două mari tehnici derivate din nucleul ABT kernel, prin eliminarea informațiilor învechite dintre agenți:

- tehnica ABT - obținută prin adăugarea legăturilor între agenții neconectați, legături devenite permanente.
- tehnica DisDB – care se remarcă prin faptul că nu necesită legături suplimentare. Informațiile învechite dintre agenți sunt eliminate în timp finit. Pentru aceasta agenții care execută backtrack, uită toate nogoodurile ce pot conține ipotetic valori învechite.

Fiecare din variantele ABT și DisDB a fost implementată apelând la cele modelul prezentat în capitolul anterior, fiecare agent tratând secvențial un singur mesaj din coada de mesaje, la un ciclu de calcul. S-au utilizat cele două sisteme de implementare și evaluare, obținându-se două tipuri de rulări :

- versiuni implementate în sistemul SEIS, notate cu ABT_1 și $DisDB_1$. Practic s-a rulat în condițiile sincronizării execuției agenților.
- versiuni implementate în sistemul SEIAS, notate cu ABT_2 și $DisDB_2$. Practic s-a rulat în condițiile operării asincrone a agenților.

În tabelul 6.1 sunt prezentate valorile parametrilor prezentați anterior, valori obținute pentru cele patru versiuni. În tabelul 6.1 s-a reținut cantitatea totală de mesaje ok și nogood, și cantitățile de constrângeri verificate. Nu s-a contorizat numărul de cicluri.

| | | n=20 | | n=30 | |
|--------------------|---------|----------|-----------|-----------|-----------|
| | | m=n*2 | m=n * 2.7 | m=n*2 | m=n*2.7 |
| ABT ₁ | TNogood | 336.23 | 481.88 | 3883.12 | 3936.20 |
| | TOk | 580.45 | 1615.48 | 8578.23 | 12343.88 |
| | Tcck | 23176.09 | 80834.37 | 957934.98 | 938790.08 |
| | Tc-ccks | 6543.07 | 16572.45 | 147128.29 | 123501.58 |
| ABT ₂ | TNogood | 203.15 | 366.94 | 3181.57 | 2196.52 |
| | TOk | 343.72 | 1438.48 | 6518.74 | 9943.55 |
| | Tcck | 17417.20 | 69332.91 | 763992.16 | 698240.00 |
| | Tc-ccks | 4468.28 | 7593.00 | 90601.22 | 45264.01 |
| | | | | | |
| DisDB ₁ | TNogood | 138.76 | 316.94 | 2803.34 | 3104.44 |
| | TOk | 300.04 | 722.89 | 6855.19 | 7235.88 |
| | Tcck | 18548.68 | 40841.66 | 603288.94 | 778016.08 |
| | Tc-ccks | 4526.52 | 8112.34 | 124728.67 | 154409.43 |
| DisDB ₂ | TNogood | 83.10 | 216.41 | 2785.65 | 2983.69 |
| | TOk | 213.72 | 556.03 | 6518.74 | 6878.05 |
| | Tcck | 12117.12 | 29850.88 | 585992.16 | 655243.39 |
| | Tc-ccks | 2468.48 | 3963.02 | 70605.97 | 82785.79 |

Tabelul 6.1. Rezultatele experimentale pentru versiunile ABT și DisDB

Analizând valorile din tabelul 6.1. se remarcă faptul că variantele în care agenții operează asincron au necesitat costuri mai mici relativ la fluxul de mesaje, dar și relativ la efortul depus de agenți (constrângeri verificate). Variantele cu sincronizarea execuției, indiferent de tehnica ABT sau DisDB, au necesitat costuri mult mai mari. Acest lucru arată că sincronizarea nu este recomandată în cazul acestor tehnici bazate pe o ordine statică a agenților.

Este posibil să existe o legătură între ordinea statică a agenților și sincronizarea execuției agenților. Practic, aceste tehnici ce folosesc o ordine statică, au necesitat costuri globale mult mai mari în cazul sincronizării, relativ la cazul asincron.

6.3. Analiza experimentală a tehnicilor din familia AWCS.

În acest paragraf sunt analizate rezultatele experimentale pentru tehnicile din familia AWCS. În acest studiu s-a implementat o varianta de bază introdusă în [Yok98] care s-a aplicat la tehnica nogood learning din [Hiro2000], obținându-se o variantă îmbunătățită (notată cu AWCS-nl). Pentru fiecare variantă s-au implementat câte două versiuni corespunzător celor două modele obținute:

- varianta de bază AWCS [YDIK98] cu sincronizarea execuției agenților: AWCS-nl₁. S-a utilizat sistemul SEIS.
- varianta de bază AWCS [YDIK98] cu operarea sincronă a agenților: AWCS-nl₂. S-a utilizat sistemul SEIAS.

Așa cum se știe, constrângerile verificate evaluează efortul local depus de fiecare agent, dar numărul de constrângeri concurente verificate permite evaluarea efortului fără a lua în calcul faptul că agenții lucrează concurent. Analizând rezultatele din tabelul 6.2, se remarcă faptul că sincronizarea execuției agenților a redus efortul local. În schimb, odată cu creșterea dimensiunii problemelor (40 noduri), varianta asincronă AWCS-nl₂ a necesitat eforturi mult mai mari față de varianta cu sincronizare. Diferențe mari de efort local apar mai ales pentru problemele de densitate mare (cunoscute și sub numele de probleme dificile).

| | | n = 30 | | n = 40 | |
|----------------------|---------|---------|----------|---------|-----------|
| | | m=n x2 | m=n x2.7 | m=n x2 | m=n x2.7 |
| AWCS-nl ₁ | TNogood | 575.84 | 3639.52 | 713.60 | 24652.61 |
| | TOk | 1864.50 | 7624.27 | 2403.25 | 51132.39 |
| | Tcck | 2913.94 | 14482.23 | 3747.34 | 102388.82 |
| | Tc-ccks | 802.74 | 4351.37 | 824.10 | 21888.16 |
| AWCS-nl ₂ | TNogood | 502.77 | 2181.62 | 733.93 | 23259.95 |
| | TOk | 1625.23 | 23964.88 | 2422.19 | 85845.00 |
| | Tcck | 2628.08 | 45813.89 | 4163.19 | 387355.71 |
| | Tc-ccks | 662.13 | 2512.22 | 793.45 | 15099.00 |

Tabelul 6.2. Rezultatele experimentale pentru versiunile AWCS

Se remarcă totuși, că pentru probleme de densitate rară ($m=n \times 2.0$) variantele asincrone au avut costuri apropiate de variantele sincrone, chiar eforturi mai mici. Același comportament a fost întâlnit și relativ la fluxul de mesaje, varianta cu sincronizarea execuției a necesitat un flux de mesaje mai mic decât varianta asincronă.

6.4. Analiza experimentală a tehnicii DB.

În acest paragraf sunt analizate rezultatele experimentale pentru tehnica Distributed Breakout. În acest studiu s-a implementat varianta revizuită din [Yok00]. Pentru această variantă s-au realizat câte două implementări corespunzător celor două sisteme MAS obținute:

- varianta de bază DB [Yok00] cu sincronizarea execuției agenților: DB₁. S-a utilizat sistemul SEIS.
- varianta de bază DB [Yok00] cu operarea sincronă a agenților: DB₂. S-a utilizat sistemul SEIAS.

| | | n = 20 | | n = 30 | | n = 40 | |
|-----------------|----------|--------|----------|--------|----------|--------|----------|
| | | m=n x2 | m=n x2.7 | m=n x2 | m=n x2.7 | m=n x2 | m=n x2.7 |
| DB ₁ | TM | 1868 | 2561 | 5458 | 8900 | 8962 | 20848 |
| | Timprove | 914 | 1259 | 2687 | 4412 | 4439 | 10369 |
| | Tok | 951 | 1299 | 2757 | 4484 | 4519 | 10475 |
| | Tcck | 1433 | 1873 | 4127 | 7883 | 6952 | 21820 |
| DB ₂ | TM | 1868 | 2564 | 5458 | 8903 | 8963 | 20852 |
| | Timprove | 916 | 1264 | 2701 | 4418 | 4445 | 10376 |
| | Tok | 951 | 1300 | 2757 | 4485 | 4518 | 10476 |
| | Tcck | 1449 | 1889 | 4160 | 7952 | 7003 | 21989 |

Tabelul 6.3. Rezultatele experimentale pentru versiunile DB

Tehnica DB are anumite particularități comparativ cu celelalte tehnici de căutare asincrone. Din acest motiv s-a contorizat numărul total de mesaje transmise (TM), numărul de mesaje de tip ok (Tok) și numărul total de mesaje improve recepționate (Timprove). De asemenea, pentru evaluarea efortului local s-a contorizat numărul total de constrângeri verificate *TCcks*.

Analizând rezultatele din tabelul 6.3, se remarcă faptul că cele două variante DB₁ și DB au necesitat costuri apropiate în ceea ce privește obținerea soluției. Indiferent de dimensiunea problemei și densitatea grafului constrângerilor, sincronizarea execuției agenților nu a redus efortul local. Totuși, se observă reduceri mici de costuri în obținerea soluției (mai ales în ceea ce privește efortul local depus de agenți), pentru cazul cu sincronizarea execuției agenților.

Spre deosebire de celelalte tehnici de cautare asincrone analizate, tehnica DB s-a comportat identic în cele două cazuri de rulare. O explicație este legată de modul de comportament al agenților. Fiecare agent rulează alternativ în două moduri de operare: modul *ok* și modul *improve*.

6.5. Introducerea sincronizării în cazul tehnicilor de căutare asincrone.

Tehnicile de căutare asincrone au comportamente diferite în cazul apariției întârzierilor în furnizarea mesajelor. Acest lucru are ca efect comportamente diferite în cazul sincronizării execuției agenților. Analiza rezultatelor din paragrafele anterioare și în special din paragraful §6.3 arată că sincronizarea poate conduce la o reducere a costurilor pentru anumite tehnici.

În literatura de specialitate nu există referințe despre studii care să investigheze comparativ comportamentul tehnicilor asincrone în cele două situații și nici soluții de obținere a acestei sincronizări. Experimentele anterioare au arătat că sincronizarea execuției agenților reduce costurile obținerii soluției pentru anumite familii de tehnici de căutare asincrone. Plecând de la aceste observații, în acest paragraf sunt introduse două soluții de obținere a sincronizării execuției agenților pentru toate tehnicile de căutare asincrone, dar în special pentru tehnicile ce folosesc o ordine dinamică pentru agenții (familia AWCS).

Sistemul cu sincronizare SEIS, prezentat în capitolul 5 și utilizat la evaluarea din paragrafele §6.2 și 6.3, se bazează pe elementele Netlogo, utilizându-se comanda *ask* pentru execuția procedurilor de tratare a mesajelor agenților. Această comandă face o sincronizare a comenzilor atașate agenților astfel încât se obține automat sincronizarea execuției agenților. În realitate, agenții rulează concurrent și asincron, fiecare agent tratând mesajele sale din coada de mesaje în ordinea în care sosesc, fără a aștepta finalizarea calculelor de către ceilalți agenți. În paragrafele următoare sunt propuse două soluții de sincronizare generale, care nu depind de un anume limbaj de programare.

6.5.1 Sincronizarea completă a execuției agenților.

Soluția propusă presupune folosirea unei zone comune de memorie la care au acces agenții și în care să fie stocate anumite informații necesare tuturor agenților. În această zonă comună de memorie se stochează valoarea unei variabile globale *Nragents*, accesibilă tuturor agenților. Inițial, această variabilă este inițializată cu numărul de agenți. Fiecare agent va marca starea execuției calculelor sale în variabila *Nragents*. Practic, fiecare agent A_i în momentul lansării rutinei de

tratare a mesajelor decrementează valoarea variabilei *Nragents* cu 1. În schimb, în momentul în care agentul finalizează de tratat mesajele din coada sa de mesaje (secvențial sau în pachete) incrementează valoarea variabilei *Nragents* cu 1. Cu alte cuvinte variabila *Nragents* permite identificarea în orice moment a situației execuției agenților. Dacă această variabilă, la un moment dat are ca valoare numărul de agenții înseamnă că toți agenții au terminat de tratat mesajele din coada de mesaje. Acesta poate deveni un moment de sincronizare, care se poate reține prin intermediul unei variabile *Sincronizare*.

Implementarea oricărei tehnici asincrone presupune construirea unor rutine de execuție a calculelor de către fiecare agent. În modelele de implementare propuse în capitolul 5 această rutină este denumită *update*. De asemenea, fiecare agent are nevoie de o altă rutină de tratare a mesajelor sale (fiecare tehnică diferă prin faptul că tratează diferit acele mesaje) numită în modelele din capitolul 5 *handle-message*. Pentru prezentarea acestei metode se vor păstra aceste notații folosite în capitolul 5 la prezentarea celor două sistem multi-agent.

În figura 6.1 este prezentată nouă rutină *update-3* ce este executată de fiecare agent. Fiecare agent verifică dacă s-a atins starea de sincronizare, în caz afirmativ rulează propria procedură de manipulare a mesajelor (*handle-message*). Apoi, agentul intră în starea de așteptare, până ce variabila *Nragents* devine egală cu numărul agenților, pentru a putea trece la un nou ciclu de execuție a calculelor sale. În felul acesta se face o sincronizare a execuției agenților (marcată în figura 6.1 prin *Sincronizare* cu true).

```

to update
  if Sincronizare
  [
    handle-message
  ]
  ifelse Solution
  [ WriteSolution]
  [ WriteNoSolution]
  stop
  ]
  while [Nragents != number-of-agent]
  [
    wait
    set Sincronizare false
  ]
  set Sincronizare true
end

```

Figura 6.1 Procedură update -3

În figura 6.2 este prezentată noua rutină de tratare a mesajelor *handle-message - 3*, pe care fiecare agent o apelează pentru prelucrarea mesajelor sale. În această rutină se observă faptul că agentul decrementează variabila globală *Nragents* la intrarea în procedură. În final, după ce agentul a tratat un mesaj sau mai multe mesaje (în pachete), se face incrementarea variabilei *Nragents*. Varianta din figura 6.2 prelucrează un singur mesaj la un ciclu.

În figura 6.2 se observă apelul celor două proceduri tipice de manipulare a mesajelor ok (info în cazul nucleului ABT) sau nogood (back în cazul nucleului ABT).

Pentru anumite tehnici pot fi apelate și alte rutine de tratare a mesajelor (de exemplu pentru ABT tratarea mesajelor de tip add-link).

```

to handle-message
  set Nragents Nragents - 1
  if not empty? message-queue
  [
    set msg retrieve-message
    set gt 0
    if (first msg = "ok?")
    [
      handle-ok-message msg
    ]
    if (first msg = "nogood")
    [
      handle-nogood-message msg
    ]
  ]
  if (empty? message-queue)
  [
    set gt 1
    stop
  ]
  set Nragents Nragents + 1
end
    
```

Figura 6.2 Procedură handle-message-3

Cele două proceduri de manipulare a mesajelor se pot aplica în orice limbaj ales la implementare. În particular, aceste două rutine se pot aplica pentru modelul asincron propus în capitolul 5 obținându-se o sincronizare a execuției agenților. Astfel, plecând de la elementele de implementare prezentate în capitolul 5 se poate obține un al treilea model de implementare și evaluare pentru tehnicile asincrone, în NetLogo.

6.5.2 Sincronizarea parțială a execuției agenților.

A doua soluție propusă în acest capitol constă în sincronizarea agenților vecini. Spre deosebire de prima variantă, fiecare agent va aștepta finalizarea calculului agenților vecini cu care este conectat, aflați înaintea lui în ordinea lexicografică. Această soluție permite o sincronizare parțială a execuției agenților. Ea nu necesită existența agentului central.

Această a doua soluție de sincronizare parțială necesită introducerea unui mesaj de sincronizare. Acest mesaj este asemănător unui jeton pe care trebuie să îl recepționeze fiecare agent pentru a putea să treacă la execuția ciclului său de calcul. Pentru aceasta, fiecare agent utilizează un al doilea canal de comunicație pentru recepționarea mesajelor de sincronizare (primul canal este folosit pentru recepționarea mesajelor de tip ok sau nogood).

În figura 6.3 este prezentată nouă rutină *update-4* ce este executată de fiecare agent, pentru această a doua soluție. Fiecare agent verifică dacă s-a atins starea de sincronizare, verificând dacă a recepționat mesajele de sincronizare de la

agenții vecini. Pentru verificarea stării de sincronizare, în figura 6.5 este prezentată o funcție în cod NetLogo. În figura 6.4 este prezentată noua procedură de mînuire a mesajelor, *handle-message-4*. Spre deosebire de prima soluție, după procesarea mesajelor, se trimite mesajul de sincronizare la agenții vecini.

Protocolul de lucru presupune parcurgerea de fiecare agent a două etape:

- fiecare agent procesează toate mesajele din canalul său principal de comunicatii executând un ciclu de calcul. În momentul în care canalul principal de mesaje este gol, trimite un mesaj de tip „sincron” la agenții vecini aflați înaintea lui în ordinea lexicografică.
- după fiecare ciclu, agenții verifică dacă au recepționat mesajele de sincronizare de la toți vecinii săi, aflați după el în ordinea lexicografică, așteptând în caz contrar recepționarea acestor mesaje.

```

to update
  if Sincronizare
  [
    handle-message
    set Sincronizare false
  ]
  While [ nu a recepționat mesajul sincron de la toți vecinii săi aflați după el în ordine lexicografică – functia VerificareSincronizare
  [ wait
    set Sincronizare false
  ]
  set Sincronizare true
end

```

Figura 6.3 Procedura update-4

```

to handle-message
  while [not empty? message-queue]
  [
    set msg retrieve-message
    set gt 0
    if (first msg = "ok?")[
      handle-ok-message msg]
    if (first msg = "nogood")[
      handle-nogood-message msg]
  ]
  set msg list "sincron" who
  send msg to AgentiiVecini // se trimite doar la vecinii aflați înainte în ordinea lexicografică
  if (empty? message-queue)
  [
    set gt 1
    stop ]
end

```

Figura 6.4 Procedură handle-message-4

```

to VerificareSincronizare
  while [not empty?VeciniAg and (not empty? message-queue1)]
  [ set lstmsg []
    foreach message-queue1
    [
      set msg ?
      set tip first msg
      if (tip = "sincron" )
      [
        set lstmsg lput ? lstmsg
        set ag item 1 msg
        set VeciniAg remove ag VeciniAg
      ]
    ]
    foreach lstmsg
    [
      set message-queue1 remove ? message-queue1
    ]
  ]
  if empty? VeciniAg
  [
    set continuare true
    ;set message-queue1 []
  ]
end
    
```

Figura 6.5 Funcția de verificare a stării de sincronizare

Există câteva diferențe între cele două soluții, diferențe ce apar în cele două rutine update (figurile 6.1 și 6.3) și handle-message (figurile 6.2 și 6.4). Pentru prima soluție, agenții intră în starea de așteptare până când variabila Nragents devine egală cu numărul de agenți. În schimb, pentru a doua soluție de sincronizare, agenții așteaptă să recepționeze mesajul sincron de la toți vecinii săi aflați înaintea lui în ordinea lexicografică. Aceste prime modificări apar în rutina update. Relativ la cealaltă rutină de tratare a mesajelor, pentru a doua soluție se trimite mesajul sincron la vecinii săi aflați înainte în ordine lexicografică (la finalul procesării mesajelor).

6.5.3 Analiza experimentală a efectului sincronizării parțiale și complete a execuției agenților.

În acest paragraf sunt prezentate rezultatele experimentale pentru acest studiu, obținute în urma implementării și evaluării tehnicilor asincrone în condițiile introducerii sincronizării parțiale a execuției agenților. Implementarea și evaluarea s-a realizat pe baza modelului prezentat în capitolul 5 și a soluțiilor din paragrafele §6.5.1 și §6.5.2.

Experimentele s-au efectuat în aceleași condiții prezentate în paragraful §6.1. Pentru a putea face evaluarea celor două familii (variantele de bază și variantele cu sincronizare), s-a contorizat fluxul de mesaje (cantitatea de mesaje info și back schimbate de agenți), numărul de constrângeri verificate și numărul de constrângeri concurente verificate. Evaluările au fost făcute pentru cele două familii de tehnici.

6.5.3.1 Familia AWCS.

În cadrul familiei AWCS există mai multe variante ce se bazează pe construirea unor nogooduri eficiente (nogood learning) sau pe stocarea și folosirea acestor nogooduri în procesul de selecție al valorilor (nogood processor). În acest studiu s-a implementat varianta de bază introdusă în [YDIK98] la care s-a aplicat tehnica nogood learning din [HY00] obținându-se o variantă îmbunătățită (notată cu AWCS-nl). Pentru această variantă s-a considerat că fiecare agent tratează complet mesajele existente în coada sa de mesaje) și s-au făcut câte trei implementări corespunzător celor trei modele obținute:

- Variante implementate în sistemul SEIS: AWCS-nl₁. În aceste cazuri sincronizarea este realizată cu ajutorul comenzii "ask".
- Variante implementate în sistemul SEIAS: AWCS-nl₂. Nu există sincronizare, agenții operează asincron.
- Variante implementate în sistemul SEIAS modificat prin aplicarea metodelor de sincronizare introduse în paragrafele §6.4.1 și §6.4.2. : AWCS-nl₃ și AWCS-nl₄. Practic agenții rulează în condițiile unor sincronizări complete, respectiv parțiale.

În tabelul 6.4 sunt prezentate valorile obținute pentru versiunile AWCS analizate.

| | | n = 30 | | n = 40 | | n = 50 | |
|----------------------|---------|--------|----------|---------|----------|---------|-----------|
| | | m=n x2 | m=n x2.7 | m=n x2 | m=n x2.7 | m=n x2 | m=n x2.7 |
| AWCS-nl ₁ | TNogood | 126.66 | 902.57 | 575.84 | 3639.52 | 713.60 | 24652.61 |
| | TOk | 470.48 | 1918.56 | 1864.50 | 7624.27 | 2403.25 | 51132.39 |
| | Tcck | 856.43 | 4475.58 | 2913.94 | 14482.23 | 3747.34 | 102388.82 |
| | Tc-ccks | 307.12 | 1608.16 | 802.74 | 4351.37 | 824.10 | 21888.16 |
| AWCS-nl ₂ | TNogood | 129.86 | 1412.17 | 502.77 | 12181.62 | 733.93 | 93259.95 |
| | TOk | 456.06 | 2881/41 | 1625.23 | 23964.88 | 2422.19 | 185845.00 |
| | Tcck | 900.47 | 6659.52 | 2628.08 | 45813.89 | 4163.19 | 387355.71 |
| | Tc-ccks | 294.81 | 2243.28 | 662.13 | 12512.22 | 793.45 | 73099.00 |
| AWCS-nl ₃ | TNogood | 137.31 | 1137.93 | 534.27 | 3439.96 | 755.42 | 22394.24 |
| | TOk | 493.51 | 2374.80 | 1738.56 | 7129.70 | 2512.65 | 47181.16 |
| | Tcck | 894.40 | 5507.58 | 2618.45 | 13858.95 | 3943.26 | 93429.74 |
| | Tc-ccks | 319.11 | 1992.80 | 759.39 | 4109.20 | 865.93 | 20065.21 |
| AWCS-nl ₄ | TNogood | 133.24 | 1211.12 | 567.23 | 3672.32 | 723.15 | 23371.67 |
| | TOk | 471.54 | 2417.56 | 1799.98 | 7889.14 | 2579.42 | 50083.72 |
| | Tcck | 931.18 | 5863.72 | 2751.92 | 15219.11 | 4081.18 | 109657.25 |
| | Tc-ccks | 328.38 | 2101.82 | 795.28 | 4310.87 | 876.12 | 21011.11 |

Table 6.4. Rezultatele experimentale pentru versiunile AWCS în cazul introducerii sincronizării parțiale și complete a agenților

Analizând rezultatele din tabelul 6.4, se remarcă faptul că sincronizarea execuției agenților a redus efortul local, indiferent de varianta folosită (cea bazată pe comanda ask sau cea generală introdusă în acest articol). În schimb, odată cu creșterea dimensiunii problemelor (40 noduri), varianta asincronă AWCS-nl₂ a necesitat eforturi mult mai mari față de variantele cu sincronizare. Diferențe mari de efort local apar mai ales pentru problemele de densitate mare (probleme cunoscute sub numele de probleme dificile). Se remarcă faptul că pentru probleme de

densitate rară ($m = n \times 2.0$) variantele asincrone au avut costuri apropiate de variantele sincrone, chiar eforturi mai mici. Comparând cele două variante sincrone, se remarcă eforturi apropiate pentru obținerea soluției, astfel încât soluția practică propusă în acest articol necesită costuri apropiate de varianta simulată prin comanda ask.

În cazul fluxului de mesaje, comportamentul remarcat la efortul de calcul s-a păstrat aproximativ la fel, variantele sincrone necesitând un flux de mesaje mai mic decât variantele asincrone. Fluxul de mesaje a crescut pentru variantele asincrone odată cu creșterea dimensiunii problemelor rezolvate.

6.5.3.2. Familia ABT.

Plecând de la nucleul ABT, prin eliminarea informațiilor învechite se poate ajunge la două mari tehnici: ABT ([YDIK98]) și DisDB ([BM05]). Aceste două tehnici bazate pe o ordine statică sunt analizate pentru a vedea efectul sincronizării agenților. Spre deosebire de tehnica AWCS, aici s-au implementat versiunile în care fiecare agent tratează la fiecare ciclu doar un mesaj din coada sa de mesaje (notate cu ABT_k și $DisDB_k$).

Pentru fiecare din tehnicile ABT și DisDB s-au făcut câte trei implementări corespunzătoare celor trei sisteme obținute:

- Variante implementate în sistemul SEIS: ABT_1 și $DisDB_1$. În aceste cazuri sincronizarea este realizată cu ajutorul comenzii "ask".
- Variante implementate în sistemul SEIAS: ABT_2 și $DisDB_2$. Nu există sincronizare, agenții operează asincron.
- Variante implementate în sistemul SEIAS modificat prin aplicarea metodelor de sincronizare introduse în paragrafele §6.5.1 și §6.5.2: $ABT_{3,4}$ și $DisDB_{3,4}$.

În tabelul 6.5 sunt prezentate valorile obținute pentru versiunile ABT, iar în tabelul 6.6 sunt cele pentru versiunile DisDB.

| | | n = 20 | | n = 30 | |
|------------------|---------|----------|-----------|-----------|-----------|
| | | m=n x2 | m=n x2.7 | m=n x2 | m=n x2.7 |
| ABT ₁ | TNogood | 359.70 | 481.88.74 | 3883.12 | 3936.20 |
| | TOK | 1214.93 | 1615.48 | 8578.23 | 12343.88 |
| | Tcck | 67500.30 | 80834.37 | 957934.98 | 938790.08 |
| | Tc-ccks | 14502.26 | 16572.45 | 147128.29 | 123501.58 |
| ABT ₂ | TNogood | 305.70 | 366.94 | 3181.57 | 2196.52 |
| | TOK | 1124.16 | 1438.48 | 6518.74 | 9943.55 |
| | Tcck | 60382.63 | 69332.91 | 763992.16 | 698240.00 |
| | Tc-ccks | 8993.06 | 7593.00 | 90601.22 | 45264.01 |
| ABT ₃ | TNogood | 360.41 | 376.99 | 3713.65 | 3764.15 |
| | TOK | 1237.79 | 1495.00 | 8065.23 | 10209.04 |
| | Tcck | 68321.27 | 76823.12 | 85234.16 | 800193.03 |
| | Tc-ccks | 13401.26 | 12312.34 | 112675.05 | 89000.45 |
| ABT ₄ | TNogood | 371.12 | 395.18 | 3945.18 | 3799.55 |
| | TOK | 1323.11 | 1578.06 | 8245.32 | 11311.71 |
| | Tcck | 67001.81 | 75121.12 | 83555.23 | 753712.20 |
| | Tc-ccks | 12182.11 | 11133.56 | 109129.82 | 90101.34 |

Tabelul 6.5. Rezultatele obținute pentru versiunile ABT în cazul introducerii sincronizării parțiale și complete a agenților.

| | | n = 20 | | n = 30 | |
|--------------------|---------|----------|----------|-----------|-----------|
| | | m=n x2 | m=n x2.7 | m=n x2 | m=n x2.7 |
| DisDB ₁ | TNogood | 138.76 | 316.94 | 2803.34 | 3104.44 |
| | TOk | 300.04 | 722.89 | 6855.19 | 7235.88 |
| | Tcck | 18548.68 | 40841.66 | 603288.94 | 778016.08 |
| | Tc-ccks | 4526.52 | 8112.34 | 124728.67 | 154409.43 |
| DisDB ₂ | TNogood | 83.10 | 216.41 | 2785.65 | 2983.69 |
| | TOk | 213.72 | 556.03 | 6518.74 | 6878.05 |
| | Tcck | 12117.12 | 29850.88 | 585992.16 | 655243.39 |
| | Tc-ccks | 2468.48 | 3963.02 | 70605.97 | 82785.79 |
| DisDB ₃ | TNogood | 125.38 | 271.25 | 2813.03 | 3016.96 |
| | TOk | 277.64 | 646.82 | 7005.56 | 7029.70 |
| | Tcck | 16837.14 | 35589.37 | 603192.16 | 712024.78 |
| | Tc-ccks | 3791.24 | 6289.09 | 115059.67 | 90786.78 |
| DisDB ₄ | TNogood | 117.21 | 273.67 | 2767.28 | 2994.39 |
| | TOk | 272.40 | 651.71 | 6981.90 | 7002.81 |
| | Tcck | 15002.91 | 36111.52 | 523023.73 | 679821.34 |
| | Tc-ccks | 34230.74 | 6421.90 | 102011.72 | 88564.20 |

Table 6.6. Rezultatele obținute pentru versiunile DisDB în cazul introducerii sincronizării parțiale și complete a agenților.

Cele două tehnici bazate pe o ordine statică s-au comportat diferit față de tehnica AWCS, așa cum s-a remarcat și în paragraful 6.2. Efortul local cel mai mic s-a depus pentru varianta asincronă, variantele cu sincronizare necesitând verificarea unei număr mai mare de constrângeri. De asemenea, cel mai mic flux de mesaje s-a obținut pentru variantele asincrone. Cele două tehnici s-au comportat la fel pentru ambele tipuri de probleme: probleme cu densitate rară sau probleme dificile.

Soluția de sincronizare propusă în acest paragraf a fost superioară celei oferite de comanda ask din NetLogo. Din păcate, tehnicile din familia ABT bazate pe această ordine dinamică, indiferent ca necesită sau nu adăugarea de legături suplimentare, se comportă mai bine în cazul asincron, sincronizarea nefiind o soluție de reducere a costurilor.

Rezultatele acestui studiu au fost publicate în [MVCPP07].

6.6. Metode de eliminare a mesajelor redundante.

6.6.1 Mesaje învechite și redundante de tip ok.

Tehnicile de căutare asincrone folosesc mesaje de tip ok pentru a comunica schimbarea valorilor fiecărui agent. Aceste mesaje sunt transmise și recepționate de agenți folosind canale de comunicație de tip FIFO. Analiza comportamentului agenților, pe baza celor două modele, arată că anumiți agenți, mai ales în cazul tehnicilor din familia ABT, au un flux de mesaje foarte mare cu anumiți agenții copii. Multe dintre acestea sunt mesaje inutile, având ca efect încărcarea costurilor de obținere a soluției în mod inutil.

În capitolul 4 au fost definite și prezentate mesajele redundante de tip ok/info. Conform definițiilor 4.2.1 și 4.2.2 în cazul tehnicilor de căutare asincrone sunt întâlnite mesaje de tip ok/info *învechite* și mesaje de tip ok/info *redundante*. În

paragrafele următoare sunt prezentate mai multe soluții de reducere sau eliminare a acestor mesaje inutile, soluții publicate în [MusPO05], [MusVP06]. Anumite soluții, cum sunt cele de management, permit și reducerea efortului local depus de agenți, pe lângă reducerea fluxului de mesaje.

6.6.2 Filtrarea mesajelor învechite sau redundante.

Cele două modele de implementare și evaluare au permis studiul cozilor de mesaje pentru majoritatea tehnicilor de căutare studiate. Analizând cozilor de mesaje pentru implementările tehnicilor de căutare din cele două mari familii (ABT și AWCS), după ce acestea au fost implementate folosind cele două modele propuse în capitolul 5 și aplicate la problema colorării grafurilor, varianta distribuită, s-a observat o cantitate foarte mare de mesaje de tip ok redundante. În primul rând s-au identificat mesaje de tip ok/info de la același agent, trimise în diverse momente ale rulării, mesaje conținând aceeași valoare sau valori diferite. Așa cum s-a prezentat în capitolul 4 acestea sunt mesaje de tip ok redundante, iar unele învechite.

Plecând de la aceste observații, în acest paragraf se propune o tehnică simplă de filtrare, ce se aplică asupra cozilor de mesaje (ce sunt canale de comunicații de tip FIFO). Practic, când se extrage din coada de mesaje un mesaj de tip *ok/info*, acesta nu este tratat imediat de rutina sa, ci se verifică dacă acesta nu este cumva redundant sau învechit. Dacă apare una din aceste situații, se ignoră mesajul (eliminându-l din coada de mesaje), altfel se apelează rutina normală de tratare a mesajelor ok. Acest lucru are ca efect reducerea numărului de apeluri pentru procedura check-agent-view.

În figura 6.6 este prezentat algoritmul de filtrare aplicat pentru fiecare coadă de mesaje.

Procedure OK-messages-filtering

Extract Msg(ok, x_i)

If *there is no other ok message in the message-queue received from x_i*

[

Apelează procedura de tratare a mesajelor ok (ok, x_i) // **Ok(msg)**

]

Figura 6.6 Filtrarea mesajelor

Algoritmul de filtrare prezentat în figura 6.6, este aplicat de fiecare agent în momentul în care extrage un mesaj de tip ok, înainte de tratarea acestuia. Aplicarea acestui algoritm va permite reducerea efortului local depus de agent, prin reducerea cantității de constrângeri verificate. Aplicarea acestui algoritm de filtrare nu are efect asupra completitudinii.

6.6.3 Managementul mesajelor.

6.6.3.1. Managementul mesajelor în cazul tehnicii AWCS.

Așa cum a fost prezentat, tehnicile de căutare asincrone din familia AWCS (ca și toate tehnicile de căutare asincrone) folosesc mesaje de tip ok pentru a comunica schimbarea valorilor fiecărui agent, respectiv mesaje de tip nogood pentru a anunța o inconsistență. Tehnicile asincrone se caracterizează prin existența unor proceduri de tratare a mesajelor. În mod tipic există proceduri de tratare pentru mesajele ok (info), nogood (back), addl sau remove. Aceste rutine tratează secvențial mesajele existente în cozile de mesaje. În mod tipic, fiecare agent extrage câte un mesaj din coada sa de mesaje, identifică tipul de mesaj și apelează rutina de tratare corespunzătoare.

În [Yok01] se precizează că în cazul tehnicii AWCS agenții citesc toate mesajele existente în cozile de mesaje. Acolo nu este prezentată și modalitatea de tratare, adică un protocol care să definească ordinea în care mesajele sunt tratate. În acest paragraf se propune o metodă de management pentru mesaje, astfel încât fiecare agent poate trata complet sau parțial mesajele existente la un moment dat în coada lui de mesaje. Această metodă este aplicată pentru tehnica asynchronous weak-commitment search, permițându-se eliminarea din cozile de mesaje a mesajelor învechite și redundante [MusVP06]. Acest lucru are ca efect obținerea unei tehnici derivate mult mai eficientă în ceea ce privește costurile obținerii soluției.

Strategia de management a mesajelor va permite reducerea sau eliminarea mesajelor redundante în cazul tehnicilor din familia AWCS. Este vorba de tehnica de bază AWCS și versiunile la care se aplică tehnicile de tip "nogood learning". Folosind această metodă de management, este extins modelul NetLogo de implementare a tehnicilor asincrone cu suportul pentru managementul mesajelor, model prezentat în capitolul 5.

Varianta propusă pleacă de la soluția clasică în care mesajele sunt citite și prelucrate secvențial, unul câte unul. Această soluție presupune existența unei rutine de tratare a mesajelor, care extrage secvențial fiecare mesaj, identifică tipul acestuia și apelează rutina de prelucrare corespunzătoare. În figura 6.6. este prezentată procedura de tratare a mesajelor secvențial, valabilă pentru tehnicile din familia AWCS. Această procedură este derivată din modelul prezentat în capitolul 5.

În această procedură de tratare a mesajelor, procedurile *handle-ok-message* și *handle-nogood-message* sunt rutinele de tratare a mesajelor ok și nogood, prezentate la algoritmul AWCS. Fiecare din aceste rutine se caracterizează prin faptul că apelează procedura check-agent-view având ca scop verificarea consistențelor din lista agent-view și selectarea unei noi valori pentru agentul curent. Soluția pentru managementul mesajelor, ce se poate aplica în Netlogo sau orice alt limbaj ales pentru implementare, va permite citirea fie a tuturor mesajelor din coada de mesaje, fie citirea parțială a mesajelor, în funcție de valoarea variabilei *msize*.

Soluția presupune existența unui protocol de tratare a mesajelor pentru cazul tehnicilor din familia AWCS. Acest protocol stabilește ordinea în care sunt tratate mesajele și momentul în care se încearcă asocierea unei noi valori. De asemenea, acest protocol permite tratarea completă sau parțială a mesajelor, prin introducerea parametrului *msize* ce reprezintă numărul de mesaje citite la un moment dat din coada de mesaje. Parametrul *msize* poate lua valori între 1 și lungimea cozii de mesaje. În cazul în care *msize* este 1 se obține soluția de tratare secvențială a mesajelor, prezentată în capitolul 5.


```

to handle-message
  if (empty? message-queue) [stop]
  set msg retrieve-message
  if (first msg = "ok?")
  [
    set xj item 0 (item 1 msg)
    if (remove-old-ok-message xj = 0 )
    [
      set messages-received_ok messages-received_ok + 1
      handle-ok-message msg
    ]
  ]
  if (first msg = "nogood")
  [
    set messages-received_nogood messages-received_nogood + 1
    handle-nogood-message msg
  ]
end

```

Figura 6.7. Procedura de tratare secvențială a mesajelor pentru tehnica AWCS

În figura 6.8 este prezentată procedura de management a mesajelor, procedură ce este aplicată de fiecare agent la coada sa de mesaje. Mesajele vor fi extrase în ordinea sosirii în structurile de tip coada asociate agenților și tratate astfel:

- în cazul în care mesajul este de tip ok?, se actualizează contextul de lucru al agentului cu valoarea recepționată, fără a se verifica consistența valorilor existente acolo sau a încerca selectarea unei noi valori.
- Dacă mesajul este de tip nogood, se salvează valoarea nogood și se actualizează contextul de lucru cu valorile noilor agenți neconectati inițial cu agentul curent.

După parcurgerea și extragerea completă sau parțială a mesajelor, se apelează o singură dată rutina check-agent-view cu scopul verificării consistențelor din lista agent-view și selectarea (eventual) a unei noi valori consistente.

Această soluție presupune câteva schimbări în algoritmul de bază AWCS prezentat în figura 3.4 (capitolul 3). Prima modificare presupune renunțarea completă la rutina *handle-ok-message*. Tratarea mesajelor ok se face acum global, în rutina *handle-message*. Pentru fiecare mesaj de tip ok (ce are forma "ok?" [A_k current-value priority]) extras din coada de mesaje, se actualizează contextul de lucru al agentului adică ceea ce se numește agent-view. Se remarcă faptul că actualizarea se face în ordinea în care mesajele au fost recepționate. În cazul existenței a două mesaje ok recepționate de la același agent A_k , în lista agent-view va rămâne ultima valoare transmisă de agentul A_k (primul mesaj ok sosit este fie învechit, fie redundat). Apelarea procedurii check-agent-view, ce are rol în verificarea consistenței listei agent-view și a selecției unei noi valori, se face ulterior,

după parcurgerea tuturor mesajelor din coada de mesaje. A doua modificare presupune adaptarea rutinei rutinei *handle-nogood-message* astfel încât aceasta să nu mai apeleze procedura *check-agent-view*.

```

to message-manage [ msize ]
  set n 0
  1. while [not empty? message-queue and n < msize] or
  1' while [not empty? message-queue] ***
  [
    set msg retrieve-message
    if (first msg = "stop")
    [
      set done true
      stop
    ]
    if (first msg = "ok?")
    [
      set messages-received_ok messages-received_ok + 1
      Update agent-view cu msg
    ]
    if (first msg = "nogood")
    [
      set messages-received_nogood messages-received_nogood + 1
      handle-nogood-message msg
    ]
    set n n + 1
  ]
  if n != 0
  [check-agent-view]
End

```

Figura 6.8. Procedura de management a mesajelor pentru tehnica AWCS

În ce privește tratarea completă sau parțială a mesajelor, acest lucru se poate rezolva prin intermediul variabilei *msize* sau renunțând la condiția a doua de limitare a pachetelor (linia etichetată cu ***). Aceasta are rol de decide numărul de mesaje extrase și tratate din coada de mesaje. Dacă *msize* este egal cu numărul de elemente din coada de mesaje sau dacă lipsește această condiție, procedura prezentată în figura 6.8 permite tratarea tuturor mesajelor. În schimb, dacă *msize* este 1 se obține tratarea secvențială a mesajelor prezentată în figura 6.7. În paragraful de experimente sunt investigate și analizate performanțelor pentru trei variante ce se obțin pentru *msize* = 1 (tratarea secvențială), *length* (*message-queue*) (tratarea completă a mesajelor relativ la momentul începerii prelucrării mesajelor) și tratarea tuturor mesajelor inclusiv a celor recepționate ulterior.

În figura 6.8 există două posibilități de terminare a tratării mesajelor. Prima variantă presupune introducerea liniei 1 în locul liniei 1'. În acest caz, fiecare agent se oprește în momentul în care fie nu mai există mesaje fie s-au tratat *msize*

mesaje. A doua variantă presupune introducerea liniei 1'. Această variantă va forța agenții să se oprească dacă nu mai există mesaje în coada lor de mesaje. Trebuie remarcată o diferență de comportament între variantele cu tratarea completă a mesajelor obținute prin folosirea celor două linii (prima variantă presupune $m_{size} = length(message-queue)$). Tratarea mesajelor presupune un efort și prin urmare apariția unei întârzieri. Este posibil să mai sosească alte mesaje față de momentul inițial. În cazul celei de-a doua variante (obținută prin introducerea liniei 1') dacă apar ulterior mesaje acestea sunt totuși tratate astfel depășind numărul m_{size} de mesaje permise. În schimb, pentru prima variantă (obținută prin introducerea liniei etichetate cu 1) se tratează doar acele mesaje existente la început în coada de mesaje.

Soluția de mai sus presupune apelarea o singură dată a procedurii `check-agent-view` astfel reducându-se efortul de calcul local depus de agent. Tratarea globală a tuturor mesajelor (eventual tratarea parțială a lor) duce la reducerea dramatică a numărului de cicluri, lucru confirmat și de experimentele prezentate în paragraful următor.

6.6.4. Analiza experimentală a metodelor de reducere a redundanței mesajelor.

Pentru a vedea comportamentul tehnicilor relativ la metodele de reducere a mesajelor redundante s-a utilizat sistemul SEIS. În acest sistem au fost implementate și analizate mai multe versiuni pentru tehnica AWCS, după cum urmează:

- versiunea de bază din [YDIK98] notată $AWCS_1$ ($m_{size} = 1$)
- versiunea de bază la care se aplică tehnica filtrării propusă în paragraful 6.5.2, notată $AWCS_2$.
- versiunea AWCS cu tratarea completă a mesajelor, notată cu $AWCS_3$ ($m_{size} = length(message-queue)$).
- versiunea AWCS cu tratarea completă a mesajelor, notată cu $AWCS_4$ dar folosind condiția de oprire bazată pe linia 1' din figura 3.

Prima unitate de măsură utilizată a fost ciclul. Aceasta permite evaluarea efortului global depus de agenți. Din analiza valorilor din tabelul 1 se observă diferențe foarte mari între versiunile secvențiale și cele cu management. Aplicarea managementului mesajelor a redus dramatic numărul de cicluri necesari pentru obținerea soluției. Cele două versiuni cu managementul mesajelor ($AWCS_3$ și $AWCS_4$) au necesitat un număr apropiat de cicluri în obținerea soluției, la mare distanță de variantele secvențiale.

În ceea ce privește efortul local depus de agenți (constrângeri), analizând valorile din tabelul 6.7 se observă o reducere a efortului de calcul în cazul tehnicilor cu managementul mesajelor. Cu toate că aplicarea tehnicii filtrării mesajelor a redus la jumătate efortul local, valorile sunt destul de departe de valorile obținute de variantele $AWCS_3$ și $AWCS_4$. În schimb, dintre acestea se remarcă varianta $AWCS_3$ cu limitarea tratării mesajelor la numărul existent înainte de începerea prelucrării mesajelor.

| | | n = 20 | | n = 30 | |
|-------------------|---------|---------|----------|----------|-----------|
| | | m=n x 2 | m=n x2.7 | m=n x2 | m=n x2.7 |
| AWCS ₁ | TNogood | 632.01 | 13893.43 | 2888.42 | 129444.52 |
| | Tok | 2076.54 | 31660.36 | 9485.79 | 295212.48 |
| | Ciclii | 152.76 | 2292.86 | 439.40 | 14232.83 |
| | TCcks | 5096.36 | 91552.0 | 22020.45 | 799855.65 |
| | Tc-ccks | 545.69 | 8956.43 | 1607.70 | 56470.13 |
| AWCS ₂ | TNogood | 361.60 | 3067.68 | 1836.76 | 28480.76 |
| | Tok | 992.34 | 5558.84 | 4837.10 | 49612.60 |
| | Ciclii | 93.47 | 517.86 | 275.02 | 3074.26 |
| | TCcks | 2726.40 | 19373.27 | 12312.96 | 166011.07 |
| | Tc-ccks | 308.51 | 1986.67 | 952.75 | 12135.51 |
| AWCS ₃ | TNogood | 184.08 | 1507.90 | 619.51 | 21777.40 |
| | Tok | 648.88 | 3561.98 | 2127.59 | 52013.80 |
| | Ciclii | 12.02 | 29.33 | 17.95 | 166.17 |
| | TCcks | 748.49 | 3359.61 | 1706.13 | 31129.40 |
| | Tc-ccks | 155.99 | 579.77 | 275.65 | 3882.74 |
| AWCS ₄ | TNogood | 187.13 | 2723.84 | 764.86 | 34863.76 |
| | Tok | 674.12 | 6461.79 | 2628.86 | 84097.27 |
| | Ciclii | 11.13 | 43.27 | 18.91 | 225.20 |
| | TCcks | 697.12 | 5532.81 | 1852.22 | 46817.96 |
| | Tc-ccks | 187.31 | 1137.02 | 372.91 | 6633.67 |

Table 6.7. Rezultatele pentru versiunile AWCS în cazul introducerii managementului mesajelor.

În cazul fluxului de mesaje, se remarcă reducerea acestui flux în cazul aplicării filtrării mesajelor (variante AWCS₂), dar mai ales pentru variantele cu management. Dintre cele două variante de sincronizare propusă, varianta AWCS₃ a necesitat un flux de mesaje ceva mai mic.

6.7. Concluzii.

Modelul prezentat în capitolul anterior a permis implementarea și studiul tehnicilor asincrone din două mari familii: familia ABT și familia AWCS. Pe baza acestor studii (în diferite situații) s-au identificat anumite îmbunătățiri.

Tehnicile asincrone se caracterizează prin diverse proprietăți, ele sunt o mixtură de tehnici de căutare, tehnici de consistență, tehnici de reordonare pentru agenți, tehnici de backjumping sau tehnici de învățare. Prin urmare ele au avut comportamente diferite în situațiile studiate relativ la efortul depus pentru obținerea soluției. În tabelul 6.8 sunt sintetizate comportamentele tehnicilor de căutare asincrone din cele două mari familii, evidențiindu-se situațiile în care ele se comportă relativ bine.

Tehnicile din familia AWCS, bazate pe o ordine dinamică pentru agenți, au necesitat costuri mai mici în obținerea soluției în cazul sincronizării execuției agenților. Soluția de sincronizare propusă în acest capitol permite reducerea efortului local și a fluxului de mesaje comparativ cu variantele asincrone.

A doua categorie de tehnici, cele din familia ABT s-au comportat diferit, ele necesitând costuri mai mici în cazul asincron decât în cazul sincronizării execuției agenților. Toate aceste tehnici folosesc o ordine statică pentru agenți.

O a treia categorie de tehnici de căutare asincrone evaluate, cele de îmbunătățire iterativă a soluției-DB, au necesitat costuri apropiate în ceea ce privește obținerea soluției, indiferent de modul de rulare: cu sau fără sincronizarea execuției agenților.

Tabelul 6.8 Sintetizarea comportamentului tehnicilor de căutare asincrone

| Tehnica de căutare asincronă | Autori Publicație | Situatii studiate | | | | | |
|------------------------------|--|---------------------|---------------------|--------------------|---------------------|-------------------------------|-------------------|
| | | Sincroniz. completă | Sincroniz. parțială | Operarea asincronă | Filtrarea mesajelor | Tratarea completă a mesajelor | Întârzieri mesaje |
| ABT | Yokoo- [YDIK92] | - | - | + | + | ++ | -- |
| DisDB | Bessiere- [BMM01] | - | - | + | + | ++ | -- |
| AWCS | Yokoo- [YDIK98] | ++ | + | - | - | ++ | + |
| AWCS-nogood learning | Yokoo,- [YDIK98], Hirayama [HY00] | ++ | + | - | - | ++ | + |
| DB | Yokoo - [YH96] | + | + | + | | | + |

Legenda: -- = costuri foarte mari; - costuri mari;
+ = costuri mici; ++ = costuri foarte mici.

Introducerea managementului mesajelor a permis reducerea numărului de mesaje redundante și învechite. Astfel s-au obținut versiuni pentru tehnicile din familia AWCS în care s-a redus dramatic costurile necesare obținerii soluției.

Se remarcă diferențe de performanțe foarte mari între variantele secvențiale și cele cu tratarea completă a mesajelor. Filtrarea mesajelor de tip ok a redus costurile, dar totuși, implică un efort global mare (exprimat în ciclul sau constrângeri concurente).

Dintre variantele cu managementul mesajelor se remarcă aceea variantă în care se limitează tratarea mesajelor existente la începutul unui ciclu de calcul. Acest lucru este valabil pentru familia AWCS. Apariția ulterioară a altor mesaje, duce la mărirea costurilor. Variantele cu limitare au necesitat costuri mai mici în ceea ce privește numărul de constrângeri concurente, dar un flux de mesaje mai mare. Ca o concluzie, se remarcă faptul că introducerea managementului, indiferent de variantele propuse, permite obținerea unor performanțe mult mai bune.

Rezultatele evidențiate în acest capitol au fost publicate în [MusCP06], [MJP06] și [MVCPP07].

SECȚIUNEA III.

CONTRIBUȚII LA ÎMBUNĂȚĂȚIREA PERFORMANȚELOR TEHNICILOR DE CĂUTARE ASINCRONE

Capitolele secțiunii de față conțin contribuții aduse în domeniul îmbunătățirii performanțelor tehnicilor de căutare asincrone. Secțiunea prezintă mai multe soluții legate de eliminarea efectului exploziei valorilor nogood, limitarea fluxului de mesaje pentru legăturile temporare și utilizarea eficientă a listelor nogood.

În capitolul 7 este propusă o soluție de aplicare a tehnicii cu flaguri în cazul familiei ABT. Este înlocuită stocarea valorilor nogood cu etichetarea valorilor din domeniu prin două tipuri de flaguri. Spațiul de memorie necesar se reduce considerabil în cazul aplicării tehnicii cu flaguri.

În capitolul 8 este investigat comportamentul tehnicii ABT_{temp} pentru diferite valori ale numărului de mesaje transmise pentru legăturile temporare. Pe baza acestei analize, în acest capitol sunt identificate și prezentate mai multe soluții originale de determinare a numărului de mesaje schimbate de agenții cu legături temporare, număr optim de mesaje pentru care trebuie păstrată o legătură temporară.

În capitolul 9 se propune un membru hibrid pentru familia ABT, membru derivat din nucleul ABT prin eliminarea informațiilor învechite dintre agenți, combinând două metode mai vechi de eliminare a informațiilor învechite dintre agenți: adăugarea de legături permanente între agenți, respectiv adăugarea de legături temporare.

În capitolele 10 și 11 sunt propuse soluții de adaptare a tehnicii „nogood processor” pentru tehnica AWCS și de combinarea a acestei tehnici cu tehnicile de construire a unor nogooduri eficiente, obținându-se o variantă hibridă cu costuri mai mici în obținerea soluției.

7. TEHNICI DE CĂUTARE ASINCRONE CU FLAGURI.

Tehnicile de căutare asincrone se caracterizează prin apariția valorilor „nogood” în timpul căutării soluției. Tehnica ABT necesită un spațiu a cărui complexitate pentru fiecare agent este exponențială [YDIK98]. Complexitatea exponențială a algoritmului, în cazul nefavorabil, este determinată în primul rând de numărul înregistrărilor de mesaje *nogood*. De asemenea, și tehnicile din cadrul familiei ABT se bazează pe trimiterea de mesaje de tip nogood (numite mesaje back) între agenți și suferă de o explozie a valorilor de tip nogood. Stocarea acestor valori nogood va necesita un spațiu de memorie foarte mare, implicând și un efort de căutare mult mai mare.

Recent, o tehnică derivată, numită asynchronous backtracking cu flaguri, permite reducerea exploziei valorilor nogood. Această tehnică este propusă în [GWW03] și se bazează pe utilizarea flagurilor în locul stocării valorilor nogood, fiind aplicată doar pentru tehnica ABT.

În acest capitol se propune o soluție originală de aplicare a tehnicii cu flaguri în cazul familiei ABT. Este înlocuită stocarea valorilor nogood cu etichetarea valorilor din domeniu prin două tipuri de flaguri. Această soluție este aplicată pentru nucleul ABT obținându-se o variantă originală numită *ABT kernel cu flaguri*. Plecând de la acest nucleu se poate ajunge la două tehnici cunoscute: Asynchronous Backtracking și Distributed Dynamic Backtracking (Bessiere) în variantele cu flaguri [Mus05]. În felul acesta se obține o generalizare a tehnicii cu flaguri pentru cazul familiei ABT, soluție originală propusă în acest capitol. Spațiul de memorie alocat este considerabil redus în cazul variantelor cu flaguri.

Studiul investighează eficiența noilor tehnici din familia ABT, în raport cu fluxul de mesaje schimbate de agenți, numărul de cicli consumați pentru găsirea soluției și constrângerile verificate, comparativ cu tehnicile de bază derivate din nucleul ABT. Redundanța mesajelor în cazul acestor tehnici cu flaguri este de asemenea analizată. De asemenea, în acest capitol se investighează eficiența tehnicii asynchronous backtracking cu flaguri (propusă în [GWW03]), în raport cu fluxul de mesaje, efortul de calcul necesar și ciclul consumați pentru găsirea soluției. Sunt propuse câteva îmbunătățiri asupra tehnicii asynchronous backtracking cu flaguri (restartarea căutării și eliminarea redundanței mesajelor).

Capitolul începe cu o introducere asupra contextului de lucru. În paragraful al doilea este prezentată tehnica etichetării cu flaguri introdusă în [GWW03] pentru tehnica ABT, urmată de câteva propuneri de îmbunătățire a performanțelor acestei tehnici. În cel de-al patrulea paragraf se propune o soluție originală de aplicare a tehnicii flagurilor în cazul nucleului ABT. În paragraful de rezultate experimentale sunt analizate tehnicile de căutare asincrone obținute prin aplicarea tehnicii flagurilor. Sunt utilizate pentru implementare și evaluare modelele prezentate anterior în capitolul 3. Pe baza acestor rezultate experimentale se prezintă un studiu comparativ pentru tehnicile prezentate. Ultimul paragraf prezintă concluziile aplicării tehnicii flagurilor în cazul familiei ABT.

7.1. Algoritmul Asynchronous Backtracking cu flaguri (ABTWF)

Tehnica asynchronous backtracking (variantea din [YDIK98]) conține o rutină de tratare a mesajelor nogood recepționate, rutină prezentată în capitolul 3. Aceste mesaje de tip nogood sunt analizate pentru a vedea dacă sunt sau nu învechite (consistente cu vederea agentului, conform definiției 3.3.4). Orice agent ce recepționează un mesaj nogood verifică dacă valoarea nogood este consistentă cu vederea sa, în caz afirmativ acceptând mesajul și stocându-l pentru ca mai târziu agentul să nu mai asocieze aceea valoare.

În [GWW03] sunt identificate mai multe tipuri de valori nogood ce sunt recepționate de un agent (nu neapărat acceptate), în cazul tehnicii de bază ABT. De fapt, sunt identificate patru clase de valori nogood care sunt recepționate de fiecare agent prin intermediul mesajelor de tip nogood, după cum urmează:

Definiția 7.1 - nogood de clasă (1). Un nogood recepționat de agentul A_i se numește de clasă 1 dacă lista nogood conține o asociere de tipul $\{(x_i, d_i)\}$, unde valoarea d_i este aceeași cu valoarea curentă a agentului curent A_i .

Definiția 7.2 - nogood de clasă (2). Un nogood recepționat de agentul A_i se numește de clasă 2 dacă lista nogood conține o asociere de tipul $\{(x_i, d_i)\}$, unde valoarea d_i este diferită de valoarea curentă a agentului curent A_i .

Definiția 7.3 - nogood de clasă (3). Un nogood recepționat de agentul A_i se numește de clasă 3 dacă lista nogood conține o submulțime de asocieri de valori $\{(x_j, d_j), \dots, (x_i, d_i)\}$ care sunt consistente cu vederea agentului A_i (agent_view) și valoarea curentă a acestui agent (x_i , current_value).

Definiția 7.4 - nogood de clasă (4). Un nogood recepționat de agentul A_i se numește de clasă 4 dacă lista nogood conține o submulțime de asocieri de valori $\{(x_j, d_j), \dots, (x_i, d_i)\}$ care nu sunt consistente cu vederea agentului A_i (agent_view) și valoarea curentă a acestui agent (x_i , current_value).

Analizând tehnica asynchronous backtracking se remarcă faptul că un agent A_i își poate schimba valoarea în două situații:

- (1). la recepționarea unui mesaj ok?;
- (2). la recepționarea unui mesaj nogood consistent cu vederea agentului A_i .

Plecând de la această observație, sunt propuse două propoziții relative la efectul celor patru clase de nogooduri.

Propoziția 7.1. Orice nogood de clasă (2) și (4) recepționat de un agent nu necesită stocarea, fără a avea efect asupra completitudinii.

Demonstrație.

Conform definițiilor 7.2 și 7.4, un nogood de clasă (2) sau (4) conține o valoare diferită de valorile existente în lista agent_view a agentului A_i . Din această cauză în momentul generării și transmiterii mesajului nogood către agentul A_i (bănuind a fi vinovat de apariția situației de conflict), acesta și-a schimbat cel puțin acea valoare. Ca o consecință, nogoodul este învechit și nu

mai are relevanță. Prin urmare el poate fi respins și nu mai necesită stocarea lui pentru mai târziu.

Propoziția 7.2. Dacă un agent recepționează un nogood de clasă (1) sau (3) va trebui să își schimbe valoarea curentă asociată variabilei sale.

Demonstrație.

Când agentul A_i recepționează un nogood de clasă (1) de la agentul A_k , înseamnă că valoarea curentă a agentului A_i nu satisface cel puțin o constrângere între A_k și A_i . Mai departe, când se recepționează un nogood de clasă (3) de la un agent A_k , înseamnă că lista nogood este consistentă și cu vederea agentului și cu valoarea sa curentă. Concluzia este că pentru cele două clase de nogood-uri, valoarea asociată agentului curent (x_i, d_i) nu este bună (dintre cei doi agenți aflați în conflict, vinovat de apariția eșecului este A_i).

Ca o consecință a propoziției 7.2, agentul curent A_i va încerca să selecteze o nouă valoare și va stoca acel nogood pentru a nu mai repeta această greșeală (adică să mai asocieze această valoare variabilei sale în contextul vederii sale).

Lema 7.3. Orice nogood de clasă (3) poate fi stocat temporar.

Demonstrație.

Conform definiției 7.3. un nogood de clasă (3) conține aceleași valori pentru agenții vecini cunoscuți. Totuși, de-a lungul rulării algoritmului, vederea (agent-view) a agentului A_i se schimbă și, în consecință, nogoodul stocat devine învechit. Din acest motiv stocarea permanentă a valorii nogood de clasă (3) nu este necesară. Practic este suficientă stocarea temporară a acelei valori cât vederea agentului conține aceleași valori cu agentul A_k . Trebuie remarcat faptul că definiția de consistență este relativă la momentul recepționării nogoodului și nu ulterior.

Pe baza observațiilor anterioare în [GWW03] se propune o tehnică derivată, tehnică numită "asynchronous backtracking cu flaguri". Tehnica aceasta este obținută pornind de la tehnica de bază ABT, prin înlocuirea stocării valorilor nogood cu indexarea valorilor locale din domeniul cu flaguri. Acest lucru presupune utilizarea a două tipuri de flaguri, corespunzător claselor (1) și (3) de nogood-uri:

(1) flag permanent (PF): când se recepționează un nogood de clasă (1), agentul A_i va seta flagul valorii curente cu PF. Un astfel de flag arată că valoarea curentă nu va mai fi asociată niciodată în timpul rulării. Un astfel de flag nu va fi șters niciodată.

(2) flag temporar (TF): când se recepționează un nogood de clasă (3), agentul A_i va seta flagul atașat valorii curente cu TF. Acest tip de flag se va schimba de-a lungul rulării algoritmului.

Practic, când agentul A_i recepționează un mesaj ok? sau transmite un mesaj nogood, înseamnă că un agent cu prioritate mai mare decât A_i și-a schimbat valoarea sa sau că A_i trebuie să își schimbe valoarea curentă. În astfel de situații, flagul temporar asociat valorii curente trebuie șters astfel încât acea valoare (etichetată cu TF) să mai poată fi selectată mai târziu.

Utilizarea acestor două tipuri de flaguri a impus și schimbarea testelor de consistență utilizate la verificarea soluției parțiale, după cum urmează:

- (1) Lista *agent_view* și $(x_i, \text{valoare curentă})$ satisfac toate constrângerile problemei;
- (2) Valoarea curentă nu a fost etichetată cu un flag local (fie de tip PF sau de tip TF).

7.2. Îmbunătățirea performanțelor tehnicii Asynchronous Backtracking cu flaguri

Pentru îmbunătățirea performanțelor tehnicii derivate obținute sunt propuse în acest capitol câteva modificări asupra flagurilor stocate în locul nogood-urilor.

O primă propunere constă în a reseta flagurile permanente în momentul recepționării unui mesaj de tip ok. În momentul recepționării unui mesaj de tip ok, nu se șterg doar flagurile de tip TF, ci se face o resetare a listei cu flaguri atașate valorilor din domeniul unui agent. Acest lucru va permite reducerea numărului de mesaje de tip nogood neconsistente recepționate de acel agent.

Resetarea listei de flaguri, temporare sau permanente, va permite în momentul recepționării unei valori de tip ok și apariției unei inconsistențe să se repornească procesul de căutare a unor noi valori consistente. În schimb, în momentul generării unui mesaj de tip nogood sunt curățate doar flagurile temporare, nu și cele permanente.

Rezultatele experimentale ce vor fi prezentate în paragrafele următoare, arată o reducere a costurilor obținerii soluției, față de varianta cu flaguri prezentată în [GWW03].

A doua propunere este relativă la existența mesajelor redundante de tip ok și în cazul tehnicii ABT cu flaguri, varianta din [GWW03]. Analizând cozile cu mesaje pentru această tehnică asincronă, după ce acestea au fost implementate folosind cele două sisteme propuse în capitolul 5 și aplicate la problema colorării grafurilor, varianta distribuită s-a observat o cantitate foarte mare de mesaje de tip ok redundante. În primul rând s-au identificat mesaje de tip ok de la același agent, trimise în diverse momente ale rulării, mesaje conținând aceeași valoare sau valori diferite. Aceste mesaje de tip ok sunt redundante, iar unele învechite.

Algoritmul de filtrare prezentat în capitolul 6, figura 6.6, este aplicat de fiecare agent în momentul în care extrage un mesaj de tip ok, înainte de tratarea acestuia. Aplicarea acestui algoritm va permite reducerea efortului local depus de agent, prin reducerea cantității de constrângeri verificate.

7.3. Introducerea flagurilor în cazul tehnicilor de căutare din familia ABT.

În acest paragraf se propune o soluție originală de aplicare a tehnicii flagurilor în cazul tehnicilor din familia ABT. Această soluție conduce la o generalizare a tehnicii flagurilor. În primul rând se pleacă de la nucleul ABT, pentru care se înlocuiește stocarea valorilor nogood prin etichetarea valorilor nogood. Apoi, aplicând metodele de eliminare a informațiilor învechite, se poate ajunge la tehnicile cunoscute: ABT, DisDB, DIBT.

7.3.1. Introducerea tehnicii flagurilor în cazul nucleului ABT.

Analizând fluxul de mesaje back (mesaje ce transportă valorile nogood) ce apar în cazul tehnicilor din familia ABT, au fost identificate aceleași tipuri de valori nogood, asemănătoare celor identificate în [GWW03] și prezentate în paragraful 7.3. Nucleul ABT se comportă asemănător tehnicii asynchronous backtracking în ceea ce privește tratarea mesajelor nogood recepționate. Prin urmare, doar valorile nogood de clasă 1 și 3 trebuie stocate, cele de clasă 2 și 4 fiind învechite din aceleași motive. Mai mult, valorile nogood de clasă 3 necesită să fie stocate doar temporar.

Plecând de la aceste observații, se înlocuiește stocarea valorilor nogood cu indexarea valorilor locale cu flaguri. Sunt folosite două tipuri de flaguri, corespunzătoare celor două clase de valori nogood:

- (1) flag permanent (PF): când se recepționează un nogood de clasă (1), agentul A_i setează flagul valorii curente cu PF;
- (2) flag temporar (TF): când se recepționează un nogood de clasă (3), agentul A_i setează flagul atașat valorii curente cu TF.

Din punct de vedere tehnic, fiecare agent va păstra o listă de flaguri asociate valorilor din domeniul său, flaguri de tipurile prezentate anterior. Această listă de flaguri va fi folosită de fiecare agent la selecția unei valori din domeniul său. Lista de flaguri va fi în permanență consistentă cu contextul fiecărui agent. Condițiile de consistență vor consta în verificarea listei myAgentView (care reprezintă contextul fiecărui agent) cu valoarea curentă pentru a satisface toate constrângerile, respectiv flagul asociat valorii curente să nu fie etichetat cu nici una din valorile PF sau TF. Se remarcă faptul că s-a adăugat o condiție suplimentară pentru consistența valorilor, aceea ca flagul corespunzător valorii curente să nu fie etichetat cu una din valorile PF sau TF.

Aceste modificări sunt propuse a se efectua asupra procedurii ABT kernel, procedură din care ulterior se poate obține, prin eliminarea valorilor învechite, tehnici cunoscute, dar în variantele cu flaguri. Acest lucru va permite generalizarea tehnicii cu flaguri la mai multe tehnici.

În figura 7.1 se propune o variantă originală a algoritmului ABT kernel cu flaguri. Modificările față de varianta inițială ABT kernel prezentată în capitolul 3, sunt etichetate cu caracterul *, iar porțiunile de cod anulate încep cu // și sunt etichetate cu **.

procedure ABTkernel()

```

1 myValue←empty; end ← false;
2   CheckAgentView();
3   while (not end) do
4     msg ← getMsg();
5     switch(msg:type)
6       Info : ProcessInfo(msg);
7       Back : ResolveConflict(msg);
8       Stop : end← true;
End
```

procedure CheckAgentView(msg)

```

1   if not consistent(myValue;myAgentView) then
2     myValue ← ChooseValue();
```

```

3         if (myValue) then for each child  $\in \Gamma^+$  (self) do
                    sendMsg:Info(child;myValue);
4         else Backtrack();
End

procedure ProcessInfo(msg)
1   add(newAssig;myAgentView);
// remove Update(myAgentView; msg.Assig); **
2   Clear TF Flags on domain values; *
2'  CheckAgentView();
End

procedure ResolveConflict(msg)
1   if Coherent(msg.Nogood;  $\Gamma^-$  (self)  $\cup$  {self}) then
2   for each assig  $\in$  lhs(msg.Nogood)  $\setminus \Gamma^-$  (self) do
        add(newAssig;myAgentView); *
        //remove Update(myAgentView; assig); **
3   //remove add(msg.Nogood;myNogoodStore); **
4   when nogood only contains  $\{(x_i,d_i)\}$  and is consistent with  $(x_i,current\_value)$ 
        do *
            label current_value Flag PF
        end do
5   when nogood is consistent with agent_view and  $(x_i ,current\_value)$  do *
            label current_value Flag TF
        end do;
6   myValue  $\leftarrow$  empty;
4   CheckAgentView();
5   else if msg.sender  $\in \Gamma^+$  ( self)  $\wedge$  Coherent(msg.Nogood; self) then
        SendMsg:Info(msg.sender; myValue);
End

procedure Backtrack()
1   newNogood  $\leftarrow$  {V|V=inconsistent subset of myAgentView} *
        //remove newNogood  $\leftarrow$  newNogood  $\leftarrow$  solve(myNogoodStore); **
2   if (newNogood = empty) then
3       end  $\leftarrow$  true; sendMsg:Stop(system);
4   else
5       sendMsg:Back(newNogood,  $x_j$ ); /* where  $x_j$  has the lowest priority in V*/
6   Update(myAgentView;  $x_j \leftarrow$  unknown);
6'  Clear TF Flags on domain values; *
        Label value-of  $x_j$  Flag unknown
7   CheckAgentView();
End

function ChooseValue()
1   for each  $v \in D$ (self) not eliminated by myFlagList do *
        /*flagul asociat nu are valoarea PF sau TF */
2   if consistent( $v$ ; myAgentView) then return ( $v$ );
3   else label current_value Flag TF * /* $v$  is inconsistent with  $x_j$ 's value */
4   // remove add( $x_i = val_i$  ) self  $\neq v$ ;myNogoodStore); **

```

```

5   return (empty);
End

procedure Update(myAgentView; newAssig)
1   add(newAssig;myAgentView);
2   for each  $v \in D(\text{self})$  do
3       if not consistent ( $v$ ; myAgentView) then
4           label  $v$  Flag TF;
5       else label  $v$  Flag unknown
End

function Coherent(nogood; agents)
1   for each  $\text{var} \in \text{nogood} \cup \text{agents}$  do
2       if  $\text{nogood}[\text{var}] \neq \text{myAgentView}[\text{var}]$  then return false;
3   return true;
end

```

Figura 7.1. Algoritmul ABT kernel cu flaguri aplicabil pentru căutarea asincronă.

În figura 7.1 se observă câteva modificări esențiale în codul inițial al nucleului ABT, modificări propuse în acest studiu pentru a putea aplica tehnica cu flaguri. Analiza acestor modificări este prezentată în continuare.

În primul rând, la recepționarea unui mesaj de tip "info" care informează agentul "self" de schimbarea valorii unui alt agent se face actualizarea contextului local al agentului "self". Aceasta presupune actualizarea listei *myAgentView* și a listei de flaguri, prin curățirea flagurilor temporare. Se remarcă faptul că nu mai este nevoie de actualizat lista de nogood-uri, aceasta fiind înlocuită de lista de flaguri.

În al doilea rând, în momentul recepționării unui mesaj nogood acesta este acceptat doar dacă este coerent cu $\Gamma^-(\text{self}) \cup \{\text{self}\}$. Apoi se actualizează lista *myAgentView* (adică contextul local) cu valorile agenților care sunt în mesajul nogood dar nu sunt în $\Gamma^-(\text{self})$. Practic, în acest moment se identifică clasa mesajului nogood (fie de clasă (1), fie de clasă (3)), etichetându-se corespunzător flagurile asociate (nogoodurile de clasă (2) și (4) sunt respinse ca învechite).

O altă modificare apare în corpul procedurii BackTrack, rutină ce este apelată în momentul negăsirii nici unei valori consistente cu contextul agentului "self". În primul rând, noul nogood nu este de tipul "Nogood resolution", ci este construit ca o submulțime inconsistentă a contextului agentului (în algoritmul din figura 7.1, V =mulțime inconsistentă a lui *myAgentView*). Agentul spre care se trimite mesajul nogood este determinat ca fiind A_j , unde A_j are cea mai mică prioritate din V . Cu această ocazie se actualizează flagurile asociate valorilor din domeniul variabilei curente, resetându-se flagurile temporare. În al doilea rând, se resetează flagul atașat valorii avute de agentul A_j , pentru ca această valoare să poată fi din nou aleasă.

Trebuie făcute câteva observații relativ la actualizarea listei cu flaguri. În [GWW03] se propune ștergerea flagurilor temporare, păstrându-se flagurile permanente. În [MusB05] este propusă o îmbunătățire care constă în restartarea procesului de căutare și prin resetarea flagurilor permanente, nu numai a celor temporare, idee prezentată anterior. Această idee este aplicată aici, resetându-se și flagurile permanente și cele temporare.

Ultima modificare necesară este relativă la funcția *ChooseValue*, în care trebuie actualizată lista de flaguri și nu lista de valori nogood stocate.

Aplicarea nucleului ABT la rezolvarea unei probleme modelate DCSP poate conduce la apariția de informații învechite între agenți [BM05]. Acest lucru are ca și consecință intrarea într-un ciclu infinit a algoritmului, pentru anumite clase și instanțe de probleme. Plecând de la nucleul ABT, în [BM05], se elimină informațiile învechite dintre agenți, prin diverse metode. Se poate pleca de la această procedură și ajunge la versiuni cunoscute sau apropiate (cum ar fi ABT, DIBT și DisDB).

Aplicând aceleași metode de eliminare a informațiilor asupra nucleului ABT cu flaguri, se poate ajunge la diverse variante de tehnici, variante ce folosesc flaguri în locul stocării nogood-urilor. În continuare sunt analizate două tehnici foarte cunoscute, la care se poate ajunge. Variantele obținute vor fi numite "asynchronous backtracking cu flaguri" (ABTWFL), "distributed dynamic backtracking cu flaguri" (DisDBWFL).

7.4.2. Asynchronous Backtracking cu flaguri (ABTWFL).

O primă soluție de eliminare a informațiilor învechite este de a adăuga noi legături pentru a permite agentului ce a recepționat un mesaj nogood să decidă dacă este sau nu învechit [BM05]. Aceste legături au fost propuse în algoritmul original ABT. În urma aplicării acestei metode de eliminare a informațiilor învechite nucleului ABT varianta cu flaguri prezentată anterior, se obține o nouă tehnică hibridă numită „asynchronous backtracking cu flaguri”-ABTWFL.

Noile legături trebuie adăugate în timpul căutării. O astfel de legătură este necesară a fi adăugată între doi agenți A_i și A_k , neconectați inițial. Această situație apare în cazul unui agent A_i în momentul recepționării unui mesaj de tip Back (nogood) ce conține informații relative la un alt agent A_k cu care nu este conectat, agent aflat înaintea lui conform ordinii inițiale. Noile legături vor deveni permanente permițând agenților să recepționeze mesaje info și în felul acesta să elimine informațiile învechite dintre agenți. Modificările necesare în ABTkernel cu flaguri, pentru a elimina informațiile învechite, sunt aceleași cu cele prezentate în [BM05], pentru a obține tehnica asynchronous backtracking. Aplicarea acestor modificări conduc la varianta hibridă ABTWFL.

7.4.3. Distributed Dynamic Backtracking cu flaguri (DisDBWFL).

O a doua soluție, prezentată în [BM05] constă în detectarea situației în care un anumit nogood este sau nu învechit. Practic, un nogood ipotetic învechit și toate valorile recepționate de la acei agenți cu care nu a fost conectat sunt uitate.

În loc să încerce să se informeze când un agent neconectat și-a schimbat valoarea, agentul curent poate studia cursul evenimentelor și actualiza, dacă este cazul, informațiile sale. Mai exact, când toate valorile sale au fost încercate, un nou nogood este construit și trimis la agentul cel mai apropiat, agent vinovat de apariția acestei situații. Acest mesaj va forța agentul ce va recepționa mesajul să-și schimbe valoarea. Pentru acele variabile ce sunt în Γ^- (self), acest lucru nu trebuie neapărat realizat pentru că agenții responsabili sunt legați prin legături ce le permit recepționarea de mesaje info. În schimb, pentru alți agenți cu care nu este conectat, aceste acțiuni din backtracking pot conduce la învechirea nogoodurilor apărute. Din acest motiv, în momentul apelării procedurii backtracking, se renunță la acele nogooduri și la valorilor asociate acestor variabile [BM05].

Aplicând această metodă la nucleul ABT (varianta cu flaguri), se ajunge la tehnica Distributed Dynamic Backtracking cu flaguri (DisDBWFL). Trebuie amintit că există o anumită deosebire față de varianta derivată din [BM05]: noul nogood nu este de tipul "nogood resolution", ci este construit ca o submulțime inconsistentă a contextului agentului (lista myAgentView).

7.4. REZULTATE EXPERIMENTALE.

În acest paragraf sunt prezentate rezultatele experimentale obținute în urma implementării și evaluării tehnicilor asincrone prezentate. Pentru a face evaluarea performanțelor tehnicilor construite, aceste tehnici au fost implementate folosind modelul cu sincronizarea execuției agenților (SEIS), model ce permite și contorizarea numărului de cicluri necesari obținerii soluției. Tehnicile asincrone au fost aplicate pentru problema colorării unui graf în varianta distribuită ($n=15$, respectiv $n=20$ noduri). S-a utilizat cadrul experimental prezentat în paragraful 6.1.

Dintre unitățile de măsură prezentate în paragraful 6.1, s-a contorizat fluxul de mesaje (adică numărul de mesaje info și back schimbate de agenți), numărul de constrângeri verificate, numărul de constrângeri concurente verificate (notat cu c-ccks) și numărul de cicluri necesari pentru obținerea soluției. S-a contorizat numărul de valori nogood stocate (respectiv listele cu flaguri pentru versiunile cu flaguri). Evaluările au fost făcute pentru cele șapte tehnici prezentate (variantele inițiale cu stocarea nogoodurilor și variantele cu flaguri).

7.4.1. Analiza rezultatelor experimentale în cazul tehnicii Asynchronous Backtracking cu flaguri (varianta Yokoo)

Cele trei versiuni evaluate (derivate din varianta de bază Yokoo) au fost notate cu ABT, ABTWFL și ABTWFL-îmbunătățită (variantă propusă în paragraful 7.3). Valorile obținute pentru cele două clase de grafuri (cu 15, respectiv 20 de noduri) sunt prezentate în tabelul 7.1.

Prima unitate de măsură folosită pentru analiza performanțelor celor trei versiuni de tehnici a fost ciclul. Această unitate de măsură permite evaluarea efortului global depus de agenți. Modelul utilizat la implementare a permis contorizarea numărului de cicluri. Din analiza valorilor, se observă că cele trei versiuni au valori apropiate în ce privește numărul de cicluri necesari. Varianta cu flaguri îmbunătățită se detașează pentru grafuri de dimensiune mai mare și densități mari. Acest fapt arată un comportament bun în cazul problemelor dificile cu dimensiuni mari.

În ceea ce privește efortul local depus de fiecare agent analizând valorile din tabel, se remarcă o diferență mare între tehnica de bază ABT (Yokoo) și cele două variante cu flaguri, acestea necesitând un efort local mult mai mic (aproape jumătate). Varianta propusă se detașează prin faptul că ea implică cel mai mic efort în găsirea unei soluții.

În ce privește fluxul de mesaje, cele trei variante necesită un număr apropiat de mesaje pentru probleme cu dimensiune și densitate mică. În schimb, pentru cazul problemelor cu dimensiune mai mare și densitate mare, variantele cu flaguri au necesitat un flux de mesaje mai mic. Trebuie remarcat faptul că numărul de valori nogood stocate, respectiv numărul de flaguri pentru variantele cu flaguri sunt apropiate, dar cantitatea de memorie necesară este mult mai mică pentru ultimele variante.

| | | n = 15 | | n = 20 | |
|-------------------------|---------|---------|----------|----------|-----------|
| | | m=n x2 | m=n x2.7 | m=n x2 | m=n x2.7 |
| ABT | TNogood | 35.75 | 201.24 | 190.58 | 976.81 |
| | TOk | 161.87 | 601.15 | 705.89 | 3423.86 |
| | TNGS | 16.54 | 52.02 | 83.87 | 273.61 |
| | Tciclii | 36.49 | 139.98 | 148.95 | 506.74 |
| | TCcks | 8162.67 | 34063.76 | 50940.36 | 246900.42 |
| | Tc-ccks | 1995.91 | 7882.72 | 11082.42 | 47391.03 |
| ABTWFL | TNogood | 34.10 | 161.83 | 192.15 | 1098.30 |
| | TOk | 158.47 | 503.78 | 712.89 | 3856.38 |
| | TNGS | 15.57 | 42.37 | 81.57 | 297.68 |
| | Tciclii | 34.46 | 114.20 | 144.39 | 566.46 |
| | TCcks | 3506.95 | 13451.21 | 22367.05 | 113534.07 |
| | Tc-ccks | 1055.13 | 3686.45 | 6356.22 | 28211.31 |
| ABTWFL- îmbunătățită | TNogood | 33.88 | 161.44 | 192.12 | 851.41 |
| | TOk | 157.49 | 500.28 | 708.89 | 2914.48 |
| | TNGS | 15.52 | 41.72 | 83.88 | 242.51 |
| | Tciclii | 33.24 | 113.71 | 144.47 | 441.92 |
| | TCcks | 3281.64 | 13084.59 | 22520.98 | 86663.49 |
| | Tc-ccks | 979.64 | 3664.35 | 6327.31 | 22021.41 |

Tabelul 7.1. Rezultatele experimentale pentru versiunile de Asynchronous Backtracking (versiunea de bază -[YDIK98]) în cazul introducerii flagurilor.

Aplicând algoritmul de filtrare propus în paragraful 6.5.2 s-au obținut alte trei variante de tehnici asincrone pentru care s-a executat un număr de 100 de rulări (în condițiile utilizării modelului cu sincronizare). Valorile obținute pentru cele trei versiuni de tehnici în condițiile filtrării mesajelor sunt prezentate în tabelul 7.2.

Din analiza valorilor din tabelul 7.2 se remarcă faptul că cele două variante cu flaguri, dar în special varianta propusă în acest studiu, necesită costuri de calcul mai mici. Se remarcă faptul că pentru probleme de dimensiune și dificultate mare varianta propusă în acest studiu necesită costuri mult mai mici față de varianta de bază și chiar față de varianta inițială cu flaguri.

| | | n = 15 | | n = 20 | |
|-----------------------|---------|---------|----------|----------|-----------|
| | | m=n x2 | m=n x2.7 | m=n x2 | m=n x2.7 |
| ABT cu filtrare | TNogood | 28.84 | 71.92 | 151.33 | 520.12 |
| | TOk | 127.71 | 235.78 | 542.53 | 1764.26 |
| | TNGS | 18.06 | 34.91 | 100.35 | 263.15 |
| | Tciclii | 33.42 | 65.1 | 137.72 | 348.98 |
| | TCcks | 6305.53 | 12110.44 | 38298.7 | 117686.39 |
| | Tc-ccks | 1358.14 | 2632.87 | 7312.32 | 19630.17 |
| ABTWFL cu Filtrare | TNogood | 24.79 | 61.26 | 113.34 | 368.43 |
| | TOk | 117.93 | 206.82 | 438.50 | 1268.3 |
| | TNGS | 15.06 | 28.88 | 72.05 | 181.03 |
| | Tciclii | 30.07 | 55.97 | 102.52 | 242.87 |
| | TCcks | 2686.15 | 5581.6 | 13551.87 | 40239.12 |
| | Tc-ccks | 722.58 | 1421.56 | 3578.68 | 8879.37 |

| | | | | | |
|---|---------|---------|---------|----------|----------|
| ABTWFL- îmbunătățită și cu filtrare | TNogood | 22.31 | 59.09 | 105.69 | 343.23 |
| | TOk | 110.49 | 203.7 | 401.21 | 1179.68 |
| | TNGS | 13.31 | 28.02 | 64.54 | 167.48 |
| | Tciclii | 27.49 | 54.2 | 92.46 | 222.07 |
| | TCcks | 2282.42 | 5066.64 | 12362.26 | 35693.79 |
| | Tc-ccks | 627.22 | 1309.52 | 3306.3 | 8079.38 |

Tabelul 7.2. Rezultatele experimentale pentru versiunile de Asynchronous Backtracking (versiunea [YDIK98]) cu filtrarea mesajelor.

7.5.2. Analiza rezultatelor experimentale în cazul tehnicilor din familia ABT cu flaguri.

Pe baza modelului cu sincronizare s-a implementat nucleul ABT în ambele variante (variante de bază și cea cu flaguri), nucleu prezentat în paragraful 7.4.1. La acest nucleu s-au aplicat cele două metode de eliminare a informațiilor învechite obținând patru variante de tehnici. Cele patru variante evaluate din familia ABT (Bessiere) au fost numite ABT (Bessiere), ABTWFL, DisDB și DisDBWFL. Pentru evaluare s-au ales trei clase de grafuri cu dimensiune mai mare. Valorile obținute pentru trei clase de grafuri (cu 20, 25 respectiv 30 de noduri) sunt prezentate în tabelul 7.3 (versiunile ABT) și tabelul 7.4. (versiunile DisDB).

Suplimentar, s-a contorizat și numărul de constrângeri concurente verificate de fiecare agent. Acesta permite evaluarea efortului local, fără a lua în calcul faptul că agenții lucrează concurent (informal, numărul de constrângeri concurente verificate, aproximează cea mai lungă secvență de constrângeri verificate neexecutate concurent).

Din analiza valorilor din cele două tabele se remarcă faptul că cele două versiuni (versiunea de bază și cea cu flaguri) au valori apropiate în ce privește numărul de cicli necesari obținerii soluției, remarcând totuși performanțe mai bune pentru versiunile cu flaguri. Versiunea cu flaguri se detașează pentru grafuri cu dimensiune mare și densitate mare. Acest lucru arată un comportament bun în cazul problemelor dificile.

| | | n = 20 | | n = 25 | | n = 30 | |
|---------------|---------|---------|----------|---------|----------|----------|----------|
| | | m=n x2 | m=n x2.7 | m=n x2 | m=n x2.7 | m=n x2 | m=n x2.7 |
| ABT | TNogood | 279.70 | 928.05 | 1213.23 | 1393.19 | 4152.59 | 5498.03 |
| | TOk | 1012.81 | 3242.26 | 4205.35 | 5389.66 | 14648.67 | 23741.29 |
| | TNGs | 137.55 | 289.61 | 592.42 | 477.98 | 1719.31 | 1546.79 |
| | Ciclii | 211.52 | 490.74 | 634.17 | 736.62 | 2294.85 | 2427.14 |
| | TCcks | 59372 | 186777 | 368304 | 368304 | 1328756 | 1892342 |
| | Tc-ccks | 12393 | 34358 | 48201 | 56843 | 270280 | 240830 |
| ABTWFL | TNogood | 242.51 | 621.54 | 694.04 | 972.76 | 2859.54 | 3004.56 |
| | TOk | 908.85 | 2218.59 | 2684.29 | 3677.43 | 10091.74 | 13021.04 |
| | TNGs | 119.20 | 194.80 | 338.98 | 343.35 | 1207.56 | 882.73 |
| | Ciclii | 183.09 | 329.63 | 456.06 | 472.31 | 1585.63 | 1313.81 |
| | TCcks | 24535 | 67371 | 91516 | 115722 | 426475 | 406482 |
| | Tc-ccks | 7349 | 18365 | 32865 | 27624 | 119371 | 79695 |

Tabelul 7.3. Rezultatele experimentale pentru versiunile ABT- (Bessiere) în cazul introducerii flagurilor.

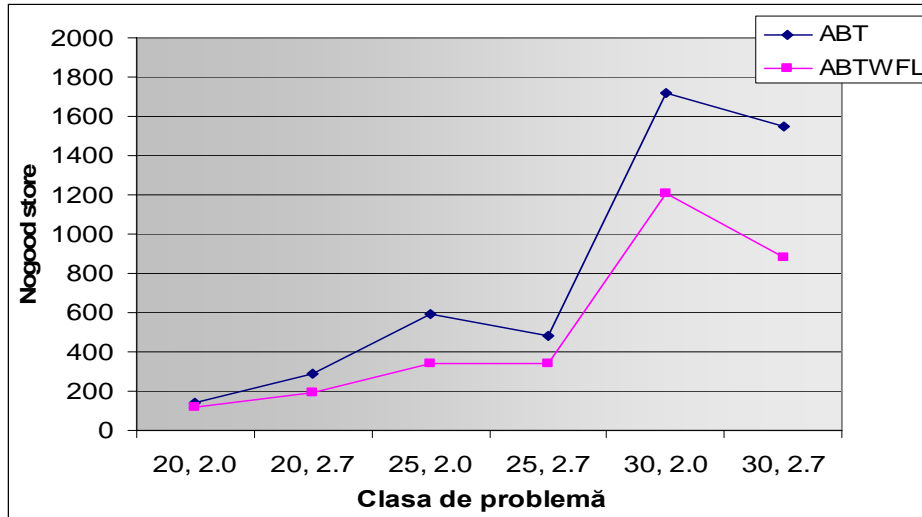


Figura 7.2 Rezultate comparative pentru versiunile ABT(Bessiere) în raport cu numărul de mesaje de tip nogood stocate

În ceea ce privește efortul local depus de fiecare agent (evaluat prin contorizarea constrângerilor verificate, respectiv numărul de constrângeri concurente verificate), analizând aceste valori, se observă aceleași diferențe între tehnicile de bază și cele cu flaguri, acestea din urmă necesitând un efort local aproape la jumătate.

În figurile 7.2. și 7.3. sunt prezentate evoluțiile fluxului de mesaje nogood stocate de fiecare agent, respectiv numărul de flaguri setate pentru versiunile cu flaguri. Folosirea acestei tehnici a permis reducerea fluxului de mesaje nogood și în plus reducerea cantității de memorie necesară pentru stocarea informațiilor din nogood-uri, pentru ambele tehnici derivate.

| | | n = 20 | | n = 25 | | n = 30 | |
|-----------------|---------|---------|----------|---------|----------|---------|----------|
| | | m=n x2 | m=n x2.7 | m=n x2 | m=n x2.7 | m=n x2 | m=n x2.7 |
| DisDB | TNogood | 288.12 | 824.89 | 697.92 | 1066.35 | 3397.69 | 5956.57 |
| | TOK | 629.39 | 1927.99 | 1393.93 | 2728.78 | 6980.20 | 13620.4 |
| | TNGS | 168.88 | 330.75 | 402.67 | 474.35 | 1951.72 | 2442.77 |
| | Tciclii | 158.05 | 403.42 | 400.58 | 534.55 | 1814.48 | 1770.23 |
| | TCcks | 38258.7 | 112446.8 | 122533 | 178043 | 719449 | 1196721 |
| | Tc-ccks | 9364.67 | 25255.1 | 31541.9 | 33845.2 | 184218 | 186897 |
| DisDBWFL | TNogood | 215.38 | 648.08 | 446.74 | 775.30 | 1976.57 | 6434.89 |
| | TOK | 480.37 | 1502.50 | 839.75 | 1974.85 | 4601.43 | 14589.8 |
| | TNGS | 127.51 | 269.74 | 238.72 | 346.38 | 1046.07 | 2862.95 |
| | Tciclii | 115.50 | 284.23 | 233.32 | 327.37 | 1053.68 | 1912.38 |
| | TCcks | 24723.5 | 73457.67 | 52843 | 103938.2 | 401034 | 1081615. |
| | Tc-ccks | 6357.37 | 16447.37 | 13569.4 | 19069 | 107099 | 169949 |

Tabelul 7.4. Rezultatele experimentale pentru versiunile DisDB în cazul introducerii flagurilor.

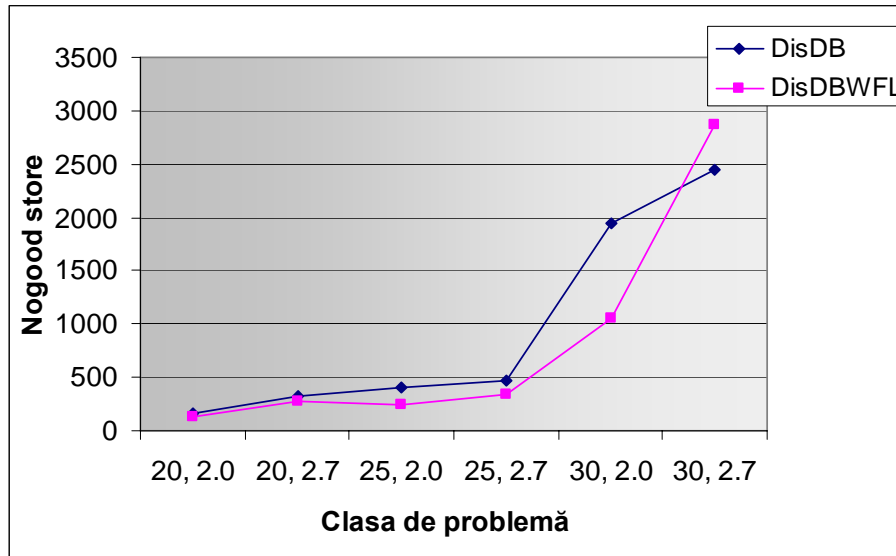


Figura 7.3. Rezultate comparative pentru versiunile DisDB în raport cu numărul de mesaje de tip nogood stocate

În ceea ce privește fluxul de mesaje, numărul de mesaje schimbate a fost foarte apropiat pentru problemele cu dimensiune mică și densitate rară. Dar, în cazul problemelor cu densitate și dimensiune mare, versiunile cu flaguri necesită un flux mai mic de mesaje. Relativ la numărul de mesaje nogood stocate (respectiv liste de tip flag), cele două variante au valori apropiate, dar cantitatea de memorie pentru versiunile cu flaguri este mult mai mică.

7.5. Concluzii.

Creșterea numărului de mesaje de tip nogood înregistrate determină o creștere a complexității algoritmilor de căutare asincroni în cazul cel mai nefavorabil. Ca o consecință, timpul de calcul și necesitățile hardware cresc foarte repede odată cu dimensiunea problemelor, studiul prezentat propunându-și să elimine stocarea valorilor nogood prin introducerea etichetării valorilor.

Tehnicile din familia ABT se caracterizează printr-o explozie a valorilor nogood, mai ales pentru probleme de dimensiune mare. O altă caracteristică specifică tehnicilor asincrone din familia ABT, este aceea că este necesară stocarea valorilor nogood pentru ca agenții să nu mai repete aceeași greșală. Acest lucru conduce la o cantitate de memorie foarte mare, mai ales pentru probleme cu dimensiune mare. O soluție de eliminare a exploziei valorilor nogood este aceea de etichetare a valorilor din domeniul fiecărei variabile cu flaguri.

Tehnica ABT cu flaguri este o tehnică derivată din tehnica de bază ABT (variantea Yokoo). Ea implică etichetarea valorilor locale din domeniul fiecărui agent, cu flaguri. Acest lucru permite eliminarea stocării valorilor nogood și, prin urmare, pentru probleme de dimensiune mare, evitarea exploziei valorilor nogood. Spațiul de

memorie necesar se reduce considerabil în cazul aplicării tehnicii cu flaguri. Această tehnică cu flaguri poate fi îmbunătățită prin restartarea procesului de căutare, în cazul recepționării unui mesaj de tip ok, îmbunătățire propusă în acest studiu. Experimentele prezentate arată o eficiență mărită în cazul acestei variante propuse, dar fără a aduce rezultate spectaculoase.

În acest studiu este propusă o soluție originală de înlocuire a stocării valorilor nogood cu etichetarea valorilor din domeniu prin două tipuri de flaguri. Această soluție este aplicată pentru nucleul ABT, obținându-se o nouă variantă ce nu mai necesită stocarea valorilor nogood. Plecând de la acest nucleu se poate ajunge la două tehnici cunoscute: asynchronous backtracking cu flaguri (variantea Bessiere) și Distributed Dynamic Backtracking cu flaguri.

Variantele de tehnici propuse în acest studiu (ABT și DisDB cu flaguri) sunt obținuți din tehnica ABT kernel prin eliminarea informațiilor învechite dintre agenți și indexarea valorilor locale din domeniul unui agent cu flaguri. Acest lucru elimină stocarea valorilor nogood și, prin urmare, pentru probleme de dimensiune mare, eliminarea exploziei valorilor nogood. Spațiul de memorie alocat este considerabil redus în cazul variantelor cu flaguri.

Tehnicile cu flaguri pot fi îmbunătățite prin restartarea procesului de căutare când sunt recepționate mesaje de tip info sau back, soluție propusă în acest capitol. Experimentele arată o îmbunătățire, dar fără a avea rezultate experimentale spectaculoase. Aceste experimente, realizate în condițiile unor variate probleme, cu densități variate, cu dimensiuni mici și mari, cu valori inițiale aleatoare, arată că tehnicile cu flaguri necesită mai puțin spațiu de stocare decât tehnicile de bază. Mai mult, o reducere a costurilor este de notat în cazul căutării soluției.

Ca o concluzie generală, introducerea flagurilor a permis eliminarea efectului exploziei valorilor nogood.

Rezultatele acestui capitol au fost publicate în [Mus05] și [MusB05]

8. DETERMINAREA NUMĂRULUI OPTIM DE MESAJE TRANSMISE PENTRU LEGĂTURILE TEMPORARE ÎN CAZUL TEHNICILOR ASINCRONE DIN FAMILIA ABT

Scopul acestui studiu este de a investiga comportamentul tehnicii ABT_{temp} pentru diferite valori ale numărului de mesaje transmise pentru legăturile temporare. Pe baza acestei analize, în acest capitol sunt identificate și prezentate mai multe soluții originale de determinare a numărului de mesaje schimbate de agenții cu legături temporare, număr optim de mesaje pentru care trebuie păstrată o legătură temporară. Este propusă o soluție dinamică de determinare a numărului de mesaje necesare pentru păstrarea unei legături, experimentele arătând o reducere a costurilor relativ la varianta de bază ABT.

Capitolul începe cu o prezentare a contextului de lucru, apoi sunt prezentate două tipuri de soluții pentru numărul de mesaje transmise pentru legăturile tempore: soluții statice și soluții dinamice. Folosind modelul cu sincronizare și soluțiile de evaluare propuse în capitolul 3 sunt implementate și evaluate variantele obținute pentru tehnica ABT cu legături temporare. În final sunt prezentate concluziile determinării numărului de mesaje.

8.1 Analiza comportamentului tehnicii ABT cu legături temporare.

Având ca bază de plecare algoritmul asynchronous backtracking (ABT) în [BMM05] a fost propus un cadru unificator, un nucleu de plecare pentru câteva dintre cele mai importante și cunoscute tehnici asincrone. Din acest nucleu au fost derivate mai multe tehnici, tehnici cunoscute sub numele de familia ABT. Ele diferă prin modul în care adaugă legături între agenții neconectați cu scopul de a detecta și elimina informațiile învechite dintre agenți.

Există mai multe soluții de eliminare a informațiilor învechite dintre agenți. O primă soluție prezentată în [BMM05] de eliminare a informațiilor învechite este de a adăuga noi legături pentru a permite agentului ce a recepționat un mesaj nogoood să decidă dacă este sau nu învechit. Legăturile care se adaugă în timpul rulării pot deveni permanente sau temporare. Păstrarea temporară a legăturilor conduce la un algoritm derivat numit ABT_{temp} . În literatura de specialitate nu apar referințe despre studii care să determine o valoare optimă pentru acel număr de mesaje. Acest studiu investighează diverse valori pentru numărul de mesaje, valori ce se determină fie static (înainte de rulare), fie dinamic în timpul rulării. Folosind modelul de implementare cu sincronizare este investigat comportamentul tehnicii ABT_{temp} pentru diferite valori ale numărului de mesaje având ca țintă identificarea unei valori optime ce permite reducerea costurilor de găsire a soluției.

Pentru a putea analiza comportamentul acestei tehnici cu legături temporare, tehnică derivată din nucleul ABT, s-au efectuat mai multe experimente cu diverse valori ale numărului de mesaje [MusPP05a]. Pentru aceasta, s-au ales

două clase de probleme de dimensiune mare (30 și 40 de noduri/agenți), la fiecare clasă executându-se rulări pentru diverse valori ale numărului de mesaje. În figura 8.1. se prezintă valorile obținute pentru diverse valori ale numărului de mesaje (s-a contorizat numărul de mesaje schimbate și numărul de constrângeri concurente verificate de agenți).

Experimentele arată că pentru fiecare clasă de probleme există o valoare a numărului de mesaje, valoare pentru care tehnica ABT kernel cu legături temporare se comportă asemănător cu tehnica de bază ABT. De asemenea, din analiza experimentală a valorilor, se observă că există o altă valoare a numărului maxim de mesaje, pentru care se obțin performanțe mai bune decât varianta de bază ABT, variantă derivată din ABT kernel.

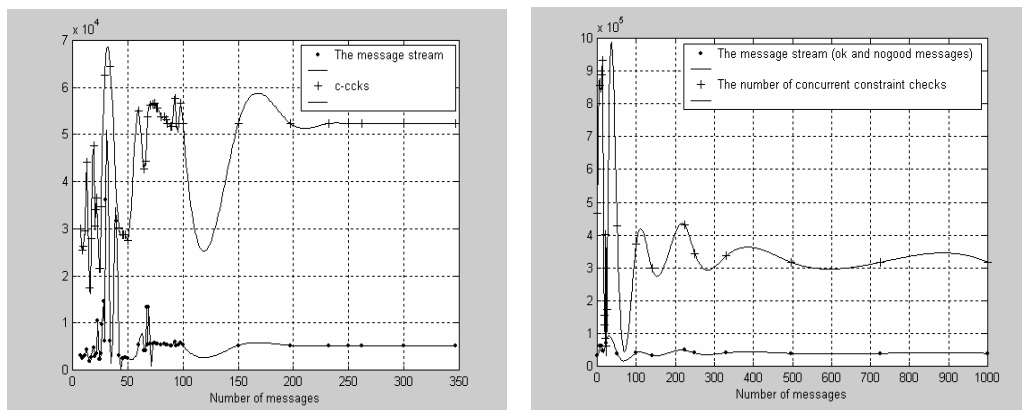


Figura 8.1. Efortul de calcul pentru diverse valori ale numărului de mesaje, în cazul tehnicii ABT cu legături temporare

8.2. Determinarea valorii numărului de mesaje ce trebuie transmise pentru legăturile temporare.

În acest paragraf se vor prezenta mai multe soluții de determinare a numărului de mesaje schimbate de agenții cu legături temporare, număr de mesaje pentru care trebuie păstrată o legătură temporară.

Plecând de la comportamentul identificat în paragraful anterior sunt propuse două tipuri de soluții: soluții statice (în care numărul de mesaje este fixat și nu se schimbă de-a lungul rulării algoritmului) și soluții dinamice (în care valoarea numărului de mesaje variază de la începutul rulării până la final).

8.2.1. Soluții statice pentru determinarea numărului optim de mesaje.

Soluțiile statice propuse în acest studiu se bazează pe determinarea pentru fiecare agent, înainte de rulare, a valorii numărului de mesaje ce trebuie transmise pentru o legătură. Acest număr poate fi determinat în mai multe moduri și este folosit ca număr maxim de mesaje transmise.

Soluțiile statice presupun construirea grafului indus asociat problemei (într-o fază de preprocesare). Fiecărei probleme DCSP i se poate asocia un graf al constrângerilor, în care nodurile sunt agenți/variabile și arcele depind de existența

constrângerilor dintre agenți/variabile. Din acest graf al constrângerilor noi se poate obține *graful indus*, relativ la ordinea existentă între agenți, prin adăugarea unor legături între părinții fiecărui nod, dacă acestea nu există. Acest graf indus se construiește ca și în [DP88] și a fost prezentat în capitolul 2, remarca 2.2.2. Pe baza acestui graf se poate determina un număr de mesaje fixe pentru fiecare agent, după cum urmează:

- prima soluție consideră că numărul de mesaje va fi egal cu numărul de vecini în graful indus, pentru fiecare agent. Fiecare agent va păstra o anumită legătură temporară până când va schimba un număr de mesaje egal cu numărul său de vecini. Această soluție va fi denumită #S1.
- a doua soluție se bazează pe calculul unei valori globale comune pentru toți agenții, valoare obținută ca cea mai mare valoare dintre numărul vecinilor fiecărui agent. Această soluție va fi denumită #S2

Experimentele ce vor fi prezentate în paragraful următor vor arăta că pentru probleme cu dimensiune mică soluțiile sunt eficiente, dar odată cu creșterea dimensiunii problemelor, varianta de bază este mai performantă decât variantele cu număr temporar de legături (cu soluții statice).

8.2.2. Soluții dinamice pentru determinarea numărului optim de mesaje.

Prin urmare, cea mai bună soluție, observată și experimental, este de a determina dinamic numărul maxim de mesaje în timpul rulării, acesta neavând o valoare fixă. El trebuie să fie variabil, pentru fiecare agent în parte, o valoare maximă generală nefiind cea mai bună alegere. Practic, se deduce dinamic în timpul rulării valoarea numărului de mesaje și ea este ajustată în funcție de evoluția algoritmului. Această soluție va fi propusă mai departe la prezentarea soluțiilor dinamice.

Variantele dinamice propuse se bazează pe folosirea informațiilor legate de fluxul de mesaje nogood învechite. Aceste informații se schimbă de-a lungul rulării algoritmului. După cum se cunoaște din [BMM05] când un agent A_k recepționează un mesaj nogood el este acceptat dacă este consistent cu vederea sa, altfel este considerat ca fiind învechit. Fluxul de mesaje învechite crește și datorită faptului că agenții nu sunt informați (datorită inexistenței acelor legături suplimentare). Prin urmare, fiecare agent folosește o structură de date suplimentară în care reține numărul de mesaje învechite recepționate de la fiecare agent cu care este conectat. Aceste valori sunt folosite pentru a determina numărul de mesaje schimbate pentru fiecare legătură temporară. Practic, această valoare se determină ca fiind cel mai mare număr de mesaje nogood învechite recepționate la un moment dat. Aceasta este prima soluție dinamică propusă în acest studiu, denumită #D1.

A doua soluție dinamică propusă în acest studiu, denumită #D2, se obține din prima soluție dinamică, prin folosirea informațiilor legate de numărul de vecini ai fiecărui agent. În cazul primei soluții, în prima parte a rulării algoritmului, fluxul de mesaje nogood învechite este foarte mic, având ca efect o valoare mică pentru numărul de mesaje pentru care se păstrează o legătură. Prin urmare, se pornește cu o valoare fixă pentru numărul de mesaje, egală cu cel mai mare număr de vecini din graful indus. Această valoare inițială este actualizată pe parcurs, folosind cea mai mare valoare a numărului de mesaje învechite a tuturor agenților.

Pentru a îmbunătăți eficiența celor două variante dinamice propuse, fiecare agent încearcă să păstreze cât mai mult anumite legături temporare. Anumite

legături temporare cu acei vecini cu care a schimbat un flux de mesaje nogood învechite maxim sunt păstrate suplimentar. Practic, pentru fiecare agent se determină agentul cu care a avut un flux de mesaje învechite maxim (în procedura *CheckAgentView*). Legătura cu acesta este păstrată suplimentar, până se identifică un alt agent cu care a avut un flux de mesaje învechite maxim.

8.2.3 Determinarea numărului maxim de mesaje învechite recepționate de agenți.

Cele două soluții dinamice presupun cunoașterea de către fiecare agent a numărului maxim de mesaje învechite recepționate de fiecare agent. O soluție ar consta în existența unui agent central, care să stocheze informații legate de numărul maxim de mesaje învechite recepționate de fiecare agent. Acest agent ar putea păstra o listă cu maximele transmise de fiecare agent. Din păcate această soluție mărește costurile soluției pentru că necesită ca fiecare agent să transmită agentului central maximele relative la fluxul de mesaje învechite.

O a doua soluție propusă în acest capitol, mult mai practică, este bazată pe transmiterea maximelor fiecărui agent la cei cu care este conectat în momentul transmiterii unui mesaj de tip „info” sau „nogood”. Ideea este asemănătoare celei din algoritmul de determinare a costului cumulativ din [MKRZ02].

În figura 8.2 se prezintă un algoritm original de determinare a „maximului” dintre maximele fluxului de mesaje învechite. Fiecare agent păstrează o listă locală de variabile contor (*C_OldNogood*) având rol de a reține numărul de mesaje învechite recepționate de la agenți. De asemenea, fiecare agent păstrează și un contor *MaxOldNogood* ce va reține maximul numărului de mesaje dintre vecini.

| <i>Determinarea numărului maxim de mesaje învechite recepționate de agenți</i> |
|---|
| 1: Fiecare agent inițializează variabilele contor <i>C_OldNogood</i> cu 0. De asemenea, se inițializează <i>MaxOldNogood</i> cu 0. 2: Când un agent transmite un mesaj el include și valoarea contorului său <i>MaxOldNogood</i> . 3: Când un agent recepționează o valoare nogood învechită de la un agent <i>Sender</i> se actualizează contorul corespunzător din lista <i>C_OldNogood</i> . Replace-item <i>Sender C_OldNogood</i> with item <i>Sender C_OldNogood + 1</i> 4: if an agent receives a message with a counter <i>SenderMx</i> then Set <i>MaxOldNogood</i> = max { <i>C_OldNogood</i> } if <i>MaxOldNogood</i> < <i>SenderMx</i> then Set <i>MaxOldNogood</i> = <i>SenderMx</i> end if end if |

Figura 8.2 Determinarea numărului maxim de mesaje învechite recepționate de agenți

Acest algoritm se aplică asupra tehnicii ABT, permițând fiecărui agent să rețină valoarea maximă a numărului de mesaje nogood învechite schimbate de agenți.

8.2.4 Adaptarea tehnicii ABT cu legături temporare

Aplicarea algoritmului din figura 2 și limitarea fluxului de mesaje a implicat anumite modificări asupra tehnicii ABT cu legături temporare.

În figura 8.3. se prezintă acele modificări necesare în codul tehnicii ABT (varinta derivată din ABT kernel), pentru a putea aplica metodele prezentate anterior pentru numărul de mesaje, în special pentru aplicarea soluțiilor dinamice de determinare a numărului de mesaje. Modificările sunt marcate cu ***.

```

procedure ABTkernel()
1 myValue←empty; end ← false;
1.1. Set  $\Gamma_e^+$  (self) ←  $\emptyset$  ***
1.2. Set  $\Gamma_e^-$  (self) ←  $\emptyset$  ***
2 CheckAgentView();
3 while (not end) do
4 msg ← getMsg();
5 switch(msg:type)
6 Info : ProcessInfo(msg);
7 Back : ResolveConflict(msg);
8 Stop : end← true;
9.1. AddL : SetLink(msg);
9.2. RemoveL: RemoveLink(msg); ***
End
procedure ProcessInfo(msg)
1 Update(myAgentView; msg.Assig);
2 CheckAgentView();
End
procedure CheckAgentView(msg)
1 if not consistent(myValue;myAgentView) then
2 myValue ← ChooseValue();
3 if (myValue) then
4 for each child  $\in \Gamma^+$  (self) do
5 sendMsg:Info(child;myValue);
3.1 CheckRemoveLink(Self, Child) ***
4 else
5 Backtrack();
End
procedure ResolveConflict(msg)
1 if Coherent(msg.Nogood;  $\Gamma^-$  (self)  $\cup$  {self}) then
2.1 CheckAddLink(msg);
3 add(msg:Nogood;myNogoodStore); myValue ← empty;
4 CheckAgentView();
5.1 else if Coherent(msg.Nogood; self) then
6 SendMsg:Info(msg.sender; myValue);
5.2. replace item Sender C_OldNogood with item Sender C_OldNogood+1 ***
End
procedure SetLink(msg)
1 add(msg.sender;  $\Gamma^+$  (self)); add(msg.sender;  $\Gamma_e^+$  (self));
2 sendMsg:Info(msg.sender;myV alue);
End
procedure CheckAddLink(msg)
1 for each (var  $\in$  lhs(msg.Nogood))
2 if (var  $\notin \Gamma^-$  (self)) then

```

```

3      sendMsg:AddL(var, self);
4      add(var;  $\Gamma^-$  (self)); add(var;  $\Gamma_e^-$  (self));
5      Update(myAgentView; var  $\leftarrow$  varValue);
End
procedure RemoveLink(msg)          ***
1  remove(msg.sender;  $\Gamma^-$  (self));
2  remove(msg.sender;  $\Gamma_e^-$  (self));
End
procedure CheckRemoveLink(msg)     ***
1  for each child  $\in \Gamma_e^+$  (self) do
2      if (item child CMessageTempLink)= MaxOldNogood then
          remove(child;  $\Gamma^+$  (self)); remove(child;  $\Gamma_e^+$  (self));
3      sendMsg:RemoveL(child, self);
4      Update(myAgentView; child  $\leftarrow$  unknown);
End
procedure Backtrack()
1  newNogood  $\leftarrow$  solve(myNogoodStore);
2  if (newNogood = empty) then
3      end  $\leftarrow$  true; sendMsg:Stop(system);
4  else
5      sendMsg:Back(newNogood);
6      Update(myAgentView; rhs(newNogood) $\leftarrow$  unknown);
7      CheckAgentView();
End
function ChooseValue()
1  for each  $v \in D$ (self) not eliminated by myNogoodStore do
2      if consistent(v; myAgentView) then
          return (v);
3      else
          add( $x_j = val_j$  ) self  $\neq v$ ; myNogoodStore);
          /*v is inconsistent with  $x_j$  's value */
4  return (empty);
End
procedure Update(myAgentView; newAssig)
1  add(newAssig; myAgentView);
2  for each ng  $\in$  myNogoodStore do
3      if not Coherent(lhs(ng); myAgentView) then
          remove(ng; myNogoodStore);
End
function Coherent(nogood; agents)
1  for each var  $\in$  nogood  $\cup$  agents do
2      if nogood[var]  $\neq$  myAgentView[var] then return false;
3  return true;
end

```

Figura 8.3. Algoritmul ABT cu legături temporare.

Câteva precizări trebuie făcute, pentru o bună înțelegere a modificărilor necesare în codul ABT (variantă derivată din ABT kernel), modificări realizate pentru obținerea variantei ABT cu legături temporare.

În primul rând, fiecare agent va utiliza două mulțimi suplimentare Γ_e^+ (self) și Γ_e^- (self), pentru identificarea agenților copil și părinte ce apar în urma legăturilor temporare. În procedura `ABTkernel()`, în liniile 1.1. și 1.2. ei sunt determinați. De asemenea, este nevoie de introducerea a două structuri de date `CMessageTempLink` și `C_OldNogood`. Prima structură va fi folosită de un agent A_i pentru a reține numărul de mesaje info transmise pentru fiecare legătură temporară. A doua structură se folosește la contorizarea fluxului de mesaje învechite.

În al doilea rând, este necesară introducerea unui al patrulea mesaj `RemoveL`, care anunță un agent "copil" de anularea legăturii temporare dintre cei doi agenți. Acest lucru implică și ștergerea agentului ce a transmis mesajul din lista de părinți a agentului copil. Modificările necesare apar în linia 8.3. din procedura `ABTkernel()` și în procedura `RemoveLink()`, (aceasta este o nouă rutină adăugată în codul inițial ABT kernel).

În al treilea rând, după selectarea unei noi valori și anunțarea copiilor despre noua selecție, este necesară verificarea legăturilor temporare pentru a determina câte dintre ele mai rămân actuale. Acest lucru este făcut în procedura `CheckAgentView(msg)` linia 3.1, prin apelarea unei noi proceduri cu numele `CheckRemoveLink(Self, Child)`. Această rutină verifică, pentru agenții copil din Γ_e^+ (self), dacă s-a atins numărul maxim de mesaje transmise pentru aceea legătură. Acest număr maxim se poate determina cu oricare dintre metodele propuse în acest articol. În caz că s-a atins valoarea maximă `MaxOldNogood` se anulează acea legătură și se actualizează contextul de lucru.

În figura 8.4 este prezentat fluxul mesajelor, în care apar noile mesaje (mesaje de tip `AddL` și `RemoveL` ce permit gestiunea legăturilor noi). Sunt evidențiate porțiunile de cod ce sunt parcurse suplimentar pentru varianta ABT cu legături temporare (porțiunile de culoare albastră și roșie), comparativ cu cele de la varianta ABT (doar porțiunile de culoare roșie).

Porțiunile de culoare albastră prezintă traseul parcurs pentru verificarea legăturilor temporare. În primul rând acestea sunt verificate doar în momentul în care s-a identificat o valoare consistentă pentru variabila agentului, după informarea agenților copii prin mesaje de tip `info`. În momentul transmiterii numărului maxim de mesaje se parcurge procesul de anulare a legăturii temporare (rutina `CheckRemoveLink`). Procesul de anulare a legăturii este parcurs de cei doi agenți între care există legătura temporară. Agentul care transmite mesajul `RemoveL` actualizează mulțimea sa de copii, iar celălalt agent actualizează mulțimea de părinți.

Trebuie subliniat faptul că procesul de verificare este pornit în rutina `CheckAgentView` și prin urmare poate apărea fie la recepționarea unui mesaj `info` fie la recepționarea unui mesaj `back`.

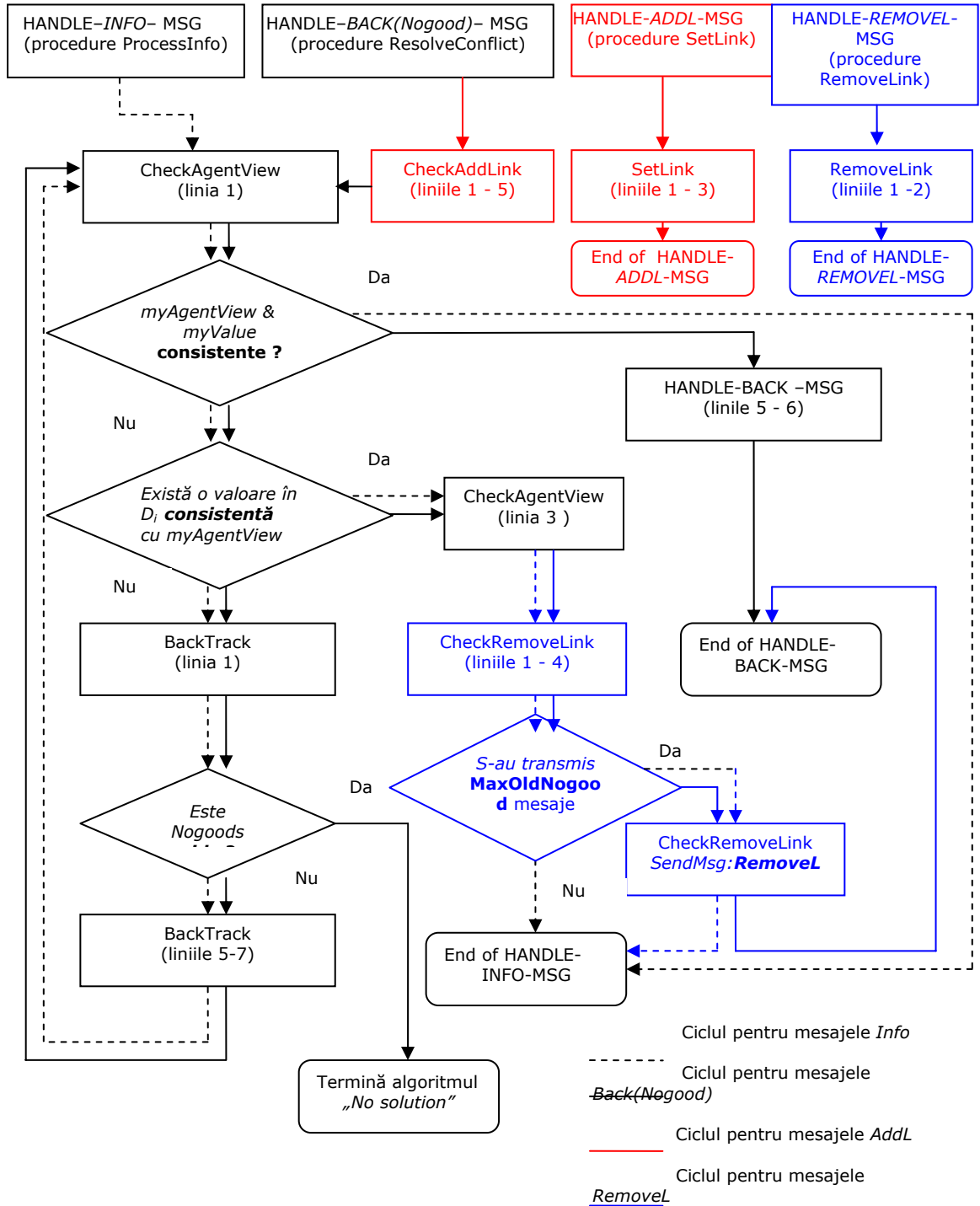


Figura 8.4. Fluxul mesajelor în cadrul algoritmului ABT cu legături temporare

8.3. REZULTATE EXPERIMENTALE.

În acest paragraf sunt prezentate rezultatele experimentale pentru acest studiu, obținute în urma implementării și evaluării tehnicilor asincrone prezentate. Implementarea și evaluarea s-a realizat pe baza modelului cu sincronizare SEIS prezentat în capitolul 5.

Experimentele s-au efectuat în aceleași condiții ca și la studiile anterioare. Este vorba de aplicarea tehnicilor asincrone pentru problema colorării unui graf, în varianta distribuită și utilizarea acelor două tipuri de probleme. Condițiile au fost prezentate în capitolul 6, paragraful §6.1.

Pentru a putea face evaluarea celor cinci tehnici (variante de bază Yokoo și tehnicile obținute), s-a contorizat fluxul de mesaje (adică cantitatea de mesaje info și back schimbate de agenți), numărul de constrângeri verificate și numărul de constrângeri concurente verificate. Evaluările au fost făcute pentru cele cinci tehnici prezentate.

Analizând cozile cu mesaje pentru tehnicile asincrone, după ce acestea au fost implementate pe baza modelului cu sincronizare și aplicate la problema colorării grafurilor, varianta distribuită, s-a observat și la aceste tehnici o cantitate foarte mare de mesaje de tip info redundante. Trebuie precizat faptul că fiecare agent rulează concurent și asincron, prin urmare în fiecare coadă de mesaje se adună mai multe mesaje de tip *info* sau *back*. În primul rând, s-au identificat mesaje de tip info de la același agent, trimise în diverse momente ale rulării. Aceste mesaje de tip info sunt redundante, iar unele învechite.

Plecând de la aceste observații, s-a apelat la algoritmul de filtrare prezentat în §6.5.2. Practic, când se extrage din coada de mesaje un mesaj de tip *info*, acesta nu este tratat imediat de rutina *ProcessInfo*, ci se verifică dacă acesta nu este cumva redundant sau învechit. Dacă apare una din aceste situații, se ignoră mesajul (eliminându-l din coada de mesaje), altfel se apelează rutina normală de tratare a mesajelor info.

Prin urmare, pentru fiecare versiune s-au executat 100 de rulări, dar în condițiile aplicării algoritmului de filtrare a mesajelor de tip info. Cele două clase de tehnici evaluate au fost numite ABT (variante de bază ABT derivată din nucleul ABT), ABTTL (ABT cu legături temporare). Valorile experimentale obținute pentru trei clase de grafuri, grafuri de dimensiune mare (cu 30, 40 respectiv 50 noduri/agenți) au fost stocate în tabelul 5.1.

Spre deosebire de studiul din capitolul anterior unde s-au utilizat grafuri cu dimensiune mai mică, evaluarea tehnicilor cu legături temporare a necesitat probleme de dimensiune mult mai mare pentru că tehnica de bază și cea cu legături temporare necesitau costuri apropiate pentru probleme de dimensiune mică. Utilizarea modelului cu sincronizare la implementarea tehnicilor a permis o evaluare pentru probleme de dimensiune mare.

Pentru cazul versiunii cu număr temporar de legături s-au implementat și evaluat două variante de algoritmi cu legături temporare, corespunzător celor două tipuri de soluții propuse pentru determinarea numărului de mesaje:

- versiuni ce determină static numărul de mesaje (numite ABTTL#s1 și ABTL#s2, corespunzător celor două soluții statice propuse în paragraful §8.2.1);

- versiuni ce determină dinamic numărul de mesaje (numite ABTTL#d1 și ABTTL#d2, corespunzător celor două soluții dinamice propuse în paragraful §8.2.2).

Efortul local depus de fiecare agent a fost evaluat folosind cele două unități de măsură propuse în capitolul 5: numărul constrângerile verificate și numărul de constrângeri concurente verificate (notat c-ccks). Analizând rezultatele din tabelul 8.1, se remarcă eforturi de calcul mici pentru probleme de dimensiune mică față de varianta de bază ABT. În schimb, odată cu creșterea dimensiunii problemelor (40 și 50 noduri), doar variantele dinamice au performanțe bune, remarcându-se varianta ABTTL#d2, care a necesitat cel mai mic efort de calcul în raport cu varianta ABT.

Variantele statice au necesitat eforturi locale mai bune decât varianta de bază doar pentru probleme de dimensiune mică, indiferent de densitatea problemei. Pentru probleme de dimensiune mare, costurile au crescut dramatic pentru aceste versiuni, spre deosebire de cele dinamice.

| | | n = 30 | | n = 40 | | n = 50 | |
|-----------|---------|-----------|-----------|------------|------------|------------|------------|
| | | m=n x2 | m=n x2.7 | M=n x2 | m=n x2.7 | m=n x2 | m=n x2.7 |
| ABT | TNogood | 1621.99 | 2632.30 | 3950.03 | 7248.24 | 35231.29 | 33008.18 |
| | TOk | 5560.30 | 9348.11 | 14208.47 | 28235.65 | 177244.79 | 140240.47 |
| | TCcks | 476188 | 739461 | 1690134 | 2946308 | 21316191 | 17631276 |
| | Tc-ccks | 87704. | 118282 | 299993.73 | 352171.15 | 2182343.71 | 1929763 |
| ABTTL #s1 | TNogood | 877.16 | 2411.86 | 3648.17 | 5374.55 | 29475.00 | 28405.00 |
| | TOk | 2793.26 | 7503.00 | 10972.33 | 16153.90 | 104635.50 | 92471.00 |
| | TCcks | 260786 | 628925 | 1403769 | 1878704 | 14572460 | 13476611 |
| | Tc-ccks | 69076 | 110646 | 304527.83 | 333460.15 | 3041334.50 | 2560670 |
| ABTTL #s2 | TNogood | 1191.12 | 3014.29 | 3017.25 | 6521.36 | 25931.00 | 25741.50 |
| | TOk | 3592.03 | 8973.00 | 10771.38 | 21284.82 | 99043.00 | 78725.00 |
| | TCcks | 339751 | 778830 | 1184052 | 2432875 | 13386381 | 11243364 |
| | Tc-ccks | 96029.22 | 144736.43 | 197051.88 | 423334.82 | 2373663.50 | 2216387.50 |
| ABTTL #d1 | TNogood | 1063.78 | 2825.27 | 2779.32 | 8218.54 | 20665.00 | 34548.20 |
| | TOk | 3948.45 | 8977.92 | 9797.11 | 28642.23 | 83434.50 | 121561.80 |
| | TCcks | 375523.61 | 754445.5 | 1124637.9 | 3121796.6 | 10636911.0 | 16671921.0 |
| | Tc-ccks | 99501.02 | 155294.85 | 200040.21 | 545574.08 | 1870391.67 | 1999188.00 |
| ABTTL #d2 | TNogood | 1054.65 | 2581.87 | 2893.17 | 7262.12 | 10930.21 | 18948.86 |
| | TOk | 3743.49 | 8185.80 | 10217.28 | 23654.44 | 44167.43 | 64503.64 |
| | TCcks | 356951.37 | 691387.06 | 1167595.10 | 2665277.12 | 5701223.86 | 9050695.86 |
| | Tc-ccks | 93656.01 | 136670.46 | 220346.34 | 472663.35 | 1007322.86 | 1596578.36 |

Tabelul 8.1. Rezultatele experimentale pentru versiunile ABT în cazul limitării fluxului de mesaje pentru legăturile temporare

În ceea ce privește fluxul de mesaje, comportamentul remarcat anterior s-a păstrat, variantele dinamice necesitând un flux de mesaje mult mai mic decât

varianta de bază ABT cu număr fix de legături. Dar, în cazul problemelor cu dimensiune și densitate mare, varianta dinamică #D2 a necesitat cel mai mic flux de mesaje.

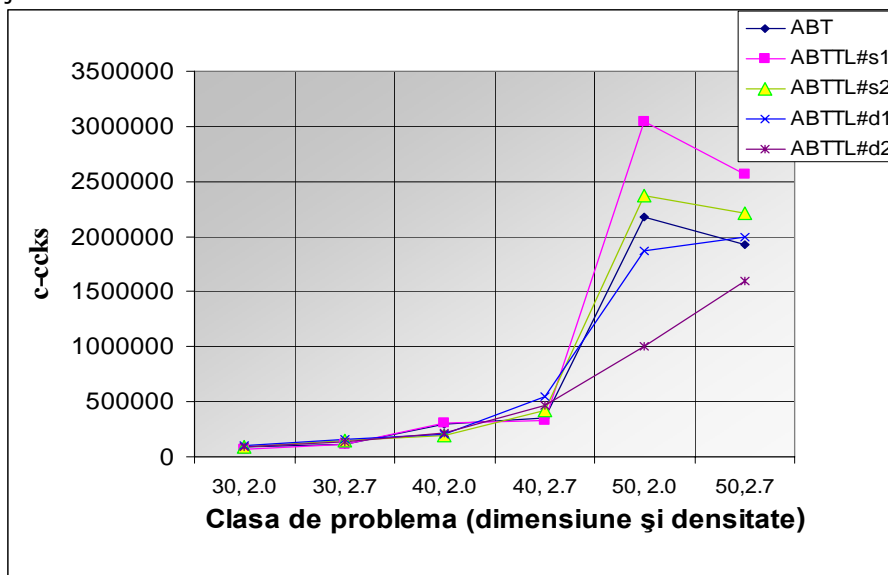


Figura 8.5. Rezultate comparative pentru versiunile ABT în raport cu numărul de constrângeri concurente verificate

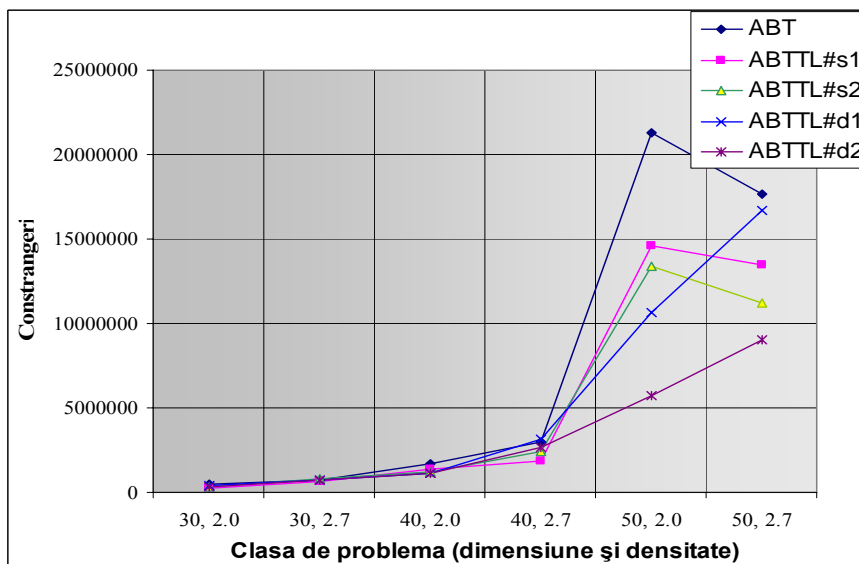


Figura 8.6. Rezultate comparative pentru versiunile ABT în raport cu numărul de constrângeri verificate

Soluțiile dinamice s-au remarcat ca fiind cele mai eficiente. Toate cele trei soluții dinamice au presupus că agenții cunosc în orice moment maximele relative la

fluxul de mesaje învechite obținute de ceilalți agenți. În paragraful anterior s-au propus două soluții relative la cunoașterea acestor maxime. Mediul NetLogo permite agenților să aibă acces la zone de memorie comună, prin urmare soluțiile dinamice au putut fi implementate foarte ușor în acest simulator fără a folosi algoritmul din figura 8.2. Din experimentele efectuate a rezultat că nu sunt foarte mari diferențe față de varianta dinamică propusă în acest studiu (variantă care nu necesită existența acelor zone comune de memorie și care presupune folosirea algoritmului 8.3). Trebuie subliniat faptul că sunt de preferat variantele dinamice propuse împreună cu algoritmul din fig. 8.2. pentru că în practică, existența acelor zone comune de memorie nu este posibilă întotdeauna.

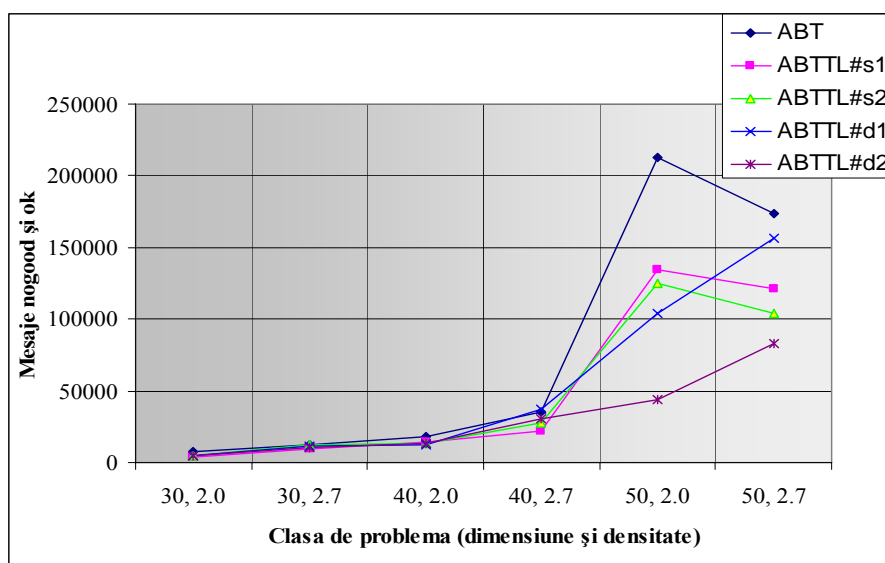


Figura 8.7. Rezultate comparative pentru versiunile ABT în raport cu numărul de mesaje schimbate

8.4. Concluzii.

În acest studiu a fost investigat comportamentul tehnicii ABT cu legături temporare pentru diferite valori ale numărului de mesaje transmise pentru legăturile temporare. Experimentele realizate arată că fiecare clasa de probleme are o valoare fixă a numărului de mesaje, valoare pentru care tehnica ABT kernel cu legături temporare se comportă identic cu tehnica de bază ABT. Din analiza experimentală a valorilor se observă că există o valoare apropiată de numărul maxim de mesaje, pentru care se obțin performanțe mai bune decât varianta de bază ABT. Au fost propuse mai multe soluții pentru limitarea numărului de mesaje transmise.

O primă soluție propusă este aceea de a determina pentru fiecare agent, înainte de rulare, un număr fix de mesaje ce trebuie transmise pentru o legătură. Acest număr este determinat în mai multe moduri, fiind propuse două variante statice #S1 și #S2. Acest număr va fi folosit ca și număr maxim de mesaje transmise. Experimentele arată că pentru probleme cu dimensiune mică soluția este eficientă, dar pentru dimensiune mare varianta de bază depășește varianta cu număr temporar de legături ce utilizează cele două soluții #S1 și #S2.

O a doua categorie de soluții propuse, mult mai eficientă, constă în a determina dinamic în timpul rulării numărul maxim de mesaje. Practic, se deduce dinamic în timpul rulării, valoarea maximă a numărului de mesaje și ea este ajustată în funcție de evoluția algoritmului, obținându-se soluțiile #D1 și #D2. Pentru aceste soluții, un algoritm de determinare a numărului maxim de mesaje este propus, fără a necesita zone comune de memorie. Acest algoritm se poate aplica pentru sistemele de implementare SEIS și SEIAS prezentate în capitolul 5.

Evaluările experimentale realizate în condițiile unor probleme variate, cu valori inițiale alese aleator, pentru probleme cu densități variate, arată că soluția dinamică #D2 este mai eficientă decât tehnica de bază, pentru ambele tipuri de probleme (cu densitate mică și dificilă), pentru dimensiuni mici și pentru dimensiuni mari ale problemelor.

Rezultatele evidențiate în acest capitol au fost publicate în [MusPP05a].

9. ASYNCHRONOUS BACKTRACKING CU LEGĂTURI TEMPORARE ȘI PERMANENTE

În acest studiu se propune un membru hibrid pentru familia ABT, membru derivat din nucleul ABT prin eliminarea informațiilor învechite dintre agenți, combinând două metode de eliminare a informațiilor învechite dintre agenți: adăugarea de legături permanente între agenți, respectiv adăugarea de legături temporare. Noul membru se obține prin identificarea și transformarea anumitor legături temporare în legături permanente. Pentru aceasta se propune o metodă de identificare a legăturilor temporare bazată pe informațiile relative la fluxul de mesaje învechite recepționate de fiecare agent. Capitolul de față continuă studiul legăturilor temporare cu scopul de a găsi soluții de îmbunătățire a performanțelor tehnicilor de căutare asincrone, studiul având ca punct de plecare soluțiile dinamice propuse în capitolul 8.

Capitolul începe cu o prezentare a cadrului de lucru, urmată de prezentarea modului în care se obține noua tehnică derivată, prin transformarea anumitor legături temporare în legături permanente. În paragraful al treilea sunt făcute mai multe evaluări experimentale, prin implementarea acestei tehnici folosind modelul cu sincronizare. În final sunt prezentate concluziile relative la noul membru hibrid din familia ABT.

9.1. Eliminarea informațiilor învechite în cazul familiei ABT.

Tehnica ABT kernel este la bază o tehnică derivată din tehnica ABT introdusă în [YDIK92], dar se remarcă prin faptul că nu necesită adăugarea de noi legături între agenții neconectați inițial (spre deosebire de ABT care necesită, în timpul rulării, de adăugarea de noi legături). În capitolul 3 au fost prezentate mai multe soluții de eliminare a informațiilor învechite dintre agenți, soluții introduse în [BM05]. Aceste soluții vor fi sintetizate pentru a putea explica locul noii tehnici derivate propuse aici.

O primă soluție de eliminare a informațiilor învechite este de a adăuga noi legături pentru a permite agentului ce a recepționat un mesaj nogood să decidă dacă este sau nu învechit. Această soluție conduce la algoritmul clasic ABT al lui Yokoo, respectând principiile căutării asincrone definite de Yokoo în [YDIK98].

O a doua soluție constă în detectarea situației în care un anumit nogood este sau nu învechit. Practic, un nogood ipotetic învechit și toate valorile recepționate de la acei agenți cu care nu a fost conectat sunt uitate. Aceste două variante permit obținerea a patru tehnici derivate din nucleul ABT kernel:

- *Adăugarea de noi legături înainte de căutare, în faza de preprocesare.* Varianta aceasta este numită ABT_{all} . Algoritmul adaugă noi legături (care vor deveni permanente) în faza de preprocesare. Această tehnică este apropiată de o variantă corectă DIBT.
- *Adăugarea de legături în timpul căutării-* se obține varianta ABT de bază (Yokoo). Legăturile se adaugă în timpul căutării în momentul recepționării

unui mesaj nogood (Back) care conține informații relative la un agent neconectat, conform ordinii dintre agenți. Noile legături sunt permanente. .

- *Adăugarea de legături temporare în timpul căutării*- se obține varianta ABT_{temp} . Legăturile se adaugă ca și la varianta ABT Yokoo, în timpul căutării în momentul recepționării unui mesaj nogood (Back) care conține informații relative la un agent neconectat. Diferența este că aceste legături sunt temporare, ele rămânând până când un număr de mesaje între acei agenți sunt schimbate (după care ele sunt anulate).
- *Eliminarea legăturilor*:-se obține varianta ABT_{not} , variantă cunoscută sub numele de Distributed Dynamic Backtracking (DIBT). Această variantă nu necesită legături suplimentare. Practic, informațiile învechite sunt eliminate în timp finit. Pentru aceasta agenții care execută backtrack uită toate nogoodurile ce pot conține ipotetic valori învechite.

În capitolul anterior au fost investigate diverse valori pentru numărul de mesaje, valori ce se determină fie static, fie dinamic în timpul rulării. În capitolul 8 și în [MusPP05a] este propusă o soluție dinamică de determinare a numărului de mesaje necesare pentru păstrarea unei legături, experimentele arătând o eficiență mai bună (în raport cu efortul de calcul făcut) decât pentru varianta de bază ABT. Soluția dinamică se bazează pe determinarea fluxului maxim de mesaje nogood și folosirea acestor informații în determinarea numărului de mesaje.

Plecând de la soluția dinamică propusă în capitolul 8 pentru determinarea numărului de mesaje necesare păstrării unei legături tempoare, în acest capitol se propune o nouă metodă hibridă de eliminare a informațiilor învechite dintre agenți. Această soluție constă în a transforma anumite legături temporare în legături permanente, pe baza informațiilor legate de fluxul de mesaje învechite. Aplicând această metodă la nucleul *ABTkernel*, se poate obține o nouă tehnică hibridă, tehnică ce folosește ce este mai bun de la cele două tehnici derivate: ABT și ABT temporary link.

- *Adăugarea de legături permanente și temporare*: ABT cu legături permanente și temporare. Acest nou algoritm adaugă noi legături în timpul căutării. O parte din aceste legături sunt temporare, ele fiind păstrate până ce un număr de mesaje este schimbat (număr determinat dinamic în timpul rulării). În schimb, anumite legături temporare sunt transformate în legături fixe, pe baza unor informații relative la fluxul maxim de valori nogood învechite.

Experimentele arată o mai bună eficiență (în raport cu efortul de calcul) în comparație cu varianta asynchronous backtracking derivată din nucleul ABT.

9.2 Asynchronous Backtracking cu legături temporare și fixe.

Analiza valorilor experimentale prezentate în capitolul 8 arată că cea de-a doua soluție dinamică de determinare a numărului de mesaje este cea mai eficientă. Această soluție va fi punctul de plecare în construirea unei noi tehnici derivate hibride. Prin urmare, se vor folosi informațiile legate de fluxul de mesaje nogood învechite. Astfel, asemănător metodei dinamice de determinare a numărului de mesaje, se vor determina perioadele de rulare pentru care anumite legături temporare sunt păstrate. Spre deosebire de soluția prezentată în capitolul anterior, anumite legături vor fi transformate în legături fixe. Aceasta va fi ideea de bază ce va sta la construirea unei noi tehnici derivate.

Pentru a crește eficiența celor două variante dinamice propuse în capitolul anterior, fiecare agent încearcă să păstreze cât mai mult legăturile temporare. Plecând de la aceste observații, soluția propusă în capitolul de față constă în transformarea anumitor legături temporare în legături fixe. De fapt, legăturile temporare cu acei agenți cu care a schimbat un flux de mesaje nogood învechite maxim sunt transformate în legături fixe. Pentru fiecare agent se determină agentul cu care a avut loc un flux de mesaje învechite maxim (dintre cei cu care au legături temporare). Legătura temporară ce există cu acesta este transformată într-o legătură permanentă (va rămâne până la finalul găsirii soluției).

Această soluție presupune cunoașterea de către fiecare agent, a numărului maxim de mesaje învechite recepționate de fiecare agent. O soluție, propusă și folosită în acest capitol, este bazată pe transmiterea maximelor fiecărui agent la cei cu care este conectat, în momentul transmiterii unui mesaj de tip info sau nogood. Ideea este asemănătoare celei din algoritmul de determinare a costului cumulativ din [MKRZ02].

| <i>Determinarea numărului maxim de mesaje învechite recepționate de agenți</i> |
|--|
| 1: Fiecare agent inițializează variabilele contor <i>C_OldNogood</i> cu 0. De asemenea, se inițializează <i>MaxOldNogood</i> cu 0. |
| 2: Când un agent transmite un mesaj el include și valoarea contorului său <i>MaxOldNogood</i> . |
| 3: Când un agent recepționează o valoare nogood învechită de la un agent <i>Sender</i> se actualizează contorul corespunzător din lista <i>C_OldNogood</i> . |
| Replace-item <i>Sender C_OldNogood</i> with item <i>Sender C_OldNogood + 1</i> |
| 4 if un agent recepționează un mesaj cu contorul <i>SenderMx</i> de la agentul <i>Sender</i> |
| if item <i>Sender C_OldNogood</i> < <i>SenderMx</i> then |
| Replace-item <i>Sender C_OldNogood</i> with <i>SenderMx</i> |
| end if |
| Set <i>MaxOldNogood</i> = max { <i>C_OldNogood</i> } |
| end if |

Fig. 9.1. Determinarea numărului maxim de mesaje învechite recepționate de fiecare agent

În figura 9.1. se prezintă un algoritm original de determinare a maximului dintre maximele fluxului de mesaje învechite. Fiecare agent păstrează o listă locală de variabile contor (*C_OldNogood*) având rol de a contoriza numărul de mesaje învechite recepționate. De asemenea, fiecare agent păstrează și un contor *MaxOldNogood* ce va reține maximul numărului de mesaje dintre vecini. Acest algoritm este asemănător cu cel folosit în capitolul anterior, dar există anumite diferențe la pasul 4. În urma experimentelor s-a observat că această variantă permite obținerea unor rezultate mai bune, în acest context al legăturilor temporare transformate în fixe.

Acest algoritm se aplică asupra tehnicii ABT (derivată din nucleul ABT), permițând fiecărui agent să rețină valoarea maximă a numărului de mesaje nogood învechite schimbate de agenți.

În figura 9.2 se prezintă acele modificări necesare în codul tehnicii ABT Yokoo (variantă derivată din nucleul ABTkernel), pe baza metodei de determinare a legăturilor temporare și a legăturilor temporare transformate în legături permanente, astfel încât să se obțină o nouă tehnică hibridă, tehnică ce folosește ce este mai bun de la cele două tehnici derivate: ABT și ABT temporary link. Modificările sunt marcate cu ***.

```

procedure ABTKernel()
1 myValue←empty; end ← false;
1.1. Set  $\Gamma_e^+$  (self) ←  $\emptyset$  ***
1.2. Set  $\Gamma_e^-$  (self) ←  $\emptyset$  ***
2 CheckAgentView();
3 while (not end) do
4 msg ← getMsg();
5 switch(msg.type)
6 Info : ProcessInfo(msg);
7 Back : ResolveConflict(msg);
8 Stop : end← true;
9.1. AddL : SetLink(msg);
9.2. RemoveL: RemoveLink(msg); ***
End

procedure ProcessInfo(msg)
1 Update(myAgentView; msg.Assig);
2 CheckAgentView();
End

procedure CheckAgentView(msg)
1 if not consistent(myValue;myAgentView) then
2 myValue ← ChooseValue();
3 if (myValue) then
4 for each child  $\in \Gamma^+$  (self) do sendMsg:Info(child;myValue);
3.1 CheckRemoveLink(Self, Child) ***
4 else Backtrack();
end

procedure ResolveConflict(msg)
1 if Coherent(msg.Nogood;  $\Gamma^-$  (self)  $\cup$  {self}) then
2.1 CheckAddLink(msg);
3 add(msg:Nogood;myNogoodStore); myValue ← empty;
4 CheckAgentView();
5.1 else if Coherent(msg.Nogood; self) then
SendMsg:Info(msg.sender; myValue);
5.2. replace item Sender C_OldNogood with item Sender C_OldNogood+1
***
end

procedure SetLink(msg)
1 add(msg.sender;  $\Gamma^+$  (self)); add(msg.sender;  $\Gamma_e^+$  (self));
2 sendMsg:Info(msg.sender;myV alue);
End

procedure CheckAddLink(msg)
1 for each (var  $\in$  lhs(msg.Nogood))
2 if (var  $\notin \Gamma^-$  (self)) then
3 sendMsg:AddL(var, self);

```

```

4      add(var;  $\Gamma^-$ (self)); add(var;  $\Gamma_e^-$ (self));
5      Update(myAgentView; var  $\leftarrow$  varValue);
End

procedure RemoveLink(msg)          ***
1  remove(msg.sender;  $\Gamma^-$ (self));
2  remove(msg.sender;  $\Gamma_e^-$ (self));
End

procedure CheckRemoveLink(msg)     ***
1  for each child  $\in \Gamma_e^+$ (self) do
2      if (item child COldNogood)= MaxOldNogood then
          replace item child FlagList with 1
3      if (item child CMessageTempLink) $\geq$ MaxOldNogood and
          (item child FlagList=0) then
          remove(child;  $\Gamma^+$ (self)); remove(child;  $\Gamma_e^+$ (self));
4      sendMsg:RemoveL(child, self);
5      Update(myAgentView; child  $\leftarrow$  unknown);
End

procedure Backtrack()
1  newNogood  $\leftarrow$  solve(myNogoodStore);
2  if (newNogood = empty) then
3      end  $\leftarrow$  true; sendMsg:Stop(system);
4  else
5      sendMsg:Back(newNogood);
6      Update(myAgentView; rhs(newNogood) $\leftarrow$  unknown);
7      CheckAgentView();
End

function ChooseValue()
1  for each v  $\in D$ (self) not eliminated by myNogoodStore do
2      if consistent(v; myAgentView) then return (v);
3      else add( $x_j = val_j$ ) self  $\neq$  v; myNogoodStore);
4  return (empty);
End

procedure Update(myAgentView; newAssig)
1  add(newAssig; myAgentView);
2  for each ng  $\in$  myNogoodStore do
3      if not Coherent(lhs(ng); myAgentView) then
remove(ng; myNogoodStore);
End

function Coherent(nogood; agents)
1  for each var  $\in$  nogood  $\cup$  agents do
2      if nogood[var]  $\neq$  myAgentView[var] then return false;
3  return true;
end

```

Figura 9.2. Algoritmul ABT cu legături temporare și permanente.

Obținerea acestei variante derivate din ABTkernel a presupus mai multe schimbări în algoritmul de bază ABT kernel, derivat în asynchronous backtracking.

Se vor prezenta acele modificări realizate în codul ABT, care conduc la varianta ABT cu legături temporare și permanente.

Prima modificare a constat în introducerea pentru fiecare agent a două mulțimi suplimentare Γ_e^+ (self) și Γ_e^- (self), pentru identificarea agenților copil și părinte ce apar în urma legăturilor temporare. În procedura *ABTkernel()*, în liniile 1.1. și 1.2. ei sunt determinați. De asemenea, este nevoie de introducerea a două structuri de date *CMessageTempLink* și *C_OldNogood*. Prima structură va fi folosită de un agent A_i pentru a reține numărul de mesaje info transmise pentru fiecare legătură temporară. A doua structură se folosește la contorizarea fluxului de mesaje învechite/recepționate.

Evidența de fiecare agent a legăturilor temporare ce pot fi transformate în legături permanente, este realizată folosind o listă de flaguri (în algoritmul din figura 9.2. este numită *FlagList*), indexată după numărul de ordine al agenților copil. Această listă memorează valoarea 1 pentru o legătură temporară devenită permanentă și 0 în caz contrar. Existența valorii 1 în lista de flaguri a unui agent, pe o poziție k , va permite păstrarea legăturii spre agentul A_k .

Noul algoritm necesită introducerea unui al patrulea mesaj *RemoveL*, care anunță un agent copil de anularea legăturii temporare dintre doi agenți. Practic, agentul copil va anula agentul *Sender* din lista părinților săi. Modificările necesare apar în linia 9.2. din procedura *ABTkernel()* și procedura *RemoveLink()*.

O altă modificare față de algoritmul ABT este aceea că după selectarea unei noi valori și anunțarea copiilor despre noua selecție, este necesară verificarea legăturilor temporare pentru a determina câte dintre ele mai rămân actuale. Acest lucru este făcut în procedura *CheckAgentView(msg)* linia 3.1, prin apelarea unei noi proceduri cu numele *CheckRemoveLink(Self, Child)*. Această rutină verifică pentru agenții copil din Γ_e^+ (self) dacă s-a atins numărul maxim de mesaje transmise pentru acea legătură. Acest număr maxim se poate determina cu metoda propusă în figura 9.1. În caz că s-a atins valoarea maximă *MaxOldNogood* se anulează acea legătură și se actualizează contextul de lucru. În schimb, dacă agentul *child* este cel care a atins maximul de mesaje nogood recepționate, este etichetat cu 1, astfel încât legătura sa cu agentul curent devine permanentă și nu va mai fi anulată.

În figura 9.3 este prezentat fluxul mesajelor, în care sunt evidențiate noile mesaje (mesaje de tip *AddL* și *RemoveL* ce permit gestiunea legăturilor noi). Sunt evidențiate porțiunile de cod ce sunt parcurse suplimentar pentru varianta ABT cu legături temporare și permanente (porțiunile de culoare albastră și roșie), comparativ cu cele de la varianta ABT Yokoo (doar porțiunile de culoare roșie).

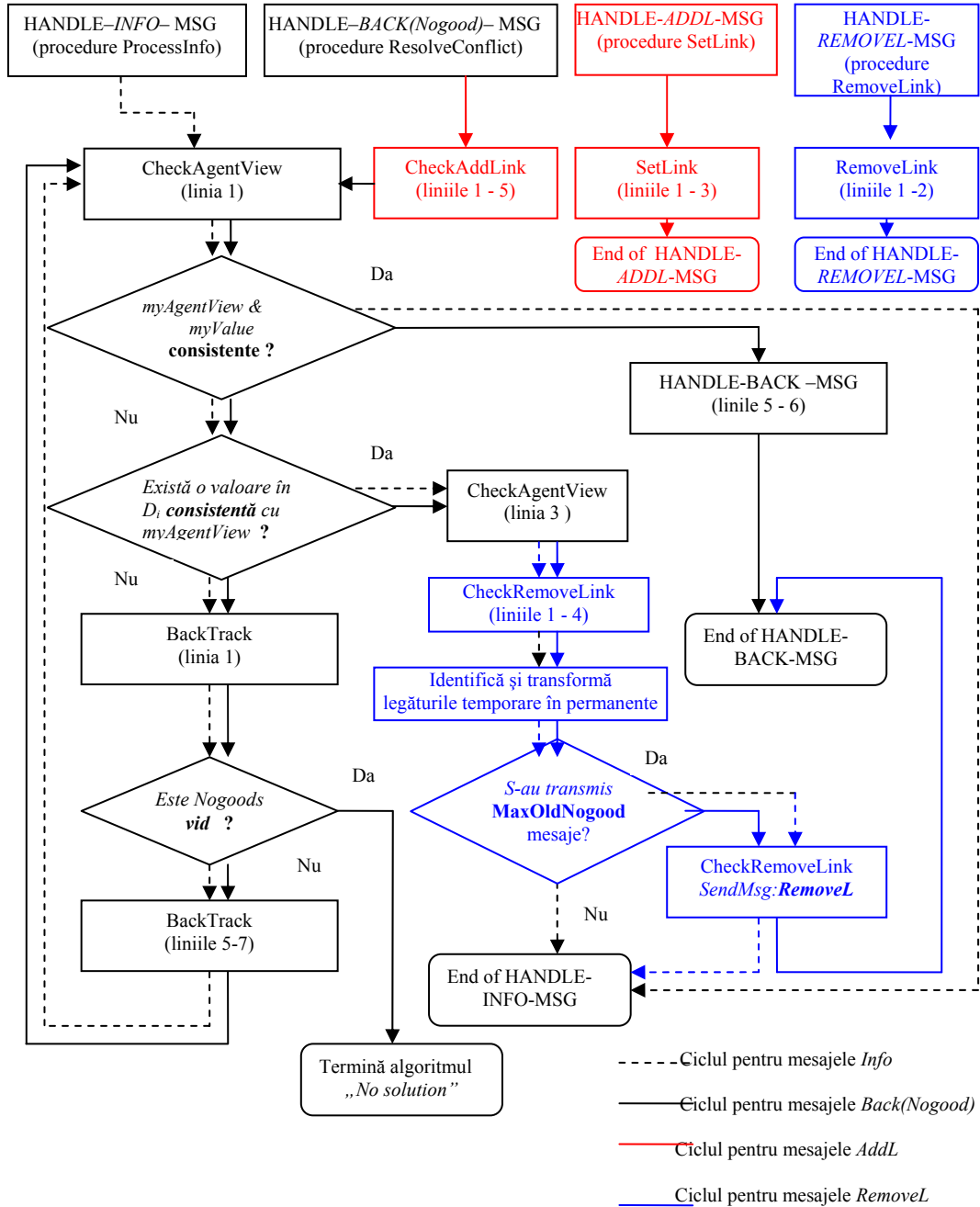


Figura 9.3. Fluxul mesajelor în cadrul algoritmului ABT cu legături fixe și temporare

9.3. REZULTATE EXPERIMENTALE.

În acest paragraf sunt prezentate rezultatele experimentale, obținute în urma implementării și evaluării tehnicilor asincrone analizate pe baza modelului cu sincronizare.

Un ecran de captură exemplificator este prezentat în figura 9.4.

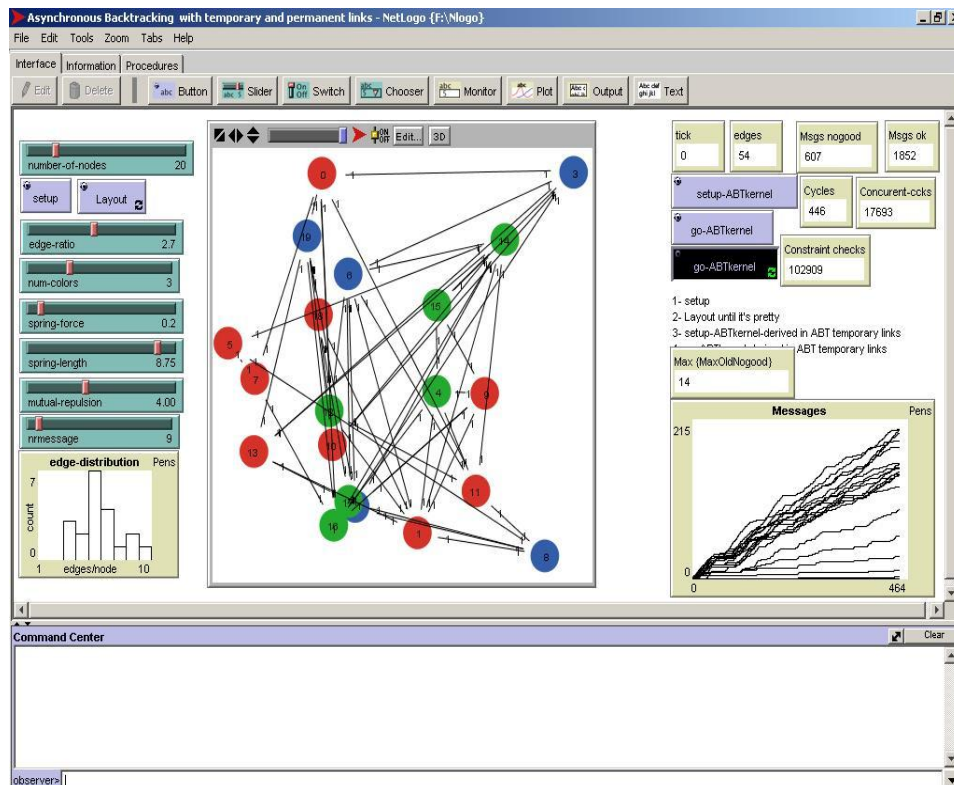


Figura 9.4. Implementarea NetLogo pentru algoritmului ABT cu legături fixe și temporare

Experimentele s-au efectuat în aceleași condiții ca și în capitolul anterior. Tehnicile asincrone au fost aplicate pentru problema colorării unui graf, în varianta distribuită, folosind cele două clase de densități. Pentru a putea face evaluarea celor două variante (variante de bază Yokoo și tehnica hibridă obținută), s-a contorizat fluxul de mesaje (adică cantitatea de mesaje info și back schimbate de agenți), numărul de constrângeri verificate și numărul de constrângeri concurente verificate.

Pentru implementare și evaluare s-a utilizat modelul cu sincronizarea execuției agenților prezentat în capitolul 5. Ținând cont de analiza prezentată în capitolul 6 relativă la fluxul de mesaje redundante, s-a aplicat și aici algoritmul de filtrare prezentat în §6.5.2.

Prin urmare, pentru fiecare versiune s-au executat 100 de rulări, dar în condițiile aplicării algoritmului de filtrare a mesajelor de tip info. Cele două clase de tehnici evaluate au fost numite ABT (variante de bază ABT-derivată din ABT kernel),

ABTTPL (ABT cu legături temporare și permanente). Valorile experimentale obținute pentru trei clase de grafuri, grafuri de dimensiune mare (cu 30, 40 respectiv 50 noduri/agenți) sunt stocate în tabelul 9.1. Pentru cazul versiunii cu legături temporare și permanente s-au evaluat două variante de algoritmi, corespunzând la două modalități de determinare a numărului de mesaje învechite recepționate de fiecare agent:

- o versiune în care numărul maxim de mesaje învechite se determină cu metoda prezentată în figura 9.1, versiune notată cu ABTTFL#1. Practic se obține maximul fluxului de mesaje învechite pentru toți agenții.
- o versiune în care numărul maxim de mesaje învechite se determină doar dintre vecinii fiecărui agent, fără a fi nevoie să se aplice metoda din figura 9.1. Practic, fiecare agent își determină *MaxOldNogood* din lista sa *C_OldNogood* (acesta este un maxim local). Aceasta versiune a fost notată cu ABTTPL#2.

| | | n = 30 | | n = 40 | | n = 50 | |
|---------------|---------|----------|----------|-----------|-----------|-----------|------------|
| | | m=n x2 | m=n x2.7 | m=n x2 | m=n x2.7 | m=n x2 | m=n x2.7 |
| ABT | TNogood | 1427.20 | 1691.20 | 2920.43 | 8820.10 | 11008.18 | 21130.77 |
| | TOK | 5407.34 | 6142.25 | 11323.40 | 32946.23 | 44184.56 | 71094.45 |
| | TCcks | 443073.7 | 484444.9 | 1276261.8 | 3496629.7 | 8003935.9 | 11706566.6 |
| | Tc-ccks | 77567.37 | 76658.00 | 187313.21 | 407892.71 | 839876.36 | 1562254.00 |
| ABTTPL #s1 | TNogood | 940.22 | 1741.61 | 1873.33 | 6541.21 | 8287.04 | 19858.26 |
| | TOK | 3053.32 | 5669.61 | 5922.09 | 20512.21 | 26908.60 | 69642.81 |
| | TCcks | 264994.6 | 466694.0 | 671172.3 | 2332383.6 | 3899996.2 | 9641356.5 |
| | Tc-ccks | 62819.55 | 87131.03 | 127092.26 | 415689.09 | 777720.36 | 1735377.4 |
| ABTTPL #s2 | TNogood | 981.12 | 1614.23 | 2163.13 | 6623.51 | 11745.71 | 23185.81 |
| | TOK | 3338.19 | 5551.78 | 6819.81 | 21231.85 | 46174.70 | 83198.28 |
| | TCcks | 223118.5 | 434123.8 | 731456.7 | 2715132.6 | 4328765.7 | 1267431.3 |
| | Tc-ccks | 58791.95 | 81332.32 | 138292.2 | 479856.25 | 866721.3 | 2100675.2 |

Tabelul 9.1. Rezultatele experimentale pentru versiunile ABT în cazul variantelor cu legături temporare și permanente.

În ceea ce privește evaluarea efortului local depus de fiecare agent (concurrent sau neconcurrent), analizând rezultatele din tabelul 9.1, se remarcă eforturi de calcul mai mici, pentru dimensiune mică, față de varianta de bază Yokoo. Mai mult, versiunea a doua ABTTPL#2 a necesitat un efort mai mic în obținerea soluției decât prima variantă. Se remarcă faptul că odată cu creșterea dimensiunii problemelor (40 și 50 noduri), varianta ABTTPL#1 este mai eficientă. În ceea ce privește numărul de constrângeri concurente verificate, din păcate variantele propuse necesită valori mai apropiate de varianta de bază ABT.

În ce privește fluxul de mesaje s-a păstrat același comportament remarcat anterior (relativ la efortul de calcul), variantele hibride propuse necesitănd un flux de mesaje mai mic decât varianta de bază ABT cu număr fix de legături. Dar, în

cazul problemelor cu dimensiune și densitate mare, varianta ABTTPL#1 a necesitat un flux de mesaje mai mic decât varianta ABTTPL#2.

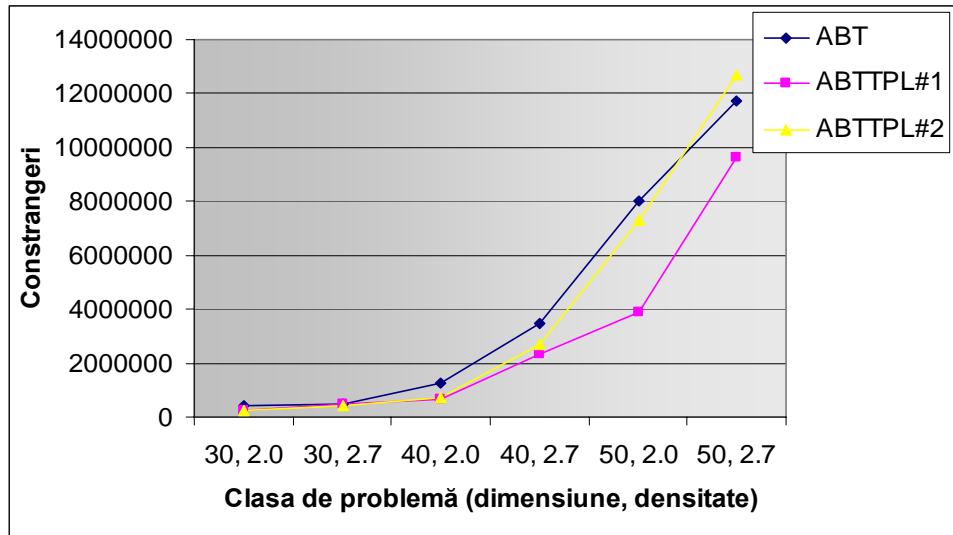


Figura 9.5. Rezultate comparative pentru versiunile ABT în raport cu numărul de constrângeri verificate

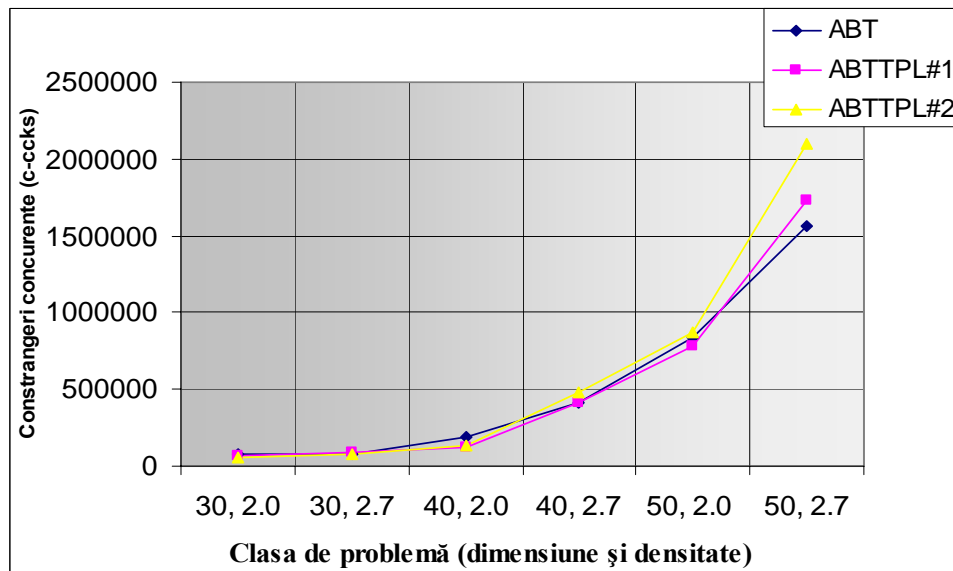


Figura 9.6. Rezultate comparative pentru versiunile ABT în raport cu numărul de constrângeri concurente verificate

Analiza valorilor experimentale și a reprezentărilor grafice din figurile 9.5, 9.6 și 9.7. arată că dintre cele două variante propuse, prima varianta este cea mai eficientă, comparativ cu a doua, care pentru probleme de dimensiune mare

necesită costuri mult mai mari. Prin urmare, este recomandată determinarea valorii MaxOldNogood (folosită ca valoare maximă pentru numărul de mesaje transmise pentru legăturile temporare) prin aplicarea algoritmului prezentat în fig. 9.1.

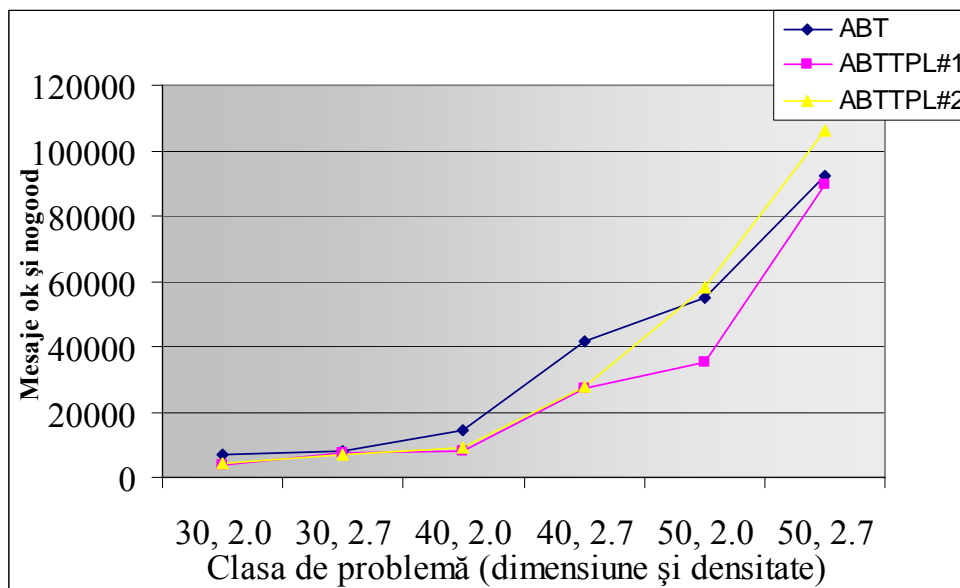


Figura 9.7 Rezultate comparative pentru versiunile ABT în raport cu numărul de mesaje schimbate

O altă observație este relativă la cele două clase de probleme analizate: probleme cu densitate mare și cele cu densitate mică. Valorile obținute sunt mai apropiate de varianta de bază în cazul problemelor dificile (cele cu densitate mare 2.7). În schimb, pentru probleme cu densitate rară se remarcă diferențe mai mari între valorile măsurate pentru cele două variante hibride comparativ cu cea de bază.

9.4. Concluzii.

În acest capitol se propune un nou membru hibrid pentru familia ABT, membru derivat din nucleul ABT prin eliminarea informațiilor învechite dintre agenți, combinând două metode mai vechi de eliminare a informațiilor învechite dintre agenți: adăugarea de legături permanente între agenți, respectiv adăugarea de legături temporare. Noul membru presupune transformarea anumitor legături temporare în legături permanente, pe baza informațiilor relative la fluxul de mesaje învechite recepționate de fiecare agent.

Studiul din acest capitol este o continuare a studiului legăturilor temporare prezentat în capitolul 8.

Pentru obținerea acestei tehnici hibride se propune o metodă de determinare a numărului de mesaje ce se transmit pentru legăturile temporare și o soluție de determinare a legăturilor temporare ce sunt transformate în legături permanente. Evaluările experimentale realizate în condițiile unor probleme variate, cu valori inițiale alese aleator, pentru probleme cu densități variate, arată că soluția

hibridă este mai eficientă decât tehnica de bază, pentru ambele tipuri de probleme (cu densitate mică și dificilă), pentru dimensiuni mici și pentru dimensiuni mari ale problemelor.

Rezultatele evidențiate în acest capitol au fost publicate în [MusPP06].

10. ANALIZA EXPERIMENTALĂ A IMPACTULUI TEHNICII „NOGOOD PROCESSOR” ASUPRA EFICIENȚEI TEHNICILOR DE CĂUTARE ASINCRONE DIN FAMILIA AWCS.

În acest capitol se propune o soluție de adaptare a tehnicii „nogood processor” introdusă de Armstrong, pentru tehnica AWCS [AD97]. Această tehnică constă în stocarea valorilor nogood și folosirea ulterioară a informațiilor din nogood-uri în procesul de selectare a unei noi valori pentru variabilele asociate agenților. Sunt analizate situațiile în care se folosește un „nogood processor” centralizat și situațiile în care se distribuie nogood-urile la mai multe „nogood processor” ce sunt mânuite de anumiți agenți. Se propune o soluție de distribuire a procesoarelor de nogood-uri către agenți, în funcție de ordinea agenților, cu scopul de a reduce costurile de căutare și de stocare.

Capitolul începe cu o prezentare a contextului de lucru. În paragraful al doilea se prezintă o soluție de implementare a tehnicii nogood processor în cadrul tehnicii AWCS. În acest paragraf sunt propuse mai multe soluții de distribuire a nogoodurilor către procesoare: versiuni cu un singur nogood processor centralizat și versiuni cu mai multe procesoare distribuite. Paragraful al treilea prezintă o analiză experimentală a versiunilor obținute, comparându-se performanțele relativ la tehnica de bază. În final sunt prezentate concluziile aplicării tehnicii nogood processor în cazul tehnicii AWCS.

10.1 Tehnica “nogood processor”.

În cadrul modelării DCSP, algoritmul asynchronous weak-commitment search (AWCS) joacă un rol fundamental și de pionierat între algoritmii de căutare asincronă. Algoritmul se remarcă atât prin faptul că suferă de o explozie a valorilor nogood, cât și prin schimbarea dinamică a ordinii agenților, fiind publicat de Yokoo în [YDIK98]. Apariția valorilor nogood are ca efect introducerea unor noi constrângeri. Valorile nogood indică cauza eșecului și încorporarea lor ca o nouă constrângere va învăța agenții să nu mai repete aceeași greșeală [YDIK98], [SHF00], [BMM01].

În [AD97], Armstrong construiește o nouă tehnică diferită de AWCS și ABT, în care rezolvarea problemei este divizată în epoci. Există un agent central, ce este responsabil pentru pornirea procesului de căutare și un procesor de nogood-uri (nogood processor) ce păstrează informații despre nogoodurile apărute. Procesul de stocare și utilizare ulterioară a valorilor nogood este numit ca fiind tehnica „nogood processor” [AD97].

În [AD97] se arată experimental că se obțin reduceri ale costurilor prin aplicarea tehnicii „nogood processor”. În literatură nu apar referințe la modul în care trebuie aplicată tehnica “nogood processor” pentru tehnica AWCS, modul de distribuire a procesoarelor de nogood-uri și care sunt beneficiile aduse asupra eficienței. Acest lucru va fi investigat în acest studiu. Astfel, este analizat modul de

distribuire al valorilor nogood la agenți și modul de utilizare a informațiilor stocate în nogood, denumită tehnica “nogood processor”. Sunt analizate avantajele pe care le aduce tehnica nogood processor la îmbunătățirea performanțelor tehnicii AWCS, identificând câteva moduri de distribuire ce aduc îmbunătățiri ale eficienței. De asemenea, se analizează comportamentul tehnicii nogood processor în situația filtrării mesajelor, respectiv în cazul apariției de întârzieri în furnizarea mesajelor.

Nerestricționarea înregistrării valorilor nogood poate deveni în anumite cazuri impracticabilă. Motivul principal este acela că stocarea valorilor nogood consumă excesiv memorie și poate conduce la epuizarea memoriei disponibile. În mod tipic, numărul de valori nogood crește cu numărul de conflicte: în cel mai rău caz această creștere poate fi exponențială în numărul de variabile. Un alt efect neplăcut al stocării unui număr mare de valori nogood este legat de faptul că verificarea asocierilor curente în lista de valori nogood stocate devine foarte costisitoare, efortul de căutare anulând beneficiile aduse de stocarea valorilor nogood. Aceste elemente sunt analizate pentru a vedea dacă tehnica nogood processor aduce beneficii asupra eficienței.

10.2. ADAPTAREA TEHNICII “NOGOOD PROCESSOR” ÎN CAZUL TEHNICII AWCS.

10.2.1 Implementarea tehnicii „nogood processor”.

O caracteristică a nogood-urilor este că ele sunt esențiale pentru asigurarea completitudinii, dar au efecte asupra spațiului necesar pentru orice algoritm DCSP. În algoritmul AWCS agenții redescoperă și stochează multe copii ale aceluiași nogood, în momente de timp diferite. Un nogood processor poate reduce costurile prin stocarea unei singure copii și reducerea timpului de căutare.

Adaptarea și aplicarea tehnicii nogood processor definite în [AD97] pentru tehnica AWCS a presupus găsirea unor răspunsuri la problemele apărute: cum se stochează valorile nogood, cum se distribuie stocarea și evaluarea valorilor nogood. O altă problemă foarte importantă a fost dacă toți agenții sau o parte dintre ei, să apeleze procesoarele de nogooduri, pentru ca nu cumva costurile necesare evaluării nogood-urilor stocate să depășească beneficiile aduse de tehnica nogood processor. Verificarea nogood-urilor poate induce întârzieri asupra evaluării mesajelor de către agenți și prin urmare influențează costurile globale. În acest paragraf sunt propuse soluții legate de stocarea valorilor nogood și distribuirea acestora.

În acest studiu se consideră că fiecare agent are acces la rezultatele propriului nogood processor sau ale unui nogood processor centralizat (în mod tipic folosind mesaje). Mai mult, fiecare agent trimite (stochează) valorile nogood recepționate nogood processor-ului asociat. Se vor considera două situații: un singur „nogood processor”, coordonat de un agent central și mai multe „nogood processor”, coordonate de anumiți agenți. În cazul folosirii unui singur procesor, procedura de tratare a mesajelor *nogood* va stoca într-o zonă de memorie comună (dacă aceasta poate exista) sau va transmite valorile agentului central ce mînuiește „nogood processorul”. Se va considera că valorile nogood sunt stocate în lista *nogoods_store*.

În figura 10.1. este prezentată varianta de AWSC modificată pentru a putea aplica tehnica nogood processor. În figura 10.1 sunt marcate cu ** liniile unde se apelează fiecare nogood processor.

```

when received (ok?, (xj, dj, prioritate)) do
  add (xj , dj , priority) to agent_view;
  check_agent_view;
end do;

when received (nogood, xj, nogood) do
  add nogood to nogood_list; *
  when (xk, dk, prioritate), where xk is not in neighbors is contained in nogood do
    add xk to neighbors
    add (xk, dk, priority) to agent_view;
  end do
  check_agent_view;
end do;

procedure check_agent_view
  when agent_view și current_value are not consistent do
    if no value in Di is consistent with agent_view then
      backtrack
    else
      select d ∈ Di where agent_view and d minimizes the number of constraint
      violations with lower priority agents; **
      current_value ← d
      send (ok?, (xi, d, current_priority)) to neighbors
    end if
  end do
end procedure

Procedure Backtrack
  nogoods ← {V/ V= inconsistent subset of agent_view}
  when an empty set is an element of nogoods do
    broadcast to other agents that there is no solution, terminate this algorithm;
  end do
  when no element of nogoods is included noogod_sent do
    for each V ∈ nogoods do
      add V to noogod_sent
      for each (xj, dj, pj) in V
        send (nogood, xi, V) to xj
      end do
    end do
    Pmax ← max(xj, dj, pj) ∈ agent:view (pj)
    current_priority ← 1 + Pmax
    select d ∈ Di where d minimizes the number of constraint violations
    with lower priority agents; **
    current_value ← d
    send (ok?, (xi, d, current_priority)) to neighbors
  end do
end procedure

```

Figura 10.1 Algoritmul AWCS cu nogood processor (procedurile pentru recepționarea și tratarea mesajelor)

Informațiile stocate de fiecare nogood processor vor fi folosite în procesul de căutare a unei noi valori pentru fiecare variabilă avută în grijă de agent. Pentru aceasta, fiecare nogood processor va verifica (la cererea unui agent), prin intermediul subrutinei *check_inconsistent_value_nogood_processor*, dacă valoarea selectată de agent nu a mai existat în combinație cu valorile agenților de prioritate superioară. În figura 10.2 este prezentată rutina de verificare a inconsistenței unei noi valori. Apelul rutinei de verificare a inconsistenței (*check_inconsistent_value_nogood_processor*) este marcat cu ** în algoritmul AWCS prezentat în figura 10.1.

```
function check_inconsistent_value_nogood_processor [ $A_i$ ]
foreach Nogood  $\in$  nogoods_store do
  foreach  $x \in$  Nogood with prioritatea curentă din current_view *mai mare decât
    a agentului  $A_i$ 
    pos  $\leftarrow$  position  $x$  in Nogood
    if  $x \neq$  item pos current_value
      return consistent
    end do
  if current_value  $\neq$  item  $A_i$  in nogood
    return consistent
  endif
end do
return inconsistent
end procedure
```

Figura 10.2 Rutina de verificare a valorilor nogood, apelată în cadrul algoritmului AWCS.

În figura 10.2. se consideră că *item pos current_value* înseamnă valoarea din lista *current_value* de pe poziția *pos*.

Pentru a mări eficiența procesoarelor de nogoduri în momentul în care se primește un mesaj de tip ok, care informează de atribuirea unei noi valori de către un anumit agent, se face verificarea de către nogood processor a valorilor pentru agenții de prioritate superioară. În felul acesta, dacă aceea combinație a mai existat ca și nogood, se încearcă căutarea unei noi valori pentru agentul curent.

O întrebare la care s-a căutat un răspuns a constat în identificarea modului de distribuire a procesoarelor de nogoduri. Sunt propuse în acest studiu două soluții de distribuire a acestora:

- un singur nogood processor operat de un agent central. Variantele propuse în acest studiu bazate pe folosirea unui singur „nogood processor” vor fi notate cu AWCS_{2k}.
- mai multe „nogood processor” distribuite la anumiți agenți (după anumite reguli ce vor fi prezentate) Variantele cu mai multe nogood processor vor fi notate cu AWCS_{3k}.

În paragraful de experimente tehnica de bază AWCS va fi notată cu AWCS₁. [YDIK98].

10.2.2. Versiuni de AWCS cu un singur "nogood processor".

Prima soluție propusă în acest studiu constă în a adapta tehnica AWCS astfel încât să stocheze centralizat valorile nogood. Versiunile acestea vor fi notate cu $AWCS_{2k}$. Fiecare agent în momentul recepționării unui nogood, îl transmite unui agent central ce are un nogood processor centralizat. Acest agent va stoca valoarea recepționată într-o listă *nogood_store* (toate procesoarele de nogooduri salvează doar noile valori nogood, eliminând copiile). Informațiile de aici vor fi folosite mai târziu în procesul de căutare a unei noi valori. Prin urmare, procedura *check_agent_view* va selecta o nouă valoare consistentă cu lista agent_view și cu lista de valori nogood stocate de „nogood processor”. Spre deosebire de varianta de bază AWCS, noua variantă $AWCS_{2k}$ va selecta o valoare nouă dacă, suplimentar, subrutina *check_inconsistent_value_nogood_processor* va returna valoarea *consistent*. De asemenea, se va proceda la apelul rutinei de verificare a valorilor nogood și în procedura *backtrack*, în momentul selecției unei noi valori.

Pentru această primă soluție cu un singur nogood processor, sunt propuse mai multe versiuni. Versiunile diferă prin identificarea agenților care apelează „nogood processorul” și prin identificarea agenților pentru care se face compararea combinației de valori. O primă versiune presupune aplicarea rutinei *check_inconsistent_value_nogood_processor* prezentată în figura 10.2, versiune notată cu $AWCS_{21}$. În cadrul rutinei *check_inconsistent_value_nogood_processor* sunt verificați doar agenții ce au prioritatea curentă din *current_view* mai mare decât a agentului A_i . Această versiune va reprezenta varianta de bază cu „nogood processor” centralizat.

A doua versiune propusă, notată cu $AWCS_{22}$, s-a obținut prin adaptarea rutinei *check_inconsistent_value_nogood_processor* astfel încât să verifice valorile agenților de prioritate superioară, prioritate avută în momentul stocării valorii nogood. Cu alte cuvinte, identificarea agenților de prioritate superioară față de agentul A_i , nu se face folosind prioritatea lor actuală (aflată în *current-view*) ci se face relativ la prioritatea stocată de nogood processor. Modificarea corespunzătoare s-a marcat cu * în rutina de verificare. Valorile acestor agenți sunt verificate pentru a vedea dacă au mai existat în această combinație.

Următoarele versiuni se bazează pe identificarea agenților care vor apela procesoarele de nogooduri asociate. Sunt propuse mai multe versiuni ce diferă prin faptul că nu toți agenții folosesc informațiile procesoarelor de nogooduri.

A treia versiune propusă, notată cu $AWCS_{23}$, se obține plecând de la varianta $AWCS_{21}$ astfel încât apelarea rutinei *check_inconsistent_value_nogood_processor* să se facă de toți agenții, cu excepția celui de prioritate maximă dintre vecinii din momentul acela. A patra versiune, notată cu $AWCS_{24}$, se obține de la varianta $AWCS_{21}$ astfel încât apelarea rutinei *check_inconsistent_value_nogood_processor* să se facă doar de agentul cu prioritatea cea mai mare dintre vecini (prioritatea curentă din lista *current-view*, respectiv cea veche stocată).

O ultimă versiune, notată cu $AWCS_{25}$, se obține plecând de la varianta $AWCS_{22}$ astfel încât verificarea să se facă doar de agentul cu prioritatea cea mai mare dintre vecini (prioritatea curentă din lista *current-view*, respectiv cea veche stocată). Această ultimă versiune bazată pe un nogood processor centralizat se remarcă prin faptul că identificarea agenților de prioritate superioară se face relativ la prioritatea lor din momentul stocării și faptul că nu toți agenții apelează nogood processorul..

10.2.3. Versiuni de AWCS cu mai multe „nogood processor”.

A doua soluție s-a bazat pe distribuirea valorilor nogood la mai multe „nogood processor”, câte unul pentru fiecare agent. Aceste versiuni vor fi notate cu $AWCS_{3k}$. În momentul recepționării unei valori nogood, ea este stocată doar de nogood processor-ul asociat. Valoarea nogood nu mai este transmisă la un agent central, ci este stocată local. Ca și în cazul versiunilor $AWCS_{2k}$, informațiile de aici vor fi folosite mai târziu în procesul de căutare.

Selectarea unei noi valori presupune și verificarea valorilor nogood stocate. Verificarea se face în mod similar soluției cu un singur nogood processor, obținându-se două versiuni notate $AWCS_{31}$ și $AWCS_{32}$ (ultima versiune folosește modalitatea de identificarea a agenților de prioritate superioară folosind prioritățile vechi). Versiunea $AWCS_{31}$ va reprezenta varianta de bază cu „nogood processor” distribuit.

10.3. REZULTATE EXPERIMENTALE.

10.3.1 Condiții experimentale

În acest paragraf sunt prezentate rezultatele experimentale obținute în urma implementării și evaluării tehnicilor asincrone cu nogood processor, pe baza modelului cu sincronizare.

Experimentele s-au desfășurat în condițiile prezentate în capitolul 6, paragraful §6.1. Variantele de AWCS cu nogood processor au fost aplicate pentru problema colorării unui graf, în varianta distribuită, pentru fiecare variantă s-au executat un număr de 100 încercări, reținându-se media valorilor măsurate (pentru fiecare clasă de probleme, au fost generate aleator 10 grafuri cu acele densități, pentru fiecare graf generându-se aleator 10 valori inițiale).

Pentru a putea face evaluarea acestor variante de algoritmi s-a contorizat fluxul de mesaje (cantitatea de mesaje ok și nogood schimbate de agenți), numărul de constrângeri verificate și numărul de cicli necesari pentru obținerea soluției.

10.3.2 Analiza rezultatelor experimentale pentru cazul aplicării tehnicilor nogood processor.

În figurile 10.3, 10.4 și 10.5 sunt prezentate grafic rezultatele experimentale pentru cele 8 versiuni de AWCS, în funcție de numărul de cicli, constrângeri și fluxul de mesaje. În figura 10.3 este prezentat un studiu comparativ pentru efortul global depus de agenți pentru obținerea soluției.

Analizând graficele din figura 10.3, unde s-a reprezentat numărul de cicli necesari obținerii soluției, se remarcă faptul că tehnica nogood processor a avut efect asupra performanțelor tehnici de bază AWCS. Dintre variantele analizate se remarcă performanțele variantelor $AWCS_{22}$, $AWCS_{24}$ și $AWCS_{25}$. Cele trei variante au avut un număr mai mic de cicli, comparativ cu celelalte variante, pentru ambele clase de probleme (cu densitate rară sau densitate mare). Totuși, se remarcă pentru cea mai dificilă problemă ($n=30$, $m=2.7$) comportamentul cel mai bun l-a avut varianta $AWCS_{25}$, în care operarea procesorului de nogooduri s-a făcut doar de agentul cu prioritatea cea mai mare dintre vecini, comparațiile făcându-se în raport cu prioritățile vechi.

În ceea ce privește efortul local depus de fiecare agent, în figura 10.4 sunt prezentate rezultatele comparative pentru cele 8 variante, rezultate obținute prin

compararea numărului de constrângeri verificate. Se remarcă versiunile AWCS₂₂, AWCS₂₄ și AWCS₂₅.

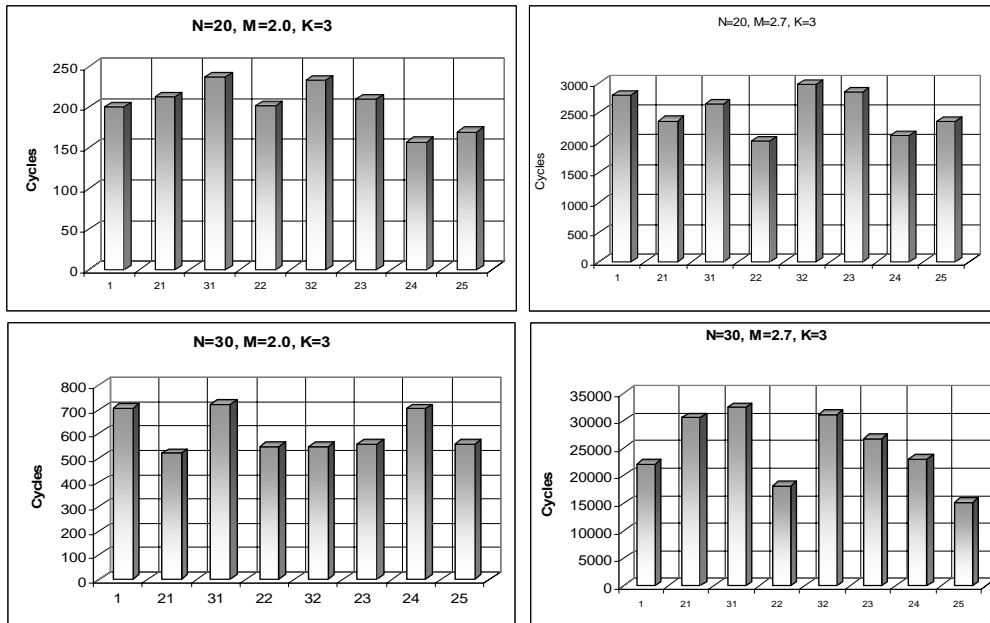


Figura 10.3 Studiu comparativ pentru versiunile de AWCS - cicluri

În ceea ce privește variantele de nogood processor cu distribuția completă a acestora la fiecare agent (cu prioritate curentă sau prioritate veche), acestea nu au avut rezultate deosebite față de tehnica de bază.

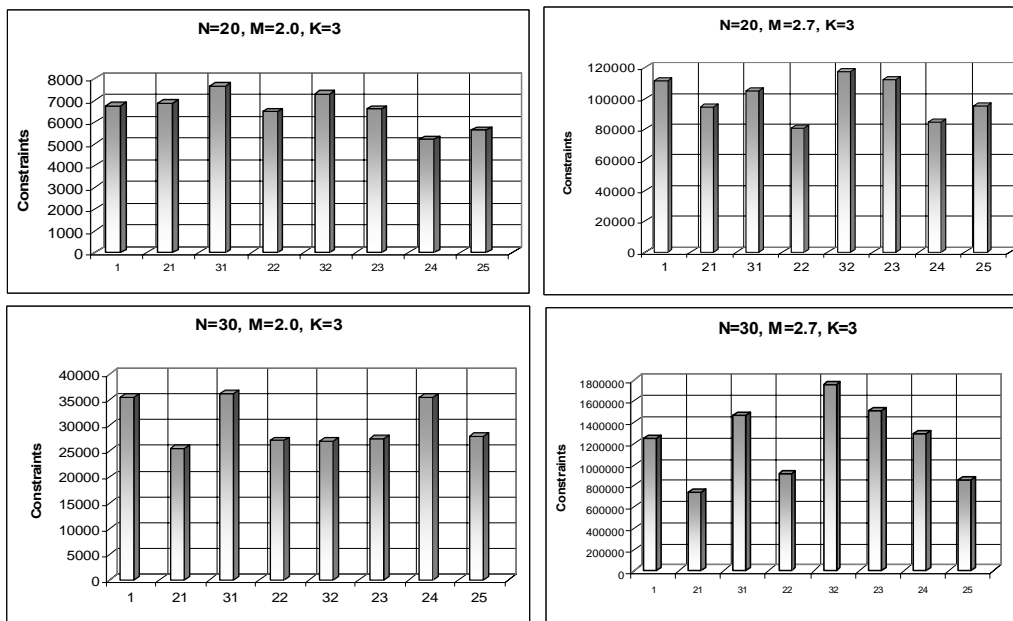


Figura 10.4. Studiu comparativ pentru versiunile de AWCS - constrângeri.

În graficul din figura 10.5 sunt prezentate rezultatele experimentale și studiul comparativ pentru cele 8 variante în funcție de fluxul de mesaje. Au fost contorizate mesajele de tip ok și nogood (ce caracterizează tehnica AWCS). Se remarcă faptul că nu s-au contorizat decât mesajele nogood schimbate de agenți pentru construirea soluției, fără a lua în calcul mesajele necesare pentru a transmite valorile nogood la procesoarele de nogood-uri.

Observațiile anterioare, făcute la evaluarea în funcție de numărul de cicluri rămân valabile, remarcând performanțele tehnicilor AWCS₂₂, AWCS₂₄ și AWCS₂₅.

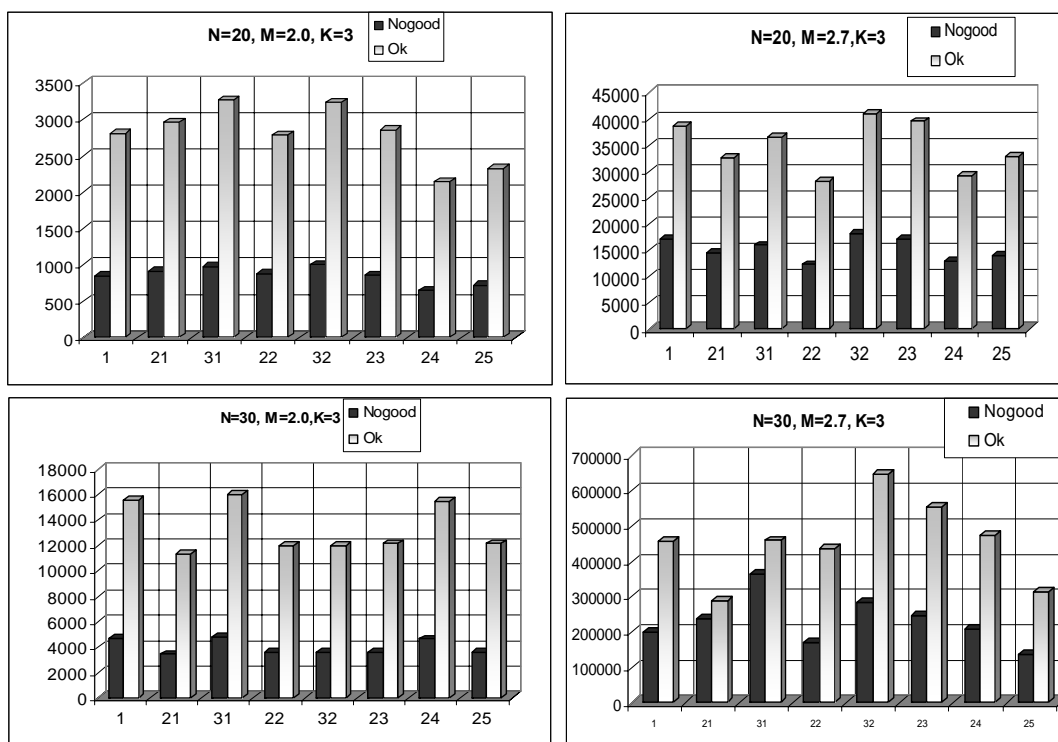


Figura 10.5 Studiu comparativ pentru versiunile de AWCS - mesaje nogood and ok

În concluzie, analizând rezultatele experimentale obținute, se observă faptul că cele mai bune rezultate s-au obținut pentru variantele derivate din cazul AWCS₂ cu un singur nogood processor centralizat. În aceste cazuri s-au obținut îmbunătățiri în ceea ce privește performanțele, comparativ cu tehnica de bază AWCS₁ cât și cu variantele cu nogood processor distribuit.

10.3.3 Analiza rezultatelor experimentale în cazul aparițiilor întârzierilor în furnizarea mesajelor.

În acest studiu s-a dorit să se observe efectele pe care le au întârzierile în furnizarea mesajelor asupra performanțelor tehnicilor asincrone. Pentru a vedea efectul întârzierilor în furnizarea mesajelor și pentru cazul variantelor obținute prin aplicarea tehnicii nogood processor s-au făcut evaluări prin introducerea forțată a

unor întârzieri în furnizarea mesajelor (introduse aleator). Pentru aceasta, pentru fiecare agent s-a forțat analiza mesajelor prin introducerea unei pauze forțate. Modelul cu sincronizare SEIS utilizat la implementare a permis introducerea acestor întârzieri în rutinele de manipulare a mesajelor. Pentru analiza comportamentului la întârzieri s-a ales tehnica de bază AWCS₁ și cele mai performante variante obținute AWCS₂₂, AWCS₂₄ și AWCS₂₅.

Rezultatele experimentale sunt prezentate în figurele 10.6, 10.7 și 10.8.

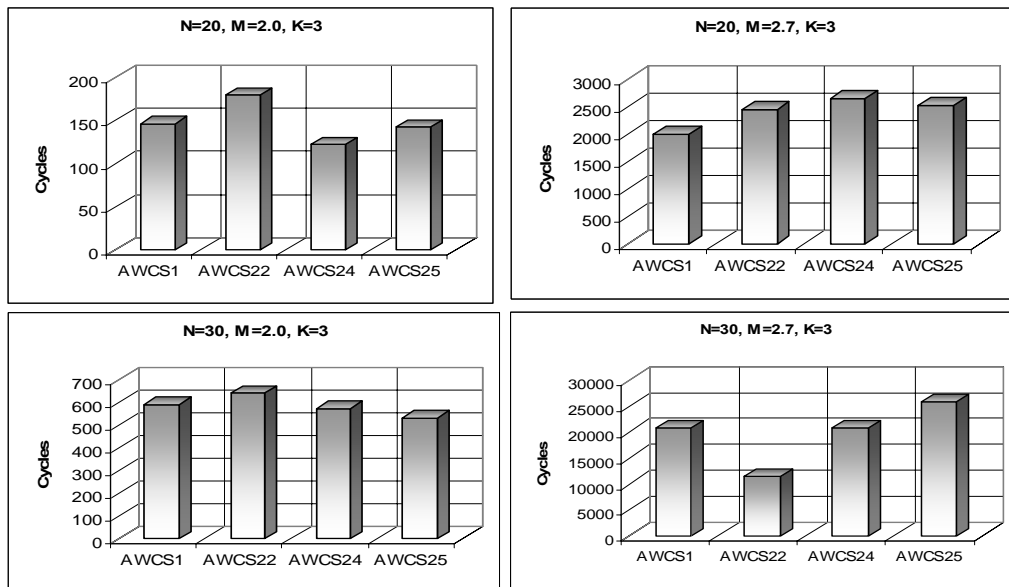


Figura 10.6. Studiu comparativ pentru versiunile de AWCS cu întârzieri aleatoare -

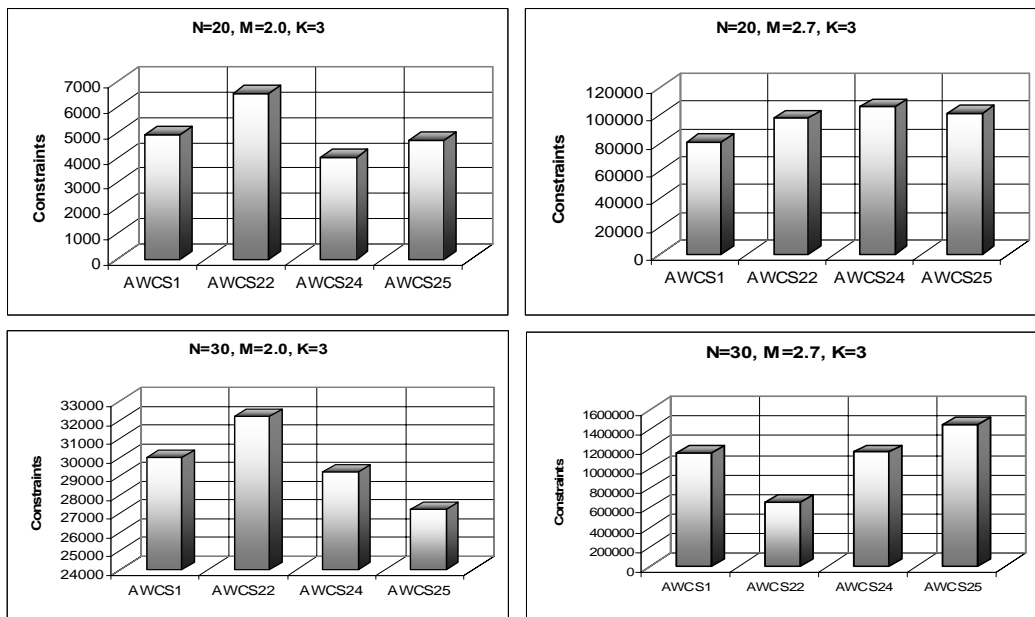


Figura 10.7 Studiu comparativ pentru versiunile de AWCS cu întârzieri aleatoare -

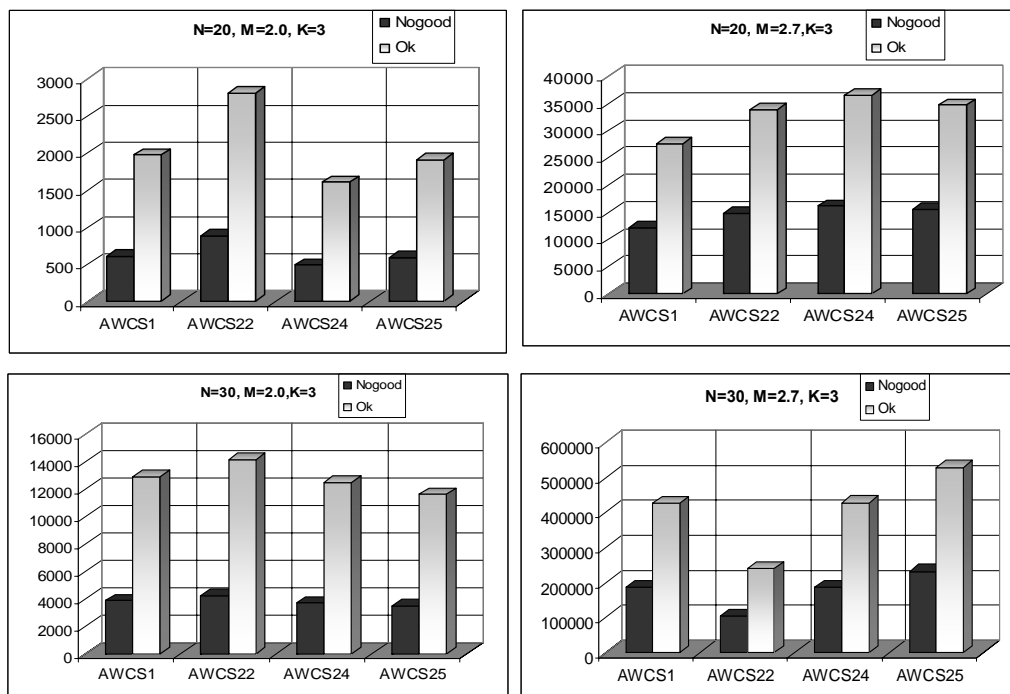


Figura 10.8 Studiu comparativ pentru versiunile de AWCS cu întârzieri

Se remarcă un comportament diferit pentru tehnicile derivate. Tehnicile AWCS₂₄ și AWCS₂₅ au avut rezultate bune pentru probleme de densitate mică și costuri mari în cazul problemelor de densitate mare. În schimb, tehnica AWCS₂₂ a necesitat costuri mai mari pentru clasele de probleme rare (sparse) și un comportament bun pentru cazul problemelor dificile.

Comportamentul anterior s-a păstrat relativ la fluxul de mesaje și cantitatea de constrângeri verificate. Totuși, se observă rezultate mai bune pentru tehnica de bază AWCS și variantele derivate. Practic, nu s-au obținut rezultate spectaculoase în ce privește performanțele, tehnica de bază având costuri comparabile cu celelalte variante. Aceasta arată că variantele cu nogood processor sunt sensibile la întârzieri în furnizarea mesajelor.

10.3.4 Analiza rezultatelor experimentale în cazul filtrării mesajelor.

În capitolul 6, paragraful §6.5, a fost prezentată o metodă de filtrare a mesajelor redundante și învechite. Și în cazul variantelor de AWCS există o cantitate de mesaje ok redundante și învechite. Prin urmare a fost aplicată această metodă de filtrare a mesajelor ok pentru variantele cele mai performante analizate anterior (AWCS₂₂, AWCS₂₄, AWCS₂₅). Rezultatele sunt prezentate în figurile 10.9, 10.10 și 10.11.

Se remarcă faptul că filtrarea a redus foarte mult costurile pentru tehnica de bază în cazul problemelor de densitate rară. În schimb, variantele cu nogood processor au avut costuri mai mici decât tehnica de bază (după aplicarea filtrării mesajelor) pentru clasele de probleme dense.

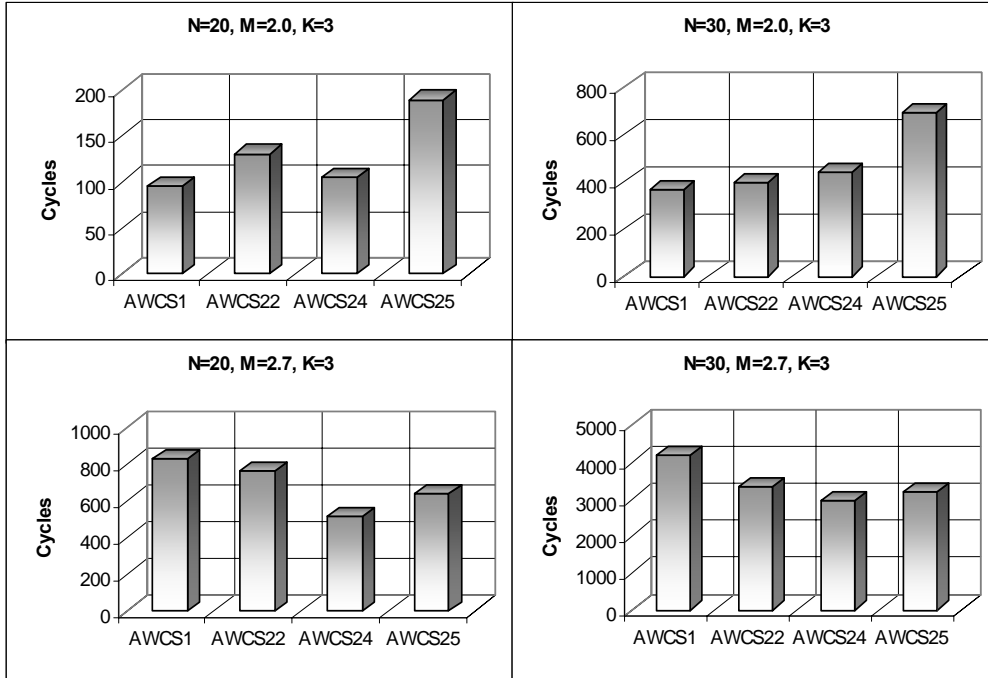


Figura 10.9 Studiu comparativ pentru versiunile de AWCS cu filtrarea mesajelor - ciclul

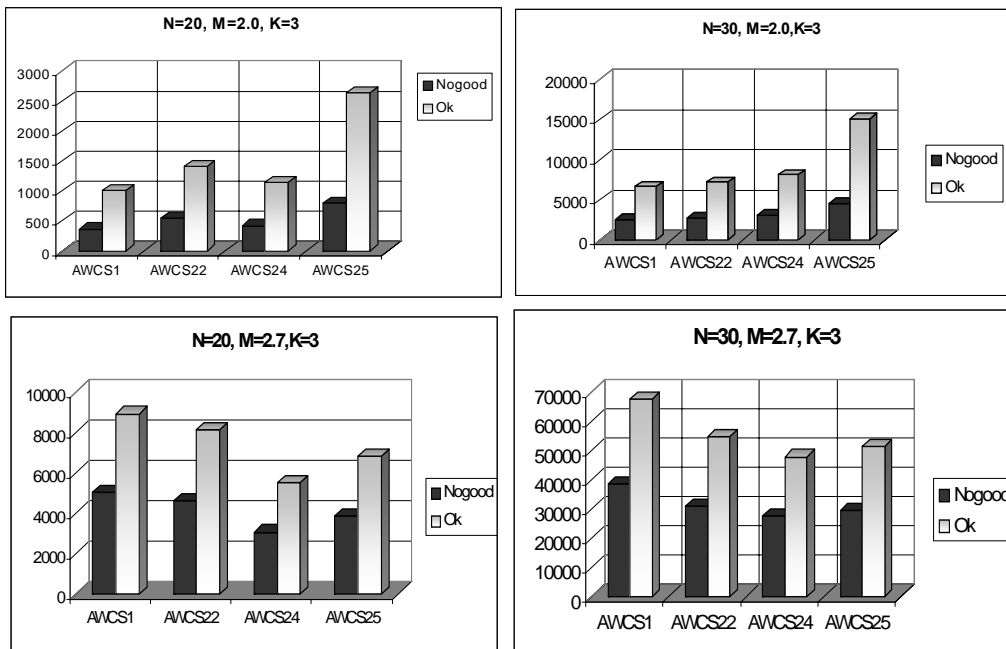


Figure 10.10. Studiu comparativ pentru versiunile de AWCS cu filtrarea mesajelor – mesaje nogoood și ok

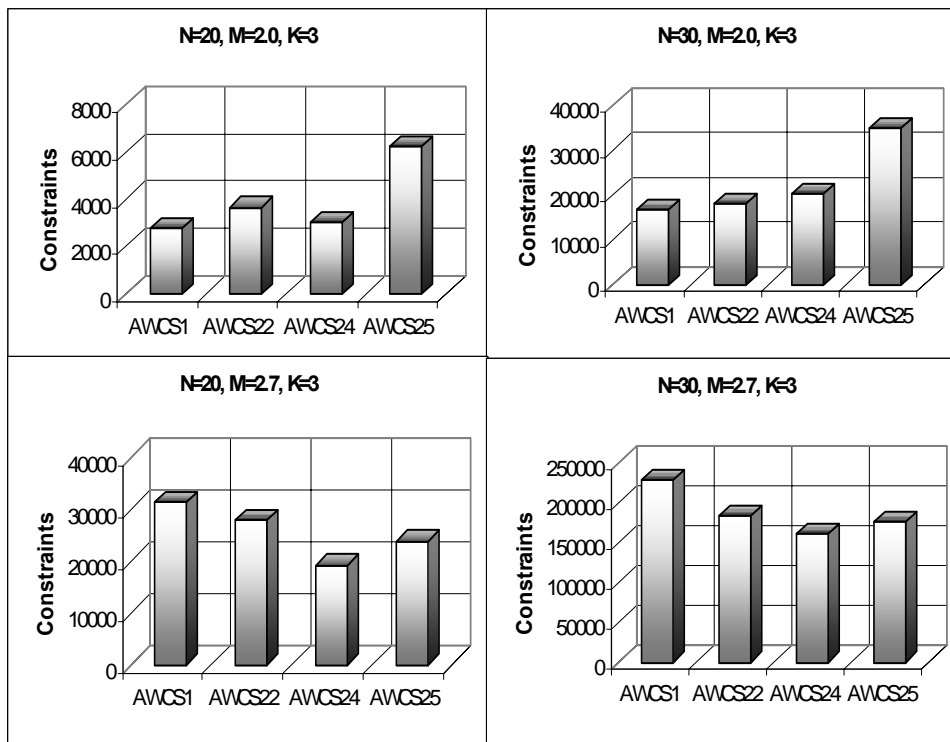


Figura 10.11. Studiu comparativ pentru versiunile de AWCS cu filtrarea mesajelor – constrângeri verificate

Ca o concluzie generală, tehnica de bază AWCS a obținut cele mai bune performanțe pentru "sparse problem". În schimb, pentru "difficult problem", variantele bazate de tehnica nogood processor au obținut cele mai bune rezultate, filtrele aplicate reducând efortul de calcul (efortul local, fluxul de mesaje și efortul global de calcul).

10.4 Concluzii.

În acest studiu s-a încercat adaptarea tehnicii nogood processor pentru tehnica AWCS. Când un nogood este descoperit în timpul procesului de căutare a soluției, această valoare este trimisă și stocată de un nogood processor. Mai târziu, când se încearcă căutarea unei noi valori pentru un anume agent, se verifică suplimentar dacă aceea asocieră împreună cu valorile agenților de prioritate superioară nu a mai existat și prin urmare este eliminată din arborele de căutare.

Se propune o soluție de distribuire a procesoarelor de nogooduri către agenți, în funcție de ordinea agenților, cu scopul de a reduce costurile de căutare și de stocare. Sunt analizate experimental avantajele pe care le aduce tehnica nogood processor la îmbunătățirea performanțelor tehnicii AWCS, identificând câteva moduri de distribuire ce aduc îmbunătățiri ale performanțelor. De asemenea, se analizează efectul aplicării tehnicii nogood processor în situația filtrării mesajelor și în cazul apariției de întârzieri în furnizarea mesajelor.

S-au analizat mai multe variante obținute prin distribuirea valorilor nogood la un singur nogood processor, respectiv la mai multe nogood processor, câte unul pentru fiecare agent. Pentru identificarea agenților de prioritate superioară s-a luat în calcul prioritatea curentă a agentului (aflată în current-view) și prioritățile vechi stocate în listele nogood-store.

Cele mai performante variante s-au obținut prin distribuirea valorilor nogood la un nogood processor centralizat și în care valorile de tip nogood sunt folosite doar la agentul cu prioritatea cea mai mare dintre vecini (raportat la prioritatea curentă sau la cea veche stocată). Îmbunătățiri ale performanțelor s-au obținut și în cazul unui nogood processor centralizat ce folosește prioritățile vechi pentru identificarea agenților. În acest caz, experimentele au arătat o reducere a fluxului de mesaje, a numărului de constrângeri verificate, dar și a numărului de cicli necesari obținerii soluției. Prin distribuirea valorilor nogood și a procesoarelor de nogooduri s-au obținut îmbunătățiri ale performanțelor.

Trebuie subliniat un anumit aspect relativ la costurile suplimentare pe care le poate induce aplicarea tehnicii nogood processor. Transmiterea valorilor nogood către procesoare presupune un flux de mesaje suplimentar care încarcă costurile găsirii unei soluții. În analiza realizată aici, acest flux de mesaje a fost ignorat. Totuși, efectul acestui flux de mesaj suplimentar s-a regăsit în numărul de cicli și de constrângeri verificate, deci într-un nume fel a fost contorizat.

O altă situație analizată a fost aceea a apariției întârzierilor în transmiterea mesajelor. Și aici anumite variante de AWCS cu nogood processor au avut comportamente bune, dar nu spectaculoase, tehnica de bază având costuri comparabile cu celelalte variante pentru această situație. Aceasta arată că variantele cu nogood processor sunt sensibile la întârzieri în furnizarea mesajelor, deși sunt mai performante în cazul clasic în care mesajele au întârzieri fixe.

Ca o concluzie generală, tehnica nogood processor poate aduce beneficii importante asupra performanțelor tehnicilor asincrone, ducând la reducerea efortului de căutare a soluției.

Rezultatele evidențiate în acest capitol au fost publicate în [MusCPP06] și [MusC06].

11. COMBINAREA TEHNICILOR NOGOOD PROCESSOR ȘI NOGOOD LEARNING ÎN CAZUL TEHNICILOR DE CĂUTARE ASINCRONE DIN FAMILIA AWCS.

Plecând de la rezultatele din studiul anterior, în acest studiu se încearcă combinarea variantelor de nogood processor cu tehnicile de învățare, cu scopul de a găsi o soluție de îmbunătățire a performanțelor tehnicii AWCS.

Capitolul începe cu o prezentare a contextului de lucru. În paragraful al doilea se prezintă tehnica "resolvent-based learning", introdusă în [HY00]. În al treilea capitol este prezentată o soluție de combinare a celor două tehnici. Paragraful al patrulea prezintă o analiză experimentală a versiunilor obținute, comparându-se performanțele relativ la tehnica de bază. În final sunt prezentate concluziile combinării celor două tehnici în cazul tehnicii AWCS.

11.1 Introducere.

Tehnicile asincrone existente în cadrul programării cu constrângeri distribuite se caracterizează prin apariția valorilor „nogood” în timpul căutării soluției. Mesajele de tip nogood sunt transmise între agenți cu scopul de a efectua un backtracking inteligent și de a asigura completitudinea algoritmilor. Valorile nogood arată cauza eșecului și incorporarea lor ca o constrângere va permite agenților să nu mai repete aceeași greșeală. Așa cum a fost prezentat în capitolele anterioare, algoritmul asynchronous weak-commitment search (AWCS) se remarcă prin faptul că suferă de o explozie a valorilor nogood, dar și prin schimbarea dinamică a ordinii agenților [YDIK98]. Tehnica AWCS este considerată o tehnică eficientă obținută prin schimbarea dinamică a ordinii agenților. În studiul anterior s-a văzut care este efectul stocării nogooduri și utilizării ulterioare a informațiilor stocate în nogooduri în cazul acestei tehnici.

În acest capitol se analizează modul în care se poate combina o tehnică de obținerea a unor valori nogood eficiente cu o tehnică de stocare a acestora. Astfel se încearcă combinarea tehnicii "resolvent-based learning" introdusă de Yokoo, cu tehnica „nogood processor” pentru cazul tehnicii AWCS. Aceste tehnici se referă la modul de obținere a unor nogood-uri eficiente, respectiv la modul în care se face stocarea valorilor nogood și folosirea ulterioară a informațiilor furnizate de nogood-uri în procesul de selectare a unei noi valori pentru variabilele asociate agenților. Plecând de la această analiză, se propun anumite modificări pentru cele două tehnici cunoscute, cu scopul de a obține o variantă mai performantă.

În [HY00], Hirayama și Yokoo introduc termenul de *nogood learning* sau *learning*, termen ce se referă la construirea valorilor nogood. În [HY00], se prezintă și analizează o schemă numită "resolvent-based learning", care, aplicată algoritmului AWCS permite reducerea costurilor necesare pentru a rezolva problema. Tehnica se bazează pe construirea unui nou nogood eficient, doar prin verificarea câtorva valori nogood.

În capitolul anterior este prezentată o soluție de distribuire a procesoarelor de nogooduri identificându-se mai multe solutii de creștere a eficienței tehnicii AWCS. În acel studiu se încearcă adaptarea tehnicii nogood processor pentru tehnica AWCS. Această tehnică constă în stocarea valorilor nogood și folosirea informațiilor din nogooduri la selectarea unei noi valori. Analiza din capitolul anterior a permis identificarea modului în care se distribuie nogood-urile: se propune o soluție de distribuire a nogood procesoarelor între agenți, conform cu ordinea agenților, astfel încât să se obțină o reducere a costurilor de căutare și de stocare .

Plecând de la rezultatele din studiul anterior, în acest studiu se încearcă combinarea variantelor de nogood processor cu tehnicile de învățare, cu scopul de a găsi o soluție de mărire a performanțelor tehnicii AWCS. Sunt analizate beneficiile pe care le aduce combinarea tehnicii nogood processor împreună cu tehnica „resolvent-based learning”, la îmbunătățirea performanțelor tehnicii AWCS printr-un set de experimente. De asemenea, se analizează comportamentul tehnicilor obținute în cazul aplicării tehnicii filtrării mesajelor, tehnică introdusă în capitolele anterioare.

11.2. Tehnica “resolvent-based learning”.

Modelarea CSP oferă mai multe tehnici de rezolvare având la bază căutarea. Aceste tehnici pot fi îmbunătățite prin aplicarea tehnicilor loop-back. Aceste tehnici loop-back se bazează pe folosirea informațiilor despre căutarea realizată. Există mai multe tehnici loop-back, cunoscute din literatura de specialitate, prezentate în [FD94], [Gin93], [RR98], [BM96], [Dec90].

Tehnica nogood learning, introdusă în [HY00], este o nouă metodă de învățare pentru valorile nogood, ce se poate aplica la tehnicile DCSP, metodă bazată pe adaptarea tehnicilor loop-back prezentate în [FD94], [Gin93], [RR98], la cadrul DCSP. Ideea de bază este aceea că pentru fiecare posibilă valoare pentru variabila eșec, se selectează un nogood care interzice acea valoare și apoi se construiește un nou nogood în afara celui obținut prin unirea nogood-urilor selectate. Autorii acestei metode compară acest nou nogood ca fiind asemănător cu noțiunea de rezolvent din logica propozițională, de aici și denumirea acestei metode *rezolvent bazat pe învățare*.

Pentru a putea explica mai bine modul de funcționare a acestei metode [HY00] se consideră un agent A_i , cu domeniul D_i și fiecare valoare din acest domeniu intră în conflict cu câteva valori nogood de prioritate superioară, pentru lista curentă *agent_view*. Această metodă presupune construirea nogoodului pe care îl va transmite un agent A_i folosind nogoodurile stocate. Acest agent selectează o valoare nogood pentru fiecare valoare $d \in D_i$ astfel:

- agentul identifică acele nogood-uri de prioritate superioară ce sunt inconsistente relativ la contextul curent *agent_view* și avem $x_i=d$;
- selectează cel mai mic dintre aceste nogood-uri.
-

În final, agentul A_i construiește un nou nogood prin ștergerea tuturor elementelor incluzând x_i din mulțimea de nogood-uri selectate. Agentul selectează cel mai mic nogood din perspectiva priorităților din cauză că se dorește să se obțină un nou nogood cât mai mic posibil.

11.3 Combinarea tehnicilor de "nogood processor" și "nogood learning"

Combinarea celor două tehnici nu s-a putut face în mod direct. Au fost necesare mai multe adaptări pentru a putea obține o tehnică derivată completă și eficientă.

După cum s-a prezentat anterior, tehnica "nogood learning" intervine în cazul în care un agent A_i (cu domeniul D_i) pentru fiecare valoare din domeniul său intră în conflict cu câteva valori nogood de prioritate superioară, pentru lista curentă `agent_view`. De fapt, aceasta este situația de eșec (numită la aceste tehnici `backtrack`), în care se apelează rutina `Backtracking`. Introducerea tehnicii `nogood processor` are ca efect folosirea informațiilor stocate de fiecare `nogood processor` în procesul de căutare a unei noi valori pentru fiecare variabilă avută în grijă de agent. Pentru aceasta, fiecare `nogood processor` verifică (la cererea unui agent), prin intermediul subrutinei `check_inconsistent_value_nogood_processor`, dacă valoarea selectată de agent nu a mai existat în combinație cu valorile agenților de prioritate superioară. Prin urmare, este posibil ca la apelul rutinei de construire a unui nou `nogood`, pentru o anumită valoare să nu existe nici un `nogood` de prioritate superioară care să fie inconsistent sub lista curentă `agent_view` și să apară $x_i=d$. În această situație se propune restartarea procesului de construire a valorilor `nogood`, selectând pentru `nogood` lista curentă `agent_view`.

Dintre variantele de `nogood processor` propuse în capitolul anterior s-a ales varianta cu mai multe "nogood processor", în care fiecare agent are propriul său `nogood processor`, apelat în momentul selectării unei noi valori. În acest studiu sunt propuse două variante, notate cu $AWCS_3$ și $AWCS_4$, care combină tehnica `nogood learning` cu prima versiune de `nogood processor`, varianta cu mai multe procesoare. Varianta $AWCS_4$ diferă de varianta $AWCS_3$ prin faptul că verificarea se face doar de agentul cu prioritatea cea mai mare dintre vecini. O altă observație legată de adaptarea variantelor din capitolul anterior este aceea că nu se mai apelează suplimentar procesoarele în cazul recepționării unui mesaj `ok`. În paragraful următor de experimente se va considera $AWCS_1$ ca fiind tehnica de bază, iar $AWCS_2$ varianta cu „`resolvent-based learning`”.

În figura 11.1 sunt prezentate procedurile pentru recepționarea mesajelor pentru noua variantă, evidențiind acele diferențe față de varianta de bază $AWCS$ (notate cu *).

```

when received (ok?, (xj,dj, prioritate)) do
  add (xj , dj , priority) to agent_view;
  check_agent_view;
end do;

when received (nogood, xj, nogood) do
  add nogood to nogood_list;
  *
  when (xk,dk,prioritate), where xk is not in neighbors is contained in nogood do
    add xk to neighbors
    add (xk, dk, priority) to agent_view;
  end do
  check_agent_view;
end do;

```

```

procedure check_agent_view
  when agent_view și current_value are not consistent do
    if no value in  $D_i$  is consistent with agent_view then
      backtrack
    else
      select  $d \in D_i$  where agent_view and d minimizes the number of constraint
        violations with lower priority agents; **
      current_value  $\leftarrow d$ 
      send (ok?, ( $x_i$ , d, current_priority)) to neighbors
    end if
  end do
end procedure

Procedure Backtrack
  nogoods  $\leftarrow \{V/V = \text{inconsistent subset of } agent\_view\}$  //construit cu tehnica
  "nogood learning"
  when an empty set is an element of nogoods do
    broadcast to other agents that there is no solution,
    terminate this algorithm;
  end do
  when no element of nogoods is included nogood_sent do
    for each  $V \in nogoods$  do
      add V to nogood_sent
      for each  $(x_j, d_j, p_j)$  in V
        send (nogood,  $x_i, V$ ) to  $x_j$ 
      end do
    end do
     $P_{max} \leftarrow \max_{(x_j, d_j, p_j) \in agent\_view} (p_j)$ 
    current_priority  $\leftarrow 1 + P_{max}$ 
    select  $d \in D_i$  where d minimizes the number of constraint violations
      with lower priority agents; **
    current_value  $\leftarrow d$ 
    send (ok?, ( $x_i$ , d, current_priority)) to neighbors
  end do
end procedure

```

Figura 11.1. Algoritmul asynchronous weak-commitment search cu nogood learning și nogood processor (procedurile pentru recepționarea mesajelor)

Informațiile stocate de fiecare nogood processor vor fi folosite în procesul de căutare a unei noi valori pentru fiecare variabilă avută în grijă de agent. Pentru aceasta, fiecare nogood processor va verifica (la cererea unui agent), prin intermediul subrutinei *check_inconsistent_value_nogood_processor*, dacă valoarea selectată de agent nu a mai existat în combinație cu valorile agenților de prioritate superioară. În figura 11.2 este prezentată rutina de verificare a inconsistenței unei noi valori. Apelul rutinei de verificare a inconsistenței (*check_inconsistent_value_nogood_processor*) este marcat cu ****** în algoritmul AWCS prezentat în figura 11.1.

```

function check_inconsistent_value_nogood_processor [ $A_i$ ]
foreach  $Nogood \in nogoods\_store$  do
  foreach  $x \in Nogood$  with the current priority from current_view * bigger
    than the agent's  $A_i$ 
    pos  $\leftarrow$  position  $x$  in  $Nogood$ 
    if  $x \neq$  item pos current_value
      return consistent
    end do
  if current_value  $\neq$  item  $A_i$  in nogood
    return consistent
  endif
end do
return inconsistent
end procedure

```

Figura 11.2 Rutina de verificare a valorilor nogood

11.4. REZULTATE EXPERIMENTALE.

11.4.1 Condiții experimentale

În acest paragraf se prezintă rezultatele experimentale, obținute în urma implementării și evaluării tehnicilor asincrone prezentate. Variantele AWCS (cele inițiale și cele obținute prin combinarea celor două metode "nogood processor" și „nogood learning”) au fost implementate folosind modelul cu sincronizarea execuției agenților prezentat în capitolul 5. Experimentele s-au desfășurat în condițiile prezentate în paragraful §6.1.

Pentru a putea face evaluarea acestor variante de algoritmi s-au contorizat mesajele de tip ok și nogood schimbate de agenți, numărul de constrângeri verificate și numărul de cicluri necesari pentru obținerea soluției.

11.4.2 Analiza rezultatelor experimentale pentru cazul de bază.

În figurile 11.3, 11.4 și 11.5 sunt prezentate rezultatele experimentale pentru cele 4 versiuni de AWCS, în funcție de numărul de cicluri, constrângeri și fluxul de mesaje.

În cazul numărului de cicluri necesari obținerii soluției analizând graficele din figura 11.3 se remarcă performanțe foarte bune pentru variantele obținute AWCS₃ și AWCS₄, comparativ cu varianta de bază AWCS₁ și performanțe bune comparativ cu varianta cu nogood learning-AWCS₂. Cele două variante au avut un număr mai mic de cicluri, comparativ cu celelalte variante, pentru ambele clase de probleme (cu densitate rară și densitate mare). Pentru cea mai dificilă problemă (n=30, m=2.7) comportamentul cel mai bun l-a avut varianta AWCS₄, când manipularea procesorului de nogooduri s-a făcut doar de agentul cu prioritatea cea mai mare dintre vecini. O altă observație este că cele două variante propuse au costuri apropiate, cu excepția clasei n=30, m=2.7.

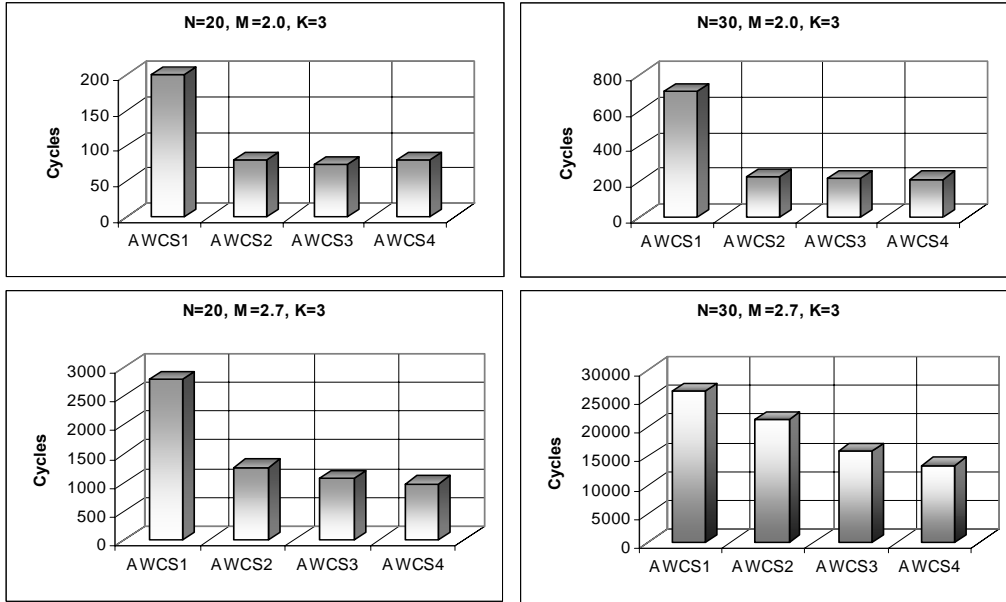


Figura 11.3. Studiu comparativ pentru versiunile de AWCS - cicluri.

În ceea ce privește numărul de constrângeri verificate, prezentate în figura 11.4, se remarcă faptul că variantele propuse, inclusiv varianta cu nogood learning, au necesitat un număr mai mare de constrângeri. Un efort local mai mic s-a obținut pentru problemele de densitate mare, remarcându-se varianta AWCS₄.

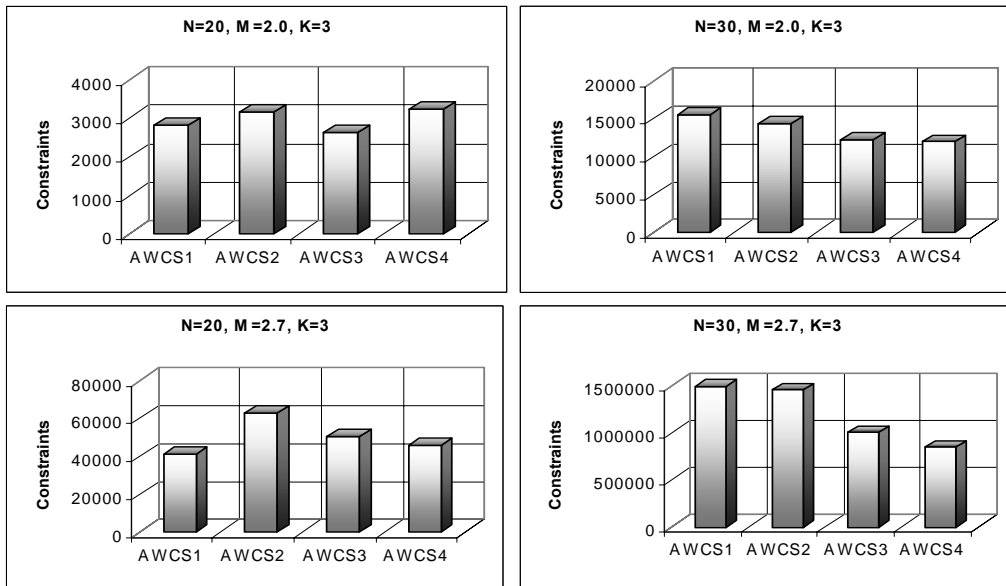


Figura 11.4. Studiu comparativ pentru versiunile de AWCS-constrângeri verificate

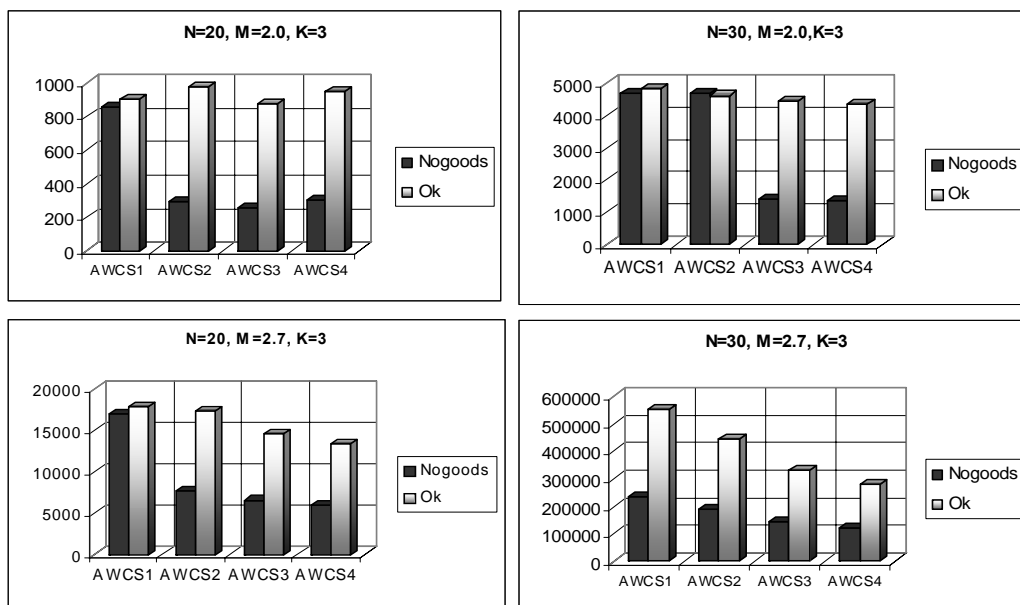


Figura 11.5 Studiu comparativ pentru versiunile de AWCS – mesaje nogood și ok.

În ultimul grafic, cel din figura 11.5 sunt prezentate rezultatele experimentale pentru cele 4 variante, dar în funcție de fluxul de mesaje (mesaje de tip ok și nogood). În cadrul experimentelor realizate s-au contorizat doar mesajele nogood schimbate de agenți, fără a lua în calcul mesajele necesare pentru a transmite valorile nogood la procesoarele de nogood-uri, ca și în cazul analizei tehnicilor nogood processor. Variantele propuse aici au avut comportamente diferite pentru cele două clase de probleme. În cazul problemelor cu densitate rară, fluxul de mesaje a fost apropiat de tehnicile de bază. În schimb, pentru probleme cu densitate mare ele se remarcă printr-un flux de mesaje mult mai mic, mai ales pentru problemele de dimensiune mare ($n = 30$ noduri).

11.4.3. Analiza rezultatelor experimentale în cazul filtrării mesajelor.

În capitolul 6, paragraful §6.5.2 a fost prezentată o metodă de filtrare a mesajelor redundante și învechite. Analiza implementărilor pentru variantele de AWCS, pe baza modelului cu sincronizare, a arătat că există o cantitate de mesaje ok redundante și învechite. Prin urmare, a fost aplicată această metodă de filtrare a mesajelor ok pentru cele patru variante evaluate. Rezultatele sunt prezentate în figurile 11.6, 11.7 și 11.8.

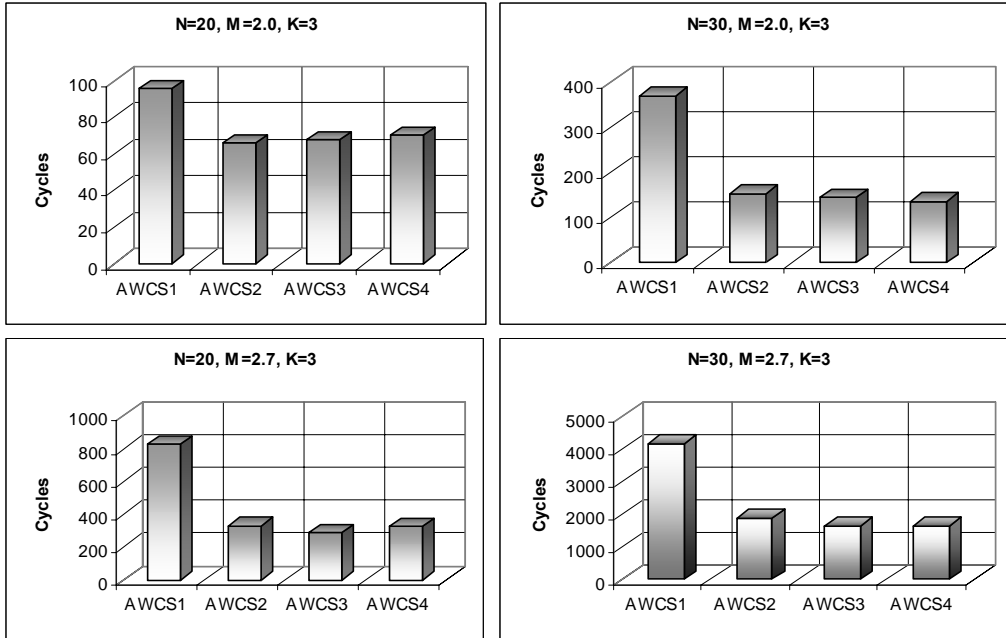


Figura 11.6 Studiu comparativ pentru versiunile de AWCS cu filtrarea mesajelor- cicluri.

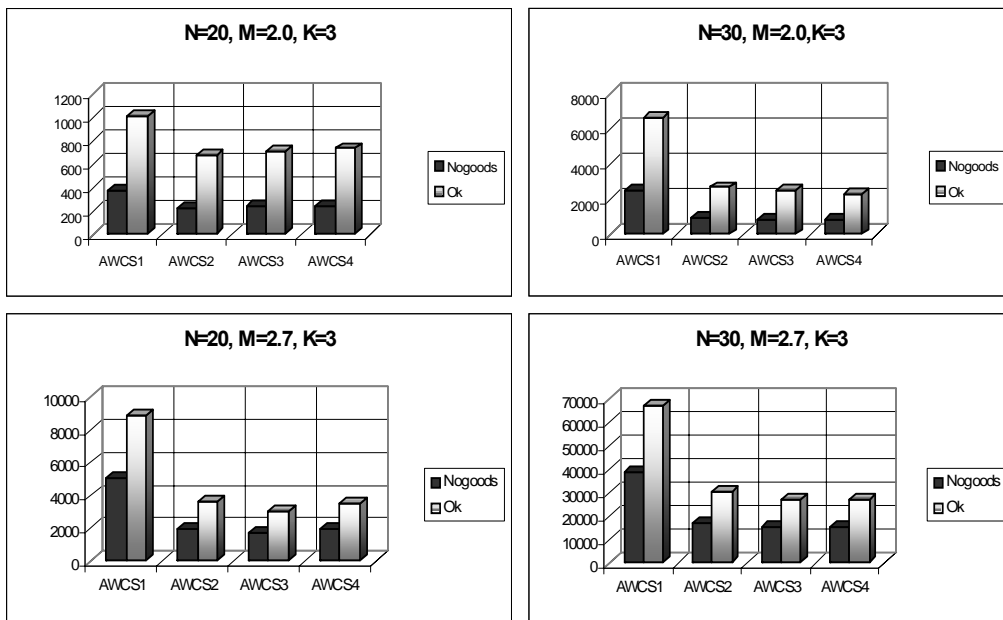


Figura 11.7 Studiu comparativ pentru versiunile de AWCS cu filtrarea mesajelor – mesaje nogood și ok.

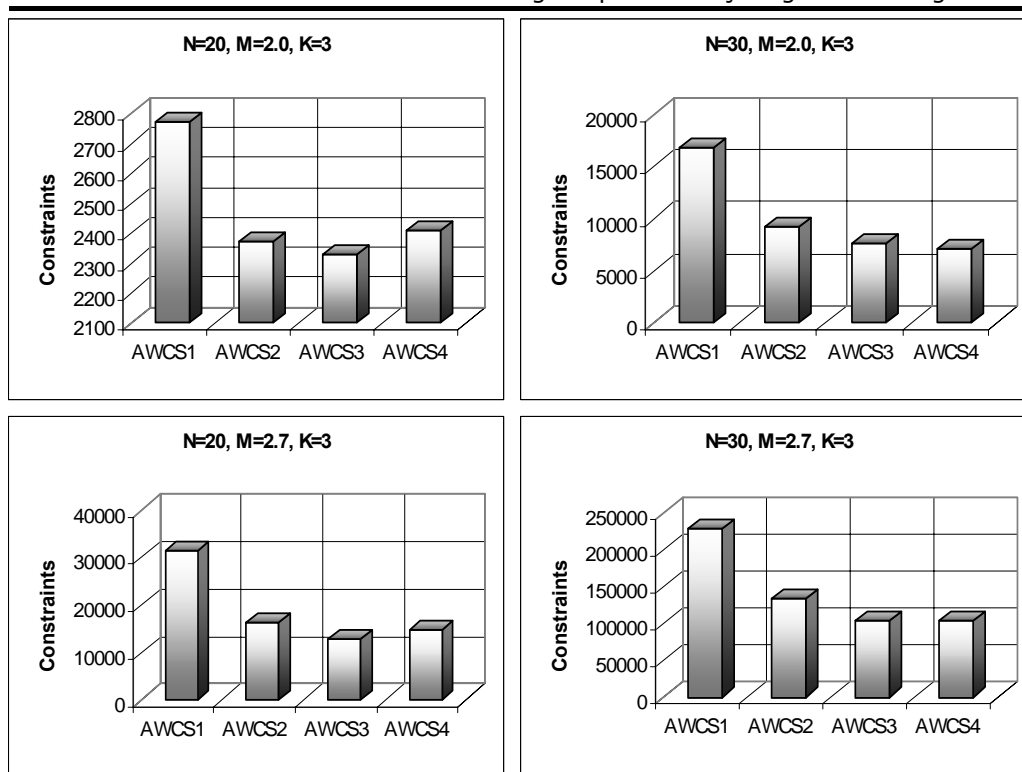


Figura 11.8 Studiu comparativ pentru versiunile AWCS cu filtrarea mesajelor-constrângeri

Se remarcă reducerea costurilor în cazul aplicării tehnicii filtrării, indiferent în ce au fost contorizate ele. Filtrarea mesajelor a permis reducerea numărului de cicli necesari obținerii unei soluții, dar și a fluxului de mesaje, respectiv a numărului de constrângeri verificate. Prin urmare, rămân valabile concluziile din capitolele anterioare relative la aplicarea tehnicii filtrării pentru orice tehnică asincronă din familiile ABT și AWCS.

11.5. Concluzii.

În acest studiu s-a încercat combinarea a două tehnici „nogood processor” și „resolvent-based learning” pentru cadrul AWCS. Aceste tehnici se referă la modul de obținere a unor nogood-uri eficiente (resolvent-based learning), respectiv la modul în care se face stocarea valorilor nogood și folosirea ulterioară a informațiilor furnizate de nogood-uri în procesul de selectare a unei noi valori. Plecând de la aceste tehnici, sunt propuse în acest capitol anumite modificări pentru cele două tehnici cunoscute, obținând două tehnici derivate. Scopul combinării celor două tehnici (tehnici ce se concentrează pe minimizarea și selecția valorilor nogood.) a fost de îmbunătățire a eficienței algoritmului AWCS.

Adaptarea la cadrul AWCS a necesitat câteva modificări asupra modului de construire a noului nogood, având la bază restartarea procesului de construire a

valorilor nogood. Cea mai performantă variantă s-a obținut prin distribuirea valorilor nogood doar la agentul cu prioritatea cea mai mare dintre vecini. Evaluările experimentale au arătat o reducere a fluxului de mesaje și a numărului de cicli necesari obținerii soluției. Distribuirea valorilor nogood la anumite procesoare, împreună cu tehnica solvent-based learning, a permis obținerea unor îmbunătățiri pentru performanțele tehnicii AWCS.

Filtrarea mesajelor redundante și învechite, introdusă în capitolul 6, aplicată la variantele propuse, a condus la reducerea costurilor în găsirea soluției.

Ca o concluzie generală, combinarea celor două tehnici, sub forma celor două variante propuse, poate aduce beneficii importante la performanța tehnicilor asincrone din familia AWCS.

Rezultatele acestui capitol au fost publicate în [MusC06].

SECȚIUNEA IV. CONCLUZII FINALE ȘI PERSPECTIVE

Secțiunea finală conține concluziile finale desprinse pe parcursul tratării temelor propuse în lucrare, rezumatul contribuțiilor și perspectivele de continuare a cercetării în această arie tematică.

12. CONCLUZII FINALE ȘI PERSPECTIVE

12.1. Concluzii.

Teza de față abordează *problematica sistemelor multi-agent bazate pe tehnicile de căutare asincrone existente în cadrul programării cu constrângeri distribuite*. Principalele idei pe care se bazează teza sunt:

- Utilizarea mediului NetLOGO ca un simulator de bază în studiul tehnicilor de căutare asincrone existente în cadrul programării bazate pe constrângeri distribuite;
- Utilizarea completă și eficientă a informațiilor oferite de listele de tip *nogood*, inclusiv renunțarea la stocarea acestora în anumite cazuri identificate în lucrarea de față;
- Limitarea fluxului de mesaje pentru legăturile temporare;
- Introducerea managementului mesajelor pe baza analizei cozilor de mesaje împreună cu sincronizarea execuției agenților;
- Problemele modelate cu constrângeri fiind în general probleme NP-complete, presupun analize într-o fază de preprocesare care să identifice tehnica de căutare potrivită, versiunea de implementare și condițiile de rulare.

Obiectivele propuse în cadrul programului de cercetare sunt strâns legate de problemele curente ale domeniului programării cu constrângeri distribuite și se aliniază la ideile prezentate anterior. O prezentare detaliată a modului în care au fost tratate și atinse aceste obiective se va regăsi în acest paragraf.

(1) *Conceperea și dezvoltarea unui model pentru implementarea tehnicilor de căutare asincrone.*

Analiza mediului NetLogo a permis construirea unui model general de implementare și evaluare pentru tehnicile de căutare asincrone astfel încât să se poată utiliza mediul NetLogo ca un simulator de bază în studiul tehnicilor asincrone.

Modelul propus a presupus identificarea mai multor obiecte NetLogo necesare pentru implementarea tehnicilor de căutare asincrone:

- Implementarea agenților problemei DCSP;
- Implementarea mesajelor și a canalelor de comunicație pentru mesaje;
- Implementarea ordinii agenților;
- Implementarea interfeței de interacțiune cu utilizatorul;
- Contorizarea costurilor obținerii soluției.

Sunt propuse două metode de detecție a terminării algoritmilor, metode ce permit construirea a două sisteme multi-agent (unul sincron distribuit și celălalt asincron distribuit) pentru evaluarea corectă a performanțelor tehnicilor asincrone. Este posibil să se facă comparații pentru tehnicile asincrone, pentru a vedea care variantă de implementare este de preferat: sincron sau complet asincron. Se poate studia comportamentul agenților în diverse situații și identificarea unor posibile

îmbunătățiri ale performanțelor tehnicilor asincrone. Sistemul NetLogo, prin intermediul modelului și a celor două sisteme multi-agent prezentate, permite simularea altor situații din practică, cum ar fi apariția întârzierilor în transmisia mesajelor. Se pot introduce pauze în prelucrarea mesajelor prin intermediul rutinelor handle-message și studia comportamentul agenților în cazul aparițiilor de întârzieri în furnizarea mesajelor. De asemenea, se pot simula situații în care este nevoie de controlul canalelor de comunicații, cum ar fi filtrarea mesajelor. Aceste două sisteme multi-agent (SEIS și SEIAS) sunt utilizate în secțiunea a III-a la implementarea și identificarea unor îmbunătățiri pentru câteva din tehnicile de căutare asincrone.

Ca o concluzie se poate afirma că sistemele multi-agent realizate pot fi folosite pentru studiul și analiza tehnicilor asincrone, sistemele permițând evaluări complete ale acestora. Aceste rezultate au fost publicate în [MusBP05] și [MusJP06].

(2) *Conceperea unei metodologii unitare de implementare și evaluare a tehnicilor de căutare asincrone pe baza modelului identificat anterior. Această metodologie a permis construirea celor două sisteme multi-agent pentru studiul tehnicilor de căutare asincrone.*

Plecând de la modelarea procesului de execuție a agenților, în această teză este prezentată o metodologie de implementare a algoritmilor asincroni în NetLogo, exemplificată pentru cele două sisteme multi-agent. Această metodologie presupune parcurgerea mai multor etape în implementarea tehnicilor de căutare asincrone. Aceste etape presupun identificarea obiectelor aplicației, construirea agenților și a suprafeței de lucru pentru aplicație, construirea canalelor de comunicație dintre agenți, implementarea rutinelor de manipulare a mesajelor și programul principal al aplicației:

- modelarea și construirea agenților DCSP folosind obiecte *turtles de tip breeds*;
- modelarea suprafeței de lucru a aplicației folosind obiecte de tip *patches*;
- reprezentarea mesajelor utilizând liste indexate. Pentru reprezentarea mesajelor complexe, ce conțin foarte multe informații, Netlogo permite folosirea listelor de liste;
- simularea canalelor de comunicație pentru fiecare agent se poate face folosind liste Netlogo, pentru care se definesc rutine de tratare corespunzătoare principiilor FIFO. Aceste structuri păstrează mesajele recepționate de fiecare agent;
- inițializarea aplicației presupune construirea agenților și a suprafeței de rulare pentru aceștia. Odată cu construirea agenților se inițializează contextul de lucru al agentului (*current-view*), cozile de mesaje, variabile ce contorizează efortul depus de agent;
- rularea aplicației presupune existența unui obiect grafic de tip *button* și setarea proprietății *forever*. În felul acesta, codul atașat sub forma unei proceduri NetLogo (ce se aplică la fiecare agent) va rula continuu, până la golirea cozilor de mesaje și întâlnirea mesajului *stop*. Soluția prezentată pentru sistemul cu sincronizare se bazează pe utilizarea comenzii *ask*. Celălalt sistem, în care agenții operează asincron, se bazează pe renunțarea la comanda *ask* și utilizarea unor butoane grafice atașate la obiecte de tip *turtle*;

- atașarea butonului grafic *observatorului*. Utilizarea acestei soluții permite obținerea unei soluții de implementare cu sincronizarea execuției agenților. În acest caz, *observatorul* va fi cel care va iniția oprirea execuției aplicației DCSP. Acest lucru va fi realizat în momentul în care primește comanda *stop* de la fiecare agent. Procedura principală *update* este atașată și manipulată de *observator*. Aceste elemente conduc la un sistem de implementare cu sincronizarea execuției agenților -SIES.
- Un astfel de sistem multi-agent cu sincronizarea execuției poate fi transformat într-unul cu operarea asincronă prin atașarea butonului grafic obiectelor de tip *turtle* ce simulează agenții. Acest sistem (SIEAS) necesită utilizarea unei noi metode de detecție a terminării execuției, metodă prezentată în această teză.

Rezultatele prezentate anterior au fost publicate în [MusBP05] și [MusJP06].

(3) *Studiul detaliat al comportamentului mai multor tehnici de căutare asincrone în diverse situații cum ar fi sincronizarea execuției agenților, apariția întârzierilor în furnizarea mesajelor, existența unui graf al constrângerilor foarte dens, memorie de lucru disponibilă limitată, procesarea în pachete a mesajelor.*

Modelul prezentat anterior a permis implementarea și studiul tehnicilor asincrone din două mari familii: familia ABT și familia AWCS. Pe baza acestor studii (în diferite situații) s-au identificat anumite îmbunătățiri. Evaluarea performanțelor tehnicilor asincrone a presupus utilizarea unor unități de măsură care să asigure o anumită independență față de limbajele de programare folosite la implementare, în particular față de NetLogo. Unitățile de măsură selectate și implementate în cele două arhitecturi multi-agent, au permis evaluarea tehnicilor asincrone din mai multe puncte de vedere, cum ar fi efortul local și efortul global depus de agenți, încărcarea rețelei datorată fluxului de mesaje schimbat. Tehnicile asincrone au fost aplicate pentru problema colorării unui graf în varianta distribuită. Pentru problema colorării grafurilor s-au considerat două tipuri de probleme: grafuri cu puține legături (numite *sparse problems*, având $m=n \times 2$ legături) și grafuri cu un număr special de legături, cunoscute ca fiind probleme dificile (numite *difficult problems*, având $m=n \times 23$, respectiv $m=n \times 2.7$ legături).

Pentru familia ABT au fost investigate și evaluate cele două mare tehnici derivate din nucleul ABT kernel, prin eliminarea informațiilor învechite dintre agenți:

- tehnica ABT- obținută prin adăugarea legăturilor între agenții neconectați, legături devenite permanente.
- tehnica DisDB- se remarcă prin faptul că nu necesită legături suplimentare. Informațiile învechite dintre agenți sunt eliminate în timp finit.

Valorile experimentale arată că cele două tehnici asincrone necesită costuri mult mai mici pentru cazul în care agenții operează asincron. Efortul local și cel global depus de agenți, inclusiv fluxul de mesaje a fost mai mic cu aproximativ 20-30 % pentru cazul asincron față de cazul cu sincronizarea execuției agenților. Comportamentul s-a păstrat pentru ambele tipuri de probleme (*sparse* și *difficult problems*). Prin urmare, nu este recomandată sincronizarea execuției agenților pentru cele două mari tehnici (cu și fără legături suplimentare).

Cele două sisteme SIES și SIEAS au permis introducerea de întârzieri în furnizarea mesajelor, întârzieri introduse aleator. Indiferent de sistemul de implementare, costurile obținerii soluției s-au mărit o dată cu apariția acestor întârzieri. Cele două tehnici, bazate pe o ordine statică a agenților, au avut necesitat costuri mult mai mari, relativ la efortul depus de agenți cât și relativ la fluxul de mesaje, odată cu creșterea timpului necesar furnizării mesajelor.

A doua familie implementată și analizată a fost familia AWCS. În cazul acestei familii există mai multe variante ce se bazează pe construirea unor nogooduri eficiente (nogood learning) sau pe stocarea și folosirea acestor nogooduri în procesul de selecție al valorilor (nogood processor). Au fost analizate variantele de bază pentru tehnica AWCS, dar și variantele îmbunătățite la care s-a aplicat tehnica nogood learning sau nogood processor.

Valorile experimentale arată că în cazul variantelor AWCS, cu sau fără nogood learning, cu sau fără nogood processor, cele două tehnici asincrone necesită costuri mult mai mici pentru cazul în care agenții operează sincron. Efortul local și cel global depus de agenți, inclusiv fluxul de mesaje a fost mai mic pentru cazul în care se face sincronizarea execuției agenților. Comportamentul s-a păstrat mai ales pentru probleme cu densitate mare (dificult problems), pentru cealaltă clasă de probleme costurile fiind mai apropiate. Prin urmare, în cazul acestor tehnici din familia AWCS, ce se bazează pe o ordine dinamică a agenților, este recomandată sincronizarea execuției agenților.

În ceea ce privește comportamentul la apariția întârzierilor, surprinzător, tehnicile din familia AWCS nu au necesitat costuri mai mari, ci, din contră, în unele cazuri aceste costuri au scăzut. Prin urmare, aceste tehnici, sunt recomandate pentru cazurile rețelelor în care există întârzieri în furnizarea mesajelor, mai ales în varianta cu sincronizarea execuției agenților.

Plecând de la analiza comportamentului tehnicilor din familia AWCS, în această teză este propusă o metodă de sincronizare a execuției agenților, metodă bazată pe folosirea unui mesaj jeton. Modelul cu sincronizare s-a bazat pe elementele limbajului NetLogo. Prin urmare, o metodă generală de sincronizare, care să nu depinde de un anumit limbaj de implementare, a fost necesară. Această metodă a fost publicată în [MVCPP07].

Cele două sisteme multi-agent au permis analiza detaliată a cozilor de mesaje și identificarea de mesaje redundante și învechite, identificare realizată la recepționarea acestor mesaje. Pentru reducerea și eliminarea acestor mesaje, ce încarcă inutil costurile de obținere a unei soluții, sunt propuse și analizate două soluții. O primă soluție, foarte simplă, constă în filtrarea mesajelor și ignorarea mesajelor redundante. O a doua soluție, mult mai bună, a constat în introducerea managementului mesajelor, astfel încât s-au putut trata complet sau în pachete mesajele recepționate. Aceste rezultate au fost publicate în [MusCP06].

Tehnicile din familia AWCS au avut comportamente diferite față de cele din familia ABT. Acest lucru este probabil legat de ordinea dinamică a agenților.

(4) *Identificarea și propunerea unor îmbunătățiri ale performanțelor tehnicilor de căutare asincrone.*

- *eliminarea efectului exploziei valorilor nogood:*

Creșterea numărului de mesaje de tip nogood înregistrate determină o creștere a complexității algoritmilor de căutare asincroni în cazul cel mai nefavorabil. Ca o consecință, timpul de calcul și necesitățile hardware cresc foarte repede, odată cu dimensiunea problemelor.

Analiza tehnicilor din familia ABT în condițiile date de cele două sisteme multi-agent arată că aceste variante de algoritmi se caracterizează printr-o explozie a valorilor nogood, mai ales pentru probleme de dimensiune mare. Tehnicile de căutare asincrone din familia ABT necesită stocarea valorilor nogood pentru ca agenții să nu mai repete aceeași greșeală, acest lucru conducând la o cantitate de memorie foarte mare, mai ales pentru probleme cu dimensiune mare.

Analiza listelor nogood arată că nu este necesară stocarea acestor valori, o soluție de eliminare a exploziei valorilor nogood fiind aceea de etichetare a valorilor din domeniul fiecărei variabile cu flaguri. Plecând de la această analiză, este propusă o nouă tehnică. Ea implică etichetarea valorilor locale din domeniul fiecărui agent, cu flaguri. Acest lucru permite eliminarea stocării valorilor nogood și, prin urmare, pentru probleme de dimensiune mare, evitarea exploziei valorilor nogood. Spațiul de memorie necesar se reduce considerabil în cazul aplicării tehnicii cu flaguri.

În teză este propusă o soluție originală de înlocuire a stocării valorilor nogood cu etichetarea valorilor din domeniu prin două tipuri de flaguri. Această soluție este aplicată pentru nucleul ABT, obținându-se o nouă variantă ce nu mai necesită stocarea valorilor nogood. Plecând de la acest nucleu se poate ajunge la două tehnici cunoscute: asynchronous backtracking cu flaguri (variantea Bessiere) și Distributed Dynamic Backtracking cu flaguri. Variantele de tehnici propuse în acest studiu (ABT și DisDB cu flaguri) sunt obținute din tehnica ABT kernel prin eliminarea informațiilor învechite dintre agenți și indexarea valorilor locale din domeniul unui agent cu flaguri. Acest lucru elimină stocarea valorilor nogood și, prin urmare, pentru probleme de dimensiune mare, eliminarea exploziei valorilor nogood. Spațiul de memorie alocat este considerabil redus în cazul variantelor cu flaguri.

Tehnicile cu flaguri pot fi îmbunătățite prin restartarea procesului de căutare când sunt recepționate mesaje de tip info sau back. Experimentele realizate în condițiile unor variate probleme arată că tehnicile cu flaguri necesită mai puțin spațiu de stocare decât tehnicile de bază. Aceste rezultate au fost publicate în [Mus05] și [MusB05]

- *limitarea fluxului de mesaje pentru legăturile temporare ce apar în timpul căutării soluției:*

Analiza comportamentului tehnicii ABT_{temp} pentru diferite valori ale numărului de mesaje transmise pentru legăturile temporare a permis identificarea și prezentarea în teză a mai multor soluții originale de determinare a numărului de mesaje schimbate de agenții cu legături temporare, număr optim de mesaje pentru care trebuie păstrată o legătură temporară. Experimentele realizate arată că fiecare clasă de probleme are o valoare fixă a numărului de mesaje, valoare pentru care tehnica ABT kernel cu legături temporare se comportă identic sau mai bine decât tehnica de bază ABT. Din analiza experimentală a valorilor s-a observat că există o valoare apropiată de numărul maxim de mesaje, pentru care se obțin performanțe mai bune decât varianta de bază ABT. Plecând de la această analiză, au fost propuse mai multe soluții pentru limitarea numărului de mesaje transmise.

O primă soluție propusă este aceea de a determina pentru fiecare agent, înainte de rulare, un număr fix de mesaje ce trebuie transmise pentru o legătură. Acest număr este determinat în mai multe moduri, fiind propuse două variante statice. Experimentele arată că pentru probleme cu dimensiune mică soluția este eficientă, dar pentru dimensiune mare varianta de bază depășește varianta cu număr temporar de legături.

O a doua soluție propusă, mult mai performantă, constă în a determina dinamic numărul maxim de mesaje în timpul rulării. Practic, se deduce dinamic în

timpul rulării, valoarea maximă a numărului de mesaje și ea este ajustată în funcție de evoluția algoritmului. Pentru această soluție, s-a propus un algoritm de determinare a numărului maxim de mesaje care nu necesită zone comune de memorie. Evaluările experimentale realizate în condițiile unor probleme variate, cu valori inițiale alese aleator, pentru probleme cu densități variate, arată că soluția dinamică este mai eficientă decât tehnica de bază. Rezultatele prezentate mai sus au fost publicate în [MusPP05a].

- *combinarea legăturilor temporare cu cele permanente:*

Un nou membru hibrid pentru familia ABT, membru derivat din nucleul ABT prin eliminarea informațiilor învechite dintre agenți, combinând două metode mai vechi de eliminare a informațiilor învechite dintre agenți: adăugarea de legături permanente între agenți, respectiv adăugarea de legături temporare, este propus. Noul membru presupune transformarea anumitor legături temporare în legături permanente, pe baza informațiilor relative la fluxul de mesaje învechite recepționate de fiecare agent. Noul membru este obținut pe baza studiului legăturilor temporare.

Pentru obținerea acestei tehnici hibride se propune o metodă de determinare a numărului de mesaje ce se transmit pentru legăturile temporare și o soluție de determinare a legăturilor temporare ce sunt transformate în legături permanente. Evaluările experimentale realizate în condițiile unor probleme variate, cu valori inițiale alese aleator, pentru probleme cu densități variate, arată că soluția hibridă este mai eficientă decât tehnica de bază, pentru ambele tipuri de probleme (cu densitate mică și dificilă), pentru dimensiuni mici și pentru dimensiuni mari ale problemelor. Aceste rezultate au fost publicate în [MusPP06].

- *aplicarea tehnicii nogood processor la tehnica AWCS:*

Tehnica nogood processor este aplicată în cazul familiei AWCS. Când un nogood este descoperit în timpul procesului de căutare a soluției, această valoare este trimisă și stocată de un nogood processor. Mai târziu, când se încearcă căutarea unei noi valori pentru un anumit agent, se verifică suplimentar dacă acea asocieră împreună cu valorile agenților de prioritate superioară nu a mai existat și prin urmare este eliminată din arborele de căutare. Pentru aceasta, se propune o soluție de distribuire a procesoarelor de nogooduri către agenți, în funcție de ordinea agenților, cu scopul de a reduce costurile de căutare și de stocare. Sunt analizate experimental avantajele pe care le aduce tehnica nogood processor la îmbunătățirea performanțelor tehnicii AWCS, identificând câteva moduri de distribuire ce aduc îmbunătățiri ale performanțelor.

Cele mai performante variante s-au obținut prin distribuirea valorilor nogood la un nogood processor centralizat și în care valorile de acolo sunt folosite doar la agentul cu prioritatea cea mai mare dintre vecini (raportat la prioritatea curentă sau la cea veche stocată). Îmbunătățiri ale performanțelor s-au obținut și în cazul unui nogood processor centralizat ce folosește prioritățile vechi pentru identificarea agenților. În acest caz, experimentele au arătat o reducere a fluxului de mesaje, a numărului de constrângeri verificate, dar și a numărului de cicli necesari obținerii soluției. Prin distribuirea valorilor nogood și a procesoarelor de nogooduri s-au obținut îmbunătățiri ale performanțelor.

Ca o concluzie, tehnica nogood processor poate aduce beneficii importante asupra performanțelor tehnicilor asincrone, ducând la reducerea efortului de căutare a soluției. Rezultatele evidențiate mai sus au fost publicate în [MCP06] și [MusC06].

- *Combinarea tehnicii nogood processor cu tehnicile de învățare:*

Având ca punct de plecare tehnica *nogood processor* se propune combinarea acestei tehnici cu tehnicile de învățare pentru cadrul AWCS. Aceste tehnici se referă la modul de obținere a unor nogooduri eficiente (resolvent-based learning), respectiv la modul în care se face stocarea valorilor nogood și folosirea ulterioară a informațiilor furnizate de nogooduri în procesul de selectare a unei noi valori. Pentru a putea combina cele două tehnici sunt propuse în această teză anumite modificări pentru cele două tehnici cunoscute, obținând două tehnici derivate. Scopul combinării celor două tehnici (tehnici ce se concentrează pe minimizarea și selecția valorilor nogood.) a fost de îmbunătățire a performanțelor algoritmului AWCS.

Adaptarea la cadrul AWCS a necesitat câteva modificări referitoare la modul de construire a noului nogood, având la bază restartarea procesului de construire a valorilor nogood. Cea mai performantă variantă s-a obținut prin distribuirea valorilor nogood doar la agentul cu prioritatea cea mai mare dintre vecini. Evaluările experimentale au arătat o reducere a fluxului de mesaje și a numărului de cicli necesari obținerii soluției. Distribuirea valorilor nogood la anumite procesoare, împreună cu tehnica resolvent-based learning, a permis obținerea unor îmbunătățiri pentru performanțele tehnicii AWCS.

Combinarea celor două tehnici, sub forma celor două variante propuse, poate aduce beneficii importante la performanța tehnicilor asincrone din familia AWCS. Aceste ultime rezultate au fost publicate în [MusC06].

12.2. Rezumat al contribuțiilor

Lucrarea de față aduce o serie de contribuții în domeniul dezvoltării sistemelor multi-agent bazate pe constrângeri distribuite. Un scurt rezumat al acestora este prezentat în continuare:

Capitolul 5:

- conceperea și prezentarea unui model de implementare și evaluare în NetLogo, ce permite modelarea și simularea procesului de execuție pentru agenți;
- prezentarea a două metode de detecție a terminării procesului de execuție a algoritmilor asincroni, pentru modelul de simulare propus anterior.
- definirea unui sistem multi-agent de implementare și evaluare pentru tehnicile de căutare asincrone cu sincronizarea execuției agenților-SIES;
- definirea unui sistem multi-agent de implementare și evaluare pentru tehnicile de căutare asincrone cu operarea asincronă a agenților-SIEAS.
- conceperea și prezentarea unei metodologii de implementare pentru tehnicile de căutare asincrone utilizând sistemele SIES și SIEAS.

Capitolul 6:

- analiza comportamentului tehnicilor din familia ABT;
- analiza comportamentului tehnicilor din familia AWCS;
- introducerea managementului mesajelor în cazul tehnicilor din familia AWCS;
- definirea unui protocol de tratare completă a mesajelor din canalele de comunicație pentru familia AWCS;

- introducerea sincronizării parțiale și complete în cazul tehnicilor de căutare asincrone prin prezentarea unei soluții;
- definirea unui metode de filtrare a mesajelor redundante și învechite.

Capitolul 7:

- analiza comportamentului tehnicilor din familia ABT în raport cu fluxul de mesaje nogood;
- identificarea tipurilor de mesaje nogood în cazul tehnicilor din familia ABT;
- eliminarea stocării valorilor nogood prin introducerea flagurilor în cazul familiei ABT;
- o soluție de aplicare a tehnicii cu flaguri în cazul familiei ABT. Este înlocuită stocarea valorilor nogood cu etichetarea valorilor din domeniu prin două tipuri de flaguri, obținându-se o tehnică originală cu flaguri;
- îmbunătățirea performanțelor tehnicilor cu flaguri prin restartarea procesului de căutare când sunt recepționate mesaje de tip info sau back.

Capitolul 8:

- analiza comportamentului tehnicii ABT_{temp} pentru diferite valori ale numărului de mesaje transmise pentru legăturile temporare;
- propunerea a două soluții statice de limitare a numărului de mesaje transmise;
- propunerea a două soluții dinamice de determinare a numărului maxim de mesaje în timpul rulării. Pentru aceasta, se deduce dinamic în timpul rulării, valoarea maximă a numărului de mesaje și ea este ajustată în funcție de evoluția algoritmului;
- un algoritm de determinare a numărului maxim de mesaje este propus, fără a necesita zone comune de memorie;
- o analiză experimentală ce investighează comportamentul variantelor cu limitarea fluxului de mesaje, analiză ce arată că soluțiile dinamice propuse necesită costuri mai mici.

Capitolul 9:

- o metodă de determinare a numărului de mesaje ce se transmit pentru legăturile temporare și o soluție de determinare a legăturilor temporare ce sunt transformate în legături permanente;
- un membru hibrid pentru familia ABT, membru derivat din nucleul ABT prin eliminarea informațiilor învechite dintre agenți, combinând două metode mai vechi de eliminare a informațiilor învechite dintre agenți: adăugarea de legături permanente între agenți, respectiv adăugarea de legături temporare, este propus;
- o analiză experimentală în condițiile unor probleme variate, cu valori inițiale alese aleator, pentru probleme cu densități variate, ce arată comportamentul bun al noii tehnici hibride propuse.

Capitolul 10:

- o soluție de aplicare a tehnicii nogood processor în cazul tehnicii AWCS;
- o metodă de distribuire a valorilor nogood la un singur procesor de nogooduri;
- o metodă de distribuire a valorilor nogood la mai multe procesoare de nogooduri;
- o analiză experimentală a efectelor aplicării soluțiilor de distribuire a valorilor nogood și de folosire în cazul selecției unei noi valori;

Capitolul 11:

- o soluție de combinare a tehnicii nogood processor cu tehnicile de învățare pentru cadrul AWCS;
- o analiză experimentală a efectelor aplicării celor două metode de utilizare a informațiilor din valorile nogood.

12.3. Concluzii finale

Rețelele cu constrângeri distribuite și-au dovedit succesul în modelarea problemelor reale. Multe probleme reale, cum ar fi cele de planificare, configurare, diagnoză, teoria grafurilor, designul circuitelor, planificare genetică, designul mașinilor, înțelegerea limbajelor etc. pot fi văzute ca și categorii de probleme de satisfacere a constrângerilor. Cele mai multe dintre problemele abordate de programarea cu constrângeri sunt probleme NP-complete.

Teza de față demonstrează că aplicarea acestor tehnici de căutare asincrone presupune analize într-o fază de preprocesare pentru a identifica tehnica potrivită și condițiile de rulare. Modelele propuse în această teză permit implementarea și evaluarea tehnicilor ce vor fi aplicate la anumite probleme reale și identificarea condițiilor optime de rulare practică.

Utilizarea metodologiei de implementare și evaluare pentru tehnicile de căutare asincrone permite reducerea efortului de implementare. Variantele de implementare obținute pot fi adaptate cu un efort mic, se pot simula situații complexe din practică, cum ar fi existența întârzierilor în furnizarea mesajelor, existența unor grafuri pentru constrângeri dense sau rare (corespunzătoare unor probleme dificile sau simple). Studiile arată că cele două mari familii de tehnici de căutare asincrone, au comportamente total diferite în apariția întârzierilor sau introducerea sincronizării execuției agenților.

Analiza a două mari familii de tehnici de căutare asincrone arată că există diverse comportamente pentru agenți, comportamente ce pot influența în bine sau în rău costurile de obținere a soluției. Prin urmare, o analiză într-o fază de preprocesare este necesară. O astfel de analiză se poate face prin implementarea acestor tehnici în NetLogo și identificarea acelei tehnici ce necesită costuri mici, pentru situațiile dorite. Se pot selecta tehnicile care necesită un flux de mesaje mai mic, dar eforturi de calcul mai mari, pentru situațiile de canale de comunicație lente și sisteme de calcul puternice. În schimb, în cazul existenței unor canale de comunicație rapide, dar cu sisteme de calcul mai puțin puternice, se pot selecta acele tehnici care necesită un flux de mesaje mai mare, dar eforturi în constrângeri mai mici.

Studiile din această teză arată că pot apărea situații, cum ar fi explozia valorilor nogood, ce pot face impracticabilă o anumită tehnică, chiar dacă ea este eficientă. În astfel de situații soluția propusă în această teză de etichetare a valorilor din domeniu prin flaguri poate deveni o soluție.

O altă situație ce poate apărea în practică este aceea în care nu este posibilă adăugarea de noi legături între agenți din motive de securitate sau pentru că canalele de comunicație nu permit un flux rapid de mesaje. În aceste situații, trebuie identificate alte tehnici sau aplicate metodele prezentate în această lucrare de limitare a fluxului de mesaje.

O ultimă concluzie este legată de folosirea completă a informațiilor din mesajele nogood. Acest lucru permite reducerea costurilor în obținerea soluției, mai ales pentru probleme dificile cu un graf al constrângerilor foarte dens.

12.3. Perspective de cercetare și dezvoltare

Problemele abordate în această teză, modelele, tehnicile și algoritmi prezentați permit continuarea preocupărilor și deschid noi perspective în domeniul de mare interes al sistemelor multi-agent bazate pe constrângeri distribuite.

Se dorește continuarea cercetărilor întreprinse în cadrul acestui program de doctorat, urmând două direcții:

(a) a îmbunătățirii și a extinderii modelelor NetLogo folosite la implementarea tehnicilor asincrone. Este vorba de extinderea acestor modele NetLogo pentru a permite cadrul multivariabilă, managementul mesajelor și prelucrarea simultană a tuturor mesajelor din cozile de mesaje. De asemenea, se dorește introducerea noilor probleme pentru analiza tehnicilor asincrone, probleme numite „binary random problems”, care permit studierea mult mai exactă a comportamentelor tehnicilor asincrone, problema colorării grafurilor fiind un caz particular;

(b) a identificării altor soluții de îmbunătățire a performanțelor tehnicilor asincrone.

O primă idee de îmbunătățire a performanțelor este legată de studiul mesajelor redundante, în sensul identificării cauzelor care duc la apariția acestora și găsirea altor soluții de reducere sau eliminare a acestora, dar înainte de a fi transmise către agenți.

A doua idee este legată de studiul tehnicilor în cazul existenței ordinilor dinamice asupra agenților. Recent, a fost dezvoltată o variantă ABT cu ordine dinamică, variantă foarte performantă ce se bazează pe folosirea unor euristici speciale. Se dorește continuarea acestor studii având ca țintă identificarea altor euristici pentru determinarea ordinii dinamice și găsirea unei soluții de aplicare la cadrul mult mai general al familiei ABT.

O a treia temă de studiu (relativ la îmbunătățirea performanțelor) se referă la încercarea de extindere a familiei ABT pentru cazul în care agenții operează cu mai multe variabile.

13. BIBLIOGRAFIE

- [AD97] A. Armstrong and E. Durfee. "Dynamic Prioritization of Complex Agents in Distributed Constraint Satisfaction Problems", in *Proceedings of the 15th IJCAI*, Nagoya, Japan, 1997, pp. (620-625).
- [BM03] I. Brito and P. Meseguer. "Distributed forward checking", in *Proceedings of the CP 2003*, Kinsale, Ireland, 2003, pp. (801-806).
- [BM04] I. Brito and P. Meseguer. "Synchronous, asynchronous and hybrid algorithm for DisCSP", in *Proceedings of the Workshop on Distributed Constraints Reasoning (DCR-04)*, CP-2004, Toronto, 2004, pp. (80-94).
- [BM05] C. Bessière, A. Maestre, I. Brito and P. Meseguer. "Asynchronous Backtracking without adding links: a new member in the ABT Family", *Artificial Intelligence*, vol. 161, no. 1-2, 2005, pp. (7-24).
- [BM96] R. J. Bayardo and D.P. Miranker. "A Complexity Analysis of Space-Bounded Learning Algorithms for the Constraint Satisfaction Problem", in *Proceedings of the Thirteenth National Conference on Artificial Intelligence*, 1996, pp. (298- 304).
- [BMM01] C. Bessière, A. Maestre and P. Meseguer. "Distributed Dynamic Backtracking", in *Proceedings of the IJCAI'01 Workshop on Distributed Constraint Reasoning*, Seattle WA, 2001, pp. (9-16).
- [Box78] F. Box. "A heuristic technique for assignment frequencies to mobile radio nets", *IEEE Transactions on Vehicular technology*, vol. 27, no.2, pp.(57-64).
- [BR75] J.R. Bitner and E.M. Reingold. "Backtrack programming technique", *Communications of the ACM*, vol. 18, no. 11, 1975, pp. (651-656).
- [CDK91] Z. Collin, R. Dechter and S. Katz. "On feasibility of distributed constraint satisfaction", in *Proceedings of the Twelfth International Joint Conference on Artificial Intelligence*, 1991, pp. (318-324).
- [CL85] K.M. Chandy and L. Lamport. "Distributed snapshots: Determining global states of distributed systems", *ACM Transactions on Computer Systems*, vol. 3, no. 1, 1995, pp. (63-75).
- [Coo90] M.C. Cooper. "An optimal k-consistency algorithm", *Artificial Intelligence*, vol. 41, no. 1, 1990, pp. (89-95).

-
- [Dec90] R. Dechter. "Enhancement Schemes for Constraint Processing: Backjumping, Learnig and CutSet Decomposition", *Artificial Intelligence*, vol. 41, no. 1, 1990, pp. (273-312).
- [DF99] R. Dechter and D. Frost. "Backtracking algorithms for constraint satisfaction problems", Technical Report, Information and Computer Science Department, UC Irvine, 1999.
- [DM94] R. Dechter and I. Meiri. "Experimental evaluation of preprocessing algorithms for constraint satisfaction problems", *Artificial Intelligence*, vol. 68, 1994, pp. (211-241).
- [DP88] R. Dechter and J. Pearl. "Network-based heuristics for constraint satisfaction problems". *Artificial Intelligence*, vol. 34, 1998, pp. (1-38).
- [DP89] R. Dechter and J. Pearl. "Tree clustering schemes for constraint processing". *Artificial Intelligence*, vol.38, 1989, pp. (353-366).
- [FD94] D. Frost and R. Dechter. "Dead-end driven Learning", in *Proceedings of the Twelfth National Conference on Artificial Intelligence*, 1994, pp. (294-300).
- [FQ85] E. Freuder and M. Quinn. "Taking Advantage of Stable Sets of Variables in Constraint Satisfaction Problems", in *Proceedings of the Ninth International Joint Conference on Artificial Intelligence*, 1985, pp. (1076-1078).
- [Fro97] D. Frost. "Algorithms and Heuristics for Constraint Satisfaction Problems", *PhD thesis*, Information and Computer Science, University of California, Irvine, CA, 1997.
- [Gal06] M. Galley. "Distributed constraint programming platform using sJavap". Available: <http://cs.fit.edu/Projects/asl/#MELY>, 2006.
- [Gas79] Gaschnig, J. Performance Measurement and Analysis of certain Search Algorithms . *PhD thesis*, Carnegie Mellon University, Pittsburgh, 1979.
- [Gin93] M. Ginsberg. "Dynamic backtracking". *Journal of Artificial Intelligence Research*, vol. 1, 1993, pp. (25-46) .
- [GWW03] C. Gwen-Hua, L. Wei-Li, C.L Wang. "Asynchronous Backtracking Algorithm with no effect of nogood explosion", in *Proceedings of the International Conference on Computer, Communication and Control Technologies - CCCT2003*, Orlando, Florida, Vol. IV, 2003, pp. (272-279).
- [Ham99] Y. Hamadi. "Traitement des problemes de satisfaction de contraintes distributes", *PhD theisi*, Universitatea Motpellier II, 1999.

- [Hav97] W. Havens. "Nogood caching for multiagent backtrack search", in *Proceedings of AAAI Constraints and Agents Workshop (W5)*, 1997.
- [HBQ98] Y. Hamadi, C. Bessiere and J. Quinqueton. "Backtracking in Distributed Constraint Networks", in *Proceedings of the 13th European Conference on Artificial Intelligence- ECAI'98*, Brighton, UK, 1998, pp. (219-223).
- [HE80] M. Haralick, G.L. Elliot. Increasing Tree Search Efficiency for Constraint Satisfaction Problems. *Artificial Intelligence*, vol. 14, 1980, pp. (263-313).
- [HT95] K. Hirayama and J. Toyoda. "Forming coalitions for breaking deadlocks" *Proceedings of the First international Conference on Multi-agent System*, pp.155-162, MIT Press, 1995.
- [HY00] K. Hirayama and M. Yokoo. "The Effect of Nogood Learning in Distributed Constraint Satisfaction", in *Proceedings of the 20th IEEE International Conference on Distributed Computing Systems*, 2000, pp. (169-177).
- [JL94] J. Jaffar and J. Lassez. "Constraint logic programming: A survey", *Journal of Logic Programming*, vol. 19, no. 20, 1994, pp. (503-581).
- [JV05] H. Jiang, J.M. Vidal. "Reducing Redundant Messages in the Asynchronous Backtracking Algorithm", in *Proceedings of the Sixth International Workshop on Distributed Constraint Reasoning*, 2005.
- [KS92] H. Kautz and B. Selman. "Planning as satisfiability", in *Proceedings of the Tenth European Conference on Artificial Intelligence*, 1992, pp. (360-363).
- [Ku92] V. Kumar. "Algorithms for Constraint Satisfaction Problems: A survey", *Artificial Intelligence*, vol. 13, no. 1, 1992, pp. (32-44).
- [Lam78] L. Lamport. "Time, clocks and the ordering of events in a distributed system", *Communications of the ACM*, vol. 21, no. 7, 1978, pp. (558-565).
- [Mac77] A.K. Mackworth. "Consistency in networks of relations", *Artificial Intelligence*, vol. 8, 1977, pp. (90-118).
- [MASNet-a] MAS Netlogo Models-a. Available: <http://jmvidal.cse.sc.edu/netlogomas/>.
- [MASNet-b] MAS Netlogo Models-b. Available: <http://ccl.northwestern.edu/netlogo/models/community>
- [MF85] A.K. Mackworth and E.C. Freuder. "The complexity of some polynomial network consistency algorithms for constraint satisfaction problems", *Artificial Intelligence*, vol. 25, 1995, pp. (65-74).

-
- [MJ00] P. Meseguer and M. A. Jimenez. "Distributed Forward Checking", in *Proceedings of the CP'00 Workshop on Distributed Constraint Satisfaction Problems*, Singapore, Thailand, 2000.
- [MJPL90] S. Minton, M.D. Johnston, A.B. Philips and P. Laird. "Solving large scale constraint satisfaction and scheduling problems using heuristic repair method", in *Proceedings of the Eighth National Conference on Artificial Intelligence (AAAI-90)*, Boston 1990, pp. (17-24).
- [MJPL92] S. Minton, M.D. Johnston, A.B. Philips and P. Laird. "Minimizing conflicts: a heuristic repair method for constraint satisfaction and scheduling problems", *Artificial Intelligence*, vol. 58, no. 1-3, 1992, pp. (161-205).
- [MKRZ02] M. Meisels, E. Kaplansky, I. Razgon and R. Zivan. "Comparing Performance of Distributed Constraints Processing Algorithms", in *Proceedings of the Workshop on Distributed Constraint Reasoning, AAMAS-2002*, Bologna, Italy, 2002, pp. (86-93).
- [ML98] D.L. Mammen and V. R. Lesser. "Problem structure and subproblem sharing in multi-agent systems", in *Proceedings of the Third International Conference on Multi-Agent Systems*, 1998, pp. (174-181).
- [Mor93] P. Morris. "The breakout method for escaping form local minima", in *Proceedings of the Eleventh National Conference on Artificial Intelligence*, 1993, pp. (40-45).
- [Mus05] I. Muscalagiu. "The Effect of Flag Introduction on the Explosion of Nogood Values in the Case of ABT Family Techniques", in *Proceedings of the 4th International Central and Eastern European Conference on Multi-Agent Systems (CEEMAS'05), Lecture Notes in Computer Science*, Vol.3690, Springer-Verlang, 2005, pp. (286-295).
- [MusB05] I. Muscalagiu and M. Bălan. "The Effect of Flag Introduction on the Explosion of Nogood Values when using The Asynchronous Backtracking Technique", in *Proceedings of the 15th International Conference on Control Systems and Computer Science (CCSCS15)*, Bucuresti, Romania, 2005, pp. (604-610).
- [MusBP05] I. Muscalagiu, M. Balan and M., Panoiu. "Detection Techniques for the termination of Asynchronous Algorithms in Netlogo", in *Proceedings of the Second Balkan Conference in Informatics (BCI 2005)*, Muntenegru, 2005, pp. (389-396).
- [MusCP06] I. Muscalagiu, V. Cretu, H.E. Popa. "Message management in the case of AWCS family techniques", in *Proceedings of the 7th International Conference on Technical Informatics (CONTI 2006)*, Timișoara, Romania, 2006, pp. (215- 220).

- [MusCPP06] I. Muscalagiu, V. Cretu, M. Pănoiu, C. Pănoiu. "The Experimental Analysis of the Impact of the Nogood Processor Technique on the Efficiency of the Asynchronous Techniques", in *Proceedings of ICCCC2006*, Băile Felix - Oradea, Romania, 2006, Vol. 2, pp. (326-331).
- [MusJP06] I. Muscalagiu, H. Jiang, H.E. Popa. "Implementation and evaluation model for the asynchronous techniques: from a synchronously distributed system to a asynchronous distributed system", in *Proceedings of the 8th International Symposium on Symbolic and Numeric Algorithms for Scientific Computing (SYNASC 2006)*, Timisoara, Romania, *IEEE Computer Society Press*, 2006, pp. (209-216).
- [MusMPI04] I. Muscalagiu, D. Muscalagiu, M. Panoiu and A. Iordan. "Educational Software Meant for the Implementation And Evaluation of the Asynchronous Techniques of the ABT Family, created In NetLogo", in *Annals of The Faculty of Engineering Hunedoara*, Tom II, Fascicula 2, 2004, pp.(193-200).
- [MusPO05] I. Muscalagiu, M. Panoiu and Osaci. "The Redundance of Messages in the Nogood Learning Techniques Case", in *Proceedings of the 15th International Conference on Control Systems and Computer Science (CCSCS15)*, Bucharest, Romania, 2005, pp. (611-616).
- [MusPP05a] I. Muscalagiu, H.E. Popa and M. Panoiu. "Determining the number of messages transmitted for the temporary links in the case of ABT Family Techniques", in *Proceedings of the 7th International Symposium on Symbolic and Numeric Algorithms for Scientific Computing (SYNASC 2005)*, Timisoara, Romania, *IEEE Computer Society Press*, 2005, pp. (215-222).
- [MusPP05b] I. Muscalagiu, H.E. Popa and M. Panoiu. "The Behaviour of Asynchronous Techniques Regarding the Occurrence of Delays in the Sending of Messages: An empirical study", in *Proceedings of the Second Balkan Conference in Informatics (BCI 2005)*, Muntenegru, 2005, pp. (379-388).
- [MusPP06] I. Muscalagiu, H.E. Popa, M. Panoiu. "Asynchronous Backtracking with temporary and fixed links: A New Hybrid Member in the ABT Family", *Journal of Computer Science INFOCOMP*, Vol. 5, no 2, 2006, pp. (29-37).
- [MusV06] I. Muscalagiu, and V. Cretu. "Improving the Performances of Asynchronous Algorithms by Combining the Nogood Processors with the Nogood Learning Techniques", *Journal "INFORMATICA" Lithuania*, Vol. 17, Nr 1, 2006, pp (39-54).
- [MusVCP07] I. Muscalagiu, J. Vidal, V. Cretu, H.E. Popa, M. Panoiu. "The Effects of Agent Synchronization in Asynchronous Search Algorithms", in *Proceedings of the 1st KES Symposium on Agent and Multi-Agent Systems -*

-
- Technologies and Applications (KES AMSTA 2007), Lecture Notes in Artificial Intelligence*, Vol. 4496, Springer-Verlag, 2007, pp. (53-62).
- [Nad89] B. Nadel. "Constraint satisfaction algorithms", *Computational Intelligence*, vol. 5, 1989, pp. (188-224).
- [NetLogo3.0] Available: <http://ccl.northwestern.edu/netlogo/>.
- [Pet06] A. Petcu. "Frodo: a framework for Open/Distributed Optimization", Technical Report EPFL:2006/001, EPFL, CH-1015 Lausanne, Available: <http://liawww.epfl.ch/frodo/>, 2006.
- [Pros93a] P. Prosser. "Forward checking with backmarking". Technical Report AISL-48-93, University of Strathclyde, 1993 .
- [Pros93b] P. Prosser. "Hybrid algorithms for constraint satisfaction problems", *Computational Intelligence*, vol. 9, no. 3, 1993, pp. (268-299).
- [Pur83] P.W. Purdom. "Search rearrangement backtracking and polynomial average time", *Artificial Intelligence*, vol. 21, 1983, pp. (117-133).
- [RR98] E.T. Richards and B Richards. "Non-systematic Search and Learning: An empirical study", in *Proceedings of the Principles and Practice of Constraint Programming-CP98*, Lecture Notes in Computer Science, Vol.1520. Springer-Verlag, 1998, pp. 370-384.
- [SGM96] G. Solotorevsky, E. Gudes and A. Meisels. "Modeling and solving distributed constraint satisfaction problems (dcsp)", in *Proceedings of Constraint Processing-96*, New Hampshire, October 1996.
- [SHF00] M.C. Silaghi, D. Sam-Haroud and B. Faltings. "Asynchronous Search with Aggregations", in *Proceedings of the 17th National Conference on Artificial Intelligence- AAAI'00*, Austin, Texas, 2000, pp. (917-922).
- [Sil02] M.C. Silaghi. "Asynchronously Solving Distributed Problems With Privacy Requirements", *PhD thesis*, Lausanne , EPFL Elvetia, 2002.
- [SLM92] B. Selman, H. Levesque and D. Mithcell. "A new method for solving hard satisfiability problems", in *Proceedings of the European Conference on Artificial Intelligence (AAAI-92)*, 1992, pp. (440-444).
- [SS77] R.M. Stallman, G.S. Sussman. "Forward reasoning and dependency-directed backtracking in a system for computer-aided circuit analysis", *Artificial Intelligence*, vol. 9, 1977, pp. (135-196).
- [Tsa93] E.Tsang. "Foundation of Constraint Satisfaction". *Academic Press*, 1993.

- [VHDT92] P. Van Hentenryck, Y. Deville and C.M. Teng. "A generic arc consistency algorithm and its specializations", *Artificial Intelligence*, vol. 57, 1992, pp. (291-321).
- [Wall95] M. Wallace. "Practical Applications of Constraint Programming", in *Proceedings Conference on Practical Applications of Constraints Technology*, Paris, 1995.
- [Walt75] D. Waltz. "Understanding line drawings of scene with shadows", *The Psychology of Computer Vision*, McGraw-Hill, 1975, pp. (19-91).
- [Wil99] U. Wilensky. "NetLogo itself". Available: NetLogo: <http://ccl.northwestern.edu/netlogo/>, *Center for Connected Learning and Computer-Based Modeling*, Northwestern University. Evanston, IL, 1999.
- [YDIK92] M. Yokoo, E. H. Durfee, T. Ishida and K. Kuwabara. "Distributed constraint satisfaction for formalizing distributed problem solving", in *Proceedings of the twelfth IEEE International Conference on Distributed Computing Systems*, 1992, pp. (614-621).
- [YDIK98] M. Yokoo, E.H. Durfee, T. Ishida and K. Kuwabara. "The distributed constraint satisfaction problem: formalization and algorithms", *IEEE Transactions on Knowledge and Data Engineering*, vol. 10, no. 5, 1998, pp. (673-685).
- [Yok00] M. Yokoo. "Algorithms for distributed constraint satisfaction problems: A review", *Autonomous Agents & Multi-Agent System*, vol. 3, no. 2, 2000, pp.(198-212).
- [Yok00p] M. Yokoo. Private communication, 2000.
- [Yok01] M. Yokoo. "Distributed Constraint Satisfaction- Foundation of Cooperation in Multi-agent Systems", in *Springer Verlag*, 2001.
- [ZM04] R. Zivan and A. Meisels. "Concurrent Backtrack Search on DisCSPs", in *Proceedings of the FLAIRS-04*, Miami Beach, May, 2004.
- [ZM05] R. Zivan and A. Meisels. "Dynamic ordering for asynchronous backtracking on DisCSPs", in *Proceedings of the CP2005*, Barcelona, 2005, pp. (32-46).

14. LISTA LUCRĂRILOR PUBLICATE

- [Mus05] I. Muscalagiu. "The Effect of Flag Introduction on the Explosion of Nogood Values in the Case of ABT Family Techniques", in *Proceedings of the 4th International Central and Eastern European Conference on Multi-Agent Systems (CEEMAS'05)*, Lecture Notes in Computer Science, Vol.3690, Spring-Verlang, 2005, pp. (286-295).
- [MusB05] I. Muscalagiu and M. Bălan. "The Effect of Flag Introduction on the Explosion of Nogood Values when using The Asynchronous Backtracking Technique", in *Proceedings of the 15th International Conference on Control Systems and Computer Science (CCSCS15)*, Bucharest, Romania, 2005, pp. (604-610).
- [MusBP05] I. Muscalagiu, M. Balan and M., Panoiu. "Detection Techniques for the termination of Asynchronous Algorithms in Netlogo", in *Proceedings of the Second Balkan Conference in Informatics (BCI 2005)*, Muntenegru, 2005, pp. (389-396).
- [MusCP06] I. Muscalagiu, V. Cretu, H.E. Popa. "Message management in the case of AWCS family techniques", in *Proceedings of the 7th International Conference on Technical Informatics*, Timișoara, Romania, 2006, pp. (215- 220).
- [MusCPP06] I. Muscalagiu, V. Cretu, M. Pănoiu, C. Pănoiu. "The Experimental Analysis of the Impact of the Nogood Processor Technique on the Efficiency of the Asynchronous Techniques", in *Proceedings of ICCCC2006*, Băile Felix - Oradea, Romania, 2006, Vol. 2, pp. (326-331).
- [MusJP06] I. Muscalagiu, H. Jiang, H.E. Popa. "Implementation and evaluation model for the asynchronous techniques: from a synchronously distributed system to a asynchronous distributed system", in *Proceedings of the 8th International Symposium on Symbolic and Numeric Algorithms for Scientific Computing (SYNASC 2006)*, Timisoara, Romania, IEEE Computer Society Press, 2006, pp. (209-216).
- [MusMPI04] I. Muscalagiu, D. Muscalagiu, M. Panoiu and A. Iordan. "Educational Software Meant for the Implementation And Evaluation of the Asynchronous Techniques of the ABT Family,

ISI,
INSPEC
COMPEDEX,
DBLP,
SCOPUS

IEE
INSPEC,
COMPEDEX
SCI -**ISI**
Proceeding,
DBLP

created In NetLogo", in *Annals of The Faculty of Engineering Hunedoara*, Tomul II, Fascicula 2, 2004, pp.(193-200).

- [MusPO05] I. Muscalagiu, M. Panoiu and Osaci. "The Redundance of Messages in the Nogood Learning Techniques Case", in *Proceedings of the 15th International Conference on Control Systems and Computer Science (CCSCS15)*, Bucharest, Romania, 2005, pp. (611-616).
- [MusPP05a] I. Muscalagiu, H.E. Popa and M. Panoiu. "Determining the number of messages transmitted for the temporary links in the case of ABT Family Techniques", in *Proceedings of the 7th International Symposium on Symbolic and Numeric Algorithms for Scientific Computing (SYNASC 2005)*, Timisoara, Romania, **IEEE INSPEC, COMPEDEX SCI -ISI Proceeding, DBLP, SCOPUS**, *IEEE Computer Society Press*, 2005, pp. (215-222).
- [MusPP05b] I. Muscalagiu, H.E. Popa and M. Panoiu. "The Behaviour of Asynchronous Techniques Regarding the Occurrence of Delays in the Sending of Messages: An empirical study", in *Proceedings of the Second Balkan Conference in Informatics (BCI 2005)*, Muntenegru, 2005, pp. (379-388).
- [MusPP06] I. Muscalagiu, H.E. Popa, M. Panoiu. "Asynchronous Backtracking with temporary and fixed links: A New Hybrid Member in the ABT Family", *Journal of Computer Science INFOCOMP*, Vol. 5, no 2, 2006, pp. (29-37). **IEE INSPEC, IS, DEST, EBSCO**
- [MusV06] I. Muscalagiu, and V. Cretu. "Improving the Performances of Asynchronous Algorithms by Combining the Nogood Processors with the Nogood Learning Techniques", *Journal "INFORMATICA" Lithuania*, Vol. 17, Nr 1, 2006, pp (39-54). **ISI, INSPEC, COMPEDEX, DBLP, SCOPUS**
- [MusVCP07] I. Muscalagiu, J. Vidal, V. Cretu, H.E. Popa, M. Panoiu. "The Effects of Agent Synchronization in Asynchronous Search Algorithms", in *Proceedings of the 1st KES Symposium on Agent and Multi-Agent Systems – Technologies and Applications (KES AMSTA 2007)*, Lecture Notes in Artificial Intelligence, Vol. 4496, Springer-Verlang, 2007, pp. (53–62). **ISI Proceeding INSPEC COMPEDEX, DBLP, SCOPUS**
- [MASNet-a] MAS Netlogo Models-a. <http://jmvidal.cse.sc.edu/netlogomas/>.
- [MASNet-b] MAS Netlogo Models-b. <http://ccl.northwestern.edu/netlogo/models/community>
- [MASNet-c] MAS Netlogo Models-c. <http://discsp-netlogo.fih.upt.ro/> .